

95088

YILDIZ TEKNİK ÜNİVERSİTESİ  
FEN BİLİMLERİ ENSTİTÜSÜ

MİKRODALGA TRANSİSTORUN  
YAPAY SİNİR AĞI İLE  
PERFORMANS ANALİZİ ve MODELLENMESİ

Yük. Müh. Cemal TEPE

F.B.E Elektronik ve Haberleşme Mühendisliği Anabilim Dalında Haberleşme Programında  
Hazırlanan

DOKTORA TEZİ

Tez Savunma Tarihi  
Tez Danışmanı  
Jüri Üyeleri

: 03-Temmuz-2000  
: Prof. Dr. Filiz GÜNEŞ (YTÜ)  
: Prof. Dr. Osman PALAMUTÇUOĞLU (İTÜ)  
: Prof. Dr. Hasan DİNÇER (Kocaeli Ünv.)

GG YÜKSEKOĞRETİM KURULU  
DOKÜMANTASYON MERKEZİ

İSTANBUL, 2000

## **İÇİNDEKİLER**

	Sayfa
SİMGELİSTESİ .....	v
KISALTMA LİSTESİ .....	vii
ŞEKİL LİSTESİ .....	viii
ÇİZELGE LİSTESİ .....	xi
ÖNSÖZ .....	xii
ÖZET .....	xiv
ABSTRACT .....	xvii
1. GİRİŞ .....	1
1.1 Tezin Kapsamı .....	1
1.2 Kaynak Araştırması .....	5
1.3 İçerik Düzenlemesi .....	6
2. YAPAY SİNİR AĞLARI .....	8
2.1 Genel Bilgiler .....	8
2.1.1 Yapay Sinir Ağı Tanımı .....	8
2.1.2 Uygulama Alanları .....	10
2.1.3 Yapay Sinir Ağı Model Yapısı ve Mimarisi .....	13
2.1.4 YSA Öğrenme Algoritmaları .....	16
2.2 Mikrodalga Transistorun YSA ile Modellenmesi .....	21
2.2.1 YSA Modelinin Matematiksel Olarak Tanımlanması .....	24
2.2.2 YSA Eğitme Hatası .....	26
2.2.3 Eğitme Algoritması .....	27
2.2.4 Eğitme Parametreleri .....	28
2.2.5 Mikrodalga Transistorun Küçük-İşaret ve Gürültü Davranışının Belirlenmesi ....	28
2.2.6 Eşdeğer YSA Modeli .....	29
3. MİKRODALGA TRANSİSTORUN PERFORMANS ANALİZİ ve EMPEDANS VERİLERİ .....	33
3.1 Transistorun Performans Ölçü Fonksiyonları .....	33
3.1.1 Gürültü Faktörü .....	33
3.1.2 Giriş VSWR .....	34
3.1.3 Transduser Güç Kazancı .....	34
3.2 Optimizasyon Problemi .....	35
3.3 Zs-düzleminde Sabit Gürültü, Giriş VSWR ve Kazanç Daireleri .....	36
3.3.1 Sabit Gürültü Daireleri .....	36
3.3.2 Sabit Giriş VSWR Daireleri .....	37

3.3.3	Sabit Transduser Kazanç Daireleri .....	38
3.3.4	Zs-düzleminde Sabit Gürültü ve Giriş VSWR Dairelerinin Konumları .....	42
3.3.4.1	Dış Teğet Pozisyonu.....	43
3.3.4.2	İç Teğet Pozisyonu .....	43
3.4	Koşulsuz Kararlı Mikrodalga Transistoru .....	47
3.4.1	Verilen Giriş VSWR İçin Zi-Düzlemi Sabit Kazanç Daireleri .....	47
3.4.2	Verilen Giriş VSWR ve Gürültü Faktörünü Sağlayan Koşulsuz Kararlı Transistorun Kazanç Daireleri ve Empedans Verileri.....	49
3.4.2.1	Zcgmax 1.bölgедe .....	51
3.4.2.2	Zcgmax 2.bölgедe .....	52
3.4.2.3	Zcgmax 3.bölgедe .....	53
3.4.2.4	Zcgmax 5.bölgедe .....	54
3.4.2.5	Zcgmax 4.bölgедe .....	55
3.5	Koşullu Kararlı Mikrodalga Transistoru .....	56
3.5.1	Kaynak Kararlılık Dairesi.....	56
3.5.2	Verilen Giriş VSWR ve Gürültü Faktörünü Sağlayan Koşullu Kararlı Transistorun Kazanç Daireleri ve Empedans Verileri .....	58
3.5.2.1	a) Durumu.....	59
3.5.2.2	b) Durumu .....	59
3.5.2.3	c) Durumu.....	59
3.5.2.4	d) Durumu .....	60
4.	EMPEDANS VERİLERİİN MODELLENMESİ.....	63
4.1	Empedans Yaklaşımı İle Modelleme.....	63
4.2	Empedans Yaklaşımı İle Modelleme Algoritması .....	64
4.3	Gewertz Prosedürü .....	66
4.4	Normalizasyon ve Denormalizasyon.....	68
5.	MİKRODALGA TRANSİSTORUN YSA İLE PERFORMANS ANALİZİ, MODELLENME BLOKLARI ve PROGRAMLAMA .....	70
5.1	Blok Yapıları ve Akış Diyagramları.....	70
5.2	Programlar .....	77
5.2.1	Yapay Sinir Ağı Programı (nnpsn.pas) .....	77
5.2.2	Performans Analizi Programı (PerAna.m) .....	77
6.	UYGULAMALAR.....	79
6.1	Transistor: ne02135c(VCE=10V, IC=20mA) .....	79
6.1.1	YSA Sonuçları.....	79
6.1.1.1	Transistorun Gürültü ve S-parametrelerini İçeren Üretici Verileri .....	79
6.1.1.2	Transistorun Gürültü ve S-parametrelerini İçeren YSA Verileri .....	82
6.1.2	Performans Analizi Sonuçları.....	83
6.1.2.1	Giriş Dosyası (ne02135c.inp):.....	83
6.1.2.2	Daire Kesişimlerini İçeren Çıktı (out_int.txt): .....	83
6.1.2.3	Bölge-3'de Elde Edilen Çözümlerini İçeren Çıktı (out_oth.txt): .....	85
6.1.2.4	Elde Edilen Daireler .....	97
6.1.2.5	Daire Kesişimlerinin Özétini İçeren Dosya (out_gra.txt).....	104
6.1.2.6	Frekans-Kazanç ve ZL,ZS Değişimi .....	105
6.1.2.7	Kazanç-VSWR-Gürültü Değişimleri.....	107
6.1.2.8	Gürültü-VSWR-Kazanç Değişimleri.....	110

6.1.2.9	VSWR-Gürültü-Kazanç Değişimleri.....	113
6.1.2.10	Gürültünün Minimum Gürültüyü İzlemesi Durumundaki Değişimler .....	115
6.1.3	Empedans Verisi Uydurma Sonuçları .....	119
6.1.3.1	Sabit Gürültü değeri durumu .....	119
6.1.3.2	Gürültünün minimum gürültüyü izlemesi durumu.....	126
6.2	Transistor: ne02135(VCE=10V, IC=5mA).....	133
6.2.1	YSA Sonuçları.....	133
6.2.1.1	Transistorun Gürültü ve S-parametrelerini İçeren Üretici Verileri .....	133
6.2.1.2	Transistorun Gürültü ve S-parametrelerini İçeren YSA Verileri .....	133
6.2.2	Performans Analizi Sonuçları.....	133
6.2.2.1	Giriş Dosyası (ne02135.inp):.....	134
6.2.2.2	Daire Kesişimlerini İçeren Çıktı (out_int.txt): .....	134
6.2.2.3	Bölge-3'de Elde Edilen Çözümlerini İçeren Çıktı (out_oth.txt): .....	136
6.2.2.4	Elde Edilen Daireler: .....	141
6.2.2.5	Daire Kesişimlerinin Özetini İçeren Dosya (out_gra.txt).....	145
6.2.2.6	Frekans-Kazanç ve ZL,ZS Değişimi .....	146
6.2.2.7	Kazanç-VSWR-Gürültü Değişimleri.....	148
6.2.2.8	Gürültü-VSWR-Kazanç Değişimleri.....	151
6.2.2.9	VSWR-Gürültü-Kazanç Değişimleri.....	154
6.2.2.10	Gürültünün Minimum Gürültüyü İzlemesi Durumundaki Değişimler .....	156
6.2.3	Empedans Verisi Uydurma Sonuçları .....	159
	<b>SONUÇLAR ve ÖNERİLER.....</b>	<b>165</b>
	<b>KAYNAKLAR.....</b>	<b>168</b>
	<b>EKLER .....</b>	<b>171</b>
	Ek 1 Yapay Sinir Ağı Programı (nnpsn.pas).....	172
	Ek 2 Performans Analizi Programı (PerAna.m).....	189
	<b>ÖZGEÇMİŞ.....</b>	<b>268</b>

## SİMGE LİSTESİ

$G_T$	Transduser güç kazancı
$G_{T\max}$	Maksimum transduser güç kazancı
$G_{T\min}$	Minimum transduser güç kazancı
$G_{T_{req}}$	İstenilen transduser kazancı ( $G_{T\min} \leq G_{T_{req}} \leq G_{T\max}$ )
$F_{\min}$	Bir mikrodalga transistorun minimum gürültü faktörü
$F$	Gürültü faktörü ( $F \geq F_{\min}$ )
$F_{req}$	İstenilen gürültü faktörü ( $F_{req} \geq F_{\min}$ )
$ \rho_i $	Giriş yansıtma katsayısı
$V_i$	Giriş VSWR ( $V_i \geq 1$ )
$V_{i_{req}}$	İstenilen giriş VSWR ( $V_{i_{req}} \geq 1$ )
$f$	Çalışma frekansı
$V_{DS}, V_{CE}$	Bir mikrodalga transistorun kutuplama gerilimi
$I_{DS}, I_C$	Bir mikrodalga transistorun kutuplama akımı
CT	Konfigürasyon tipi
$S_{ij}$	Transistorun S-parametreleri ( $i,j=1,2$ )
$ S_{ij} $	Transistorun S-parametreleri genliği ( $i,j=1,2$ )
$\angle S_{ij}$	Transistorun S-parametreleri açısı ( $i,j=1,2$ )
$\Gamma_{opt}$	Optimum Kaynak Yansıtma Katsayısı
$ \Gamma_{opt} $	Optimum Kaynak Yansıtma Katsayısı genliği
$\angle \Gamma_{opt}$	Optimum Kaynak Yansıtma Katsayısı açısı
$R_n$	Bir mikrodalga transistorun eşdeğer gürültü Direnci
$Z_L = R_L + jX_L$	Reel ve imajiner kısımlarıyla iki-kapılı devrenin yük empedansı
$Z_{L\max} = Z_L$	$G_{T\max}$ 'a karşılık gelen yük empedansı
$Z_S = R_S + jX_S$	Reel ve imajiner kısımlarıyla iki-kapılı devrenin kaynak empedansı
$Z_{S\max} = Z_S$	$G_{T\max}$ 'a karşılık gelen kaynak empedansı
$Z_{L_{req}} = R_{L_{req}} + jX_{L_{req}}$	Reel ve imajiner kısımlarıyla iki-kapılı devrenin $G_{T_{req}}$ için yük empedansı
$Z_{S_{req}} = R_{S_{req}} + jX_{S_{req}}$	Reel ve imajiner kısımlarıyla iki-kapılı devrenin $G_{T_{req}}$ için kaynak empedansı

$Z_{in} = R_{in} + jX_{in}$	İki-kapılı devrenin giriş empedansı
$Z_{cin}$	Zi-düzlemindeki dairelerin merkez fazörü
$r_{in}$	Zi-düzlemindeki dairelerin yarıçapı
$Z_{cs}$	Zs-düzlemindeki dairelerin merkez fazörü
$r_s$	Zs-düzlemindeki dairelerin yarıçapı
T1 ve T2	Kaynak düzleminde gürültü faktörü dairesi ile giriş VSWR dairesi arasındaki pozisyonların Zi-düzleminde oluşturduğu bölgeleri sınırlayan daireler
$Z_{ct1,2}$	Zi-düzlemindeki T1 ve T2 dairelerin merkez fazörü
$r_{ct1,2}$	Zi-düzlemindeki T1 ve T2 dairelerin yarıçapı
$Z_{cg}$	Zi-düzlemindeki kazanç dairesinin merkez fazörü
$r_g$	Zi-düzlemindeki kazanç dairesinin yarıçapı
$Z_{cn} = R_{cn} + jX_{cn}$	Kaynak düzleminde reel ve imajiner kısımlarıyla gürültü faktörü dairesinin merkez fazörü
$r_n$	Kaynak düzleminde gürültü faktörü dairesinin yarıçapı
$Z_{cv} = R_{cv} + jX_{cv}$	Kaynak düzleminde reel ve imajiner kısımlarıyla Giriş VSWR dairesinin merkez fazörü
$r_v$	Kaynak düzleminde Giriş VSWR dairesinin yarıçapı
$Z_{opt} = R_{opt} + jX_{opt}$	Reel ve imajiner kısımlarıyla iki-kapılı devrenin optimum kaynak empedansı
$z_{11}, z_{12}, z_{21}, z_{22}$	Kullanılan transistore ilişkin iki kapılıının z-parametreleri
$r_{11}, x_{11}; \quad r_{12}, x_{12}; \quad r_{21}, x_{21}; \quad r_{22}, x_{22}$	z-parametrelerinin sırasıyla reel ve sanal kısımları

## KISALTMA LİSTESİ

CSSC	Kompleks Eşlenik Kaynak Kararlılık Dairesi (Complex Conjugate Source Stability Circle)
CT	Konfigürasyon tipi (Configuration Type)
ISC	Giriş Kararlılık Dairesi (Input Stability Circle)
NaN	Sayısal Veri Bulunamıyor Anlamında Kullanılıyor (Not a Number)
VSWR	Gerilim Duran Dalga Oranı (Voltage Standing Wave Ratio)
YSA	Yapay Sinir Ağrı

## **ŞEKİL LİSTESİ**

Şekil 2.1 YSA blok gösterilim .....	10
Şekil 2.2 YSA'nın gerçekleştirebileceği görevler .....	13
Şekil 2.3 Yapay sinir hücresi.....	14
Şekil 2.4 Farklı aktivasyon fonksiyonları.....	15
Şekil 2.5 YSA'nın gruplandırılması.....	16
Şekil 2.6 Üç katmanlı algılayıcı .....	21
Şekil 2.8 m-gizli katmanlı YSA .....	24
Şekil 2.7 Çok boyutlu eşdeğer işaret-gürültü parametreleri YSA modeli.....	30
Şekil 3.1 İki Kapılı Devre ve Kapı Empedansları .....	34
Şekil 3.2 Sabit Gürültü Faktörü, Giriş VSWR ve Kazanç Daireleri .....	37
Şekil 3.3 Zs-düzleminde İstenilen Gürültü Faktörü ile Giriş VSWR'ın Teget Durumları .....	42
Şekil 3.4 Zs-düzleminde Giriş VSWR ve Gürültü Dairelerinin Durumlarını belirleyen Zi- düzlemindeki Beş Farklı Bölge .....	45
Şekil 3.5 Zi-düzlemindeki Beş Bölgenin Belirlediği Zs-düzlemindeki Giriş VSWR ve Gürültü Dairelerinin Durumları .....	46
Şekil 3.6 İstenilen Giriş VSWR'ı Sağlayan Sabit kazanç Daireleri.....	49
Şekil 3.7 Verilen Giriş VSWR ve Gürültü Faktörünü Sağlayan İstenilen ve Maksimum Kazanç Daireleri .....	50
Şekil 3.8 Zcgmax 3.bölgedeyken Kaynak Empedansları.....	53
Şekil 3.9 Zcgmax 5.bölgedeyken Kazanç Daireleri ve Sonlandırmalar.....	55
Şekil 3.10 Koşullu Kararlı Transistor İçin Zi-düzleminde Sabit Kazanç Daireleri .....	58
Şekil 3.11 Koşullu Kararlı Transistor İçin İstenilen Giriş VSWR ve Gürültüyü Sağlayan Kazanç Daireleri ve Sonlandırmalar.....	60
Şekil 3.12 T1 Dairesinin Kaynak Kararlılık Dairesinin Eşlenliğini Kestiği Durum.....	61
Şekil 3.13 T2 Dairesinin Kaynak Kararlılık Dairesinin Eşlenliğini Kestiği Durum.....	62
Şekil 4.1. Verilen empedansın iki bölüme ayrılması.....	64
Şekil 5.1 Bir Küçük-İşaret Mikrodalga Transistoru Modeli .....	70
Şekil 5.2 Bir Uydurulmuş Transistorlu Kuvvetlendirici Blok Yapısı .....	71
Şekil 5.3 Aktif Elemanın YSA ile Performans Analizini Yapan ve Uydurma Devresi Tasarlayan Sistemin Blok Yapısı.....	71
Şekil 5.4 Yapay Sinir Ağı Programı (npsn.pas) Akış Diyagramı .....	72
Şekil 5.5 Performans Analizi Programı (PerAna.m) Akış Diyagramı .....	74
Şekil 5.6 Uydurma Devresi Tasarım Programı Akış Diyagramı.....	76

Şekil 6.1.1 Performans Analizi sonucunda farklı frekanslarda elde edilen daireler .....	103
Şekil 6.1.2 V <sub>req</sub> =1.5, Freq=4.5 dB için maksimum Kazanç-Frekans değişimi.....	105
Şekil 6.1.3 V <sub>req</sub> =1.5, Freq=4.5 dB için Frekans-Re{ZL/ZS} değişimi .....	105
Şekil 6.1.4 V <sub>req</sub> =1.5, Freq=4.5 dB için Frekans-Im{ZL/ZS} değişimi .....	106
Şekil 6.1.5 Çeşitli V <sub>req</sub> ve Freq'a yönelik maksimum kazanç değişimi .....	106
Şekil 6.1.6 Çeşitli V <sub>req</sub> ve Freq'a yönelik maksimum kazancın sınırlı kalması durumu.....	108
Şekil 6.1.7 Maksimum kazancın sınırlı kalması durumunda sonlandırmaların genlikleri.....	108
Şekil 6.1.8 Maksimum kazancın sınırlı kalması durumunda sonlandırmaların açıları .....	109
Şekil 6.1.9 f=2GHz için Gürültü-VSWR-Kazanç değişimleri .....	112
Şekil 6.1.10 f=2GHz için VSWR-Gürültü- Kazanç değişimleri .....	114
Şekil 6.1.11 V <sub>req</sub> =1 için Freq-Fmin değişimi .....	116
Şekil 6.1.12 V <sub>req</sub> =1 için Freq-Fmin'e karşılık gelen Kazanç değişimleri.....	116
Şekil 6.1.13 V <sub>req</sub> =1.2 için Freq-Fmin değişimi .....	118
Şekil 6.1.14 V <sub>req</sub> =1.2 için Freq-Fmin'e karşılık gelen Kazanç değişimleri.....	118
Şekil 6.1.15 r(w)/Re{ZL}-w değişimi.....	120
Şekil 6.1.16 ZL için Foster verileri-w değişimi .....	121
Şekil 6.1.17 ZL için minimum reaktans fonksiyonunun devresi .....	121
Şekil 6.1.18 ZL için Foster Fonksiyonunun devresi .....	122
Şekil 6.1.19 r(w)/Re{ZS}-w değişimi.....	123
Şekil 6.1.20 ZS için Foster verileri-w değişimi.....	124
Şekil 6.1.21 ZS için minimum reaktans fonksiyonunun devresi.....	124
Şekil 6.1.22 ZS için Foster Fonksiyonunun devresi.....	125
Şekil 6.1.23 r(w)/Re{ZS}-w değişimi .....	127
Şekil 6.1.24 ZS için Foster verileri-w değişimi.....	128
Şekil 6.1.25 ZS için minimum reaktans fonksiyonunun devresi.....	129
Şekil 6.1.26 ZS için Foster Fonksiyonunun devresi.....	129
Şekil 6.1.27 r(w)/Re{ZL}-w değişimi.....	130
Şekil 6.1.28 ZL için Foster verileri-w değişimi .....	131
Şekil 6.1.29 ZL için minimum reaktans fonksiyonunun devresi .....	132
Şekil 6.1.30 ZL için Foster Fonksiyonunun devresi .....	132
Şekil 6.2.1 Performans Analizi sonucunda farklı frekanslarda elde edilen daireler .....	144
Şekil 6.2.2 V <sub>req</sub> =1.5, Freq=4.5 dB için maksimum Kazanç-Frekans değişimi.....	146
Şekil 6.2.3 V <sub>req</sub> =1.5, Freq=4.5 dB için Frekans-Re{ZL/ZS} değişimi .....	146
Şekil 6.2.4 V <sub>req</sub> =1.5, Freq=4.5 dB için Frekans-Im{ZL/ZS} değişimi .....	147
Şekil 6.2.5 Çeşitli V <sub>req</sub> ve Freq'a yönelik maksimum kazanç değişimi .....	147

Şekil 6.2.6 Çeşitli Vireq ve Freq'a yönelik maksimum kazancın sınırlı kalması durumu.....	149
Şekil 6.2.7 Maksimum kazancın sınırlı kalması durumunda sonlandırmaların genlikleri.....	149
Şekil 6.2.8 Maksimum kazancın sınırlı kalması durumunda sonlandırmaların açıları .....	150
Şekil 6.2.9 $f=2\text{GHz}$ için Gürültü-VSWR-Kazanç değişimleri .....	153
Şekil 6.2.10 $f=6\text{GHz}$ için VSWR-Gürültü- Kazanç değişimleri .....	155
Şekil 6.2.11 $\text{Vireq}=1$ için Freq-Fmin değişimi .....	156
Şekil 6.2.12 $\text{Vireq}=1$ için Freq-Fmin'e karşılık gelen Kazanç değişimleri.....	157
Şekil 6.2.13 $\text{Vireq}=1.2$ için Freq-Fmin değişimi .....	158
Şekil 6.2.14 $\text{Vireq}=1.2$ için Freq-Fmin'e karşılık gelen Kazanç değişimleri.....	158
Şekil 6.2.15 $r(w)/\text{Re}\{ZL\}-w$ değişimi.....	160
Şekil 6.2.16 ZL için Foster verileri-w değişimi .....	161
Şekil 6.2.17 ZL için minimum reaktans fonksiyonunun devresi .....	162
Şekil 6.2.18 ZL için Foster Fonksiyonunun devresi .....	162
Şekil 6.2.19 $r(w)/\text{Re}\{ZS\}-w$ değişimi.....	162
Şekil 6.2.20 ZS için Foster verileri-w değişimi.....	163
Şekil 6.2.21 ZS için minimum reaktans fonksiyonunun devresi.....	164
Şekil 6.2.22 ZS için Foster Fonksiyonunun devresi.....	164

## **ÇİZELGE LİSTESİ**

Çizelge 2.1 YSA ile Von Neumann bilgisayarın karşılaştırılması .....	8
Çizelge 2.2 Öğrenme algoritmaları .....	17
Çizelge 2.3 YSA giriş parametreleri .....	31
Çizelge 2.4 YSA çıkış parametreleri .....	31
Çizelge 2.5 YSA eğitme parametreleri .....	32
Çizelge 6.1.1 $f=2\text{GHz}$ için Kazanç-VSWR-Gürültü değişimleri .....	107
Çizelge 6.1.2 $\text{Freq}=3.05 \text{ dB}$ için Gürültü-VSWR-Kazanç değişimleri .....	110
Çizelge 6.1.3 $V_{req}=1$ için VSWR-Gürültü-Kazanç değişimleri .....	113
Çizelge 6.1.4 $V_{req}=1$ için $\text{Freq}=\text{Fmin}+\Delta F$ değişimleri .....	115
Çizelge 6.1.5 $V_{req}=1.2$ için $\text{Freq}=\text{Fmin}+\Delta F$ değişimleri .....	117
Çizelge 6.1.6 Uydurma Devresi için kullanılan eleman değerleri .....	119
Çizelge 6.1.7 $\text{Freq}=\text{Fmin}+\Delta F$ durumunda uydurma devresi için kullanılan ZS değerleri	126
Çizelge 6.1.8 $\text{Freq}=\text{Fmin}+\Delta F$ durumunda uydurma devresi için kullanılan ZL değerleri	129
Çizelge 6.2.1 $f=2\text{GHz}$ için Kazanç-VSWR-Gürültü değişimleri .....	148
Çizelge 6.2.2 $\text{Freq}=3.05 \text{ dB}$ için Gürültü-VSWR-Kazanç değişimleri .....	151
Çizelge 6.2.3 $V_{req}=1$ için VSWR-Gürültü-Kazanç değişimleri .....	154
Çizelge 6.2.4 $V_{req}=1$ için $\text{Freq}=\text{Fmin}+\Delta F$ değişimleri .....	156
Çizelge 6.2.5 $V_{req}=1.2$ için $\text{Freq}=\text{Fmin}+\Delta F$ değişimleri .....	157
Çizelge 6.2.6 Uydurma Devresi için kullanılan eleman değerleri .....	159

## **ÖNSÖZ**

Bu tezin ortaya çıkmasında katkısı olan herkese en içten duygularımla sonsuz teşekkürler ederim.

Ayrıca doktoraya başlamamda ve tezin ortaya çıkmasında en fazla ve her zaman desteğini hissettiğim, gerekli bilgi, kaynak ve yönlendirmeyi sayelerinde her an hazır olarak bulduğum sevgili ve saygıdeğer Prof. Dr. Filiz GÜNEŞ hocama şükranlarımı kelimelerle ifade edebilmem mümkün değildir.

Aynı zamanda, her problemimizde bize gerekli bilgiyi ve zamanı ayıran, değerli bilgilerinden yararlanmamızı sağlayan sevgili hocam Prof. Dr. Fikret GÜRGÜN'e, en zor günlerimizde bize çıkış yolları önererek değerli bilgilerini bizlerle paylaşan sayın hocam Prof. Dr. Binboğa Sıddık YARMAN'a içten teşekkürlerimi sunarım.

Tez süresince desteklerini hiç eksik etmeyen Yrd. Doç. Dr. Hamid TORPİ, Dr. Bedri A. ÇETİNER, Tolga Bazan, Arzu Tepe ve Kerime Gül'e değerli katkılarından dolayı teşekkürü bir borç bilirim.

Tüm öğrenimim süresince bana gerekli desteği ve ortamı sağlayan ailemin her bir bireyine ayrı ayrı teşekkür ederim.

Cemal Tepe



**BABAMA ve ANNEME ...**

## ÖZET

Yapılan bu doktora tez çalışmasında, bir mikrodalga transistörün Yapay Sinir Ağrı (YSA) ile performans analiz ve giriş/çıkış uydurma devrelerinin tasarımasına yönelik yeni bir yöntem sunulmuştur. Dolayısıyla bu tez; YSA, performans analizi ve uydurma devre tasarımı olmak üzere üç ana bölümden oluşmaktadır.

Aktif devre elemanı (transistor) üretici verileriyle, YSA optimum sürede eğitilmektedir. Yapay sinir ağları eğitildikten sonra, klasik kestirim yöntemleri yerine kullanılarak, istenilen veriler kolay bir şekilde ve hızlıca elde edilebilmektedir. Böylelikle önerilen YSA modeli, optimizasyon prosedürü esnasında elemanın fizik denklemlerinin tekrar tekrar çözülmesini gerektirmeyecek ve klasik optimizasyon tekniklerinin ortak sorunu olan "başlangıç değer kestirimi" problemini ortadan kaldırarak tercih edilir duruma gelmektedir. Modelleme esnasında bir döngü içerisinde defalarca optimizasyona ihtiyaç duyulduğu düşünüldüğünde, önerilen yöntemin başarısı kolaylıkla ortaya çıkmaktadır.

Önerilen modelde, herhangi bir mikrodalga transistörün S ve gürültü parametreleri yapay sinir ağları çıkışları, frekans, kutuplama akımı ve gerilimi ile konfigürasyon tipi yapay sinir ağları girişini oluşturmaktadırlar. Böylelikle YSA, frekans, kutuplama ve konfigürasyon tipi parametreleriyle, S ve gürültü parametreleri arasında bir eşleşme yaratarak; eleman denklemleri çözülmeden optimizasyon işlemlerini yapma olanağı sağlamaktadır. Bu çalışmada, YSA üretici tarafından verilmeyen gürültü parametrelerini kestirebilmek için kullanılmıştır.

Transistörün performans analizinde kullanılan ve GÜNEŞ metoduna dayanan optimizasyon problemi,  $F_{req} - F(R_S, X_S) = 0$  ve  $V_{ireq} - V_i(R_S, X_S, R_L, X_L) = 0$  olmak üzere ( $G_{T_{max}}$ , maksimum kazanç ve  $G_{T_{req}}$  istenilen kazanç),  $G_{T_{max}} - G_T(R_S, X_S, R_L, X_L) = 0$  ve ayrıca  $G_{T_{req}} - G_T(R_S, X_S, R_L, X_L) = 0$  olacak şekilde iki ayrı durum için kararlı bölgede kalmak koşuluyla mümkün tüm  $Z_S = R_S + jX_S$  ve  $Z_L = R_L + jX_L$  kompleks sonlandırmalarını geometriksel ve matematiksel olarak belirlemek şeklinde ifade edilebilir. Bu durumda bu işlemler sonucunda;  $\{F_{req}, V_{ireq}, G_{T_{max}}[f, V_{CE}, I_C]\} \Leftrightarrow Z_{L_{max}}[f, V_{CE}, I_C]$ ,  $Z_{S_{max}}[f, V_{CE}, I_C]$  ve  $\{F_{req}, V_{ireq}, G_{T_{min}} \leq G_{T_{req}} \leq G_{T_{max}}[f, V_{CE}, I_C]\} \Leftrightarrow Z_{L_{req}}[f, V_{CE}, I_C]$ ,  $Z_{S_{req}}[f, V_{CE}, I_C]$  fonksiyonlarına ulaşılmış olacaktır. Burada  $f$ ; frekansı ve  $V_{CE}$  ile  $I_C$  (veya  $V_{DS}$  ile  $I_{DS}$ ) kutuplama noktasını dolayısıyla transistörün gürültü ve S-parametrelerini ifade etmektedir.

Bu tür yüksek dereceli polinomların içerdiği optimizasyon problemlerin çözümüne yönelik

bir takım yöntemler literatürde sıkça yer almaktadır ancak tanımladığımız problemin hem reel hem de sanal kısma sahip olması ve ayrıca çok hesaplama zamanına ihtiyaç duymaları önerilen geometriksel yöntemi daha avantajlı duruma getirmektedir. Bunun yanında bu tezde tüm çözümler hem analitik hem'de geometriksel olarak ifade edilmişlerdir. Kullanılan yöntem adımları ilgili bölümlerde açıklanmıştır.

Performans analizi sonucunda elde edilen sonlandırmalara ilişkin giriş/çıkış uydurma devrelerin tasarımasına yönelik birçok yöntem bulunmaktadır. Biz burada ileriki bölümlerde açıklanan empedans yaklaşım yöntemini kullanacağız. Bu yöntemde veriler, pozitif reel bir  $z(s)$  empedans fonksiyonu ile modellendiği zaman bu  $z(s)$  empedans fonksiyonu sentez edilebilir olacaktır. Ölçülen verilerdeki reel ve sanal kısımları ayrı ayrı modellemek, Empedans Yaklaşımı ile Modelleme yöntemimizin esasını oluşturur. Reel ve sanal kısımları ayrı ayrı modellemek için, uygulanan empedans yaklaşımına ilişkin adımlar ileriki bölümlerde anlatılacaktır.

Bir mikrodalga transistörün YSA ile performans analizi ve modellenmesi konusunda ilk defa bu tezde ortaya konulan noktalar aşağıda sıralanmıştır.

- a) Transistörün, klasik küçük-işaret eşdeğer devresi yerine YSA eşdeğeriyle, çalışma koşullarının (konfigürasyon tipi (CT), kutuplama akım ( $I_C$ ) ve gerilimi ( $V_{CE}$ ), frekans ( $f$ )) fonksiyonu olarak davranışının yanında tayini ve bunun uygulamada kullanılması.
- b)  $F_{req} \geq F_{\min}$ ,  $V_{ireq} \geq 1$  ve  $G_{T_{\min}} \leq G_{T_{req}} \leq G_{T_{\max}}$  koşulları altında herhangi bir  $(F_{req}, V_{ireq}, G_{T_{req}})$  uyumlu performans üçlüsü ile birlikte,  $G_{T_{\max}}$ 'ye karşılık gelen  $Z_{L_{\max}} = Z_L = R_L + jX_L$ ,  $Z_{S_{\max}} = Z_S = R_S + jX_S$  ve  $G_{T_{req}}$ 'a karşılık gelen  $Z_{L_{req}} = R_{L_{req}} + jX_{L_{req}}$ ,  $Z_{S_{req}} = R_{S_{req}} + jX_{S_{req}}$  sonlandırmalarının, transistörün çalışma koşullarının (konfigürasyon tipi (CT), kutuplama akım ( $I$ ) ve gerilimi ( $V$ ), frekans ( $f$ )) fonksiyonu olarak tayin edilip hesaplanması.
- c) Uyumlu performans üçlüsünü gerçekleyen kararlı bölgelerde istenilen adım aralığıyla mümkün tüm sonlandırmaların sistematik olarak tayin edilip hesaplanması.
- d) Bulunan sonlandırmaların sistematik bir yöntemle (empedans parametreleri yaklaşımı) giriş/çıkış uydurma devrelerini tasarımda kullanılması.
- e) Bir mikrodalga transistörün için YSA, performans analizi ve giriş/çıkış uydurma devrelerinin elde edilmesi şeklinde bir blok yapının Aktif Mikrodalga devre sentezinde

kullanılmak üzere sunulması.

Tüm çalışmalar bilgisayar programlarıyla yapılmıştır ve programlarla çıktıları ilgili bölümlerde verilmiştir.



## **ABSTRACT**

In this Ph.D. thesis, signal and noise behaviors of microwave transistors are modeled through the neural network approach for the whole operating ranges including frequency, bias and configuration types to provide input data for the method of graphical design of a low-noise, low VSWR microwave stable amplifier and design input and output matching circuits of this amplifier. So this thesis consists of three main chapters: Neural Network, performance Analysis of a Microwave transistor and designing input/output matching circuits.

Here, the transistor is modeled by a black box whose small-signal and noise parameters are evaluated through a neural network, based upon the fitting of both of these parameters for multiple bias and configuration type with the target space. The concurrent modeling procedure does not require to solve any equation of the physics of the device during the optimization procedure. After having trained the network in an optimum time interval compared with the other modeling techniques, inputting the required configuration type (CT), bias condition ( $V_{DS}, I_{DS}$  or  $V_{CE}, I_C$ ) and operating frequency, one can obtain the corresponding eight signal parameters which are the scattering parameters in our study, and four noise parameters.

In another chapter of this study, maximum transducer power gain of a stable microwave transistor has been analytically expressed in terms of noise figure, input VSWR and the two-port parameters. The analysis has been based on GÜNEŞ method with the geometrical representations of constant noise, input VSWR and gain circles in the impedance planes and the solution has been obtained in the input impedance plane. The corresponding terminations are also derived analytically. The conditionally stable transistor has also been discussed and the same reasoning has been performed on the computer-plotted graphs and contours clearly. Different curve groups depending on VSWR-Gain-Noise parameters are plotted on computer. In the program, to help the designer an option for plotter outputs of curves is included for the user.

Finally, input and output matching circuits of the amplifier have been designed by using Impedance parameter approach explained in the following chapters. As know by a theorem, any impedance can be stated as a sum of minimum reactance function and a foster function. The characteristic of the minimum reactance function is that its real part is non-negative and it can be fully obtained from either real or imaginary part. The required steps of this method are given in the following chapters.

In this Ph.D. thesis the concepts that are new in the literature are presented as follows;

- a) The transistor is modeled by a black box whose small-signal and noise parameters are immediately evaluated through a neural network, based upon the fitting of both of these parameters for multiple bias, configuration type and frequency.
- b) Concerning  $F_{req} \geq F_{min}$ ,  $V_{ireq} \geq 1$  and  $G_{T_{min}} \leq G_{T_{req}} \leq G_{T_{max}}$ ; any given  $(F_{req}, V_{ireq}, G_{T_{req}})$  performance triplets that provides  $Z_{L_{max}} = Z_L = R_L + jX_L$ ,  $Z_{L_{max}} = Z_L = R_L + jX_L$  termination couple corresponding to  $G_{T_{max}}$  and  $Z_{L_{req}} = R_{L_{req}} + jX_{L_{req}}$ ,  $Z_{S_{req}} = R_{S_{req}} + jX_{S_{req}}$  termination couple corresponding to  $G_{T_{req}}$  are evaluated in terms of operation conditions such as configuration type, bias conditions and frequency. So that microwave amplifier design can be easily achieved over whole operation frequency band.
- c) Identifying all possible terminations systematically realizing performance triplets with a parametric step size over the stable regions.
- d) Defining input/output matching circuits by concerning the termination calculated with a “impedance parameter approach” procedure.
- e) Proposing the first block structure based on Neural Network, performance analysis of a Microwave transistor and designing input/output matching circuits that will be used the synthesis of Active Microwave circuits.

All the work is done by computer programs and the outputs of programs are given in the related chapters.

## 1. GİRİŞ

### 1.1 Tezin Kapsamı

Yapılan bu doktora tez çalışmasında, bir mikrodalga transistörün Yapay Sinir Ağrı (YSA) ile performans analiz ve giriş/çıkış uydurma devrelerinin tasarımasına yönelik yeni bir yöntem sunulmuştur. Dolayısıyla bu tez; YSA, performans analizi ve uydurma devre tasarımını olmak üzere üç ana bölümden oluşmaktadır.

Bilgisayar dünyasındaki baş döndürücü gelişmeler, bilgisayarın mikrodalga devre tasarım ve optimizasyon işlemlerinde kullanımı kaçınılmaz hale gelmesine neden olmuştur. Devre modelinin fiziksel elemanlarla gerçekleştirilmeden bilgisayarla simule edilebiliyor olması tasarımcıya zaman, maliyet ve işgücü açısından büyük avantajlar sağlamaktadır. Bu tezde ise, aktif mikrodalga devrelerinde, programlanmış yapay sinir ağrı (YSA) yardımıyla yapılan doğru ve etkin yeni bir analiz ve modelleme yöntemi ortaya konulmaktadır. Burada YSA aktif devre elemanı (transistor) simule etmek için kullanılmıştır.

Yapılan çalışmada, aktif devre elemanı (transistor) üretici verileriyle, YSA optimum sürede eğitilmektedir. Yapay sinir ağrı eğitildikten sonra, klasik kestirim yöntemleri yerine kullanılarak, istenilen veriler kolay bir şekilde ve hızlıca elde edilebilmektedir. Böylelikle önerilen YSA modeli, optimizasyon prosedürü esnasında elemanın fizik denklemlerinin tekrar tekrar çözülmesini gerektirmeyecek ve klasik optimizasyon tekniklerinin ortak sorunu olan "başlangıç değer kestirimini" problemini ortadan kaldırarak tercih edilir duruma gelmektedir. Modelleme esnasında bir döngü içerisinde defalarca optimizasyona ihtiyaç duyulduğu düşünüldüğünde, önerilen yöntemin başarısı kolaylıkla ortaya çıkmaktadır.

Önerilen modelde, herhangi bir mikrodalga transistörün S ve gürültü parametreleri yapay sinir ağrı çıkışı, frekans, kutuplama akımı ve gerilimi ile konfigürasyon tipi yapay sinir ağrı girişini oluşturmaktadırlar. Böylelikle YSA, frekans, kutuplama ve konfigürasyon tipi parametreleriyle, S ve gürültü parametreleri arasında bir eşleşme yaratarak; eleman denklemleri çözülmeden optimizasyon işlemlerini yapma olanağı sağlamaktadır. Bu çalışmada, YSA üretici tarafından verilmeyen gürültü parametrelerini kestirebilmek için kullanılmıştır.

YSA'dan elde edilen veriler mikrodalga transistörün performans analizi işleminde kullanılacaktır. Son yıllarda düşük gürültülü mikrodalga transistör kuvvetlendirici ve onların tasarım tekniklerinde artan bir ilgi oluşmaktadır. Temel talep, belirli bant genişliği içinde

minimum gürültü ( $F_{\min}$ ), minimum giriş VSWR (=1) ve yüksek kazançtır.

Transistorun performans analizinde kullanılan ve GÜNEŞ metoduna dayanan optimizasyon problemi,  $F_{req} - F(R_s, X_s) = 0$  ve  $V_{ireq} - V_i(R_s, X_s, R_L, X_L) = 0$  olmak üzere ( $G_{T_{max}}$ , maksimum kazanç ve  $G_{T_{req}}$  istenilen kazanç),  $G_{T_{max}} - G_T(R_s, X_s, R_L, X_L) = 0$  ve ayrıca  $G_{T_{req}} - G_T(R_s, X_s, R_L, X_L) = 0$  olacak şekilde iki ayrı durum için kararlı bölgede kalmak koşuluyla mümkün tüm  $Z_s = R_s + jX_s$  ve  $Z_L = R_L + jX_L$  kompleks sonlandırmalarını geometriksel ve matematiksel olarak belirlemek şeklinde ifade edilebilir. Bu durumda bu işlemler sonucunda;  $\{F_{req}, V_{ireq}, G_{T_{max}}[f, V_{CE}, I_C]\} \Leftrightarrow Z_{L_{max}}[f, V_{CE}, I_C]$ ,  $Z_{S_{max}}[f, V_{CE}, I_C]$  ve  $\{F_{req}, V_{ireq}, G_{T_{min}} \leq G_{T_{req}} \leq G_{T_{max}}[f, V_{CE}, I_C]\} \Leftrightarrow Z_{L_{req}}[f, V_{CE}, I_C]$ ,  $Z_{S_{req}}[f, V_{CE}, I_C]$  fonksiyonlarına ulaşılmış olacaktır. Burada  $f$ ; frekansı ve  $V_{CE}$  ile  $I_C$  (veya  $V_{DS}$  ile  $I_{DS}$ ) kutuplama noktasını dolayısıyla transistorun gürültü ve S-parametrelerini ifade etmektedir.

Bu tür yüksek dereceli polinomların içerdiği optimizasyon problemlerin çözümüne yönelik bir takım yöntemler literatürde sıkça yer almaktadır ancak tanımladığımız problem hem reel hem de imajiner kısma sahip olması ve ayrıca çok hesaplama zamanına ihtiyaç duymaları önerilen geometriksel yöntemi daha avantajlı duruma getirmektedir. Bunun yanında bu tezde tüm çözümler hem analitik hem de geometriksel olarak ifade edilmişlerdir.

Kullanılan yöntem aşağıdaki adımlardan oluşmaktadır:

- Verilen bir transistor ilişkin  $F$ =sabit,  $V_i$ =sabit ve  $G_T$ =sabit dairelerine yönelik  $Z_s$ -düzleminde analiz yapılır. Bu adımda gürültü ve VSWR dairelerinin  $Z_s$ -düzlemindeki konumları belirlenmiş olur. Bu dairelerin durumları  $G_{T_{max}}, G_{T_{req}}, Z_s$  ile  $Z_L$  değerlerini belirlenmesine yardımcı olacaktır.
- $Z_i$ -düzleminde yapılacak analizlerde kararlılık bölgeleri belirlenir. Ayrıca burada kararlı bölgeye belirlenecek  $Z_i$  değeri bir  $Z_L$  'e ve  $Z_s$ -düzleminde  $F$  ve  $V_i$  dairelerinin durumuna göre bir veya iki  $Z$  değerine karşılık düşürülecektir.
- $G_{T_{max}}$  ve  $G_{T_{req}}$  için tüm mümkün  $Z_s$  ve  $Z_L$  değerleri kararlı bölgeye kalacak şekilde belirlenir.
- Bu işlemler tüm çalışma bandı frekanslarında yapılarak analiz tanımlanmış olur .

Yukarıda anlatılan adamlarla modellemeye temel oluşturacak veriler elde edilmiş olmaktadır.

Haberleşme sistemlerinin tasarımında sıkça karşılaşılan temel problemlerden birisi, sayısal veriler ile tanımlanmış bulunan fiziksel eleman ve yapıların devre modellerinin çıkarılmasıdır. Özellikle mikrodalga frekanslarında çalışan sistemlerde, yüksek frekans transistorları, anten, yükselteç ve güç kaynağı gibi ön, ara ve son kat birimlerinin karakteristikleri genelde sadece ölçüm verileri ile tanımlanmaktadır. Bu tür birimleri içeren yüksek frekans sistemlerinde, katlar arasında güç transferini kontrol etmek için ihtiyaç duyulan filtre ve uydurma devreleri tasarımlarında, bilinen analitik ve yarı analitik yöntemlerin kullanılması, sayısal veriler ile tanımlı elemanların, gerçekleştirilebilir devre fonksiyonları veya devre elemanları ile modellenmiş olmasını gerektirmektedir. Bu anlamda, mevcut analitik tasarım yöntemlerinin uygulanabilmesi için gerek haberleşme sistemlerinde gerekse elektronik mühendisliğinin diğer disiplinlerinde karşılaşılan sayısal verilerle tanımlanmış yapıların, kayıplı veya kayıpsız devre elemanları ile modellenmesi büyük önem taşımaktadır.

Sayısal verilerden devre modellenmesine ihtiyaç duyulan tipik uygulamalardan bir tanesi klasik geniş bantlı uydurma devre tasarımidır. Bu problemde, verilen bir kaynak ile yük arasında, mümkün olduğunca geniş bir frekans bandı üzerinde, maksimum güç transferini sağlayacak kayıpsız elemanlardan oluşan bir, iki kapılı uydurma devresinin belirlenmesi söz konusudur. Burada kaynak ve yük empedansları uygulamaya bağlı olarak bizim durumumuzda olduğu gibi sayısal veriler ile tanımlanmış olabilmektedir.

Literatürde veri modelleme çalışmaları çok eskilere uzanmaktadır. Ancak, mevcut yaklaşımalar ile modellemenin güçlüğü ve sonuçların söz konusu uydurma problemlerde istenen hassasiyet açısından yetersiz kalması nedeni ile, çalışmalar doğrudan sayısal veriler ile tanımlı yüklerden çalışabilen alternatif saf sayısal veya yarı-analitik bilgisayar destekli yaklaşımlar üzerine yoğunlaşmıştır. (Carlin H.J., Yarman S.B., 1983) tarafından başlatılan ve Reel Frekans Teknikleri diye adlandırılan bu yeni yarı-analitik çözüm yöntemleri daha sonra birçok araştırmacı tarafından geliştirilmiş ve analitik yöntemlerde kaçınılmaz olarak ihtiyaç duyulan veri modelleme problemindeki güçlükleri ortadan kaldırılmıştır. Ancak, verimli ve hassas veri modelleme yöntemlerinin geliştirilmesi ve analitik yöntemler ile uydurma problemlerinin çözümü halen araştırmacılar tarafından çözüm bekleyen temel problemlerden birini teşkil etmektedir.

Pratikte, bir yük, ilgilenilen frekans bölgesinde ölçülmüş empedansın reel-sanal kısımları olarak tanımlanılmaktadır. Bu şekilde tanımlı sayısal yük verilerinin bir devre yapısı ile modellenmesi, temel olarak devre fonksiyonlarının gerçeklenme koşulları sağlanacak şekilde elde edilmesini içermektedir. Bu çalışmada, sayısal veriler ile tanımlı fiziksel bir yapının

kayıplı bir tek kapılı devre olarak veya kayıpsız elemanlardan oluşan bir iki kapılı devre ile modellenmesi incelenmiştir.

Verilen bir giriş empedansının modellenmesinde iki yöntem çok sık olarak kullanılmıştır.

- 1). Bir devre topolojisi belirlenerek verilere en iyi uyan eleman değerlerinin belirlenmesi.
- 2). Verileri en iyi temsil eden empedans veya saçılma parametrelerinin belirlenmesi ve bu parametrelerin sentezi ile eşdeğer devrenin bulunması.

Modelleme yapmak için bir devre topolojisi seçildiğinde, bir optimizasyon paketi yardımıyla verilere en iyi uyan eleman değerleri belirlenir. Bu çok basit ve düz bir yöntem olmasına rağmen bazı zorluklar içermektedir: Yapılacak optimizasyon işlemi eleman değerleri açısından oldukça lineerlikten uzaktır bu nedenle bölgesel bir minimuma ulaşılabilir veya optimizasyon hiç yakınsamayabilir. Böylece zor lineer olmayan optimizasyon problemlerinin iyi sonuç verebilmesi için başlangıç değerinin çok iyi seçilmiş olması gereklidir. Oysa bu başlangıç değerini bulmak o kadar kolay değildir. En önemlisi, problemin doğasına uygun olarak topoloji nasıl seçilecektir? Bu belirgin değildir. Bu nedenle modelleme yapan kişi deneme yanılma yöntemiyle bir çok topoloji seçecektir, sonuçta en iyi optimizasyonu veren topolojiyi model olarak alacaktır veya tesadüfen de olsa uygun topoloji denk düşmezse problem çözümsüz kalacaktır.

Verileri en iyi temsil eden empedans parametrelerini bulmak için birçok yöntem uygulanmıştır. Bizim durumumuzda bu değerlerin transistorun performans analizi programından geldiğini daha önce belirtmiştık. Bu veriler, pozitif reel bir  $z(s)$  empedans fonksiyonu ile modellendiği zaman bu  $z(s)$  empedans fonksiyonu sentez edilebilir. Ölçülen verilerdeki reel ve sanal kısımları ayrı ayrı modellemek, Empedans Yaklaşımı ile Modelleme yöntemimizin esasını oluşturur. Reel ve sanal kısımları ayrı ayrı modellemek için, uygulanan empedans yaklaşımına ilişkin adımlar ileriki bölümlerde anlatılacaktır.

Bir mikrodalga transistorun YSA ile performans analizi ve modellenmesi konusunda ilk defa bu tezde ortaya konulan noktalar aşağıda sıralanmıştır.

- a) Transistorun, klasik küçük-işaret eşdeğer devresi yerine YSA eşdeğeriyle, çalışma koşullarının (konfigürasyon tipi (CT), kutuplama akım ( $I_C$ ) ve gerilimi ( $V_{CE}$ ), frekans ( $f$ )) fonksiyonu olarak davranışının yanında tayini ve bunun uygulamada kullanılması.
- b)  $F_{req} \geq F_{\min}$ ,  $V_{ireq} \geq 1$  ve  $G_{T\min} \leq G_{Treq} \leq G_{T\max}$  koşulları altında herhangi bir

$(F_{req}, V_{req}, G_{Treq})$  uyumlu performans üçlüsü ile birlikte,  $G_{Tmax}$ 'ye karşılık gelen  $Z_{L_{max}} = Z_L = R_L + jX_L$ ,  $Z_{S_{max}} = Z_S = R_S + jX_S$  ve  $G_{Treq}$ 'a karşılık gelen  $Z_{L_{req}} = R_{L_{req}} + jX_{L_{req}}$ ,  $Z_{S_{req}} = R_{S_{req}} + jX_{S_{req}}$  sonlandırmalarının, transistorun çalışma koşullarının (konfigürasyon tipi (CT), kutuplama akım ( $I_C$ ) ve gerilimi ( $V_{CE}$ ), frekans ( $f$ )) fonksiyonu olarak tayin edilip hesaplanması.

- c) Uyumlu performans üçlüsünü gerçekleyen kararlı bölgelerde istenilen adım aralığıyla mümkün tüm sonlandırmaların sistematik olarak tayin edilip hesaplanması.
- d) Bulunan sonlandırmaların sistematik bir yöntemle (empedans parametreleri yaklaşımı) giriş/çıkış uydurma devreleri tasarımda kullanılması.
- e) Bir mikrodalga transistorun için YSA, performans analizi ve giriş/çıkış uydurma devrelerinin elde edilmesi şeklinde bir blok yapının Aktif Mikrodalga devre sentezinde kullanılmak üzere sunulması.

Tüm çalışmalar bilgisayar programlarıyla yapılmıştır ve programlarla çıktıları ilgili bölümlerde verilmiştir.

## 1.2 Kaynak Araştırması

1970'lerden başlamak üzere günümüzde degen bilgisayar destekli mikrodalga tasarımda önemli gelişmeler sağlanmıştır. Artık bilgisayar kullanımı mikrodalga devre tasarımları süresince kaçınılmaz bir araç durumuna gelmiştir. Bilgisayar kullanımıyla, zaman ve maliyet probleminden kurtulup, devreyi simule etme olanağına kavuşulmaktadır (Blaavw, Gerrit A. ve Brodes, Frederic P.).

Bilgisayar bu kadar yaygın ve kullanışlı olmadığı zamanlarda da optimizasyona ihtiyaç duyulmuştur. Bu durumda araştırmacılar optimizasyon işlemine yönelik birçok yöntemler önermişlerdir (Kenneth W. Cattermale, 1985), (Arthur E. Bryons, Jr. Mu-Chi-Ho (1975), (Kenneth W. Cattermule, Sohn & O'Reilly, 1984) ve (Björn Albinson, 1990). Bilgisayarın optimizasyon işleminde kullanılabileceği ortaya çıktığında, bilgisayar yardımıyla tasarım ve analiz konusuna ağırlık verilmeye başlanmıştır (Dobrowolski Janusz A., 1991), (Stephen A. Maas, 1988). Bilgisayarla parametre ve nümerik analiz yöntemleri üzerinde bazı tezler yazılmıştır (Tepe Cemal, 1991) ve (Tepe Cemal, 1994).

Gelişen teknoloji karşısında bilgisayarla yapılan optimizasyon işlemlerinin birtakım eksikliklerinin olduğunun ortaya çıkması, araştırmaların yeni metodlarla geliştirilmesine

zorlamıştır. Biyolojik sinir ağının çalışma prensibinin programlanabileceği ortaya çıktığında, optimizasyon işleminin Yapay Sinir Ağı (YSA) ile yapılabileceği noktasına gelinmiştir (Cichocki, A ve Unbehauen R., 1993), (Hykin Simon, 1994) ve (Werbos, P. John, 1994). Zaabab A.Hafid, Zhang Qi-Jun, Nakhla Michel, (1995) önerdiği devre optimizasyonuna yönelik YSA yaklaşımıyla, çalışmalar hızlanmış ve bu konuda birçok yayın ortaya çıkmıştır (Güneş, F., Gürgen, F., Torpi, H., 1996), (Torpi Hamid, 1997), (Bandler John, Shauhuacher W., 1998), (Veluswami Anand, Nakhla Michel S. and Zhang Qi-Jul, 1997), (Zaabab A. Hafid, Zhong Qi-Jun, Nakhla Michel S., 1995) ve (Wamg Fang, Zhang Qi-Jun, 1997).

Bu gelişmelere paralel olarak mikrodalga devrelerde de birtakım gelişmeler kaydedilmiştir. (Güneş Macit, 1980) tarafından geliştirilen mikrodalga transistörün geometriksel yöntemle performans analizi üzerinde yapılan çalışmalarla söz konusu bu yöntem geliştirilmiştir (Güneş Filiz, Güneş M., Fidan M., 1994) ve (Güneş F., Çetiner B.A., 1998).

YSA ve mikrodalga alanındaki bu gelişmelerle birlikte veri modellemesi ve uydurma devre tasarımda da yeni gelişmeler kaydedilmiştir (Carlin H.J., Yarman S.B., 1983) tarafından ortaya konulan uydurma devre tasarımı yöntemlerini (Yarman S.B., Feltuvies A., 1990), (Yarman S.B., Akşen A., 1992) ve (Kılınç Ali, 1995) izlemiş ve böylelikle yeni gelişmeler ortaya konulmuştur.

### **1.3 İçerik Düzenlemesi**

Tezde bulunan bölümlerde içeren bilgiler aşağıda kısaca özetlenmiştir.

Bölüm 1'de tez konusunda, şu ana kadar yayınlanmış kaynaklardan bahsedilerek konuya giriş yapılmıştır.

Bölüm 2'de Yapay Sinir Ağları hakkında genel bilgiler verilerek tezde kullanılan YSA tanıtılmıştır.

Bölüm 3'de çözümü hedeflenmiş optimizasyon problemi ifade edilmiş ve mikrodalga transistörün performans analizi ortaya konarak sonlandırmaların bulunabilmesi için kullanılan yöntemlerden söz edilmiştir. Yine bu bölümde transistörün kararlılık durumundan ve çalışma bölgelerinden bahsedilmiştir.

Bölüm 4'de 3. Bölümde bahsedilen sonlandırma verilerinden uydurma devrelerini elde edebilmek için kullanılan yöntem tanıtılmıştır.

Bölüm 5'de Bölüm 2-4'de verilen yöntemlerin uygulanabilmesi için geliştirilen programlar

tanıtılmış ve tezin kapsamı blok yapılarla ifade edilerek geliştirilen ve kullanılan sistem ortaya konulmuştur.

Bölüm 6'da üç farklı transistor verileri için uygulama yapılmış ve sonuçlar verilmiştir.

Daha sonraki bölümlerde ise sonuçlar ve önerilerden bahsedilerek kaynaklar, ekler ve özgeçmiş verilmiştir.

## 2. YAPAY SINİR AĞLARI

### 2.1 Genel Bilgiler

#### 2.1.1 Yapay Sinir Ağları Tanımı

Yapay sinir ağı (YSA) yeni bir bilgi işleme tekniğidir. YSA bilgisayar tabanlı sinir sistemi olarak düşünülebilir ve klasik hesaplama tekniklerinden oldukça farklı çalışır. Matematiksel bir tabana sahiptir ve eğitmek için kullanılacak geçerli bir istatistiksel kümeye ihtiyacı vardır. Biyolojik Sinir Ağları sayesinde akıllı sistemlerde sayısız gelişmeler olmuştur. Birçok bilim dalındaki araştırmacılar örüntü (pattern) tanıma, kestirme, optimizasyon, ilişkili bellek (associative memory) ve kontrol konularında bazı problemleri çözebilmek için YSA tasarlamaya çalışmaktadır (Simon, 1994).

Bu tür problemleri çözmek için bazı klasik yaklaşımlar önerilmiştir. Bazı durumlarda bu tür problemlerin çözümüne yönelik birçok başarılı uygulama bulunmasına rağmen, hiçbir kendi domenleri dışında yeterince esnek değildir. Bu konuda YSA oldukça geniş bir esneklik sağlamaktadır. Aşağıdaki birçok karakteristik özellik, Von Neumann veya modern bilgisayarda yeterince içerikmemektedir (Marilyn ve Illigworth, 1991). Bu karakteristik özellikler yoğun paralellik (massive parallelism), dağıtılmış gösterilim ve hesaplama, öğrenme kabiliyeti, genelleştirme yeteneği, uyum sağlama, bilgi işleme, hata analizi ve düşük enerji tüketimi (kaynak sarfiyatı), vs. YSA dayalı cihazların yukarıdaki belirtilen karakteristik özelliklerden bazılarını işleyebileceği ümit edilmektedir. Modern sayısal bilgisayarlar, nümerik hesaplamalarda insanlardan daha üstün durumdadırlar. Diğer taraftan insanlar herhangi bir çaba göstermeksızın bir insanın yüzünü rahatlıkla algılayabilir. Bunu bilgisayarla gerçekleştirmek oldukça güçtür. Gösterilen performanstaki bu ciddi fark, yapay sinir ağı mimarisini ile Von Neumann mimarisinin tamamen farklı olmasından kaynaklanmaktadır (Çizelge 2.1)

Çizelge 2.1 YSA ile Von Neumann bilgisayarın karşılaştırılması

Özellik	Von Neumann	YSA
İşlemci	Karmaşık Yüksek hız Bir yada birkaç tane	Basit Düşük hız Çok miktarda
Hafiza	İşlemciden bağımsız	İşlemciye entegre

	Yerelleştirilmiş İçerik adreslenemeyen	Dağılmış İçerik Adreslenebilir
Hesaplama	Merkezileşmiş Sıralı Yüklü programlar	Dağılmış Paralel Kendiliğinden öğrenme
Güvenilirlik	Çok Hassas	Güçlü
Deneyim	Nümerik ve sembolik marifetli	Algılama problemleri
Çalışma ortamı	İyi tanımlanmış sınırılar iyi belirlenmiş	İyi tanımlanmamış sınırlandırılmamış

Merkezi mimarili Von Neumann'a dayalı programlara birçok akıl kazandırma çalışmalarına rağmen, bu çalışmalar genel bir akıllı program elde etme şeklinde sonuçlanmamıştır (Marilyn ve Illigworth, 1991). Biyolojik sinir ağı yardımıyla, YSA oldukça çok sayıda basit işlemciler ve bağlantılar sayesinde yoğun paralel hesaplamalar yapabilir duruma getirilmiştir.

Yapay sinir ağı (YSA) girişindeki bilgiyi çok boyutlu ve lineer olmayan bir fonksiyon üzerinden çıkıştaki bilgiye eşlestiren bir modeldir. Giriş uzayı  $X$  n-boyutlu bir vektör (devre eleman parametrelerinden oluşuyor olabilir) bu vektör çıkış uzayında, aradaki gizli katmalar üzerinden,  $p$ -boyutlu bir  $Y$  vektörüne (yne devre eleman parametreleri olabilir) karşılık düşürülüyor.

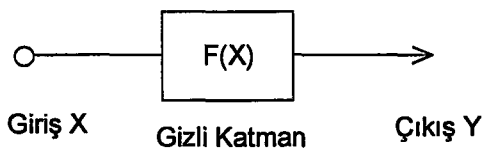
$X$  ile  $Y$  arasındaki ilişki çok boyutlu ve lineer olmaması özelliğiyle YSA modelleri diğer eşleştirme metodlarına göre avantajlı olmaktadır.

Bu ilişki matematiksel olarak,

$$Y=F(X) \quad (2.1)$$

şeklinde tanımlanabilir. Buradaki  $F$  fonksiyonu normalde basit ve hesaplamalarda düşük belleğe ihtiyaç duyacak yapıda olmak zorundadır. Geleneksel modellemelerde ve simülasyon tekniklerinde bu  $F$  fonksiyonu nümerik hesaplamalar ve analizlerle hesaplanır. YSA yaklaşımında ise bu fonksiyon bir YSA kullanılarak gerçekleştirilir ve nümerik hesap ve analizlere ihtiyaç kalmaz.

Şekil 2.1'den de görülebileceği gibi  $n$ -boyutlu  $X$  giriş vektörü bir gizli katman üzerinden  $p$ -boyutlu  $Y$  çıkış vektörünü oluşturmaktadır.



Şekil 2.1 YSA blok gösterilim

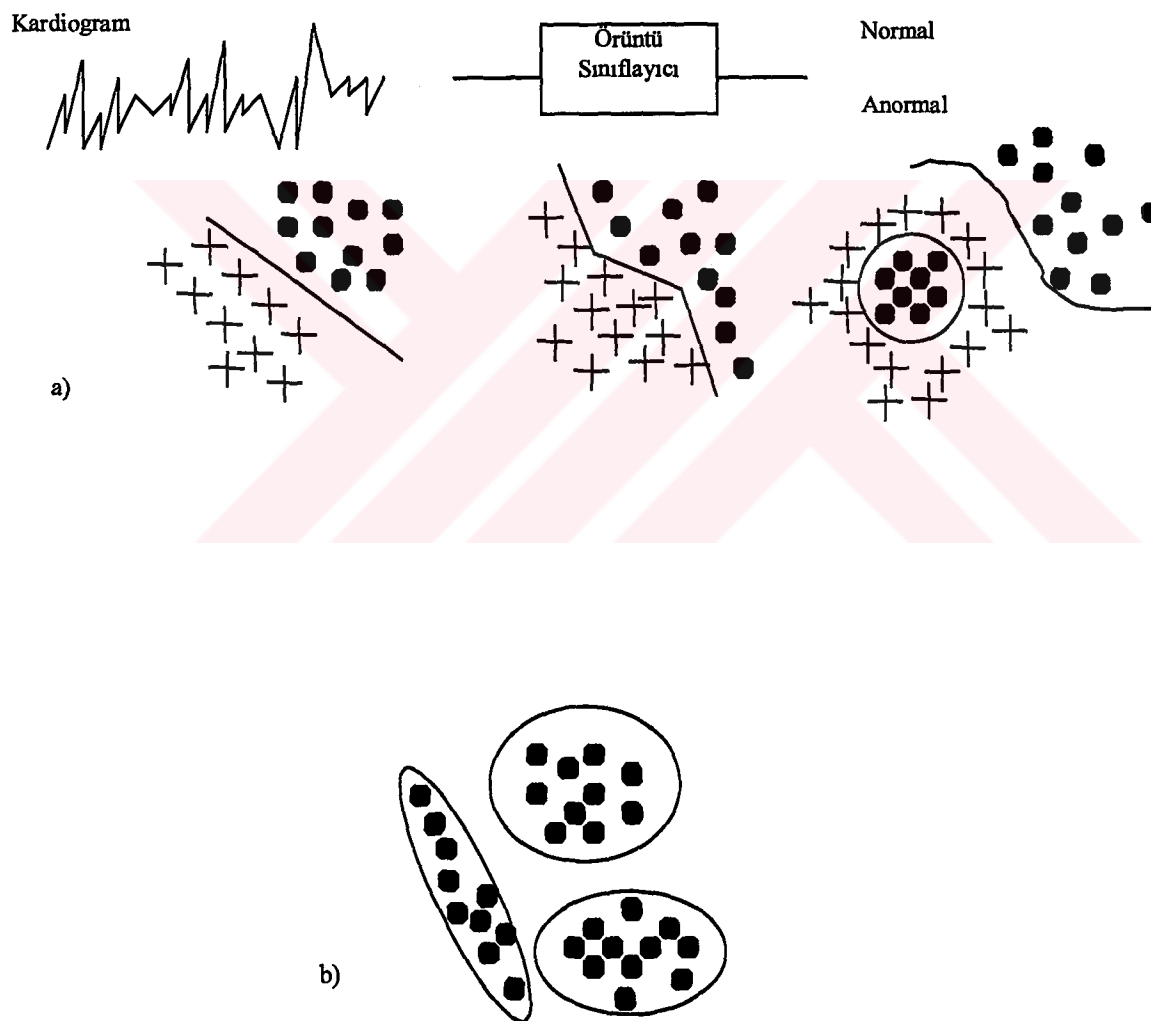
### 2.1.2 Uygulama Alanları

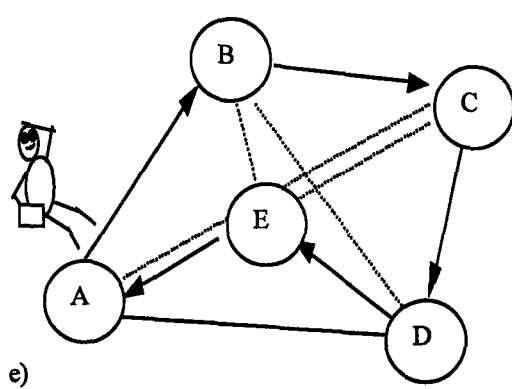
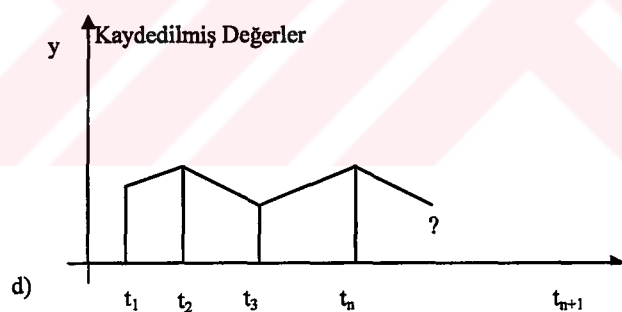
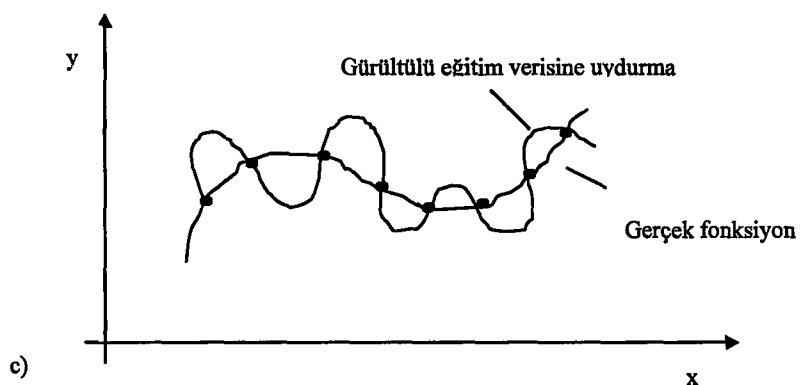
Aşağıda YSA’la ilgili güncel problemler ve araştırma alanları sıralanmıştır (Marilyn ve Illigworth, 1991).

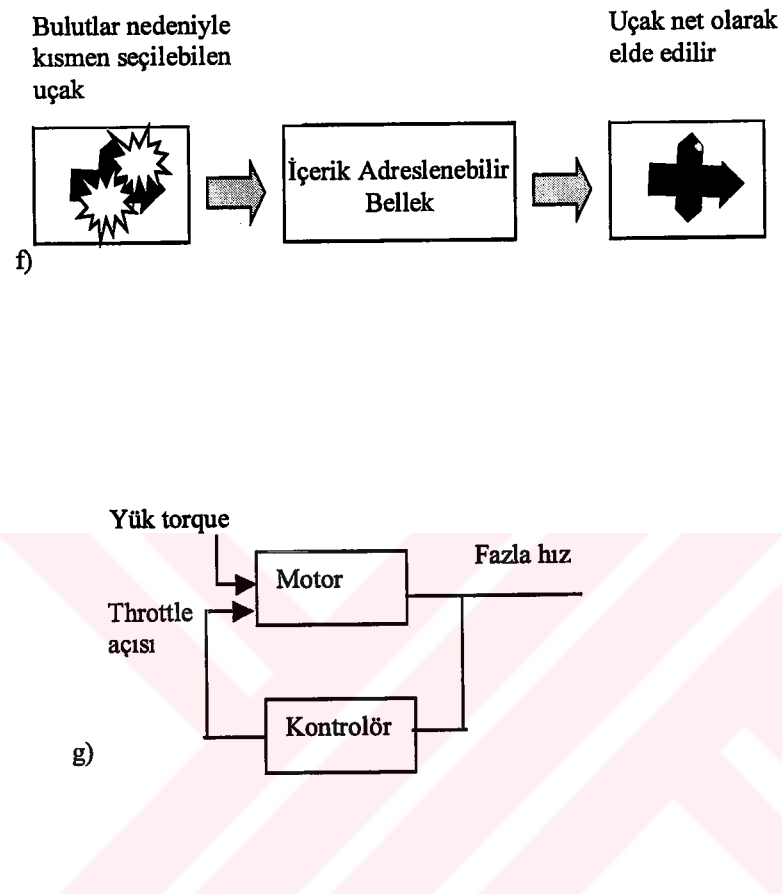
- a) **Örüntü Sınıflama (Pattern Classification);** Örüntü sınıflama işleminde amaç bir giriş örüntüsünü (bir konuşma dalga formu veya bir el yazısı gibi) daha önceden belirlenmiş birçok sınıfın bir tanesine atamaktır (Şekil 2.2a).
- b) **Gruplama;** gruplamada bilinen sınıf etiketine yönelik eğitim verisi olmaz. Ayrıca bu öğreticisiz (unsupervised) örüntü sınıflama olarak bilinir. Gruplama algoritması örüntüler arasındaki benzerliklere bakarak benzer örüntüleri grupper (Şekil 2.2b).
- c) **Fonksiyon Uydurma;** n çiftten oluşan bir eğitim örüntüsü grubunun  $\{(x_1, y_1), (x_2, y_2), \dots, (x_n, y_n)\}$  bilinmeyen bir  $\mu(x)$  fonksiyonundan (gürültü ile ilgili) yaratıldığını düşünelim. Buradaki amaç bilinmeyen  $\mu(x)$  fonksiyonunun belirli bir hata ile  $\mu(x)$  olarak tahmin edebilmektir. Birçok mühendislik ve bilimsel modelleme problemleri fonksiyon uydurmaya ihtiyaç duyarlar (Şekil 2.2c).
- d) **Kestirme (Prediction);** bu tezin konusu olan kestirim de YSA kullanılmaktadır.  $t_1, t_2, \dots, t_n$  anlarında örnek değerler  $y(t_1), y(t_2), \dots, y(t_n)$  olduğunu düşünürsek buradaki amaç gelecekte  $t_{n+1}$  anındaki  $y(t_{n+1})$ ’ı kestirmektir (Şekil 2.2.d). Pazara yönelik stok kestirimi ve hava tahmini gibi durumlarda bu yöntem sıkça kullanılmaktadır.
- e) **Optimizasyon;** YSA optimizasyondaki amaç, amaç fonksiyonunu maksimize veya minimize eden ve bir grup sınırlamaları sağlayan bir çözümü bulmaktadır. Seyyar satıcı problemi (travelling salesman problem) klasik örneklerden birisidir (Şekil 2.2e).
- f) **İçerik Adreslenebilir Bellek;** Von Neumann hesaplama yapısında bellekteki bir bölgeye sadece adres yolundan ulaşılarak elde edilebilir ve adresin içeriğinden bağımsızdır. Adreslemede herhangi bir ufak hata tamamen farklı bir içeriğin elde edilmesine neden

olacaktır. İlişkili veya içerik adreslenebilir bellekte ise adından da anlaşılacağı gibi direkt içerik adreslemesi söz konusudur. Bellek içeriği girişin eksik olması veya içeriğin bozuk olması durumunda bile başarılı sonuç verebilir (Şekil 2.2f).

**g) Kontrol;**  $t$  anında  $y(t)$  çıkışı ve  $u(t)$  kontrol girişi ile tanımlanan bir dinamik sistemi düşünelim. Buradaki amaç referans modeli tarafından yaratılan, istenilen bir hedefe sistemi yönlendirecek bir kontrol girişi yaratmaktadır (Şekil 2.2g). Motor hız kontrolü buna bir örnektir.







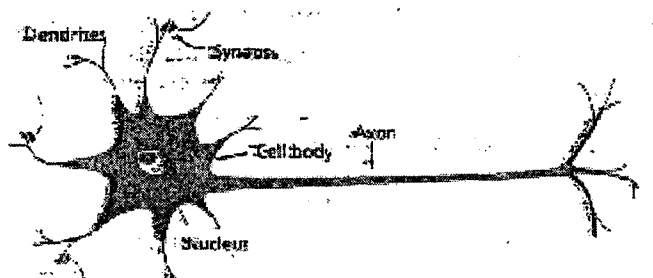
Şekil 2.2 YSA'nın gerçekleştirebileceği görevler

- a) Örütü sınıflama
- b) Gruplama
- c) Fonksiyon uydurma
- d) Kestirim
- e) Optimizasyon
- f) İçerik adreslenebilir bellek
- g) Kontrol

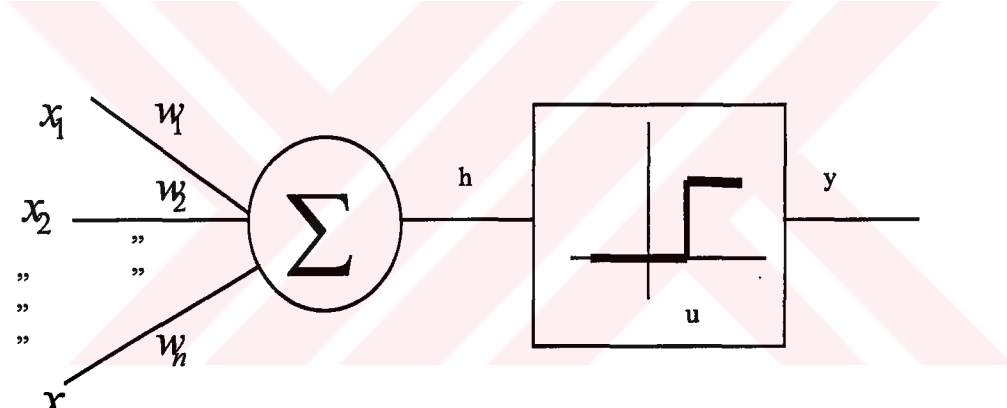
### 2.1.3 Yapay Sinir Ağı Model Yapısı ve Mimarisi

McCulloch ve Pitts (Simon, 1994), bir yapay sinir hücresi için hesaplama modeli olarak, bir binary threshold (ikili eşik) işlem elemanı önerdiler (Şekil 2.3.). Bu matematiksel sinir

hücresi girişindeki  $x_j$  ( $j=1,2,\dots,n$ ) işaretlerini ağırlıklı toplama tabi tutarak, çıkışta 1 veya 0 üretir. Eğer toplam,  $u$  eşik değerinden büyük olursa 1, aksi taktirde 0 sonucuna ulaşılır.



a)



b)

Şekil 2.3 Yapay sinir hücresi

a) Biyolojik yapay sinir hücresi

b) McCulloch ve Pitts modeli

Matematiksel olarak;

$$y = \theta \left[ \sum_{j=1}^n w_j x_j - u \right] \quad (2.2)$$

şeklindedir. Burada  $\theta(\cdot)$  birim basamak fonksiyonudur. Notasyon basitliği için genelde  $u$  eşik değeri, girişinde  $x_0=1$  olan  $\omega_0=-u$  şeklinde bir ağırlık düşünülür. Pozitif ağırlıklar excitatory (uyarıcı) sinaplara, eksi ağırlıklar ise inhibitory (yasaklııcı) sinaplara karşılık düşmektedir. McCulloch ve Pitts genel olarak uygun ağırlıkların seçilmesinin bu tür nöronların universal hesaplama yapabilmelerini sağladığını ispatladılar. Biyolojik sinir hücresi ile karşılaştırma yapıldığında iç bağlantıların aksonlar ve dendritleri modellendiği, ağırlıkların sinapları gösterdiği ve eşik fonksiyonunda somadaki aktiviteyi gerçekleştirdiği kolaylıkla görülebilir. McCulloch ve Pitts işleri basitleştirmek için bir takım kabullerde bulunduğundan biyolojik sinir hücresini tam olarak temsil edememektedir. McCulloch ve Pitts modeli birçok alanda genelleştirilmiştir. Bunlardan en çok bilineni eşik fonksiyonu yerine piecewise (parçalı) lineer, sigmoid ve gauss gibi bazı aktivasyon fonksiyonlarının kullanılmıştır (Şekil 2.4). Sigmoid fonksiyonu YSA'da oldukça çok kullanılmaktadır. Standart sigmoid fonksiyonu aşağıdaki şekilde tanımlanır (Simon, 1994).

$$g(x) = 1 / (1 + \exp\{-\beta x\}) \quad (2.3)$$

$\beta$  eğim parametresidir.



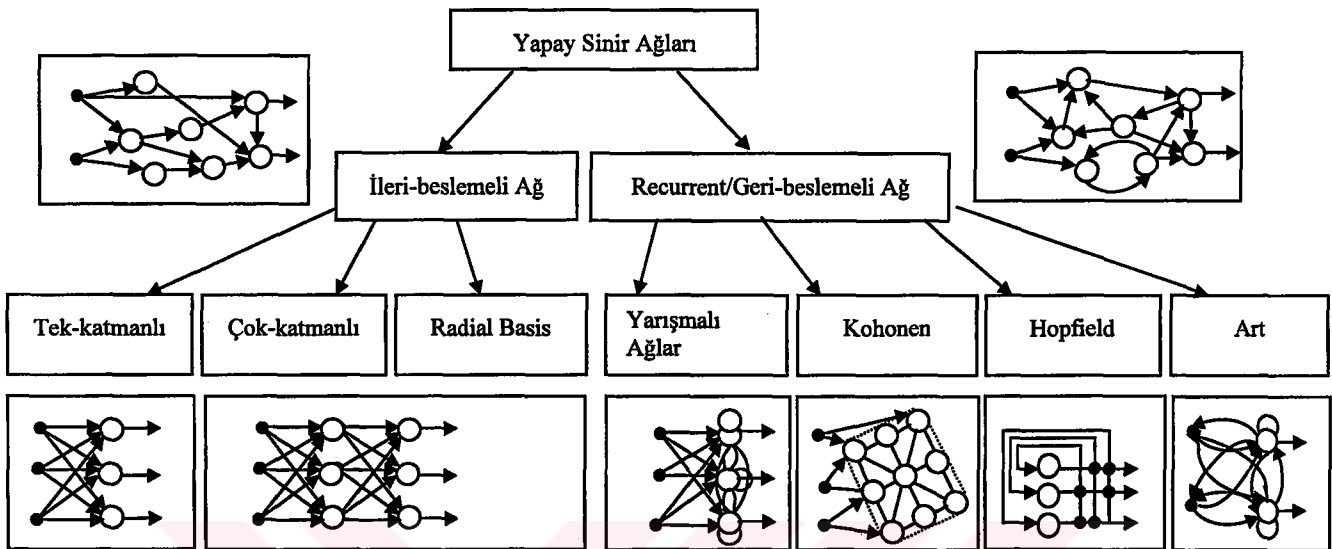
Şekil 2.4 Farklı aktivasyon fonksiyonları

- a- Threshold (eşik)
- b- Piecewise (parçalı) lineer
- c- Sigmoid
- d- Gaussian

YSA, girişi çıkışa bağlayan yapay sinir hücrelerinin oluşturduğu düğümlerle, düğümleri birbirine bağlayan ağırlıklardan oluşmaktadır (Şekil 2.3). Bağlantı yapısına bağlı olarak YSA iki grupta toplanabilirler (Şekil 2.5.) (Simon, 1994).

a) İleri-Beslemeli (Feed-forward) ağ; çevrim yok

b) Geri-Beslemeli (Feedback), reküratif (recurrent), çevrim var



Şekil 2.5 YSA'nın gruplandırılması

Çok katmanlı algılayıcı (Multi-layer perceptron) olarak bilinen ileri beslemeli YSA'da yapay sinir hücreleri aralarında tek yönlü bağlantı olacak şekilde düzenlenirler (Şekil 2.5). Her bir grup için tipik YSA da gösterilmektedir. Farklı bağlantılar farklı ağ davranışlarını ortaya koyar. Genel olarak bizimde konu edeceğimiz YSA statiktir. Yani verilen bir girişten arka arkaya birçok çıkış yerine sadece bir grup çıkış üretir. İleri-beslemeli YSA belleksizdir, yani bir girişe cevabı ağın daha önceki durumdan bağımsızdır. Diğer taraftan reküratif YSA dinamik bir sistemdir. Her bir girişten sonra yeni bir çıkış üretilir ve geri-besleme yolunun olması nedeniyle ağda yeni bir duruma çekilir. Yine geri-besleme yolundan dolayı ağın bu yeni durumu bir sonraki çıkışı etkileyecektir. Farklı ağ yapıları, farklı öğrenme algoritmalarına ihtiyaç duyarlar. Bir sonraki bölümde öğrenme algoritmaları incelenecaktır.

#### 2.1.4 YSA Öğrenme Algoritmaları

YSA'daki öğrenme yeteneği akıllığın temelini oluşturmaktadır. Öğrenmeyi formüle etmenin oldukça zor olması yanında, YSA'da öğrenme işlemi, belirli bir görevi etkin bir şekilde yerine getirebilmek için ağ yapısının ve bağlantı ağırlıklarının güncelleştirilmesi şeklinde düşünülebilir. YSA genelde ağırlık değerlerini eğitme örüntülerinden öğrenir. Ağırlık

değerleri güncelleştirildikçe YSA performansı da artırılmış olur. YSA'nın örneklerden öğreniyor olması oldukça dikkat çekmesine neden olmuştur. Belirlenmiş birtakım kuralları izlemek tense YSA giriş çıkış ilişkisinden gerekli bilgiyi öğrenerek problemi çözmeye çalışır. Bu durum YSA'yı klasik sistemlerden ayıran en önemli özellikleştir. Bir öğrenme işlemi tanımlayabilmek için ilk olarak öğrenme algoritmasına (ağrlıkları ayarlayabilmek için hangi öğrenme kurallarının kullanılacağına) ihtiyaç vardır.

Üç temel öğrenme modeli vardır (Çizelge 2.2) (Marilyn ve Illigworth, 1991). Öğreticili (supervised), öğreticisiz (unsupervised) ve karışık (hybrid). Bu tezinde konu edindiği öğreticili öğrenimde YSA her bir giriş örüntüsü için doğru bir cevapla desteklenir. Ağrlıklar, YSA cevabının doğru cevaba mümkün olduğunca yakın olacağı şeklinde belirlenir. Diğer taraftan öğreticisiz öğrenme her bir giriş örüntüsü için doğru bir çıkışın YSA'na ek bir giriş olarak verilmesine ihtiyaç duymaz. Burada giriş örüntüleri arasındaki korelasyona (ilişkiye) bakılarak; çıkış oluşturulmaya çalışılır. Üçüncü tip öğrenme modeli olan karışık öğrenme, öğreticili ve öğreticisiz öğrenme modellerinin birleşiminden oluşmaktadır.

Çizelge 2.2 Öğrenme algoritmaları

Model	Öğrenme Kurah	Yapı	Öğrenme	İşlem
			Algoritması	
Öğreticili	Hata-düzelme	Tek	Algılayıcılı	Örütü Sınıflama
		veya	öğrenme algoritmaları	Fonksiyon Uydurma
		çok-katmanlı	Geriye-yayılmış	Kestirme, kontrol
		algılayıcı	Adaline ve Madaline	
Boltzmann	Geri-beslemeli	Boltzmann	Örütü sınıflama	
			öğrenme algoritması	
Hebbian	Çok-katmanlı ileri-beslemeli	Lineer	Veri analizi	
		ayrıştırma analizi	Örütü sınıflama	
Yarışmalı	Yarışmalı ART Ağı	Vektör kuantalama	Sınıf içi gruplama	
		Öğrenmesi	Veri sıkıştırma	
		ART Haritası	Örütü sınıflama	

Sınıf içi graplama				
Öğreticisiz	Hata-düzelme	Çok-katmanlı İleri-beslemeli	Sammon öğrenmesi	Veri analizi
	Hebbian	İleri-beslemeli ya da yarışmalı	Temel eleman analizi	Veri analizi Veri sıkıştırma
		Hopfield Ağı	İçerik adreslenebilir bellek öğrenmesi	Adreslenebilir bellek
	Yarışmalı	Yarışmalı	Vektör kuantalama	Gruplama Veri sıkıştırma
		Kohonen SOM	Kohonen SOM	Gruplama Veri sıkıştırma
		ART ağları	ART1, ART2	Gruplama
Karışık	Hata-düzelme ve yarışmalı	RBF ağı	RBF öğrenme algoritması	Örütü sınıflama Fonksiyon uydurma Kestirme, kontrol

**Öğrenme algoritması;** YSA bir öğrenme algoritması kullanarak örneklerden öğrenirken; üç temel nokta önemli olmaktadır. Kapasite, örneklerin karmaşıklığı ve hesapların karmaşıklığı. Kapasite; kaç tane örüntünün kaydedileceği ve hangi fonksiyona ve sınırlara uyum sağlayacağının belirlenmesidir. Örnek karmaşıklığı; doğru bir sonucu garanti edebilmek için kaç tane eğitme örüntüsüne ihtiyaç olduğunu göstermektedir. Yeterince eğitme örüntüsünün olmaması YSA'nın istenilen sonucu vermesini engelleyebilir. Aynı zamanda gereğinden fazla eğitme örüntüsü de gereksiz yere zaman kaybına sebep olur.

**Hesaplama Karmaşıklığı;** Öğrenme algoritmasının eğitme örüntülerinden bir çözüm

cıkarabilmesi için ihtiyaç duyacağı zamanı göstermektedir. Varolan birçok öğrenme algoritmaları oldukça yüksek hesaplama karmaşıklığı içermektedirler. Günümüzde YSA için etkin algoritma tasarlama oldukça ilgi çeken bir konudur. Literatürde YSA'ya yönelik birçok öğrenme kuralı mevcuttur. Hata-düzelme (Error Correction), boltzman, hebbian ve yarışmalı öğrenme (Competitive learning) gibi birçok öğrenme kuralı mevcuttur. Biz burada günümüzde sıkça kullanılan geriye yayılımlı (Back-propagation) algoritmasının da temeli olan hata-düzelme kuralını konu edineceğiz. Hata-düzelme kuralı bir öğreticili öğrenme modelidir. Öğrenme işlemi süresince YSA tarafından yaratılan çıkış, d-istenilen çıkışa eşit olmayabilir. Hata-düzelme öğrenme kuralının temel prensibi, ağırlıkları değiştirerek d-y hatasını azaltmaya dayanmaktadır.

Algılamacı (Perceptron) Öğrenme ve Geriye-yayılımlı (Back-propagation) öğrenme kuralları, hata-düzelme prensibine dayanmaktadır. Bir algılamacı, ayarlanabilir ağırlıklar  $w_j$  ( $j=1,2,\dots,n$ ) ve bir  $u$  eşik değeriyle birlikte tek bir sinir hücresi içermektedir. Bu durum Şekil 2.3'de görülmektedir.

Giriş vektörü  $X = (x_1, x_2, \dots, x_n)^t$  olması durumunda yapay sinir hücresindeki net giriş,

$$v = \sum_{j=1}^n w_j x_j - u \quad (2.4)$$

şeklinde olacaktır. Algılamacıların çıkışı eğer  $v > 0$  ise +1 aksi taktirde ise 0'dır. Örneğin iki gruplu sınıflama probleminde algılamacı,  $y=1$  ise girişi bir gruba;  $y=0$  ise girişi diğer gruba atayacaktır. Aşağıdaki eşitlik

$$\sum_{j=1}^n w_j x_j - u = 0 \quad (2.5)$$

uzayı ikiye bölen sınırları (decision boundary) belirler. Aşağıdaki verilen bir eğitme örüntü kümeseine yönelik algılamacı öğrenme algoritması görülmektedir.

Algılamacı (Perceptron) öğrenme algoritması (Simon, 1994):

1- Ağırlıklara ve Eşik değerine rasgele küçük sayılar ata

2-  $(x_1, x_2, \dots, x_n)^t$  giriş vektör örüntüsünü YSA girişine ver ve çıkışını belirle

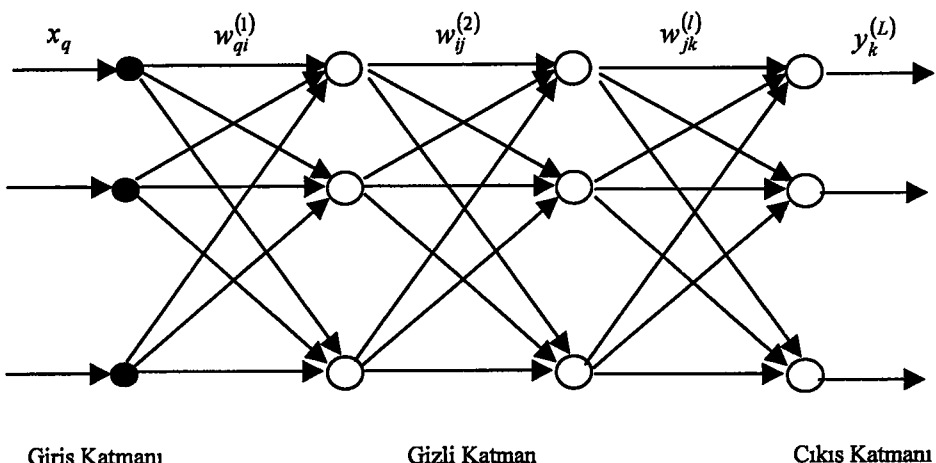
3- Ağırlıkları aşağıdaki şekilde güncelleştir

$$w_j(t+1) = w_j(t) + \eta(d - y)x_j \quad (2.6)$$

Burada  $d$  istenilen çıkış;  $t$  iterasyon sayısı;  $\eta$  ( $0 < \eta < 1$ ) adım büyüklüğü,  $w_j$  ( $j=1, \dots, n$ ) ağırlık değerleridir. Yukarıdaki algoritmada da görülebileceği gibi algılayıcı sadece hata anında öğrenmektedir. Algılayıcının birden fazla YSA katmanında kullanılmasıyla çok katmanlı algılayıcı elde edilir. Şekil-2.6'de tipik bir üç katmanlı algılayıcı görülmektedir. Genelde, standart bir 1-katmanlı ileri-beslemeli YSA bir giriş seviyesi (bir gizli katman) ve bir çıkış katmanından oluşur. İleri-beslemeli özellik nedeniyle aynı katmanda işlem elemanları arası bağlantı olmaz ve geri-besleme bağlantısı bulunmaz. Çok katmanlı algılayıcı, çok katmanlı ileri-beslemeli YSA'nın popüler bir sınıfıdır. Her bir işlem elemanı ister eşik fonksiyonunu, isterse sigmoid fonksiyonunu kullanabilir. Geriye yayılmış öğrenme algoritmasının geliştirilmesi ile YSA'da çok katmanlı algılayıcının kullanımı yaygınlaşmıştır.  $w_{ij}(l)(l-1)$ .

$$E = \frac{1}{2} \sum_{i=1}^p \|y^{(i)} - d^{(i)}\|^2 \quad (2.7)$$

Geri-yayılımlı algoritma (2.7) denklemindeki karesel hata fonksiyonunu minimize etmek için kullanılır ve gradient-descent metoduna dayanmaktadır.



Sekil 2.6 Üç katmanlı algılayıcı

Aşağıda geri-yayılımlı (Back-propagation) algoritmanın adımları verilmiştir (Marilyn ve Illigworth, 1991).

- 1- Ağırlık değerlerine rasgele küçük sayılar ata.
- 2- Eğitim örneği kümelerinden rasgele bir giriş örüntüsü  $x^{(\mu)}$  seç.
- 3- İşareti YSA girişine ver.
- 4- Çıkış katmanı  $(O_i = y_i^l)$  deki  $\delta_i^l$  'yi hesapla.

$$\delta_i^l = g'(h_i^l)[d_i^u - y_i^l] \quad (2.8)$$

$h_i^l$  ; l. katmandaki i. işlem elemanına net girişi,  $g'$ ;  $\delta$  aktivasyon fonksiyonunun türevi

- 5-  $l=(l-1), \dots, 1$  için hataları geriye doğru yayarak  $\delta$  'ları hesapla.

$$\delta_i^l = g'(h_i^l) \sum_j w_{ij}^{l+1} \delta_j^{l+1} \quad (2.9)$$

- 6- Ağırlıkları güncelle.

$$\Delta w_{ji}^l = \eta S_i^l y_j^{l-1} \quad (2.10)$$

- 7- Hata değeri daha önceden belirlenmiş bir eşik değerinden daha düşük değil veya maksimum iterasyon sayısına ulaşılmamış ise 2. adıma git, aksi takdirde dur.

Geri-yayılımlı öğrenme algoritması yukarıdan anlaşılacağı üzere, ileriye doğru ve geriye doğru olmak üzere iki aşama içermektedir. İlk aşamada örnek giriş YSA girişine verilir ve her bir işlem elemanın çıkışını hesaplanır. Bu çıkış istenilen çıkış değeri ile karşılaştırılır ve hata hesaplanır. Geriye doğru olarak adlandırılan ikinci aşamada ise çıkış katmanından, giriş katmanına doğru hatalar hesaplanır. Yeni bir giriş bu iki aşama tamamlandıktan sonra verilebilir. Bu işleme hata belli bir değerden küçük oluncaya kadar devam edilir.

## 2.2 Mikrodalga Transistorun YSA ile Modellenmesi

Bu tezde aktif mikrodalga elemanın küçük-işaret ve gürültü davranışının çoklu kutuplama/konfigürasyon tipi için YSA yaklaşımıyla modellenmiştir. Burada işaret ve gürültü parametreleri YSA eşdeğeri tarafından hesaplanan eleman bir kara kutuya modellenmiş ve bu modelleme çoklu kutuplama ve farklı konfigürasyon tipleri için, bu iki

parametre kümesinin ölçüm uzayına uydurulmasına dayandırılmıştır. Burada anlatılacak olan Eşdeğer YSA modeli elemanın optimizasyon sırasında eleman fiziği denklemlerinin çözümünü gerektirmez. Diğer modelleme teknikleri ile karşılaştırıldığında YSA yaklaşımının lineer olmayan elemanlar için çok boyutlu bir model olarak kullanılabilme kapasitesine sahip olduğu görülecektir.

Bir mikrodalga transistörünün kutuplama noktası civarındaki küçük işaret ve gürültüye karşı olan davranışları çalışma bandı boyunca sırasıyla saçılma parametreleri  $S_{11}, S_{12}, S_{21}, S_{22}$  ve gürültü parametreleri  $F_{\min}, \Gamma_{opt}, R_n$  ile belirlenebilir. S-parametreleri ve gürültü parametrelerinin her ikisi de frekansa, kutuplama noktasına, konfigürasyon tipine ve elemanın fiziksel özelliklerine bağlıdır. S-parametreleri, elemanın işaret güç kazançları ve giriş çıkış kapı uyumsuzluk kayiplarını tayin ederken, gürültü parametreleri de elemanın giriş çıkış arasında sinyal/gürültü oranı kötüleşmesini tayin eder.

Bu çalışmanın hedefleri aşağıdaki gibi sıralanabilir.

- (i) Eşdeğer işlevi görecek, tek gizli katmanlı, ileri beslemeli tipteki yapay sinir ağı devresini kurmak,
- (ii) Geriye yayılım algoritması ve lineer olmayan tipteki aktivasyon fonksiyonları kullanarak, yapay sinir ağı devresini herhangi bir tipteki aktif eleman için (transistor gibi) çalışma bandı boyunca, çeşitli kutuplama noktalarında ve konfigürasyon tipleri için işaret-gürültü davranışının her ikisini de kullanarak, yapay sinir ağı devresini eğitmek,
- (iii) Yapay sinir ağı devresinin performans ölçüsünü belirlemek,
- (iv) Seçilen kutuplama noktası civarında, herhangi bir konfigürasyon tipi elemanın lineer olmayan karakteristiğine fonksiyon yaklaşımı yapan eğitilmiş yapay sinir ağı devresini kullanarak herhangi bir frekans için elemanın işaret-gürültü davranışını belirlemek.

Klasik modelleme bakış açısından küçük-İşaret-gürültü eşdeğer devreleri öz (intrinsic) devre ve dış (extrinsic) devre olmak üzere iki kısımda incelenir. Bu fiziksel yaklaşımın sık sık karşılaşılan iki önemli sakıncası vardır: Birincisi eşdeğer devre parametrelerinin seçilen elemanın elektriksel davranışının yegane çözümü olamaması, ikincisi ideal olmayan etkilerin yeterince doğru modellenmemesinden kaynaklanır. İkinci sakıncaya küçük ölçüme hatalarına göz yumulması durumunda bile iyi olmayan bir uyuma neden olabilir.

Bilgisayar simülasyonu Tümleşik Devre tasarımda en önemli basamaklardan biridir.

Tümleşik devrelerin analiz ve tasarımının doğruluğu, devre elemanlarının bilgisayar simülasyonunun doğruluğu kadar olduğuna göre, yeterli doğrulukta modelleme Tümleşik Devre Tasarımında gerekli bir faktördür. Alçak frekanslarda göreceli basit olan pasif elemanları karakterize edilmesi bile mikrodalga frekans bölgesinde zor olabilir. Çok sayıda parametre kümesi ve aralarındaki karmaşık ilişkileriyle yüksek dereceli lineer olmayan modellerle karakterize edilebilen yarıiletken elemanlar halinde ise, parametrelerin uygun seçimi çok önemli olacaktır. Gerçekte, yetersiz bir uygulama, simülasyon sonuçlarını önemli ölçüde bozabilir. Elemanların lineer olmamaları nedeniyle, genellikle bu model parametreleri doğrudan ölçümlerle tayin edilemez.

Literatürdeki eleman modelleme, iki temele dayandırılabilir.

- (i) Genellikle küçük-işaret performansı çalışmaları, gürültü performansı çalışmalarından ayrılmıştır. Bu konudaki yayınlar ya sadece küçük-işaret modeli ya da mevcut küçük-işaret eşdeğer devrelerine dayandırılmış ve eleman gürültü özellikleriyle ilişkilendirilmemiş gürültü davranışını tasvirleridir (Torpi, 1997).
- (ii) Bir tümleşik mikrodalga elemanı ve paketlenmesini karakterize etmenin standart yaklaşımı her bir bileşeni, elektriksel ölçmelerle uyum içinde olacak şekilde bir eşdeğer devreyle modellemektir. Böyle bir yaklaşımın, paketlemenin (kıliflama), elemanın paketlendiği durumdaki toplam elektriksel özelliklerine katkısını doğru olarak modellemediği, (Dobrowolski, 1991) da gösterilmiştir.

Ayrıca, klasik eşdeğer devre eleman değerlerini bulmakta kullanılan optimizasyon temelli çıkarım teknikleri, yegane çözüm takımı yerine bir çok alternatif çözüm takımları üretirler. Kısımlara ayırarak ölçme yöntemi (Sebastian, 1996) ve otomatik dekompozisyon (düzeltilme) tekniğiyle (Minai ve Williams, 1994) bir kısım gelişmelere rağmen, başlangıç değerinden kaynaklanan belirsizlik hala mevcuttur.

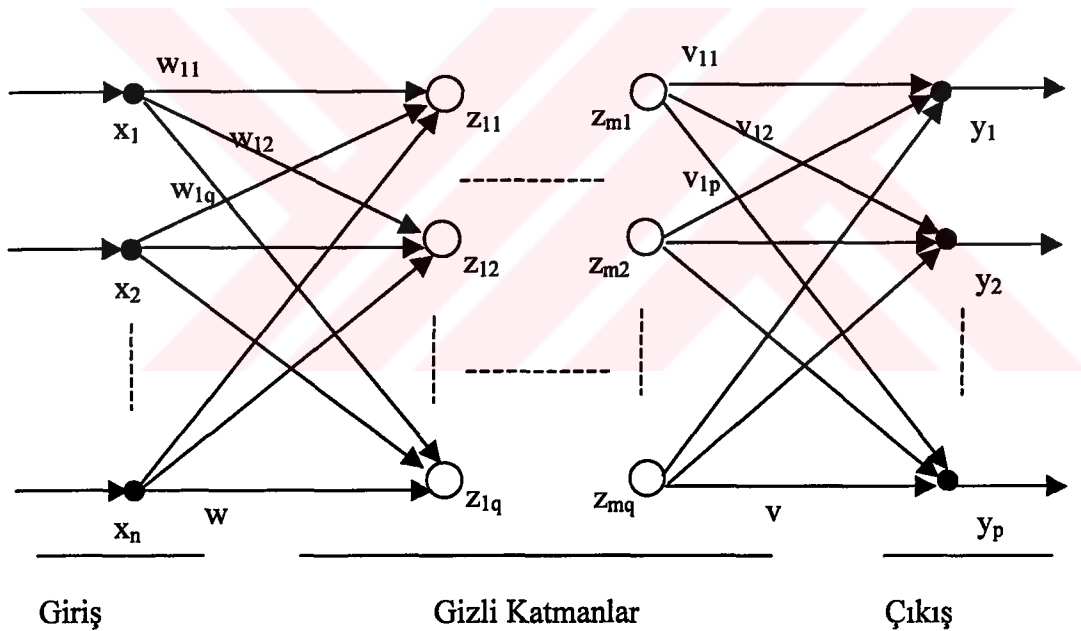
Yakın zamanda yapılan çalışmada (Torpi, 1997), yayınlanan modellere göre ölçme sonuçları ile daha iyi bir uyum sergileyen, mikrodalga transistorunun hem işaret hem de gürültü özellikleri bir YSA modelinde birleştirilmiştir. Fizik-temelli FET modeller gibi hassas modeller kullanma çalışmaları optimizasyon sonuçları ile ilişkilendirilmesi talep edildiğinde göz korkutucu işlemlerle karşı karşıya gelinmektedir. Bu tip modellerin standart optimizasyon ve istatistiksel yaklaşılarda kullanımı hesaplama açısından çok yoğun bir işlevdir. Bundan dolayı devre simülörünün her adımımda fizik-temelli denklemlerin çözülmesi prosedürü hesaba katılmalıdır. Bu tip var olan optimizasyon metotları off-line tipi

hesaplamalardan esinlenerek geliştirilmiştir. Tasarımcıların devre topolojilerinde değişiklikler yapıldıktan sonra devreyi yeniden optimize etme gereksinimi duymaları durumu gibi interaktif tasarıma uygun değildir. Bu problemlerin üstesinden gelebilmek için, iki tip yaklaşımın çok boyutlu polinomlar yaklaşımı ve “look-up” tablosu yaklaşımının uygulandığı çalışmaların yerine (Torpi, 1997)'de önerilen YSA modeli yaklaşımı eleman modellemeye, devre optimizasyonuna ve istatiksel tasarımda henüz uygulanmaya başlanmamıştır.

Bu tezdeki çalışma bir transistorun YSA modeli kurulmasına yoğunlaşmış ve (Torpi, 1997)'de verilen YSA modeline benzer bir YSA modeli kullanılarak transistorun istenilen frekanstaki gürültü parametreleri belirlenmiştir.

### 2.2.1 YSA Modelinin Matematiksel Olarak Tanımlanması

YSA biyolojik sinir ağının matematiksel modelidir. Birbirine bağlı nöronlar topluluğundan ibarettir. m-gizli katmanlı bir YSA'yi aşağıdaki gibi gösterebiliriz.



Şekil 2.8 m-gizli katmanlı YSA

Model yapısı olarak Şekil 2.8'de görülen YSA'nın tek gizli katmanlı ( $m=1$ ) olanı kullanılmaktır. Giriş katmanında  $n$  düğüm, çıkış katmanında  $p$  düğüm ve gizli katmanda  $q$  işlem elemanı bulunmaktadır.  $y$  çıkış ve  $x$  giriş katmanları eleman veya devre parametrelerine ve cevaplarına karşılık düşmektedir. Bizim modelimizde  $x$  giriş vektörü  $[f, V_{CE}, I_C, CT]$  şeklinde frekans, kutuplama akımı ve gerilimi ve konfigürasyon tipini

icermektedir. ve y çıkış vektörü  $[|S11|, <S11, |S12|, <S12, |S21|, <S21, |S22|, <S22, F_{\min}, |\Gamma_{\text{opt}}|, <\Gamma_{\text{opt}}, R_n/50]$  şeklinde transistorun S-parametrelerini ve gürültü parametrelerini içermektedir. Gizli katman q elemanlı bir z vektörüyle gösterilmektedir. Ayrıca,

$$a_k = [a_{k1} \ a_{k2} \ \dots \ a_{kn}]^T \quad (2.11)$$

ve

$$b_k = [b_{k1} \ b_{k2} \ \dots \ b_{kp}]^T \quad (2.12)$$

k. giriş ve çıkış örneğini göstermektedir ( $k = 1, 2, \dots, N$ ;  $N$ ; toplam örnek sayısı). Giriş ile gizli katman arasındaki ağırlık değerleri  $w_{ih}$ , gizli katmanla çıkış arasında ise  $v_{hj}$  ağırlık değerleri bulunmaktadır. Burada  $i = 1, 2, \dots, n$ ;  $h = 1, 2, \dots, q$  ve  $j = 1, 2, \dots, p$  olmaktadır. Bu durumda yapay sinir ağının çıkışı,

$$y_j = \sum_{h=1}^q z_h v_{hj} \quad (2.13)$$

şeklindedir. Burada,

$$z_h = f(\gamma_h) = \frac{1}{1 + e^{-\gamma_h}} \quad (2.14)$$

$$\gamma_h = \left( \sum_{i=1}^n a_{ki} w_{ih} \right) + \theta_h = \left( \sum_{i=1}^n x_i w_{ih} \right) + \theta_h \quad (2.15)$$

şeklinde tanımlanmaktadır (Zaabab A.Hafid, Zhang Qi-Jun, Nakhla Michel, 1995).  $\theta_h$ ; h. gizli işlem elemanı için eşik değeridir. Model parametreleri  $w_{ih}$ ,  $v_{hj}$  ve  $\theta_h$  değerleridir. Bunların toplam sayısı  $nxq+pxq+q$  olmaktadır. Model büyülüğu veya model parametre sayısı problemin lineer olmama derecesine bağlıdır. Giriş sayısı n artıka model büyülüğu exponansiyel olarak artmamaktadır. Dolayısıyla bu model büyük boyutlarda da kullanılabilir. Şekil 2.8' deki YSA için model büyülüğu;

$$S = q(n+1)p(q+1) \quad (2.16)$$

şeklinde tanımlanmaktadır.

## 2.2.2 YSA Eğitme Hatası

Yapay sinir ağları belirli sayıda örnek giriş-çıkış verileriyle öğrenmektedirler. Burada  $a_k$  ve

$b_k$   $k=1,2,\dots,N$  ( $N$ ; toplam örnek sayısı) değerleri eğitme için kullanılacaktır.  $a_k$ , n-giriş parametresi, bir devrenin fiziksel veya geometrikSEL parametreleri olabilir. Bizim durumumuzda giriş parametreleri,  $[f, V_{CE}, I_C, CT]$  şeklinde frekans, kutuplama akımı ve gerilimi ve konfigürasyon tipi olmaktadır.  $b_k$ , p-çıkış parametresi ise yine, fizikSEL devre parametrelerini veya elektrikSEL devre parametrelerini temsil edebilmektedir. Bizim uygulamamızda ise çıkış parametreleri,  $[|S11|, <S11, |S12|, <S12, |S21|, <S21, |S22|, <S22, F_{min}, |\Gamma_{opt}|, <\Gamma_{opt}, R_n/50]$  transistorun S-parametrelerini ve gürültü parametreleri şeklindedir. Yani toplam 12 çıkış parametresi mevcuttur.

Geriye yayılmış (backpropagation) süresince ağırlıklar ve eşik otomatik olarak ayarlanır ve hata  $E$ ;

$$E = \sum_{k=1}^N E^k = \sum_{k=1}^N \left[ \frac{1}{2} \sum_{j=1}^p (y_j - b_{kj})^2 \right] \quad (2.17)$$

minimum edilir.

On-line ve off-line olmak üzere iki tür eğitim algoritması söz konusu. On-line durumunda yapay sinir ağı parametreleri her bir örnek üzerinden sonra güncelleniyorlar, off-line durumunda ise tüm örnek değerlerinden sonra güncelleme yapılıyor. Burada on-line durumu kullanılacaktır. Güncelleme denklemleri;

$$v_{hj}^{k+1} = v_{hj}^k - \eta \frac{\partial E^k}{\partial v_{hj}} + \alpha(v_{hj}^k - v_{hj}^{k-1}) \quad (2.18)$$

$$w_{ih}^{k+1} = w_{ih}^k - \eta \frac{\partial E^k}{\partial w_{ih}} + \alpha(w_{ih}^k - w_{ih}^{k-1}) \quad (2.19)$$

$$\theta_h^{k+1} = \theta_h^k - \eta \frac{\partial E^k}{\partial \theta_h} + \alpha(\theta_h^k - \theta_h^{k-1}) \quad (2.20)$$

bunda  $\eta$  ve  $\alpha$  sırasıyla öğrenme oranı (pozitif) ve momenttir. Devreye ilişkin duyarlık,

$$\frac{\partial E^k}{\partial v_{hj}} = \frac{\partial}{\partial v_{hj}} \left[ \frac{1}{2} \sum_{j=1}^p (y_j - b_{kj})^2 \right] = (y_j - b_{kj}) z_h = \delta_j^{(3)} z_h \quad (2.21)$$

$$\frac{\partial E^k}{\partial w_{ih}} = \sum_{j=1}^p \frac{\partial E^k}{\partial y_j} \frac{\partial y_j}{\partial z_h} \frac{\partial z_h}{\partial \theta_h} \frac{\partial \theta_h}{\partial w_{ih}}$$

$$\begin{aligned}
&= \sum_{j=1}^p (y_j - b_{kj}) v_{hj} z_h (1 - z_h) a_{ki} \\
&= z_h (1 - z_h) \sum_{j=1}^p \delta_j^{(3)} v_{hj} a_{ki} = \delta_h^{(2)} a_{ki}
\end{aligned} \tag{2.22}$$

ve

$$\begin{aligned}
\frac{\partial E^k}{\partial \theta_h} &= \sum_{j=1}^p \frac{\partial E^k}{\partial y_j} \frac{\partial y_j}{\partial z_h} \frac{\partial z_h}{\partial \gamma_h} \frac{\partial \gamma_h}{\partial \theta_h} \\
&= \sum_{j=1}^p (y_j - b_{kj}) v_{hj} z_h (1 - z_h) \\
&= z_h (1 - z_h) \sum_{j=1}^p \delta_j^{(3)} v_{hj} = \delta_h^{(2)}
\end{aligned} \tag{2.23}$$

şeklindedir.  $\delta_h^{(2)}$  ve  $\delta_j^{(3)}$  sırasıyla 2. ve 3. katmandaki h. ve j. nöronları ilişkin yerel gradiyentlerdir (Zaabab A.Hafid, Zhang Qi-Jun, Nakhla Michel, 1995).

### 2.2.3 Eğitme Algoritması

Kullanılan eğitme algoritması geriye-yayılım teknigine dayanmaktadır. Bu teknik aşağıdaki adımlardan oluşmaktadır (Zaabab A.Hafid, Zhang Qi-Jun, Nakhla Michel, 1995).

1. Adım: Gizli düğüm sayısı q'yu belirle ve  $w_{ih}$ ,  $v_{hj}$  ve  $\theta_h$ 'yı küçük rasgele sayı alarak belirle.  
Ayrıca  $\eta$  (öğrenme oranı) ve  $\alpha$  (momenti) için başlangıç değeri ver.
2. Adım:  $k=1$
3. Adım:  $(a_k, b_k)$  belirle ve  $x=a_k$  al.
4. Adım: İleri yayılım: (2.13)-(2.15)'den y çıkışını hesapla.
5. Adım: Hatanın geriye yayılımı: (2.17)'dan  $E^k$  hatasını hesapla ve (2.21)-(2.23)'den gradiyentleri hesapla. (2.18)-(2.20)'dan ağırlık değerlerini belirle.
6. Adım:  $k=k+1$ , eğer  $k \leq N$  ise 3. Adım'a git.
7. Adım: Toplam hata  $E$ 'yi hesapla.
8. Adım: Eğer  $E$  verilen  $\epsilon$  eğitme toleransından daha küçükse dur.

9. Adım: Eğer  $E$ ,  $\varepsilon$ 'dan daha büyükse, öğrenme oranı ve momenti düşür.

$\eta = \eta \cdot \gamma$  ve  $\alpha = \alpha \cdot \gamma$  ve 2.Adım'a git.

10. Adım: Eğer  $E$  artıyorsa öğrenme oranı ve momenti arttır.

$\eta = \eta \cdot (1/\gamma)$  ve  $\alpha = \alpha \cdot (1/\gamma)$  ve 2. Adıma git.

#### 2.2.4 Eğitme Parametreleri

Kullanılan eğitme parametreleri aşağıda verilmiştir. Ayrıca Çizelge 2.5 bu konuda bir tabloyu içermektedir.

- Gizli katman sayısı; bu problemde bir alınması yeterli
- Gizli düğüm sayısı  $q$ ; karmaşık problemlerde büyük olmalı, şu anda 12 olması yeterli
- Öğrenme oranı  $\eta$ ; adım aralığını ayarlar ve dinamik değişiyor
- Moment  $\alpha$ ; genelde  $0 < \alpha < 1$  ve yakınsamayı hızlandırır ve parametrik
- Eğitme toleransı  $\varepsilon$ ; çok küçük alınırsa uzun eğitme süresi gereklidir, 0.5 alındı
- Öğrenme oranı uydurma  $\gamma$ ; öğrenme süresini kısaltır, bu değer şimdilik 1 alınıyor.

Buradaki  $q, \eta, \alpha, \varepsilon$  ve  $\gamma$  değerleri genelde probleme bağımlıdır ve deneysel sonuçlarla elde edilirler.

#### 2.2.5 Mikrodalga Transistorun Küçük-İşaret ve Gürültü Davranışının Belirlenmesi

Belli bir konfigürasyon tipinde bir kutuplama noktası civarındaki mikrodalga transistörünün küçük-işaret ve gürültü performansı  $\omega$ -domeninde saçılma  $S$  ve gürültü  $N$  parametre vektörleri sıkılıkla verilir. Ölçülmüş performans parametre verisi tablo-formunda aşağıdaki gibi verilebilir:

$$\begin{bmatrix} f_1 & : & S^{(1)} & N^{(1)} \\ f_2 & : & S^{(2)} & N^{(2)} \\ & & \vdots & \vdots \\ f_N & : & S^{(N)} & N^{(N)} \end{bmatrix} \quad (2.24)$$

Burada  $S^{(1)}, N^{(1)}$ ; ... ;  $S^{(N)}, N^{(N)}$  sırasıyla, saçılma ve gürültü vektörleridir ve  $f_1, \dots, f_N$  örnek çalışma frekansları ve  $S^{(N)}$  ve  $N^{(N)}$  performans vektörleri aşağıdaki gibi verilebilir.

$$\left[ S^{(N)} \right]^T = \begin{bmatrix} |S_{11}|^{(N)} < S_{11}^{(N)} & |S_{12}|^{(N)} < S_{12}^{(N)} & |S_{21}|^{(N)} < S_{21}^{(N)} & |S_{22}|^{(N)} < S_{22}^{(N)} \end{bmatrix} \quad (2.25)$$

$$\left[ N^{(N)} \right]^T = \begin{bmatrix} F_{\min}^{(N)} & |\Gamma_{opt}|^{(N)} & < \Gamma_{opt}^{(N)} & R_N^{(N)} \end{bmatrix}$$

(2.24) ve (2.25)'de verilen veriler YSA modelini eğitmek için kullanılır ve sonra, performans-parametre vektörleri  $S^{(k)}$ ,  $N^{(k)}$  arzu edilen bir  $f_k$  frekansında devrenin çıkışı,  $f_k$  frekansı girilerek elde edilebilir.

İki kapılı aktif elemanın bir çalışma frekansında  $S$  ve  $N$  vektörlerini belirledikten sonra, ( $Z_S$ ,  $Z_L$ ) sonlandırma çifti belirlenecektir.

### 2.2.6 Eşdeğer YSA Modeli

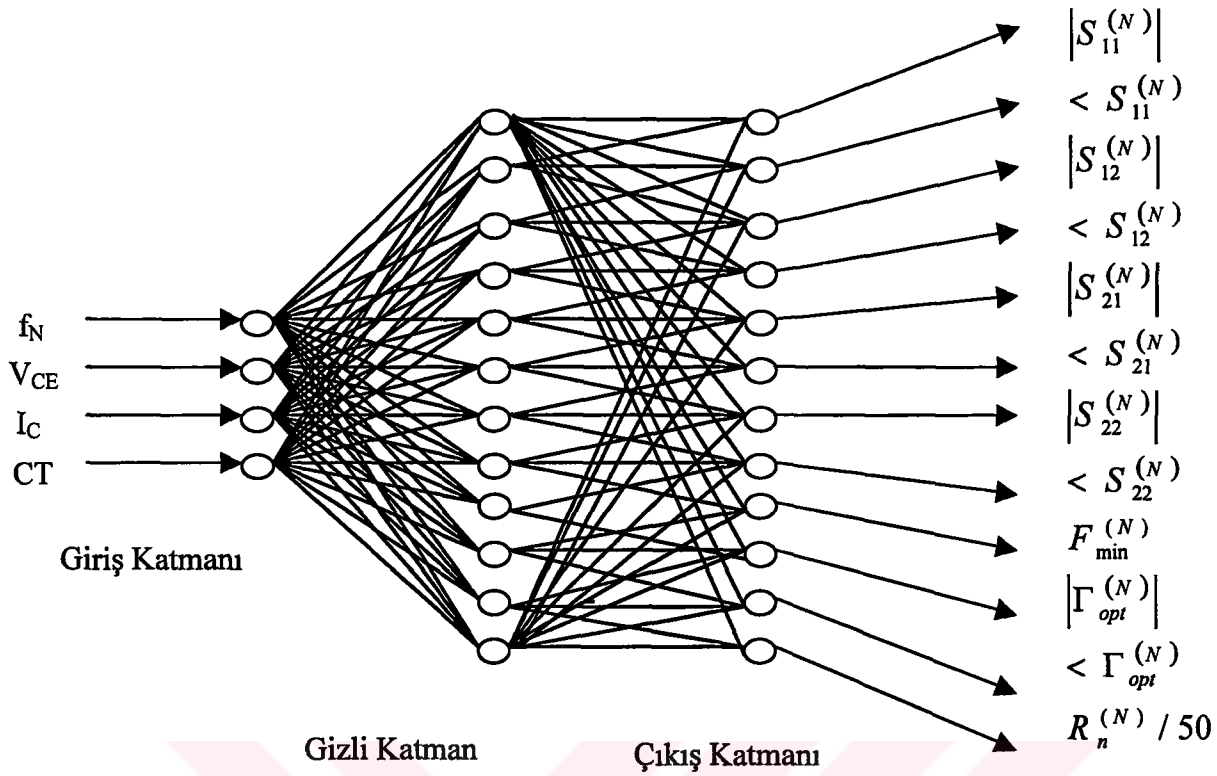
Yukarıda kısaca mikrodalga mühendisliğinde aktif mikrodalga elemanlarının analizinin temeli verildikten,  $S$  ve gürültü parametrelerinin rolü anlaşıldıktan sonra bir kara kutu işlevi görecek olan eşdeğer YSA modellerini tanıtmaya başlayalım. Çalışmalarımızın başlangıcında kullandığımız eşdeğer YSA modellerimiz hem gürültü hem de  $S$ -Parametrelerini belirli bir frekans bandında belirlemeye yönelikir ve Şekil 2.7'de gösterilmiştir.

Bu çalışmada sürekli değerli girişe sahip, ileri beslemeli bir yapay sinir ağı olan çok katmanlı algılayıcı (CKA) kullanılmıştır. Eğitme algoritması olarak da geriye yayılım algoritması (GYA) kullanılmıştır. Geriye yayılım eğitim algoritması çok katmanlı algılayıcının aktif çıkışıyla arzu edilen çıkış (Hedef uzayla belirlenen) arasındaki karesel ortalama hatanın minimize edilmesine dayanan bir gradyant (Türev temelli arama) algoritmasıdır (Torpi, 1997). Dolayısıyla bu teknik sürekli türevi alınabilir lineer olmayan transfer fonksiyonuna ihtiyaç gösterir. Öğrenme işlemi GYA ile ağırlıklar ayarlanarak gerçekleştirilir.

Bu çalışma için geliştirilen YSA için giriş katmanı, bir gizli katman ve çıkış katmanı olmak üzere üç katmanlı algılayıcı olarak adlandırılan yapının yeterli olduğu görülmüş ve ayrıca ağırlıkların başlangıç değerleri seçiminin, sonucu etkilemediği gözlenmiştir, dolayısıyla rasgele alınmışlardır (Torpi, 1997).

Bu aşamada geliştirdiğimiz eşdeğer YSA modeli Şekil 2.7'de verilmiştir. Her bir modelde YSA olarak Çok Katmanlı Algılayıcı (MLP:Multi Layer Perceptron) kullanılmıştır.

Zaman-hata optimum ilişkisini sağlamak için her bir yapıda çıkış katmanı düğüm sayısı gizli katman düğüm sayısına eşit alınmıştır (Torpi, 1997).



Şekil 2.7 Çok boyutlu eşdeğer işaret-gürültü parametreleri YSA modeli

Bu çok boyutlu modellemeyi temin eden YSA'nın eğitilmesi üretici firmanın verdiği muhtelif kutuplama ve konfigürasyon tipindeki performans verisini kullanılarak hedef uzayının teşkil edilmesi ile sağlanmıştır. Eğitme algoritması olarak geriye yayının algoritması kullanılmıştır. Hedef uzayı teşkil ederken kullanılacak verinin adedini modelden optimum performansı elde edilecek şekilde belirlenmiştir. Eğitme işlemi tamamlandıktan sonra, istenilen  $f_k$  frekansında,  $V_{CE}$ ,  $I_C$  (veya  $V_{DS}$ ,  $I_{DS}$ ) ile belirli kutuplama noktasında, herhangi bir konfigürasyon tipiyle belirli giriş vektörü için aktif mikrodalga elemanın çıkışını olarak işaret ve gürültü parametre vektörleri  $S^{(k)}$  ve  $N^{(k)}$  kestirilebilir. Eşdeğer YSA'da konfigürasyon tipi belirli sayılarla temsil edilmiştir. Eğer  $S^{(k)}$ ,  $N^{(k)}$  hedef uzayı içinde değilse YSA'nın kestirim özelliği ile bu değerle tabii olarak hesaplanabilecektir. Bu YSA'nın eğitilmemiş girişler içinde güzel çıkış verme özelliğinin bir yansımasıdır. Bizim uygulamamızda YSA işaret-gürültü eşdeğeri sadece verilen uzayın kapsayan frekans ve kutuplama kademesinde değil (interpolasyon) bu frekans ve kutuplama kademesinin dışında da kestirim (extrapolasyon) yapabilme yeteneği vardır. Sekil 2.7'deki YSA'nın program akış diyagramı 5. Bölümde ve programın kendisi Ek-1'de

verilmiştir. YSA'nın giriş/çıkış ve diğer gerekli parametreleri aşağıdaki çizelgelerde özetlenmiştir.

**Çizelge 2.3 YSA giriş parametreleri**

Parametre	Notasyon	Birim	Yorum
Frekans	f	Hz	Transistorun çalışma bandı
Kutuplama Gerilimi	$V_{CE}$	V	Veya $V_{DS}$
Kutuplama Akımı	$I_C$	A	Veya $I_D$
Konfigürasyon Tipi	CT	-	$CE \rightarrow CT=0.1, CC \rightarrow CT=0.9$ CE; Common Emitter, CC; Common Collector

**Çizelge 2.4 YSA çıkış parametreleri**

Parametre	Notasyon	Birim	Yorum
S-parametreleri Genliği	$ S_{ij} $	-	$i,j=1,2$
S-parametreleri Açısı	$\angle S_{ij}$	deg.	$i,j=1,2$
Minimum Gürültü	$F_{min}$	dB	
Optimum Kaynak Yansıma Katsayısı Genliği	$ \Gamma_{opt} $	-	
Optimum Kaynak Yansıma Katsayısı Açısı	$\angle \Gamma_{opt}$	deg.	
Eşdeğer Gürültü Direnci	$R_n$	$\Omega$	

Çizelge 2.5 YSA eğitme parametreleri

Parametre	Notasyon	Değer	Yorum
Giriş Düğüm Sayısı	n	4	Parametrik
Çıkış Düğüm Sayısı	P	12	Parametrik
Gizli Düğüm Sayısı	q	12	Parametrik
Gizli Katman Sayısı	Q	1	Parametrik
Örnek Sayısı	N	-	İsteğe bağlı
Momentum	$\alpha$	0.1	Parametrik
Öğrenme Oranı	$\eta$	0.5	Dinamik Değişiyor

Yukarıda verilen veriler kullanılarak geliştirilen ve Ek-1'de verilen programın akış diyagramı 5. Bölümde verilmiştir. Tanıtımı yapılan genel YSA modeline yönelik detaylı performans analiz sonuçları (Torpi, 1997)'da verilmiştir.

### 3. MİKRODALGA TRANSİSTORUN PERFORMANS ANALİZİ ve EMPEDANS VERİLERİ

#### 3.1 Transistorun Performans Ölçü Fonksiyonları

Bu bölümde gerekli temel formülasyonları verdikten sonra ileriki bölümlerde analiz işlemlerine geçilecektir.

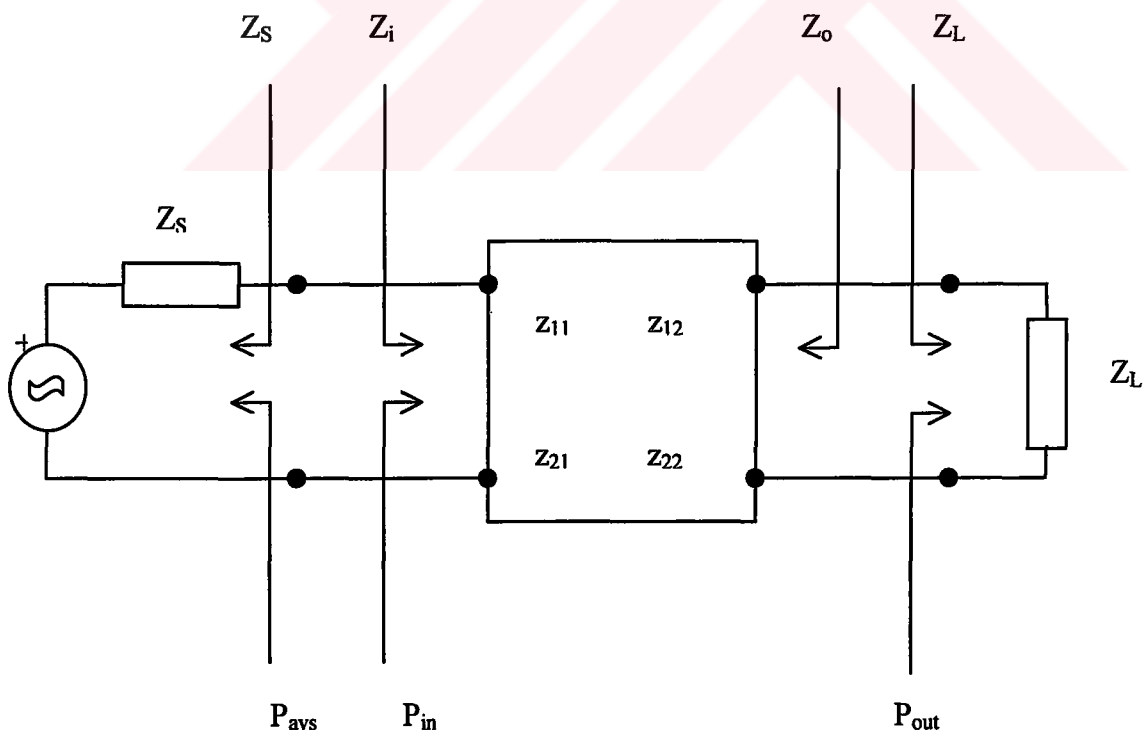
##### 3.1.1 Gürültü Faktörü

Şekil 3.1'de verilen bir  $Z_S = R_S + jX_S$  kaynak empedansına ilişkin gürültü faktörü:

$$F = F_{\min} + \frac{R_n |Z_S - Z_{opt}|^2}{|Z_{opt}|^2 R_S} \quad (3.1)$$

şeklinde ifade elde edilebilir (Güneş Filiz, Güneş M., Fidan M., 1994).

Burada  $R_n$ ; eşdeğer gürültü direnci,  $F_{\min}$ ; minimum gürültü faktörü ve  $Z_{opt} = R_{opt} + jX_{opt}$ ; optimum kaynak empedansı olmakta ve bu değerler transistor parametreleriyle birlikte verilmektedirler.



Şekil 3.1 İki Kapılı Devre ve Kapı Empedansları

### 3.1.2 Giriş VSWR

$Z_s = R_s + jX_s$  kaynak empedansı ve  $Z_L = R_L + jX_L$  yük empedansına sahip Şekil 3.1 deki gibi bir iki kapılıının giriş VSWR ( $V_i$ ):

$$V_i = \frac{1 + |\rho_i|^2}{1 - |\rho_i|^2} \quad (3.2)$$

şeklinde ifade edilir. Burada  $\rho_i$ :

$$|\rho_i| = \left| \frac{Z_s - Z_i^*}{Z_s + Z_i} \right| \quad (3.3)$$

şeklinde ifade edilen giriş yansımı katsayısı olmaktadır. Buradaki giriş empedansı  $z_i$  iki kapılıının küçük işaret açık devre z-parametreleri üzere ( $Z_i = R_i + jX_i$ ):

$$Z_i = z_{11} - \frac{z_{12}z_{21}}{z_{22} + Z_L} \quad (3.4)$$

şeklinde ifade edilmektedir (Güneş Filiz, Güneş M., Fidan M., 1994).

### 3.1.3 Transduser Güç Kazancı

Şekil 3.1 deki iki kapılıının  $Z_s, Z_L$  ve z-parametrelerine bağlı transduser güç kazancı:

$$G_T = \frac{4R_s R_L |z_{21}|^2}{|(z_{11} + Z_s)(z_{22} + Z_L) - z_{12}z_{21}|^2} \quad (3.5)$$

şeklinde ifade edilir (Güneş Filiz, Güneş M., Fidan M., 1994).

## 3.2 Optimizasyon Problemi

Bu bölümün konusu olan ve GÜNEŞ metoduna dayanan (Güneş Filiz, Güneş M., Fidan M., 1994) optimizasyon problemi,  $F_{req} - F(R_s, X_s) = 0$  ve  $V_{req} - V_i(R_s, X_s, R_L, X_L) = 0$  olmak üzere ( $G_{T_{max}}, \text{ maksimum kazanç ve } G_{T_{req}}, \text{ istenilen kazanç}$ ),  $G_{T_{max}} - G_T(R_s, X_s, R_L, X_L) = 0$  ve ayrıca  $G_{T_{req}} - G_T(R_s, X_s, R_L, X_L) = 0$  olacak şekilde iki ayrı durum için kararlı bölgede kalmak koşuluyla mümkün tüm  $Z_s = R_s + jX_s$  ve  $Z_L = R_L + jX_L$  kompleks sonlandırmalarını geometriksel ve matematiksel olarak belirlemek

şeklinde ifade edilebilir. Bu durumda bu işlemler sonucunda;  $\{F_{req}, V_{req}, G_{T\max} [f, V_{CE}, I_C]\} \Leftrightarrow Z_{L\max} [f, V_{CE}, I_C], Z_{S\max} [f, V_{CE}, I_C]$  ve  $\{F_{req}, V_{req}, G_{T\min} \leq G_{Treq} \leq G_{T\max} [f, V_{CE}, I_C]\} \Leftrightarrow Z_{Lreq} [f, V_{CE}, I_C], Z_{Sreq} [f, V_{CE}, I_C]$  fonksiyonlarına ulaşılmış olacaktır. Burada  $f$ ; frekansı ve  $V_{CE}$  ile  $I_C$  (veya  $V_{DS}$  ile  $I_{DS}$ ) kutuplama noktasını dolayısıyla transistorun gürültü ve S-parametrelerini ifade etmektedir.

Bu tür yüksek dereceli polinomların içerdiği optimizasyon problemlerin çözümüne yönelik bir takım yöntemler literatürde sıkça yer almaktadır. Ancak tanımladığımız problemin hem reel hem de imajiner kısma sahip olması ve ayrıca çok hesaplama zamanına ihtiyaç duymaları önerilen geometrikSEL yöntemi daha avantajlı duruma getirmektedir. Bunun yanında bu tezde tüm çözümler hem analitik hem de geometrikSEL olarak ifade edilmişlerdir.

Kullanılan yöntem aşağıdaki adımlardan oluşmaktadır:

- Verilen bir transistor ilişkin  $F = \text{sabit}$ ,  $V_i = \text{sabit}$  ve  $G_T = \text{sabit}$  dairelerine yönelik  $Z_s$ -düzleminde analiz yapılır. Bu adımda gürültü ve VSWR dairelerinin  $Z_s$ -düzlemindeki konumları belirlenmiş olur. Bu dairelerin durumları  $G_{T\max}, G_{Treq}, Z_S$  ile  $Z_L$  değerlerini belirlenmesine yardımcı olacaktır.
- $Z_i$ -düzleminde yapılacak analizlerde kararlılık bölgeleri belirlenir. Ayrıca burada kararlı bölgede belirlenecek  $Z_i$  değeri bir  $Z_L$  'e ve  $Z_s$ -düzleminde  $F$  ve  $V_i$  dairelerinin durumuna göre bir veya iki  $Z_s$  değerine karşılık düşürülecektir.
- Maksimum ve istenilen kazanç için tüm mümkün  $Z_s$  ve  $Z_L$  değerleri kararlı bölgede kalacak şekilde belirlenir.
- Bu işlemler tüm çalışma bandı frekanslarında yapılarak analiz tanımlanmış olur .

### 3.3 $Z_s$ -düzleminde Sabit Gürültü, Giriş VSWR ve Kazanç Daireleri

$Z_s$ -düzleminde merkezi  $Z_c = R_c + jX_c$  ve yarıçapı  $r_c$  olan bir daire denklemi:

$$|Z_s - Z_c| = r_c \quad (3.6)$$

veya

$$|Z_s|^2 - 2R_c Z_s - 2X_c X_s + |Z_c|^2 - r_c^2 = 0 \quad (3.7)$$

şeklinde ifade edilebilir (Güneş Macit, 1980).

### 3.3.1 Sabit Gürültü Daireleri

(3.1) eşitliğini de kullanarak Zs-düzlemindeki sabit gürültü dairesi aşağıdaki eşitlikteki gibi ifade edilebilir. Bunun geometrikSEL ifadesi Şekil 3.2'de verilmiştir (Güneş Macit, 1980).

$$\left|Z_s - Z_{opt}\right|^2 = 2NR_s \quad (3.8)$$

$$\left|Z_s\right|^2 - 2(R_{opt} + N)R_s - 2X_{opt}X_s + \left|Z_{opt}\right|^2 = 0 \quad (3.9)$$

Burada merkez  $Z_{cn} = R_{cn} + jX_{cn}$  ve yarıçapı  $r_n$  (3.6)'nın yardımıyla şu şekilde bulunabilir:

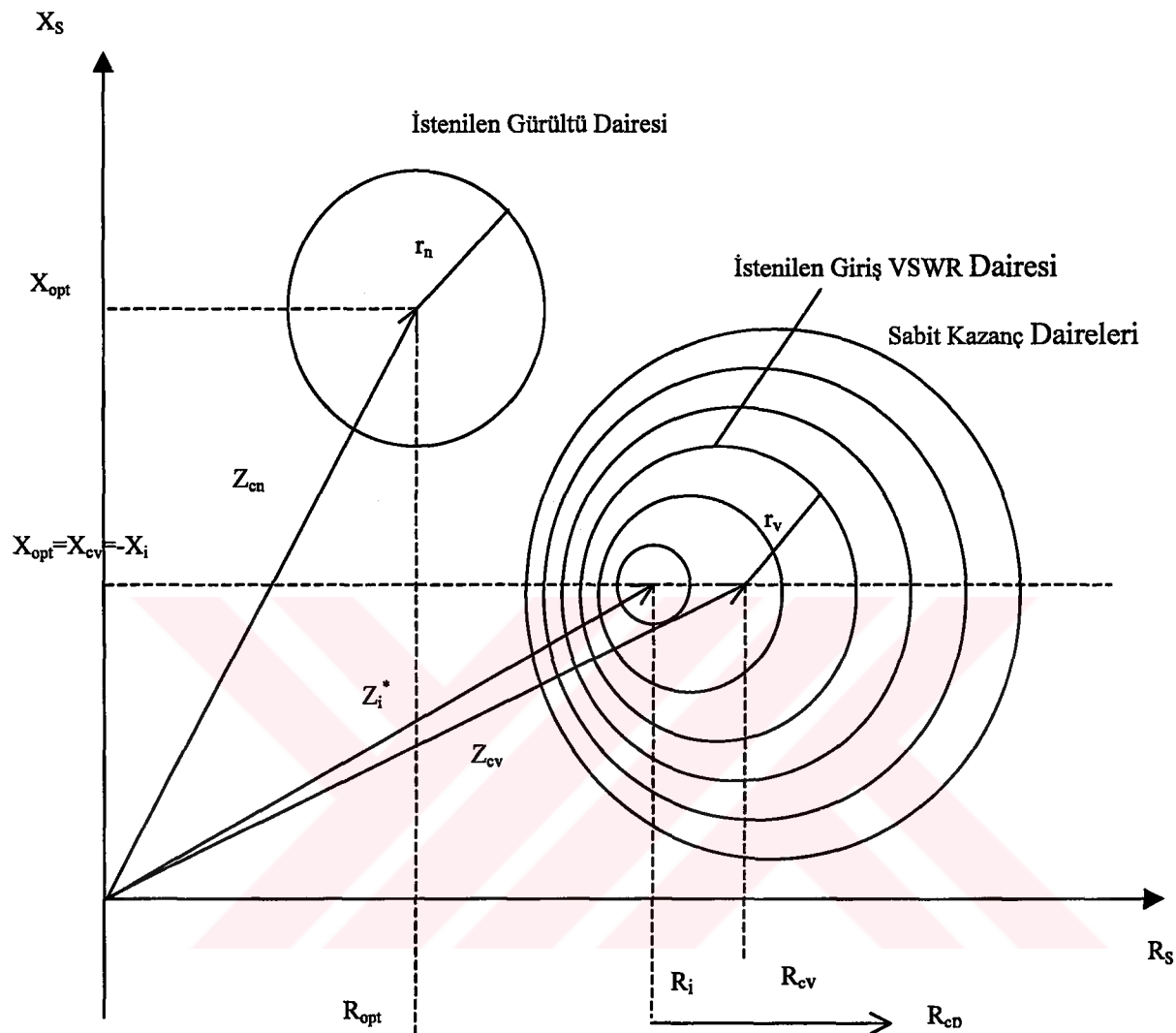
$$R_{cn} = R_{opt} + N \quad (3.10)$$

$$X_{cn} = X_{opt} \quad (3.11)$$

$$r_n = \sqrt{N(N + 2R_{opt})} \quad (3.12)$$

$$N = \frac{F_{req} - F_{min}}{2R_N} \left|Z_{opt}\right|^2 \quad (3.13)$$

$F_{min}, R_N, R_{opt}, X_{opt}$  Transistorun S-Parametreleri dosyasından gelmektedir.  $F_{req}$  istenilen gürültüdür.



Şekil 3.2 Sabit Gürültü Faktörü, Giriş VSWR ve Kazanç Daireleri

### 3.3.2 Sabit Giriş VSWR Daireleri

Sabit giriş VSWR ( $\rho_i$ ) dairelerine yönelik işlemleri basitleştirmek için giriş VSWR ( $V_i$ ) yerine giriş yansımaya katsayısi, (3.3) formülasyonundan elde edilerek kullanılmaktadır.

(3.3) eşitliği kullanılarak sabit giriş VSWR daireleri  $Z_s$ -düzleminde aşağıdaki şekilde elde edilir:

$$|Z_s|^2 - 2R_i \frac{1+|\rho_i|^2}{1-|\rho_i|^2} R_s + 2X_i X_s + |Z_i|^2 = 0 \quad (3.14)$$

Burada (3.7) eşitliği kullanılarak merkez  $Z_{cv} = R_{cv} + jX_{cv}$  ve yarıçap  $r_v$  aşağıdaki gibi bulunabilir (Şekil 3.2) (Güneş Macit, 1980);

$$R_{cv} = \frac{1+|\rho_i|^2}{1-|\rho_i|^2} R_i \quad (3.15)$$

$$X_{cv} = -X_i \quad (3.16)$$

$$r_v = 2 \frac{|\rho_i|}{1-|\rho_i|^2} R_i \quad (3.17)$$

Burada  $R_i$  ve  $X_i$  giriş empedansının real ve imajiner kısımlarıdır ( $Z_i = R_i + jX_i$ ). (3.15), (3.16), (3.17) eşitliklerinden açıkça görüldüğü gibi  $|\rho_i| = 0$  olduğunda  $Z_{cv} = Z_i, r_v = 0$  ve giriş VSWR = 1 (giriş kapısında kompleks eşlenik uydurma) olur.

### 3.3.3 Sabit Transduser Kazanç Daireleri

(3.5) formülünü  $Z_s$  'e göre düzenlersek:

$$|Z_s|^2 - 2\left(\frac{C}{G_T} - R_i\right)R_s + 2X_i X_s + |Z_i|^2 = 0 \quad (3.18)$$

ifadesi elde edilir. Burada  $C = (2R_L|z_{21}|^2)/|z_{22} + Z_L|^2$  şeklinde bir sabittir.

$Z_s$ -düzleminde sabit transduser güç kazanç dairelerinin merkezi  $Z_{cp} = R_{cp} + jX_{cp}$  ve yarıçapı  $r_p$  aşağıdaki şekilde ifade edilebilir (Şekil 3.2) (Güneş Macit, 1980).

$$R_{cp} = \frac{C}{G_T} - R_i \quad (3.19)$$

$$X_{cp} = -X_i \quad (3.20)$$

$$r_p = \sqrt{\frac{C}{G_T} \left( \frac{C}{G_T} - 2R_i \right)} \quad (3.21)$$

Maksimum kazancın, yarıçapı sıfıra eşit olan limit dairesi için elde edilebileceğini biliyoruz. Buradan yola çıkarak  $r_p = 0$  ve  $C > 0$  ise  $(C/G_T) = 2R_i$  yi (3.19) de yerine koyarsak  $Z_{cp} = Z_s = Z_i^*$  bulunur. Çikan sonuctan da görüldüğü gibi maksimum kazanç kaynak empedansı, iki kapılıının giriş empedansının kompleks eşleniğine uydurulduğunda elde edilir. (3.16) ve (3.20)'den görüldüğü gibi giriş VSWR transduser kazanç dairelerinin merkezleri ( $-X_i$ ) imajiner eksenin üzerinde olduğu hemen anlaşılır. Ayrıca geometriksel durumda da (Şekil 3.2) bunu göstermektedir.  $R_{cn} = R_{cv}$  olduğunda  $r_n = r_c$  olduğu kolayca gösterilebilir. (3.15) ve (3.19) eşitlenerek;

$$\frac{C}{G_T} = \frac{2R_i}{1 - |\rho_i|^2} \quad (3.22)$$

elde edilir ve (3.22), (3.21)'de yerine konularak;

$$r_p = 2 \frac{|\rho_i|}{1 - |\rho_i|^2} R_i \quad (3.23)$$

bulunur.  $r_p$  (3.17)'de bulunan  $r_v$ 'ye eşit çıkmıştır.  $C$  ifadesi (3.22)'de yerine konularak  $Z_s$ -düzleminde verilen giriş VSWR'ı karşılayan maksimum kazanç bulunur:

$$G_T = \frac{|z_{21}|^2}{|z_{22} + Z_L|^2} \frac{R_L}{R_i} (1 - |\rho_i|^2) \quad (3.24)$$

(3.24) ifadesi Şekil 3.1'den de belirlenebilir.

$$G_T = \frac{P_{out}}{P_{av_s}} = \frac{P_{in}}{P_{av_s}} \cdot \frac{P_{out}}{P_{in}} \quad (3.25)$$

şeklindedir. Burada çalışma güç kazancı  $G_{out}$ ;

$$G_{out} = \frac{P_{out}}{P_{in}} \quad (3.26)$$

şeklinde tanımlanır. Ayrıca;

$$G_{out} = \frac{|z_{21}|^2 R_L}{|z_{22} + Z_L|^2 R_i} \quad (3.27)$$

ve

$$\frac{P_{in}}{P_{av}} = \frac{4R_s R_i}{|Z_s + Z_i|^2} = \frac{|Z_s + Z_i|^2 - |Z_s - Z_i^*|^2}{|Z_s + Z_i|^2} = 1 - |\rho_i|^2 \quad (3.28)$$

olduğundan (3.25) ifadesinden (3.24) ifadesine ulaşılabilir (Güneş Macit, 1980).

Bu tartışmaların sonucu olarak yalnız verilen gürültü ve giriş VSWR daireleri Zs-düzleminde göz önüne alınabileceğinin ortaya çıkar. Çünkü bu iki dairenin ortak iki noktası yalnız gürültü ve giriş VSWR gereksinimlerini karşılamakla kalmaz aynı zamanda Zs-düzleminde transduser güç kazancını da maksimum yapar. İstenilen bir  $G_{req}$  'de bu dairelerin kesimleri sonucu elde edilebilecektir.

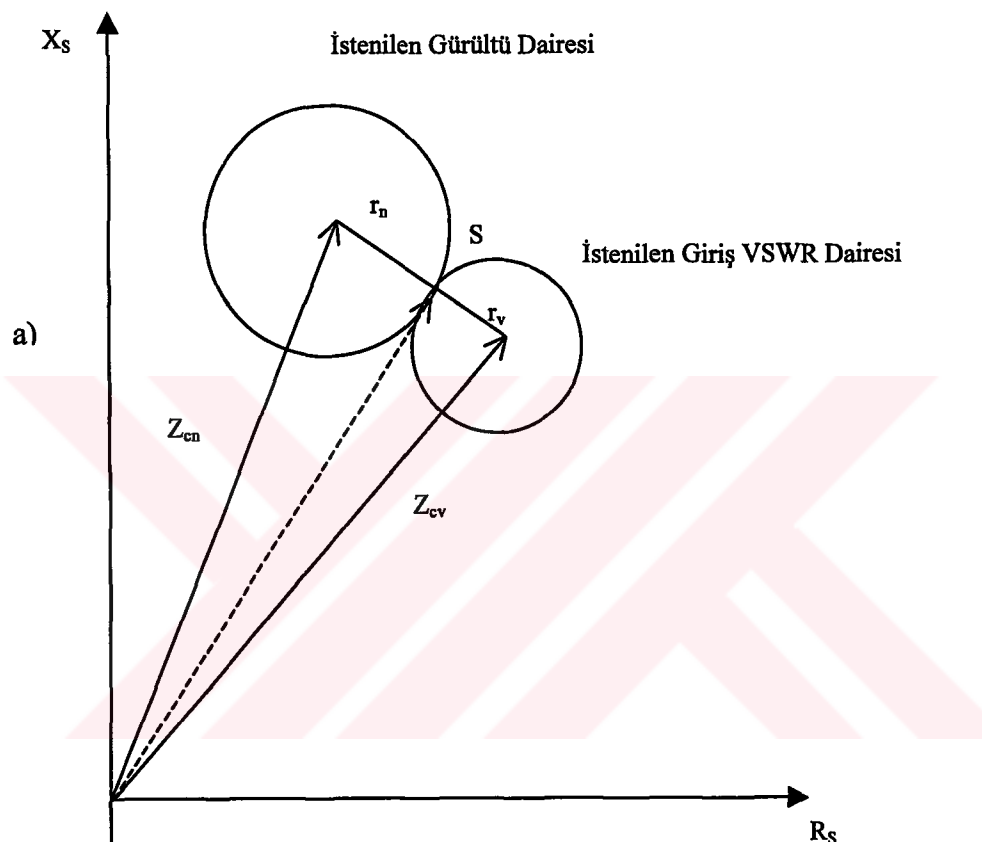
Çalışmalar neticesinde verilen gürültü dairesinin Zs-düzleminde sabit olduğunu ve verilen giriş VSWR dairesinin giriş empedansı ( $Z_i$ ) yoluyla yük empedansına bağlı olarak yer değiştirildiğini gördük. Bu nedenle aşağıdaki durumlar mümkündür (Güneş Macit, 1980):

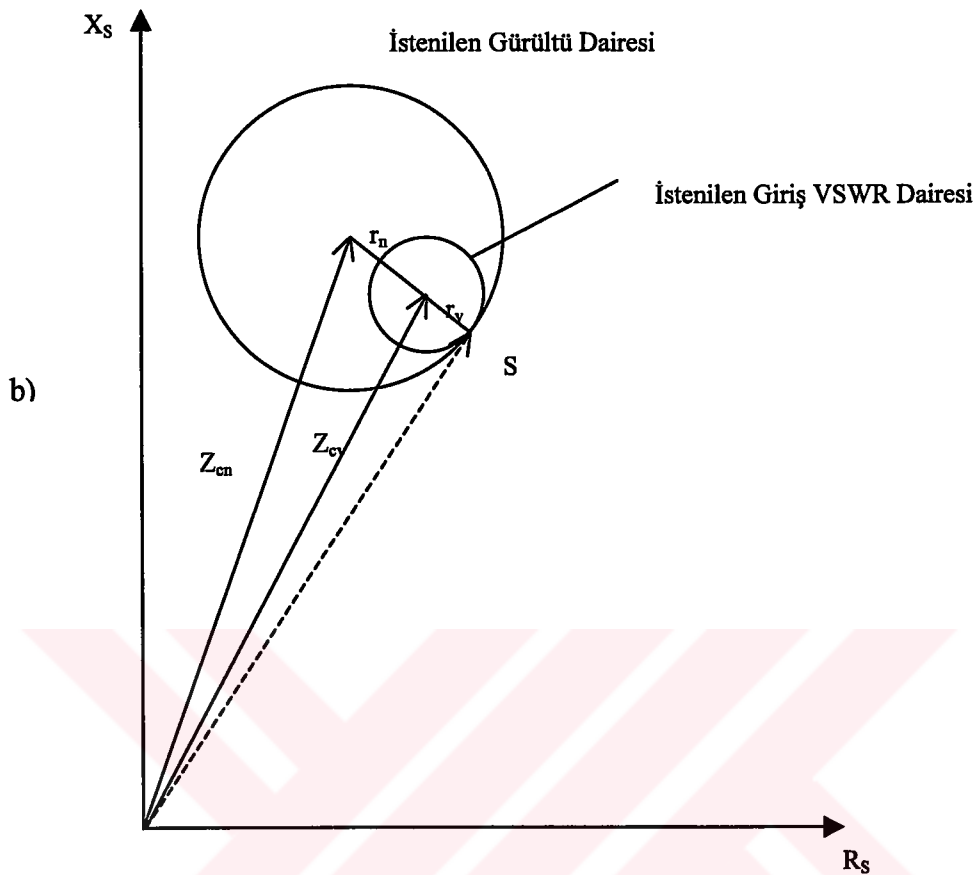
a)-Bu daireler birbirlerine dokunmayabilirler

b)-Birbirlerine iç veya dış teget olabilirler (Şekil 3.3)

c)-Birbirlerini kesebilirler

İleriki bölümde bu olasılıkların her biri ayrı ayrı incelenecaktır.





Şekil 3.3 Z<sub>s</sub>-düzleminde İstenilen Gürültü Faktörü ile Giriş VSWR'ın Teğet Durumları

- a) İç Teğet
- b) Dış Teğet

### 3.3.4 Z<sub>s</sub>-düzleminde Sabit Gürültü ve Giriş VSWR Dairelerinin Konumları

Z<sub>s</sub>-düzleminde birbirine değişmeyen ve kesişen pozisyonlar arasında geçiş safhaları olan gürültü ve giriş VSWR dairelerinin iki teğet pozisyonu, Şekil 3.3'de dış ve iç teğet pozisyonları olarak gösterilmiştir. Z<sub>s</sub>-düzleminde her iki pozisyonu kapsayacak teğet durumu için genel bir eşitlik aşağıdaki şekilde verilebilir:

$$|Z_{cn} - Z_{cv}|^2 = (r_n \pm r_v)^2 \quad (3.29)$$

(3.10)-(3.12) ve (3.15)-(3.17)'deki  $Z_{cn}, r_n, Z_{cv}, r_v$ , ifadeleri (3.29)'da yerine konulursa Z<sub>s</sub>-düzlemindeki teğet gürültü ve giriş VSWR daire çifti, Zi-düzleminde aşağıdaki çıkarılan

eşitlikteki gibi ifade edilebilir:

$$|Z_i|^2 - 2 \left[ (R_{opt} + N) \frac{1+|\rho_i|^2}{1-|\rho_i|^2} \pm 2\sqrt{N(N+R_{opt})} \frac{|\rho_i|}{1-|\rho_i|^2} \right] R_i + 2X_{opt} X_i + |Z_{opt}|^2 = 0 \quad (3.30)$$

Yukarıdaki ifade Zs-düzlemine iki teğet durumunun olması nedeniyle iki farklı daireyi ifade etmektedir (Güneş Filiz, Güneş M., Fidan M., 1994).

### 3.3.4.1 Dış Teğet Pozisyonu

(3.30)'deki ifade de işaret pozitif alındığı durumlardaki T1 dairesinin merkezi ( $Z_{ct1} = R_{ct1} + jX_{ct1}$ ) ve yarıçapı ( $r_{t1}$ ) için aşağıdaki ifadeleri elde edebiliriz (Güneş Filiz, Güneş M., Fidan M., 1994):

$$R_{ct1} = R_{cn} U + r_n V \quad (3.31)$$

$$X_{ct1} = -X_{opt} \quad (3.32)$$

$$r_{t1} = \sqrt{|Z_{ct1}|^2 - |Z_{opt}|^2} \quad (3.33)$$

$$U = \frac{1+|\rho_i|^2}{1-|\rho_i|^2} \quad (3.34)$$

$$V = \frac{2|\rho_i|}{1-|\rho_i|^2} \quad (3.35)$$

$R_{cn}$  ve  $r_n$  daha önce (3.10) ve (3.12)'de verilmiştir.

### 3.3.4.2 İç Teğet Pozisyonu

(3.30)'deki ifadede işaret negatif alındığı durumda T2 dairesinin merkezi ( $Z_{ct2} = R_{ct2} + jX_{ct2}$ ) ve yarıçapı ( $r_{t2}$ ) için aşağıdaki ifadeleri elde edebiliriz (Güneş Filiz, Güneş M., Fidan M., 1994):

$$R_{ct2} = R_{cn} U - r_n V \quad (3.36)$$

$$X_{ct2} = -X_{opt} \quad (3.37)$$

$$r_{t2} = \sqrt{|Z_{ct2}|^2 - |Z_{opt}|^2} \quad (3.38)$$

T1 ve T2 dairelerinin merkezleri aynı imajiner eksen üzerindedir ve T2 dairesi her zaman T1 dairesinin içinde ve T1'e değmeksizin bulunduğu tüm durumlarda aşağıdaki eşitsizliğin var olduğu gösterilerek ispat edilebilir:

$$r_{t1} > R_{ct1} - R_{ct2} + r_{t2} \quad (3.39)$$

eşitlik sadece  $|\rho_i| = 0$  (yani VSWR = 1) olduğunda sağlanabilir. (3.31) eşitliğindeki  $V$ 'nin çözümü sıfır olur ve  $R_{ct1}$  ve  $r_{t1}$  sırasıyla  $R_{ct2}$  ve  $r_{t2}$ 'ye eşit olur. T1 ve T2 dairesi çakışık çıkar. Daireler aynı daire olurlar. Bunun anlamı Zi-düzleminde sadece bir daire vardır ve giriş VSWR dairesi Zs-düzleminde bir daire değil ama bir noktadır.

Şekil 3.4'de gösterilen T1 ve T2 daireleriyle sınırlanan giriş empedans düzleminde 5 farklı bölge, Zs-düzleminde gürültü dairesiyle verilen giriş VSWR dairesinin aşağıda açıklanan farklı etkileşimlerine neden olur (Şekil 3.5):

**1.Bölge:** T1 daresinin dışında seçilen herhangi bir  $Z_i$  (giriş empedansı) için Zs-düzleminde istenen giriş VSWR dairesiyle gürültü dairesi birbirine değmemeye pozisyonundadır (Şekil 3.5a).

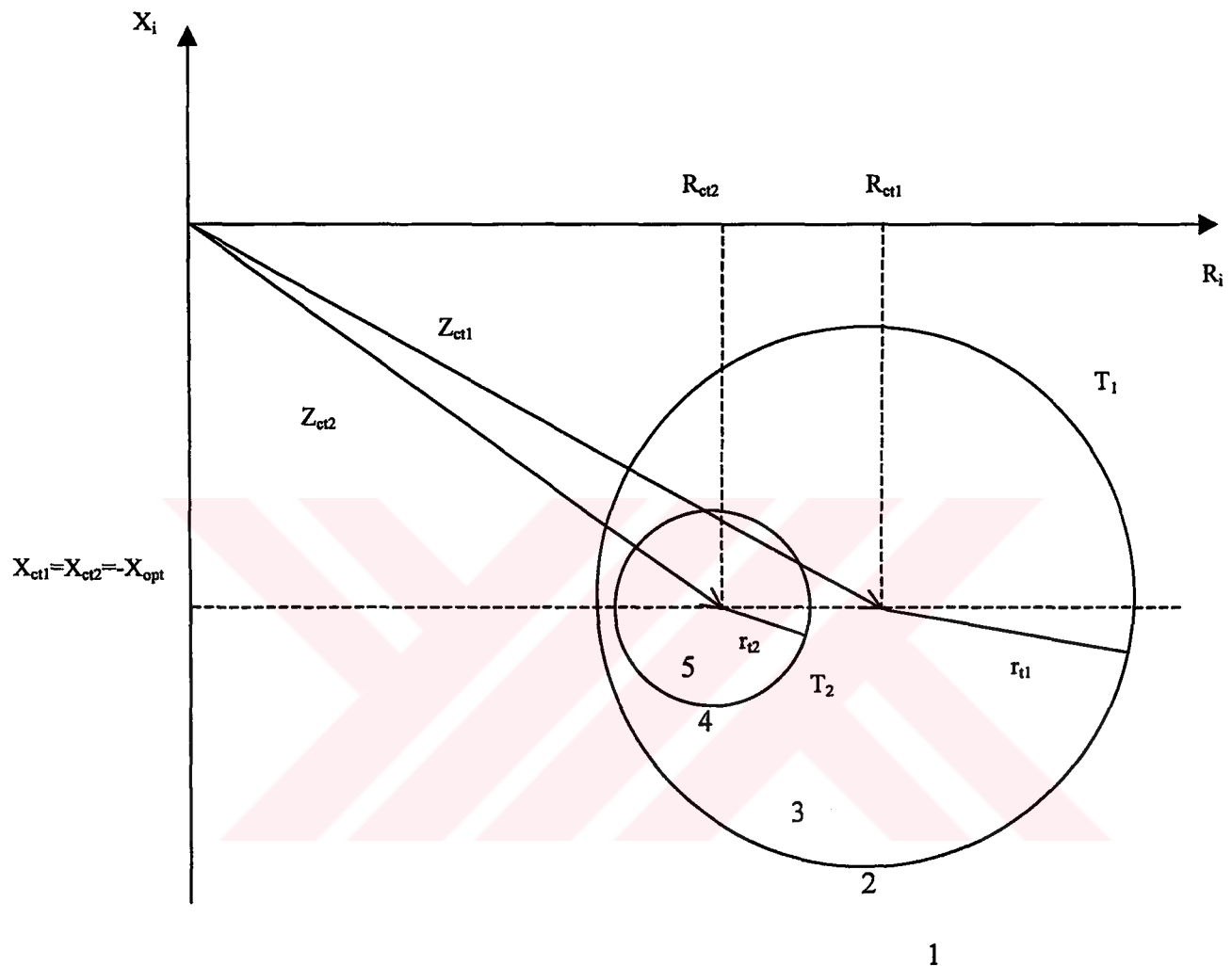
**2.Bölge:** T1 daresi üzerinde alınan bir  $Z_i$  empedansı sonucu verilen giriş VSWR ve gürültü daireleri Zs-düzleminde dış teğet pozisyonuna karşı düşer (Şekil 3.5b).

**3.Bölge:** T1 ve T2 dairelerinin arasındaki bölgede seçilen herhangi bir Zi-empedansı sonucunda Zs-düzleminde verilen giriş VSWR dairesiyle gürültü dairesi birbirlerini iki ayrı noktada keserler (Şekil 3.5c).

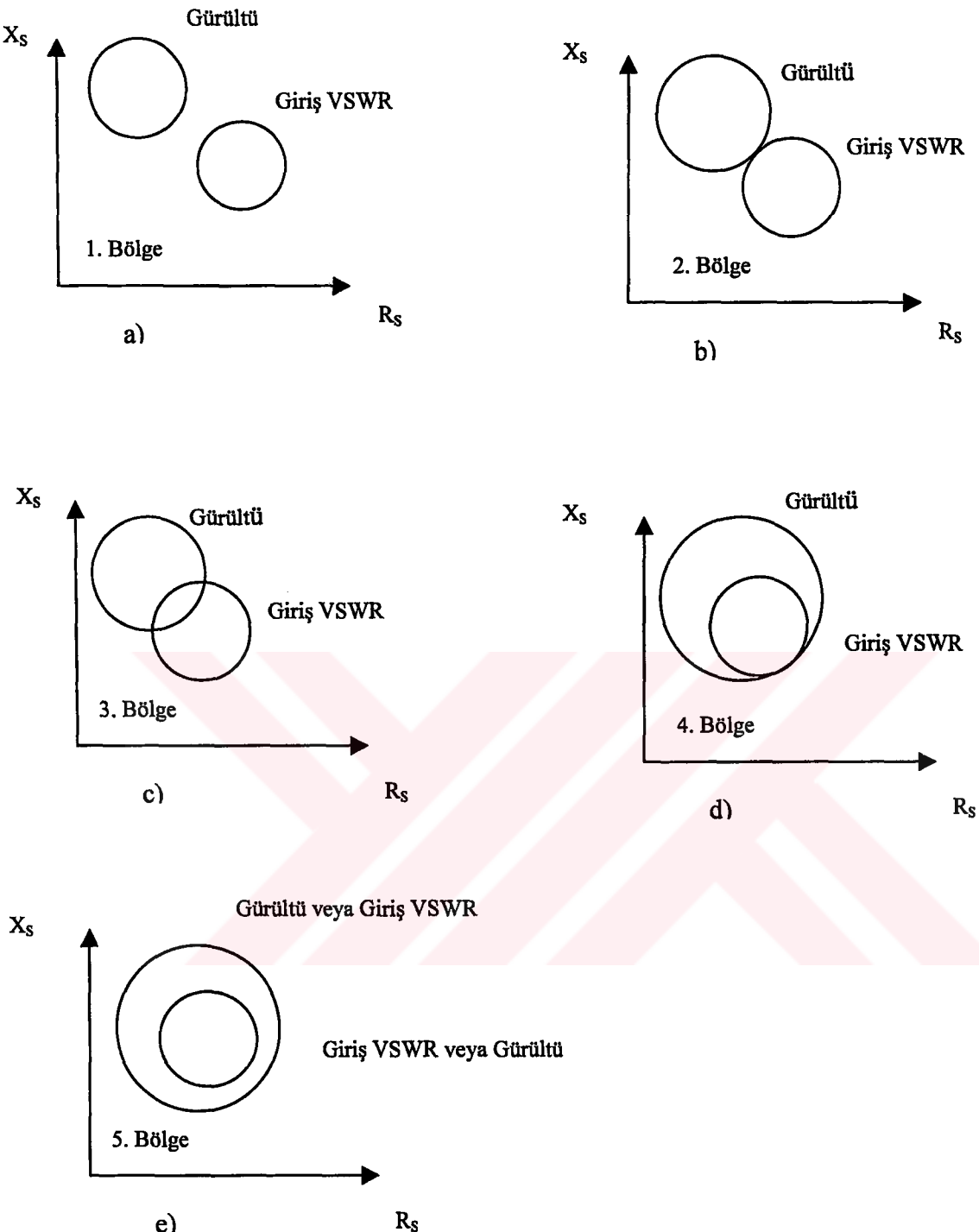
**4.Bölge:**  $Z_i$ 'nin T2 daresinin üzerinde seçilmesi durumunda verilen giriş VSWR ve gürültü daireleri, Zs-düzleminde iç teğet pozisyonundadırlar (Şekil 3.5d).

**5.Bölge:**  $Z_i$ 'nin T2 daresinin içinde seçilmesi durumunda gürültü ve gerekli giriş VSWR daireleri Zs-düzleminde birbirine deðmeden iç içe bulunurlar (Şekil 3.5e).

Şekil 3.5a ve Şekil 3.5e'den görüldüğü gibi Zi-düzlemindeki 1.bölge ve 5.bölgelerde, Zs-düzlemindeki verilen giriş VSWR ve gürültü dairelerinin hiçbir ortak noktası yoktur. Bu yüzden bu durumlar verilen giriş VSWR ve verilen gürültü için istenilen ve maksimum kazanç çözümünü vermezler (Güneş Macit, 1980).



Şekil 3.4  $Z_s$ -düzleminde Giriş VSWR ve Gürültü Dairelerinin Durumlarını belirleyen  $Z_i$ -düzlemindeki Beş Farklı Bölge



Şekil 3.5 Zi-düzlemindeki Beş Bölgenin Belirlediği  $Z_s$ -düzlemindeki Giriş VSWR ve Gürültü Dairelerinin Durumları

- a)  $Z_s$ -düzleminde 1.bölge olması durumu
- b)  $Z_s$ -düzleminde 2.bölge olması durumu
- c)  $Z_s$ -düzleminde 3.bölge olması durumu

- d) Zs-düzleminde 4.bölge olması durumu
- e) Zs-düzleminde 5.bölge olması durumu

### 3.4 Koşulsuz Kararlı Mikrodalga Transistoru

#### 3.4.1 Verilen Giriş VSWR İçin Zi-Düzlemi Sabit Kazanç Daireleri

Koşullu optimizasyon probleminin geometrik ve analitik çözümlerini bulabilmek amacıyla verilen giriş VSWR'ı gerçekleyen sabit kazanç daireleri, Zi-düzleminde oluşturulacak ve bu kazanç dairelerinin çözüm bölgeleri içindeki değerleri araştırılıp bütün koşulları sağlayanlar çözüm kümesini oluşturacaktır.

(3.24) ifadesinde yük empedansı (3.4)'den yararlanarak giriş empedansı şeklinde ifade edilirse, Zi-düzleminde bir daire denklemi halinde aşağıdaki gibi yazabilir:

$$|Z_i|^2 - \frac{1}{r_{22}}(2r_{11}r_{22} - r - \frac{G_T |z_{12}|^2}{1 - |\rho_i|^2})R_i - \frac{1}{r_{22}}(2x_{11}r_{22} - x)x_i - \frac{1}{r_{22}}(rr_{11} + xx_{11}) + |z_{11}|^2 = 0 \quad (3.40)$$

Burada;

$$r_{ij} = \operatorname{Re}\{z_{ij}\}, \quad x_{ij} = \operatorname{Im}\{z_{ij}\}, \quad z = z_{12}z_{21} = r + jx \quad (3.41)$$

Bu daire ailesinin merkezi ve yarıçapı sırasıyla  $Z_{cg} = R_{cg} + jX_{cg}$  ve  $r_g$  olsun.

$$R_{cg} = \frac{1}{2r_{22}}(Q - P) \quad (3.42)$$

$$X_{cg} = \frac{1}{2r_{22}}(2x_{11}r_{22} - x) \quad (3.43)$$

$$r_g = \frac{1}{2r_{22}}\sqrt{P^2 - 2QP + |z|^2} \quad (3.44)$$

Burada;

$$P = \frac{|z_{12}|^2}{1 - |\rho_i|^2}G_T \quad (3.45)$$

$$Q = 2r_{11}r_{22} - r \quad (3.46)$$

(3.42), (3.44)-(3.46)'dan görülebileceği gibi  $X_{cg}$  sabit kaldığında  $G_T$ 'deki artma ile  $R_{cg}$  azalacaktır (Şekil 3.6) ve maksimum kazanca sadece yarıçapı  $r_g$  sıfır eşit olduğu noktada ulaşılır. Bu nedenle (3.44) ifadesi sıfır eşitlenirse;

$$P = Q \mp \sqrt{(Q^2 - |z|^2)} \quad (3.47)$$

elde edilir ve bu ifadeye iki kapılının koşulsuz kararlı olması durumunda ulaşılacaktır.

$$Z_{i\max} = Z_{cg\max} = R_{cg\max} + jX_{cg} \quad (3.48)$$

Burada;

$$R_{cg\max} = \frac{1}{2r_{22}} \sqrt{(Q^2 - |z|^2)} \quad (3.49)$$

ve  $X_{cg}$  (3.43)'de daha önceden belirlenmiştir.

Bu sayede verilen giriş VSWR'ı karşılayan maksimum transduser güç kazancı (3.45) ve (3.47)'ye eşitleyerek aşağıdaki şekilde çıkarabiliriz (Güneş Filiz, Güneş M., Fidan M., 1994):

$$G_{T\max} = \{Q - \sqrt{(Q^2 - |z|^2)}\} \frac{1 - |\rho_i|^2}{|z_{12}|^2} \quad (3.50)$$

Bir iki kapılının her iki kapısında da kompleks eşlenik uydurma söz konusu ise ( $|\rho_i| = 0$ ) maksimum kullanılabilir güç kazancına (MAG: maximum available gain) ulaşılmış olur.

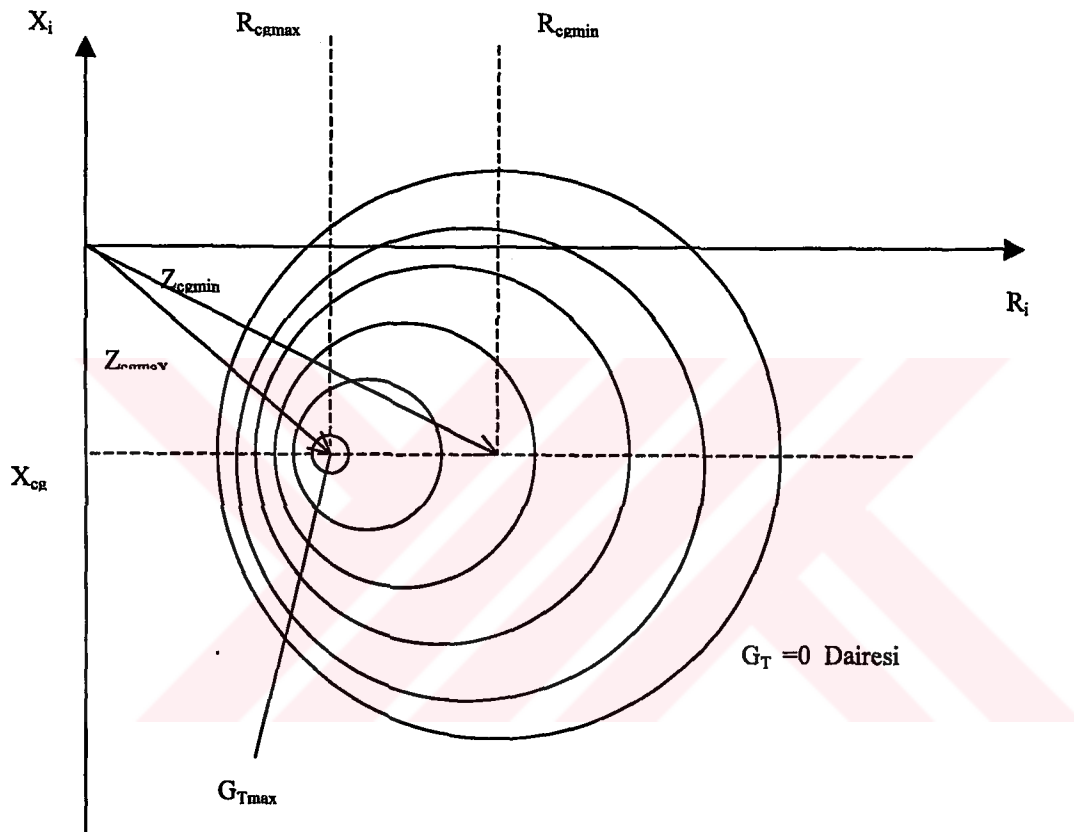
$G_T=0$  dairesinin verilen daire ailesinin bir limit dairesi olduğunu kolayca bulabiliyoruz. (3.42) ve (3.44)'de  $G_T=0$ 'i yerine koyarak aşağıdaki gibi  $G_T=0$  dairesinin merkezini ( $Z_{cg\min}$ ) ve yarıçapını ( $r_{g\min}$ ) bulabiliyoruz.

$$Z_{cg\min} = R_{cg\min} + jX_{cg} \quad (3.51)$$

$$R_{cg\min} = \frac{Q}{2r_{22}} \quad (3.52)$$

$$r_{g \min} = \frac{|z|}{2r_{22}} \quad (3.53)$$

Devrenin mutlak kararlılığı için  $Q > |z|$  olduğunda  $R_{cg \min} > Z_{cg \max}$  dur. Sonuç olarak limit daire bütünüyle pozitif reel düzlemededir ve  $G_T > 0$  olan tüm daireler, limit  $G_T = 0$  dairesinin içindedir (Şekil 3.6) (Güneş Macit, 1980).



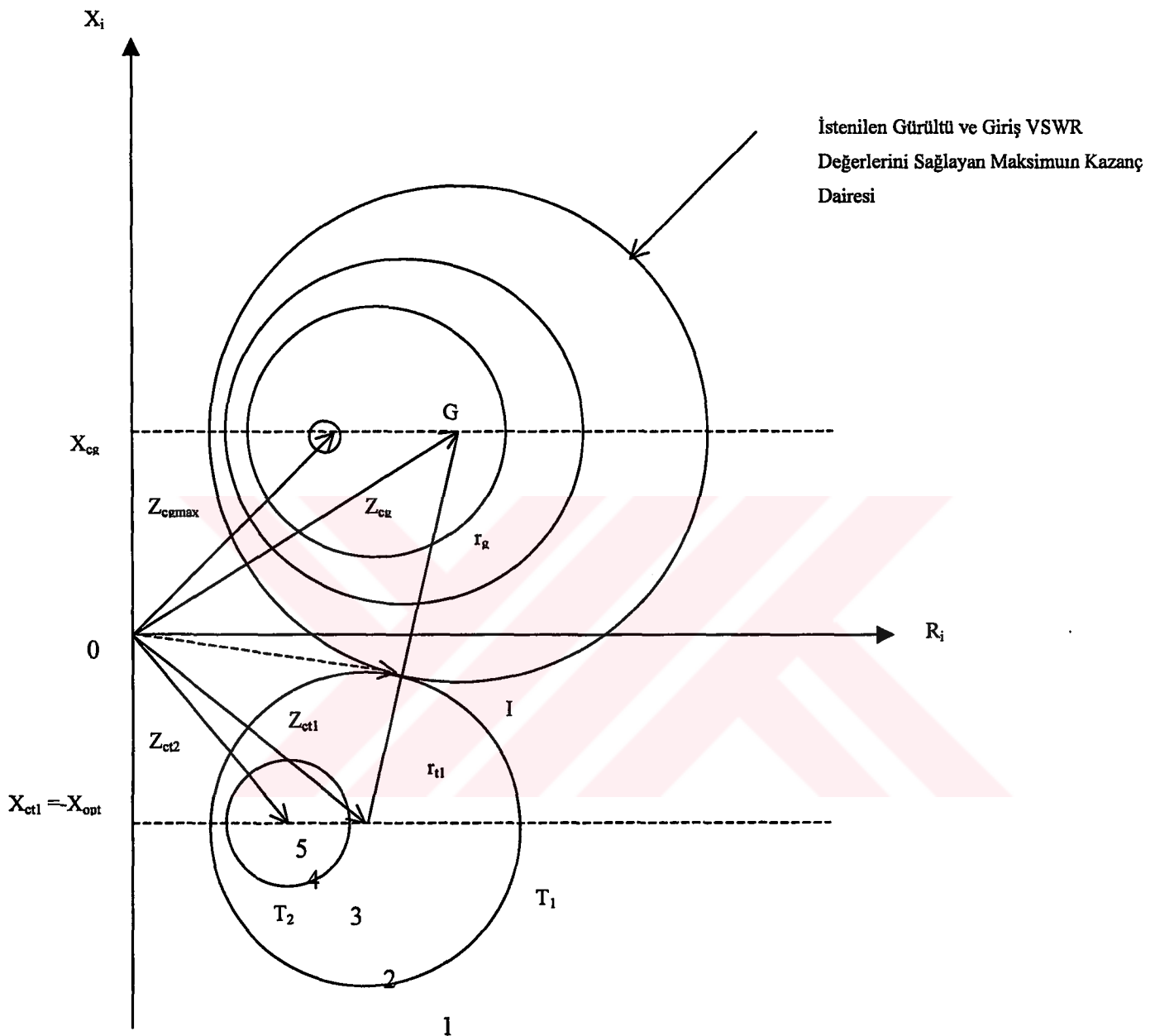
Şekil 3.6 İstenilen Giriş VSWR'ı Sağlayan Sabit kazanç Daireleri

### 3.4.2 Verilen Giriş VSWR ve Gürültü Faktörünü Sağlayan Koşulsuz Kararlı Transistorun Kazanç Daireleri ve Empedans Verileri

$r_{11} > 0$ ,  $r_{22} > 0$  ve  $(Q/|z|) > 1$  olması durumunda koşulsuz kararlı durum (Güneş Macit, 1980)

söz konusudur ve koşulsuz kararlılık şartı altında geometrik çözüm  $Z_{cg \max}$ 'ın pozisyonuna bağlı olarak çıkartılabilir (Şekil 3.7). Örneğin  $Z_{cg \max}$  1.bölgедe ise maksimum kazanç T1 dairesine teget sabit kazanç dairesinin değeri olacaktır. Benzer biçimde  $Z_{cg \max}$  5.bölgедe

olduğu zaman maksimum kazanç T2 dairesi ile teğet sabit kazanç dairesinin değerini alır.



**Şekil 3.7 Verilen Giriş VSWR ve Gürültü Faktörünü Sağlayan İstenilen ve Maksimum Kazanç Daireleri**

Ayrıca fiziksel olmayan çözümler için iki olasılık daha akla gelir. Bunlar,  $G_T = 0$  limit dairesi, T1 dairesinin tamamen dışında veya T2 dairesinin tamamen içinde olmasının sonucudur.  $Z_{cg\max}$ 'in 3.bölgедe olması durumunda gürültü ve giriş VSWR daireleri Zs-

düzleminde birbirlerini iki noktada keserler. 2. ve 4.bölgelerdeki  $Z_{cg\max}$ , Zs-düzleminde gürültü ve giriş VSWR dairelerinin teget olmalarını gerektirecektir. Bütün bu olasılıklar çıkarılacak analitik çözümler için ayrı ayrı incelenecektir.

### 3.4.2.1 $Z_{cg\max}$ 1.bölgede

Kazancı maksimum yapan giriş empedansı  $Z_{i\max} = Z_{cg\max}$  değeri Şekil 3.7'de gösterilen bölgelerden 1.bölgede bulunduğu durum için, kazanç dairelerinden biri ve T1 dairesinin teget durumlarını yazarsak:

$$|Z_{cg} - Z_{ct1}|^2 = (r_{t1} + r_g)^2 \quad (3.54)$$

yada;

$$|Z_{cg}|^2 + |Z_{ct1}|^2 - 2R_{cg}R_{ct1} - 2X_{cg}X_{ct1} = r_{t1}^2 + r_g^2 + 2r_{t1}r_g \quad (3.55)$$

yazılabilir.  $R_{cg}$ ,  $X_{cg}$ ,  $r_g$  ve  $R_{ct1}$ ,  $X_{ct1}$ ,  $r_{t1}$  için daha önce Bölüm 3.4'de belirlenen ifadeler kullanılırsa aşağıdaki ifade elde edilir (Güneş Filiz, Güneş M., Fidan M., 1994).

$$P^2(1-F^2) - 2(Q+EF)P + |z|^2 - E^2 = 0 \quad (3.56)$$

Burada;

$$E = \frac{Dr_{22} - R_{ct1}(2r_{t1}r_{22} - r) - 2X_{ct1}X_{cg}r_{22}}{r_{t1}} \quad (3.57)$$

$$F = \frac{R_{ct1}}{r_{t1}} \quad (3.58)$$

$$D = \frac{r_{22}|z_{11}|^2 - rr_{11} - xx_{11}}{r_{22}} + |Z_{opt}|^2 \quad (3.59)$$

şeklinde ifade edilirler.  $Q$ , (3.46) ifadesinde tanımlanmıştır.

(3.56) çözülür ve (3.45) de yerine konursa, sonuçta  $G_T$ :

$$G_{T1,2} = \frac{1 - |\rho_i|^2}{|z_{12}|^2} \frac{1}{1 - F^2} \{Q + EF \pm \sqrt{(Q + EF)^2 - (1 - F^2)(|z|^2 - E^2)}\} \quad (3.60)$$

bulunur (Güneş Filiz, Güneş M., Fidan M., 1994).

$F > 0$  ve  $1 - F^2 < 0$  olduğunda (3.60)'deki negatif işaret daha çok kazanç sağlayacaktır. (3.60)'den görülebileceği gibi maksimum kazanç kaynak veya sonlandırma yükünün direkt fonksiyonu değildir. Bununla beraber istenilen giriş VSWR, gürültü faktörü ve z-parametrelerinin direkt fonksiyonudur. (3.60)'da maksimum kazanca ve dolayısıyla istenilen kazanca ait sonlandırmalar (iki- kapılanın kaynak ve yük empedansları) aşağıda bulunmuştur.

Şekil 3.27'de görüldüğü gibi, sabit kazanç dairesinin T1'e teğet olması durumunda  $Z_i$  giriş empedansı aşağıdaki şekilde ifade edilebilir.

$$Z_i = \frac{r_g}{r_{t1} + r_g} Z_{ct1} + \frac{r_{t1}}{r_{t1} + r_g} Z_{cg} \quad (3.61)$$

Burada  $Z_{ct1}$ ,  $r_{t1}$  ve  $Z_{cg}$ ,  $r_g$  sırasıyla T1 ve  $G_T$  dairelerin merkez ve yarıçaplarıdır

Yük empedansı giriş empedansı ile bağlantılı olarak (3.4) ifadesinden kolayca bulunabilir:

$$Z_L = \frac{Z_{12} \cdot Z_{21}}{Z_{11} - Z_i} - Z_{22} \quad (3.62)$$

Uygun kaynak empedansı  $Z_S$ , Zs-düzleminde hem gürültü hem de giriş VSWR dairesinin teğet noktasındaki empedansıdır (Şekil. 3.3a) ve formülasyon olarak aşağıdaki şekilde ifade edilir.

$$Z_S = \frac{r_n}{r_n + r_v} Z_{cv} + \frac{r_v}{r_v + r_n} Z_{cn} \quad (3.63)$$

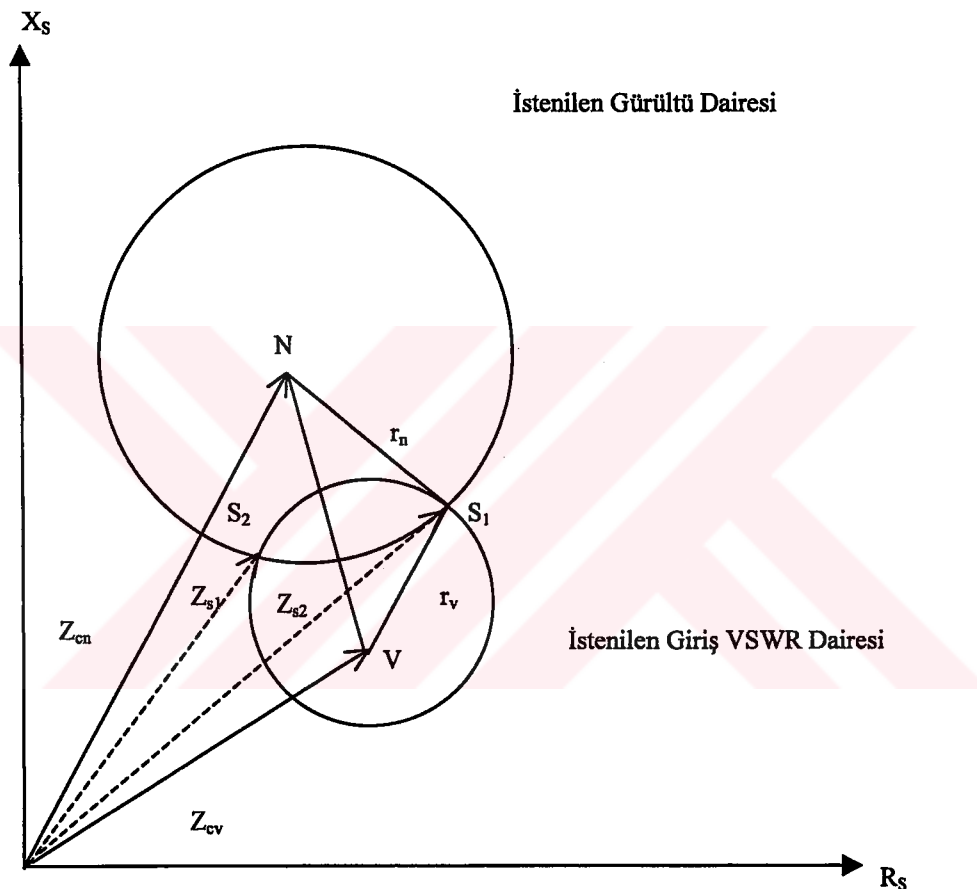
Burada  $Z_{cn}$ ,  $r_n$  ve  $Z_{cv}$ ,  $r_v$  sırasıyla gürültü ve giriş VSWR dairelerinin merkezleri ve yarıçaplarıdır.

### 3.4.2.2 Zcgmax 2.bölgедe

Zcgmax 2.bölgede olduğu zaman Zs-düzleminde giriş VSWR dairesini gürültü dairesine teğet yapan bütün giriş empedanslarının geometrik yeri T1 dairesinin kendisi olur ve maksimum kazanç (3.50)'da verilen  $G_{T_{\max}}$ 'dır ve bu kazancın elde edildiği giriş empedansı (3.48)'de verilen  $Z_{cg_{\max}}$  olacaktır. Kaynak empedansı da (3.63) formülünden hesaplanabilir.

### 3.4.2.3 $Z_{cg\max}$ 3.bölgедe

$Z_{cg\max}$  3.bölgедe olduğu zaman gerekli giriş VSWR dairesi  $Z_s$ -düzleminde gürültü dairesini kesecektir. Bu durumda hem verilen giriş VSWR'ı hem de gürültüyü gerçekleyen 2 kaynak empedansı vardır (Şekil 3.8).  $Z_{cg\max}$  3.bölgедe olduğu sürece maksimum kazanç (3.50)'de verilen  $G_{T\max}$  olacaktır ve  $Z_i$  (3.48)'de verilen  $Z_{cg\max}$  olacaktır.



Şekil 3.8  $Z_{cg\max}$  3.bölgедeyken Kaynak Empezansları

Kaynak empedansları  $Z_{s1}, Z_{s2}$  için Şekil 3.8'de iki dairenin kesişme noktalarından aşağıdaki şekilde çıkarılabilir:

$$Z_{s1,2} = R_{s1,2} + jX_{s1,2} \quad (3.64)$$

$$R_{s1,2} = C \pm \sqrt{C^2 - D} \quad (3.65)$$

$$X_{s1,2} = AR_{s1,2} + B \quad (3.66)$$

$$A = \frac{R_{cn} - R_{cv}}{X_{cv} - X_{cn}} \quad (3.67)$$

$$B = \frac{|Z_i|^2 - |Z_{opt}|^2}{2(X_{cv} - X_{cn})} \quad (3.68)$$

$$C = \frac{R_{cn} + AX_{cn} - AB}{1 + A^2} \quad (3.69)$$

$$D = \frac{B^2 + |Z_{opt}|^2 - 2X_{cn}B}{1 + A^2} \quad (3.70)$$

### 3.4.2.4 Zcgmax 5.bölgедe

Bu durumda maksimum kazanç, sabit kazanç dairesinin ve T2 dairesinin birbirine iç içe teğet oldukları noktada elde edilebilir. Bu çözüm ayrıca gürültü ve giriş VSWR dairelerinin,  $Z_s$ -düzleminde iç teğet çözümlerine karşılık düşer. Şekil 3.9'daki iki dairenin teğet pozisyon koşulu için şu eşitlik yazılabilir:

$$|Z_{cg} - Z_{ct2}|^2 = (r_g - r_{t2})^2 \quad (3.71)$$

Bu (3.54)'e çok benzeyen bir eşitlidir. Yani Zcgmax 1.bölgедe iken elde edilen sonuçlar da,  $Z_{cg\max}$  5.bölgедe iken  $Z_{ct1}, r_{t1}$  yerine  $Z_{ct2}, -r_{t2}$  konularak yeniden çıkartılabilir.

İki daire teğet olduğu noktadaki giriş empedansı  $Z_i$  yine aşağıdaki formül yardımıyla bulunabilir.

$$Z_i = \frac{r_g}{r_g - r_{t2}} Z_{ct2} - \frac{r_{t2}}{r_g - r_{t2}} Z_{cg} \quad (3.72)$$

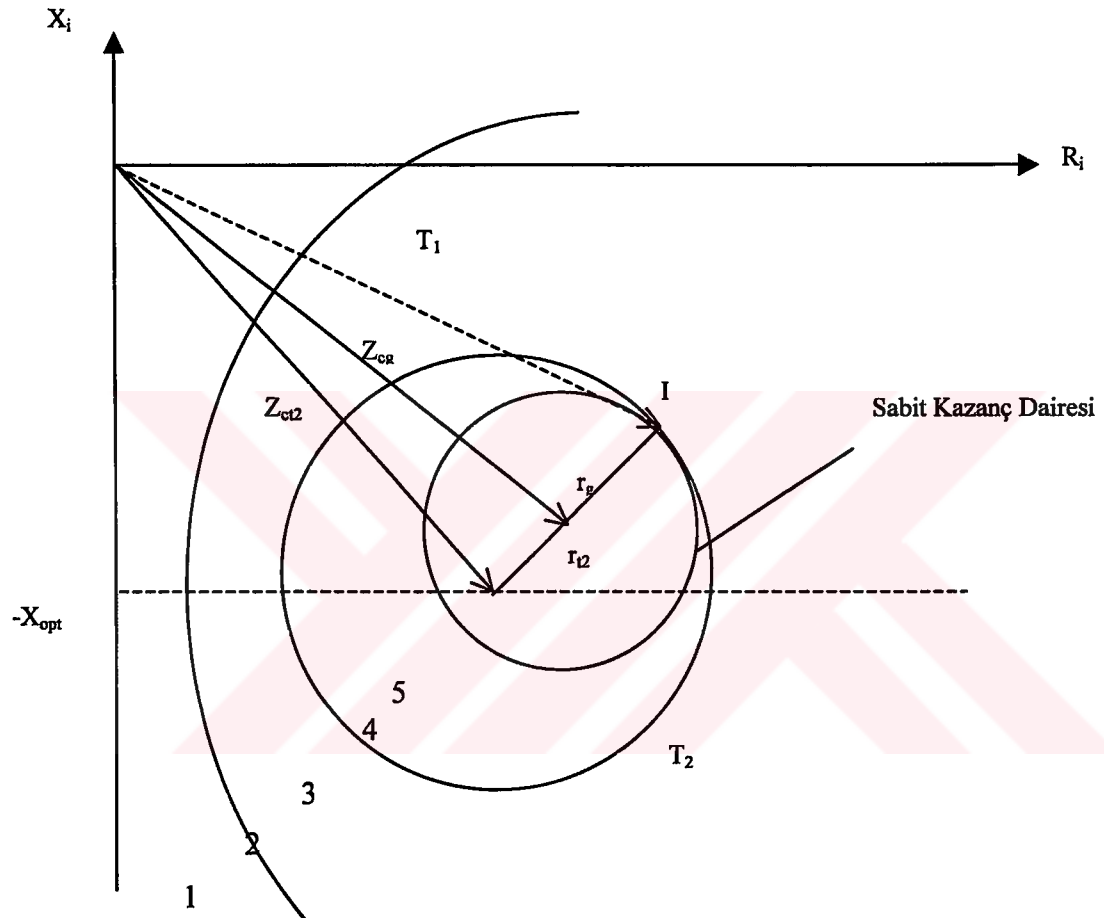
Verilen gürültü ve giriş VSWR dairelerinin Şekil 3.3b'deki iç teğet noktasındaki kaynak empedansı hangi dairenin daha geniş olduğuna bağlı olarak (3.63) ifadesine benzer olarak aşağıdaki şekilde bulunur:

$r_n > r_v$  olduğunda;

$$Z_s = \frac{r_n}{r_n - r_v} Z_{cv} - \frac{r_v}{r_n - r_v} Z_{cn} \quad (3.73)$$

$r_n \leq r_v$  olduğu durumda ise,

$$Z_S = \frac{r_v}{r_v - r_n} Z_{cn} - \frac{r_n}{r_v - r_n} Z_{cv} \quad (3.74)$$



Şekil 3.9  $Z_{cg\max}$  5.bölgедeyken Kazanç Daireleri ve Sonlandırmalar

#### 3.4.2.5 $Z_{cg\max}$ 4.bölgede

Bu durumda maksimum kazanç ve uygun giriş empedansı daha önce tanımlanan  $G_{T_{\max}}$  ve  $R_{cg\max}$  olur. Kaynak empedansı gürültü ve giriş VSWR dairelerinin yarıçaplarına bağlı olarak (3.73) veya (3.74)'den birisi ile bulunur.

### 3.5 Koşullu Kararlı Mikrodalga Transistoru

#### 3.5.1 Kaynak Kararlılık Dairesi

$r_{11} > 0$ ,  $r_{22} > 0$  ve  $0 < |Q/z| < 1$  olması durumunda koşullu kararlı durum (Güneş Macit, 1980) söz konusudur. (3.40) ifadesi kaynak kararlılık dairesinin merkezi ve yarıçapı göz önüne alınarak yeniden düzenlenirse;

$$|Z_i|^2 + 2(R_{cs} + S)R_i + 2X_{cs}X_i + |Z_{cs}| - r_s^2 = 0 \quad (3.75)$$

bulunur ve burada;

$$S = \frac{|z_{12}|^2 G_T}{2r_{22}(1 - |\rho_i|^2)} \quad (3.76)$$

şeklindedir. Ayrıca  $Z_{cs} = R_{cs} + jX_{cs}$  ve  $r_s$  sırasıyla kaynak kararlılık dairesinin merkezi ve yarıçapıdır ve aşağıdaki şekilde ifade edilirler.

$$R_{cs} = -\frac{2r_{11}r_{22} - r}{2r_{22}} \quad (3.77)$$

$$X_{cs} = -\frac{2x_{11}r_{22} - x}{2r_{22}} \quad (3.78)$$

$$r_s = \frac{|z|}{2r_{22}} \quad (3.79)$$

Burada kazanç dairesine ilişkin merkez  $Z_{cg} = R_{cg} + jX_{cg}$  ve yarıçap  $r_g$ ;

$$R_{cg} = -(R_{cs} + S) \quad (3.80)$$

$$X_{cg} = -X_{cs} \quad (3.81)$$

$$r_g = (S^2 + 2SR_{cs} + r_s^2) \quad (3.82)$$

olarak ifade edilirler (Güneş Filiz, Güneş M., Fidan M., 1994).

(3.75)-(3.80) ifadelerinde  $G_T$  dairelerinin özellikleri aşağıdaki şekilde ifade edilebilir (Şekil 3.10) (Güneş Macit, 1980).

- a) Tüm  $G_T$  daireleri imajiner ekseni aynı noktada keser. Bu nokta kompleks eşlenik kaynak kararlılık dairelerinin imajiner ekseni kestiği noktadır.
- b)  $G_{T_{\min}}$  dairesi ( $G_T = 0$ ),  $Z_{cg\min} = -R_{cs} - jX_{cs}$  merkezine ve  $r_{g\min} = r_s$  yarıçapına sahiptir ve imajiner eksene göre kompleks eşlenik kaynak kararlılık dairesinin simetriğidir.
- c)  $G_{T_{\max}} > G_{T_{req}} > 0$  daireleri  $G_T = 0$  ve kompleks eşlenik kaynak kararlılık dairesinin Zi-düzleminin pozitif reel kısmında kalan arkı ile sınırlandırılmış olacaklardır. Bu dairelerin merkez fazörü her zaman  $X_i = -X_{cs}$  çizgisi üzerinde olacaklardır. Koşulsuz kararlı durumda tüm  $G_T$  daireleri Zi-düzleminde sağ yanında kalmaktaydılar. Koşullu kararlı durumda ise maksimum kazanç kompleks eşlenik kaynak kararlılık dairesinin sağ yanında kalan ark üzerinde olacaktır.

(3.89) ifadesinde  $R_{cg} = R_{cs}$  alınip maksimum kazanç;

$$G_T = 2 \frac{1 - |\rho_i|^2}{|z_{12}|^2} (2r_{11}r_{22} - r) \quad (3.83)$$

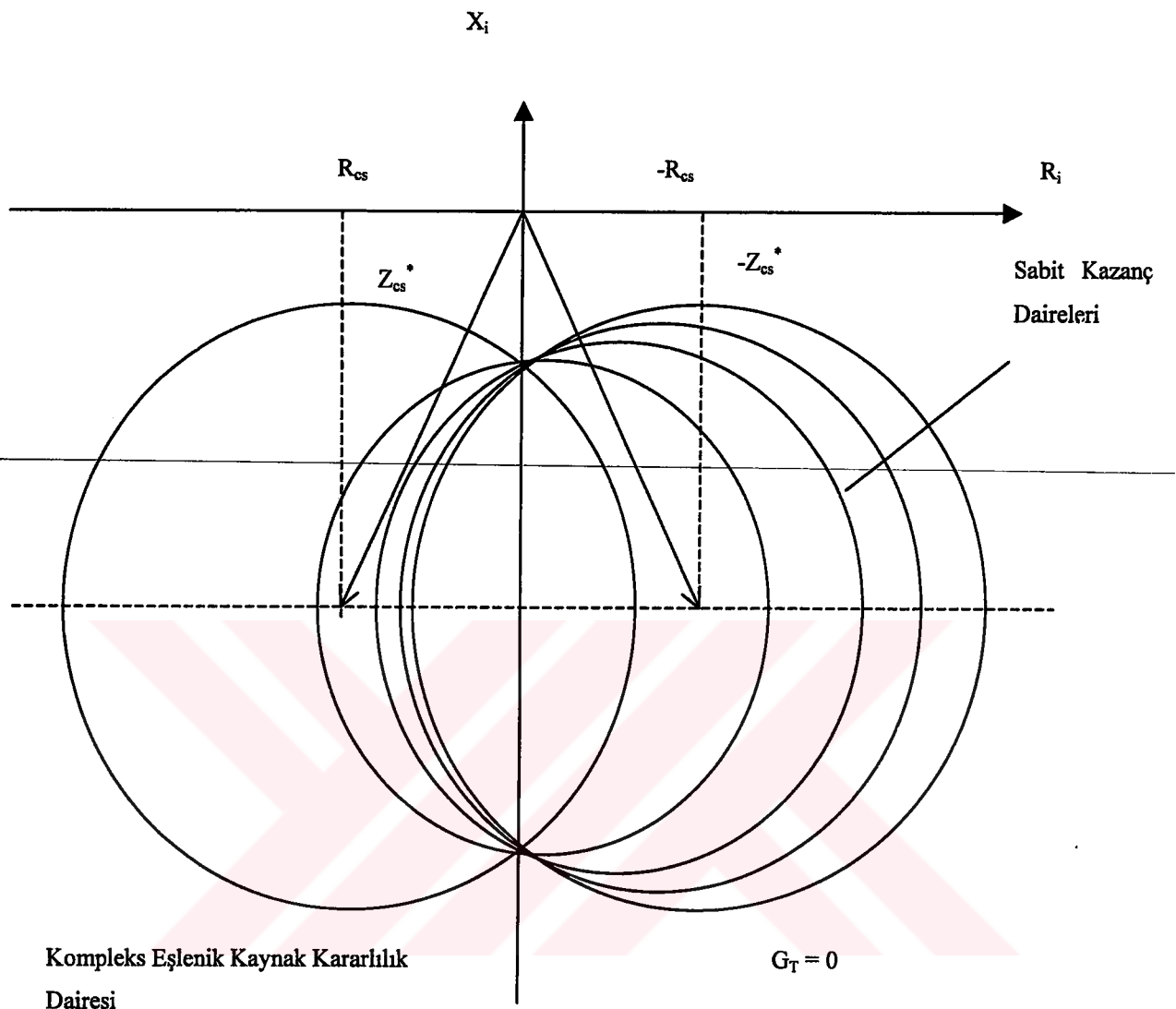
olanak belirlenir Burada  $|\rho_i| = 0$  alınırsa maksimum kararlı kazanç (MSG; Maximum Stable Gain);

$$MSG = 2 \left| \frac{z_{21}}{z_{12}} \right| \eta \quad (3.84)$$

olanak bulunur. Burada  $\eta$  kararlılık faktörüdür ve;

$$\eta = \frac{2r_{11}r_{12} - r}{|z|} \quad (3.85)$$

olarak ifade edilir. Koşullu kararlı durumda  $0 < \eta < 1$  şeklindedir (Güneş Macit, 1980).



Şekil 3.10 Koşullu Kararlı Transistor İçin Zi-düzleminde Sabit Kazanç Daireleri

### 3.5.2 Verilen Giriş VSWR ve Gürültü Faktörünü Sağlayan Koşullu Kararlı Transistorun Kazanç Daireleri ve Empedans Verileri

$r_{11} > 0$ ,  $r_{22} > 0$  ve  $0 < (Q/|z|) < 1$  olması durumunda koşullu kararlı durumun (Güneş Macit, 1980) söz konusu olduğundan daha önceki bölümlerde bahsedilmiştir. Koşulsuz kararlı durumda çözüme beş farklı bölge üzerinden ulaşılmıştı. Koşulsuz kararlı durum için yapılan bölgelendirme Şekil 3.11'de gösterilen biçimde koşullu kararlı durum için de yapılabilir.

Koşullu kararlı transistor durumunda dört durum söz konusudur (Güneş Macit, 1980):

### 3.5.2.1 a) Durumu

$G_T = 0$  dairesi tamamen 1.bölgедeyse fiziksel çözüm yoktur. Bu durum dairenin merkez ve yarıçapı şöyle tanımlanabilir :

$$|Z_{cg\min} - Z_{ct1}| > r_s + r_{t1} \quad (3.86)$$

### 3.5.2.2 b) Durumu

2.bölge (T1 dairesi ) sabit kazanç dairesi alanını kestiğinde bir maksimum kazanç olasılığı mevcuttur. Maksimum kazanç ve uygun giriş empedansı bir sabit kazanç dairesiyle Şekil 3.11'de gösterilen T1 dairesinin teğet bağıntısından hesaplanabilir:

$$|Z_{cg} - Z_{ct1}|^2 = (r_g + r_{t1})^2 \quad (3.87)$$

Maksimum kazanç Bölüm 3.6'da yapıldığı gibi (3.80)-(3.82) ve (3.77)-(3.79) ifadelerinin (3.87)'de yerine konmasıyla çıkarılabilir. Uygun giriş empedansı aşağıdaki şekilde yazılır:

$$Z_i = \frac{r_{t1}}{r_{t1} + r_g} Z_{cg} + \frac{r_g}{r_{t1} + r_g} Z_{ct1} \quad (3.88)$$

$Z_i$  bulunduktan sonra kaynak empedansı ( $Z_s$ ) (3.63)'den hesaplanabilir ki burada gürültü ve giriş VSWR daireleri  $Z_s$ -düzleminde dış teğet konumundadır. Bu durumun varlığı aşağıdaki bir çift eşitsizlikle gösterilebilir.

$$|Z_{cg\max} - Z_{ct1}| > r_s + r_{t1} > |Z_{cg\min} - Z_{ct1}| \quad (3.89)$$

### 3.5.2.3 c) Durumu

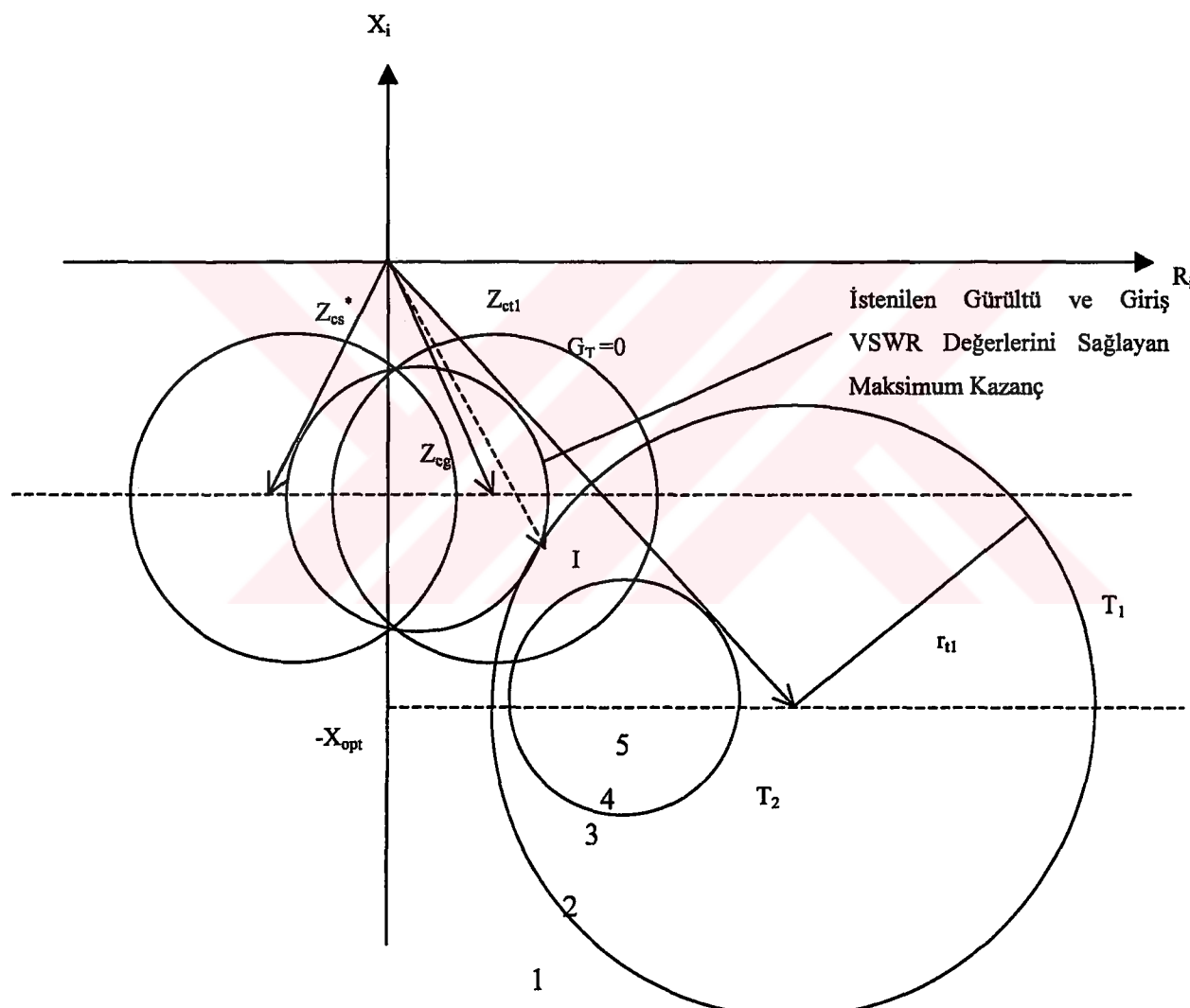
T1 dairesi, kaynak kararlılık dairesinin eşleniğinin kestiği zaman; bu kararlılık dairesinin eşleniğinin bazı bölümleri 3.bölgede kalır. Bu yüzden bu bölgедeki giriş empedansı (3.83)'de verilen maksimum kazançla aynı kazancı sağlar (Şekil 3.12). Bu durumda gürültü ve giriş VSWR dairelerinin şartlarını sağlayan iki kaynak empedansı olacaktır. Bunlar (3.64)-(3.70) arası hesaplanmışlardır. Bu durum aşağıdaki bir çift eşitsizlikle ifade edilebilir:

$$|Z_{cg\max} - Z_{ct2}| > r_s + r_{t2} \quad (3.90)$$

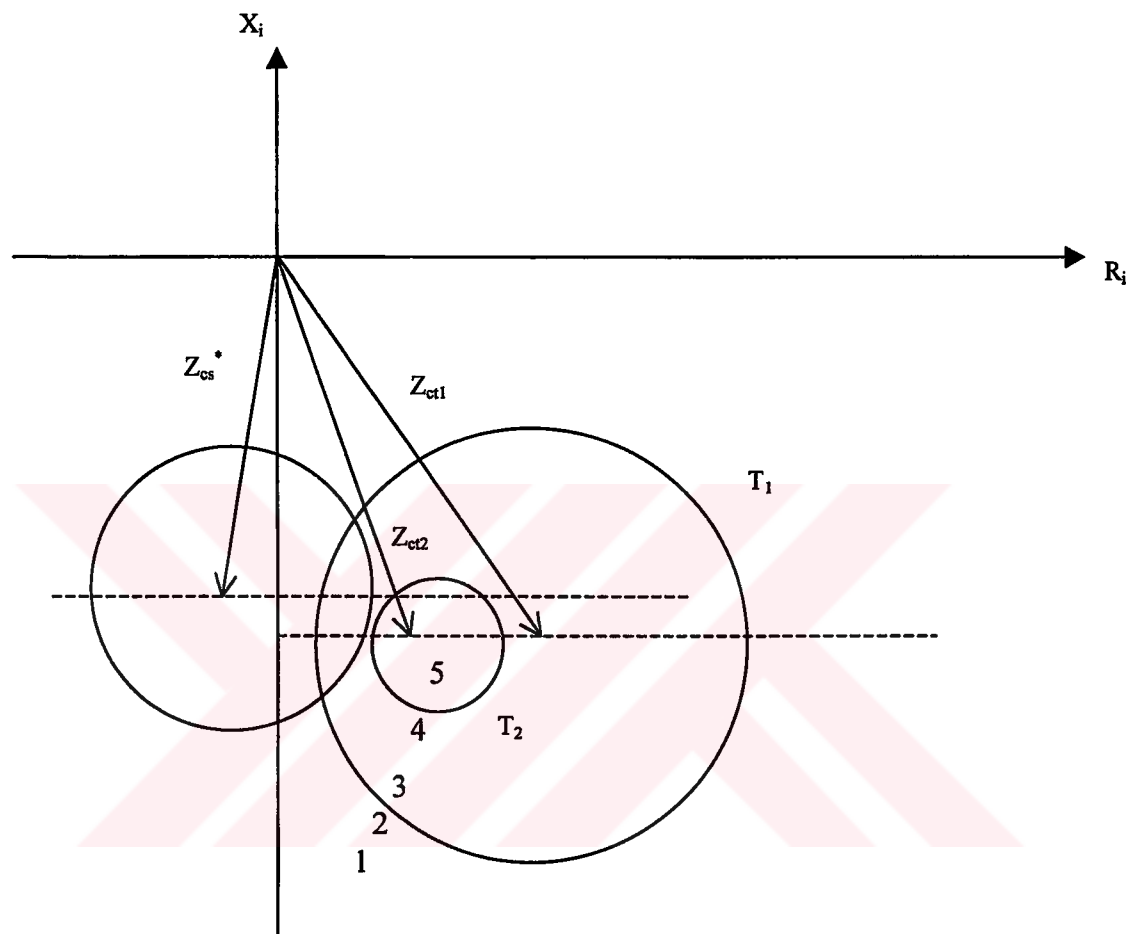
$$\left|Z_{cg\max} - Z_{ct1}\right| < r_s + r_{t1} \quad (3.91)$$

#### **3.5.2.4 d) Durumu**

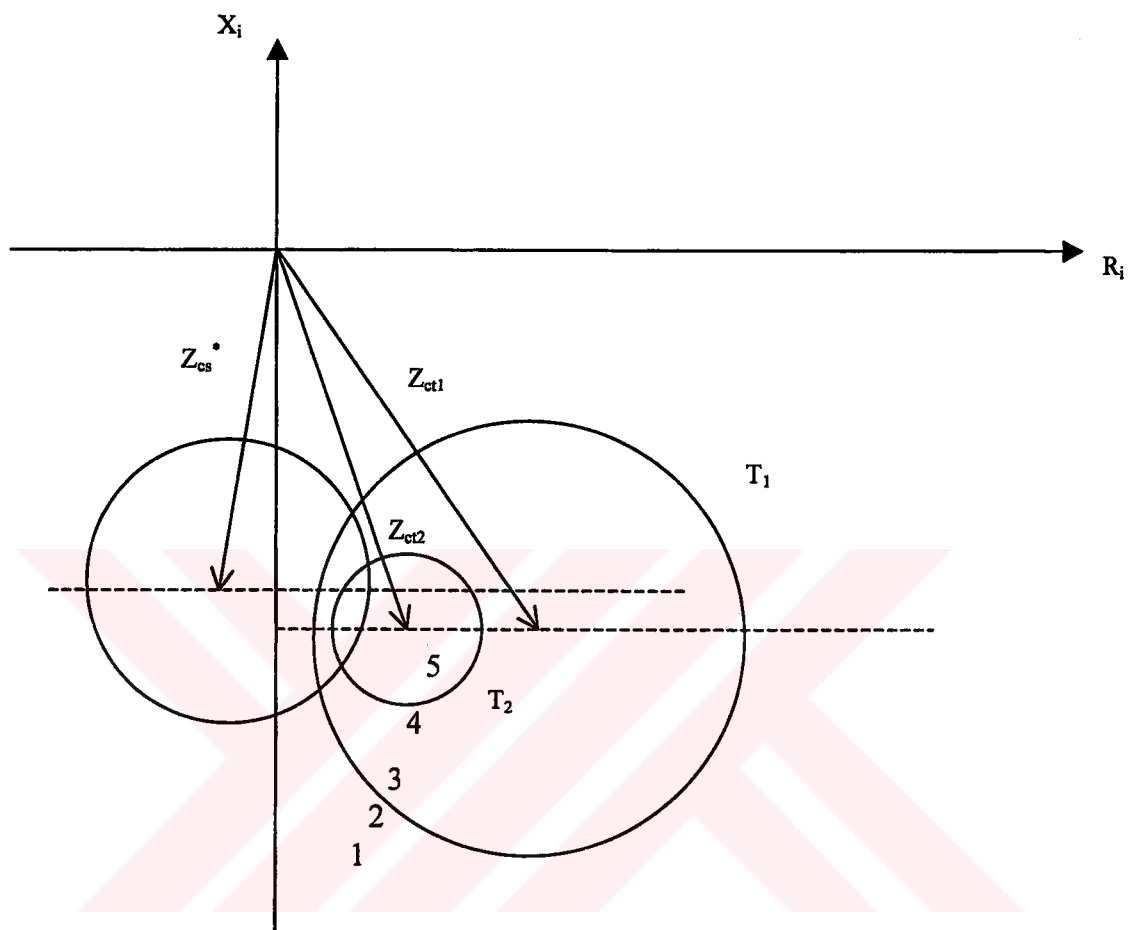
T2 dairesi eşlenik kaynak dairesini kestiğinde bu dairenin 5.bölgedeki bölümü çözüm vermez. 3.bölgedeki bölümü maksimum kazanç ve sonlandırma sağlar (2. durumda açıklandığı gibi) (Şekil 3.13).



**Şekil 3.11 Koşullu Kararlı Transistor İçin İstenilen Giriş VSWR ve Gürültüyü Sağlayan Kazanç Daireleri ve Sonlandırmalar**



Şekil 3.12 T1 Dairesinin Kaynak Kararlılık Dairesinin Eşleniğini Kestiği Durum



Şekil 3.13 T2 Dairesinin Kaynak Kararlılık Dairesinin Eşleniğini Kestiği Durum

## 4. EMPEDANS VERİLERİNİN MODELLENMESİ

### 4.1 Empedans Yaklaşımı İle Modelleme

Fiziksel devreden ölçülen veya herhangi bir analiz yöntemiyle bulunan veriler, pozitif reel bir  $z(s)$  empedans fonksiyonu ile modellendiği zaman bu  $z(s)$  empedans fonksiyonu sentez edilebilir. Ölçülen verilerdeki reel ve sanal kısımları ayrı ayrı modellemek, Empedans Yaklaşımı ile Modelleme yöntemimizin esasını oluşturur. Reel ve sanal kısımları ayrı ayrı modellemek için, (Kılınç Ali, 1995)'de konu edilen aşağıdaki yöntem kullanılmıştır.

Pozitif reel bir  $z(s)$  empedans fonksiyonu, bir Foster fonksiyonu  $z_F(s)$  ile bir minimum reaktans fonksiyonunun  $z_{MR}(s)$  toplamı olarak yazılabilir (Kılınç Ali, 1995).

Verilen bir  $z(s)$  fonksiyonu; reel  $s$  değerleri için  $z(s)$  reel ve  $\operatorname{Re}\{s\} \geq 0$  için  $\operatorname{Re}\{z(s)\} \geq 0$  koşullarını sağladığında pozitif reeldir denir (Kılınç Ali, 1995).

Yukarıda tanıtılan pozitif reel bir immitans fonksiyonunun kutupları, yalnızca  $j\omega$  ekseni üzerinde yada sol tarafında olabilir, sağ yarı düzlemede bulunamazlar. Bu kutuplardan  $j\omega$  üzerinde olanlar Foster fonksiyonu olarak, sol yarı düzlemede olanlar ise minimum reaktans/süzeptans fonksiyonu olarak yazılabilir. Bunun için bir pozitif reel empedans fonksiyonu göz önüne alındığında;

$$z(s) = \frac{N(s)}{D(s)} = \frac{a_0 + a_1 s + \dots + a_m s^m}{b_0 + b_1 s + \dots + b_m s^m} \quad (4.1)$$

(4.1) ile verilen bir pozitif reel fonksiyon olduğuna göre,  $N(s)$  ve  $D(s)$  polinomlarının sağ yarı düzlemede kökleri yoktur.  $D(s)$ 'in  $j\omega$  ekseni üzerindeki köklerinden  $D_1(s)$  oluşturulursa;

$$D_1(s) = (s^2 + \omega_1^2)(s^2 + \omega_2^2) \dots (s^2 + \omega_m^2) \quad (4.2)$$

geri kalan köklerinden de  $D_2(s)$  oluşturulursa;

$$D_2(s) = \frac{D(s)}{D_1(s)} \quad (4.3)$$

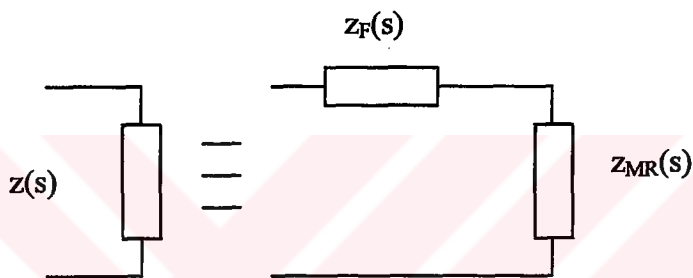
Bu durumda  $D_2(s)$  polinomunun  $j\omega$  ekseni üzerinde kutbu yoktur, yani Kesin Hurwitz'dir. Böylece  $z(s)$  empedans fonksiyonu;

$$z(s) = \frac{N(s)}{D_1(s) \cdot D_2(s)} \quad (4.4)$$

haline gelir. Bu ifade,  $j\omega$  eksenindeki kutuplarına göre kısmı çarpanlarına ayrılırsa;

$$z(s) = \underbrace{\left[ k_\infty s + \frac{k_0}{s} + \sum_{i=1}^m \left( \frac{k_i s}{s^2 + \omega_i^2} \right) \right]}_{\text{Foster fonksiyonu}} + \underbrace{\frac{N_2(s)}{D_2(s)}}_{\text{minimum reaktans fonksiyonu}} \quad (4.5)$$

gibi iki fonksiyonu toplamı olarak yazılabilir. Bu fonksiyonlardan ilki,  $j\omega$  ekseni üzerindeki kutuplardan oluşmuştur, yani Foster fonksiyonudur, ikincisi ise sol yarı düzlemdeki kutuplardan oluşmuştur, yani minimum reaktans/süzeptans fonksiyonudur.



Şekil 4.1. Verilen empedansın iki bölüme ayrılması.

Buradan,

$$z(s) = z_{MR}(s) + z_F(s) \quad (4.6)$$

şeklinde yazılır ki bu pozitif reel bir  $z(s)$  empedans fonksiyonu, bir Foster fonksiyon  $z_F(s)$  ile bir minimum reaktans fonksiyonu  $z_{MR}(s)$  'in toplamı olarak yazılabilceğinin ifadesidir (Şekil 4.1).

## 4.2 Empedans Yaklaşımı İle Modelleme Algoritması

1.  $\omega_i$ ,  $i=1,2,3,\dots,k$  frekanslarında yapılmış  $k$  adet ölçüm veya analiz sonucu elde edilen veriler empedansın reel ve sanal bileşenleri  $Z_D(\omega_i) = R_D(\omega_i) + jX_D(\omega_i)$  şeklinde yazılır.
2.  $z_{MR}(\omega_i) = r_{MR}(\omega_i) + jx_{MR}(\omega_i)$  olmak üzere reel kısım verileri  $r_{MR}(\omega_i) = R_D(\omega_i)$  'ya bir eğri uydurulur. Eğrinin fonksiyonu (4.13) 'de verildiği gibi bir çift fonksiyon olmalıdır.

$$r_{MR}(\omega) = \frac{A_0 + A_1\omega^2 + \dots + A_m\omega^{2m}}{B_0 + B_1\omega^2 + \dots + B_n\omega^{2n}} \quad (4.7)$$

Bu denklemde  $n \geq m$  olması koşulu ile  $n$  minimum reaktans fonksiyonunun kaç eleman ile modelleneneceğini,  $m$  ise iletim sıfırlarının sayısını belirlemektedir. Bu gösteriminde,  $n$  ve  $m$  giriş impedansının minimum reaktans kısmının kompleksliğini belirlemektedir. Bir çok uygulamada minimum reaktans fonksiyonunun iletim sıfırları sıfırda (DC), sonsuzda, sonlu bir frekansda veya bunların bireşiminden oluşur. Sonuçta elde edilecek  $r_{MR}(\omega)$  hiçbir zaman negatif olmamalı, bu amaçla  $A_i$  ve  $B_i$  katsayıları uyumlu olarak belirlenmelidir.

3.  $r_{MR}(\omega)$  elde edildikten sonra minimum reaktans fonksiyonu  $z_{MR}(\omega)$  analitik olarak bulunmalıdır. Bu amaçla Bode veya Gewertz prosedürleri kullanılabilir. Sentezin kolaylığı açısından Gewertz prosedürünün tercih edilmesi daha uygundur. Bunun sonucunda  $z_{MR}(s)$ , (4.14)'deki gibi elde edilir. Bu durumda  $x_{MR}(s)$  'da ulaşılmış olunur.

$$z_{MR}(s) = \frac{a_0 + a_1s + \dots + a_ms^m}{b_0 + b_1s + \dots + b_n\omega^n} \quad (4.8)$$

4.  $z_F(\omega_i) = jx_F(\omega_i)$  şeklinde sanal olduğundan, (4.6)'dan  $z(j\omega_i) = r_{MR}(\omega_i) + jx_{MR}(\omega_i) + jx_F(\omega_i)$  şeklinde yazılabilir. Bu verilen impedans  $Z_D(\omega_i) = R_D(\omega_i) + jX_D(\omega_i)$  'ye eşitlenirse  $x_F(\omega_i) = X_D(\omega_i) - x_{MR}(\omega_i)$  şeklinde minimum reaktans fonksiyonu tarafından modellenmemiş sanal veriler elde edilir (Foster fonksiyonu verileri).

5. Elde edilen Foster verilerine bir eğri uydurulur. Uydurulacak eğrinin fonksiyonu (4.9) ile verilmektedir.

$$x_F(\omega) = -\frac{k_0}{\omega} + k_\infty\omega + \sum_{i=1}^p \frac{k_i\omega}{\omega_i^2 - \omega^2} \quad (4.9)$$

Bu denklemde  $k_0$ ,  $k_\infty$  ve  $k_i$  katsayılarının pozitif olması sağlanmalıdır. Bu fonksiyondaki kutupların sayısı ( $p+2$ ) tanedir (sıfırda, sonsuzda ve  $p$  tane de  $\omega$ 'da kutup var).  $x_F(\omega)$  belirlendikten sonra,  $\omega = s/j$  dönüşümü yapılarak  $z_F(\omega)$  Foster impedans fonksiyonu bulunur.

$$z_F(s) = \frac{k_0}{s} + k_\infty s + \sum_{i=1}^p \frac{k_i s}{s^2 + \omega_i^2} \quad (4.10)$$

6. Aranılan model fonksiyon  $z(s) = z_{MR}(s) + x_F(s)$  şeklinde elde edilir. Daha sonra bulunan fonksiyon, Darlington sentezi yöntemi ile sentezlenerek  $1\Omega$  ile sonlandırılmış kayıpsız iki kapılı devre elde edilir (Kılınç Ali, 1995).

### 4.3 Gewertz Prosedürü

Bu prosedürü kullanarak, minimum reaktans fonksiyonunun reel kısmı bilindiği zaman empedansın tamamı elde edilmektedir. Minimum reaktans fonksiyonunun pay ve paydası  $s$ 'in kuvvetlerine göre çift ve tek kısımlarına ayrılarak yazılırsa:

$$Z_{MR}(s) = Odd(Z_{MR}(s)) + Even(Z_{MR}(s)) = \frac{N(s)}{D(s)} \quad (4.11)$$

Şimdi  $r_{MR}(w)$  fonksiyonunun bilindiği farz edilsin.  $s = jw$  dönüşümü yapılarak  $r_{MR}(s^2)$  fonksiyonu bulunur.

$$Z_{MR}(s) = \frac{a_0 + a_1 s^1 + \dots + a_m s^m}{b_0 + b_1 s^1 + \dots + b_n s^n} \quad (4.12)$$

Minimum reaktans fonksiyonumun yapısını (4.8)'deki gibi vermişik ( $n=m+1$ ).

$$r_{MR}(s^2) = \frac{A_0 + A_1 s^2 + \dots + A_m s^{2m}}{B_0 + B_1 s^2 + \dots + B_n s^{2n}} \quad (4.13)$$

Minimum reaktans fonksiyonunun reel kısmını ise (4.13)'deki gibi elde edilir.

$$\frac{A_0 + A_1 s^2 + \dots + A_m s^{2m}}{B_0 + B_1 s^2 + \dots + B_n s^{2n}} = \frac{m_1 m_2 - n_1 n_2}{m_2^2 - n_2^2} = \frac{m_1 m_2 - n_1 n_2}{D(s)D(-s)} \quad (4.14)$$

Genel olarak (4.14) eşitliğini elde edilebilir. İlk önce  $r_{MR}(s^2)$ 'nin payda polinomunu ele alınırsa;

$$D(s)D(-s) = (B_0 + B_1 s^2 + \dots + B_n s^{2n}) \quad (4.15)$$

$D(s)$  polinomunu elde etmek için  $r_{MR}(s^2)$ 'nin payda polinomunu bütün kökleri bulunur, sol yarı düzlemden geçen kökler  $p_1, p_2, \dots, p_n$  ise  $D(s)$  şu şekilde yazılır;

$$D(s) = \sqrt{B_n} (s - p_1)(s - p_2) \dots (s - p_n) \quad (4.16)$$

$D(s)$  'i bulmanın bir başka yolu da aşağıdaki gibi açıklanabilir:

1. Önce  $D(s)$  polinomu  $D(s) = b_n s^n + b_{n-1} s^{n-1} + \dots + b_0$  şeklinde tanımlanır.
2. Daha sonra  $D(s) D(-s)$  çarpımı bulunup, bulunan katsayılar,  $B_i \quad i=1\dots n$  katsayılarına eşitlenir ve böylece  $n+1$  tane denklem elde edilir.
3. Bulunan denklemler çözülürse aranan katsayılar bulunur. Ancak dikkat edilecek husus bu denklemler çözülürken birden fazla cevap bulunabilir. Pozitif katsayılar alınır ve daha sonra bu denklemin kesin Hurwitz olmasına dikkat edilir. İlk yöntemde ise yine aynı şekilde sadece sol yarı düzlemdeki kökler alınarak  $D(s)$  'in kesin Hurwitz olması sağlanmıştır. İlk yöntemdeki kök bulma işlemi ve ikinci yöntemdeki denklem çözümü Mathcad programı ile rahatlıkla yapılabilmektedir.

Payda polinomu dikkate alınırsa;

$$\begin{aligned} A_0 + A_1 s^2 + \dots + A_m s^{2m} &= m_1 m_2 - n_1 n_2 = \\ (a_0 + a_2 s^2 + \dots)(b_0 + b_2 s^2 + \dots) - (a_1 s + a_3 s^3 + \dots)(b_1 s + b_3 s^3 + \dots) & \end{aligned} \quad (4.17)$$

Burada katsayılar düzenlenirse;

$$\begin{aligned} A_0 &= b_0 a_0 \\ A_1 &= b_2 a_0 - b_1 a_0 + b_0 a_2 \\ A_2 &= b_4 a_0 - b_3 a_1 + b_2 a_2 - b_1 a_3 + b_0 a_4 \\ &\vdots \end{aligned} \quad (4.18)$$

$$A_c = \sum_{j=-c}^c (-1)^{c+j} b_{c-j} a_{c+j}$$

Genelde eğri uydurma işinde  $r_{MR}(w)$  'nin pay polinomu aşağıdaki gibidir.

$$N(w) = w^{2k} \prod_{p=1}^t (w^2 - w_p^2)^2 \quad (4.19)$$

Fonksiyon Pozitif reel olduğu için, fonksiyonun değeri tüm w'lar için asla negatif olamaz yani 0'in altına inemez, bir fonksiyonun 0 olması için negatif değerler de alabilmesi gerekmektedir, w sonsuza giderken 0'da asimptotu ( $y=0$  ekseni) olmasını fonksiyonun 0 olması olarak düşünemeyiz, böyle kabul edilse de bu ifademize yansıtılamaaz. Bu fonksiyonun belli w değerleri için 0'a teğet gelmesi ve negatife inmeden tekrar pozitif bir değer alması ise zor bir ihtimal, bu olayı eğri uydururken kullanmak çok daha zor bir olaydır. Bütün bu varsayımlar doğrultusunda fonksiyonun gidişine göre verebileceğimiz k değerleri ile beraber ( $k = 0,1,2,\dots$ ) yeni pay polinomu söyledir:

$$N(w) = A_k w^{2k} \quad (4.20)$$

Bizim uygulamalarımızda ise  $k=0$  için en iyi sonuçlar alınmıştır.  $N(w) = A_0$  ifadesi kullanılmıştır, öyleyse (4.18) denklemleri daha basit bir hal alıp  $A_c$  katsayıları ( $c = 1,2,3,\dots,m$ ) 0 olacaktır.

Giriş ve çıkış uydurma devre tasarımlına yönelik yöntemler açısından daha detaylı bilgiler (Kılıç Ali, 1995), (Carlin H.J. and Yarman S.B., 1983), (Yarman S.B., Feltuvies A., 1990) ve (Yarman S.B., Akşen A., 1992) kaynaklarında verilmektedir.

#### 4.4 Normalizasyon ve Denormalizasyon

Devre analizinde ve sentezinde Ohm, Farad, Henry, Hertz gibi standart birimlerin kullanılması hesaplamalar sırasında çok büyük ve çok küçük sayılarla çalışmayı gerektirir. Bu tür farklı büyüklüklerdeki sayılarla çalışmak işlemleri zorlaştırdığı gibi yuvarlatma ve kesmeden dolayı hataları da artırmaktadır. Bu problemlerden kurulmak için normalizasyon ve denormalizasyon yöntemlerine başvurulur.

Empedans yaklaşımı ile modelleme algoritmasında aşağıdaki normalizasyon ve denormalizasyon yöntemine başvurulmuştur (Kılıç Ali, 1995).

Verilen bir devrede bütün empedanslar  $R_0$  ile ve bütün açısal frekanslar  $w_0$  ile normalize edilirse;

$$R = R' / R_0 \quad (4.21)$$

$$w = w' / w_0 \quad (4.22)$$

olur ve bu gösterilimde “” normalize edilmemiş gerçek eleman değeridir. Normalize edilmiş devrede fiziksel ilişkilerin ve karakteristik özelliklerin değişmemesi için endüktans ve kapasite normalizasyon değerleri;

$$L_0 = R_0 / w_0 \quad (4.23)$$

$$C_0 = 1/(R_0 w_0) \quad (4.24)$$

şeklinde olmalıdır. Bu durumda endüktans ve kapasite normalizasyonu;

$$L = L' / L_0 \quad (4.25)$$

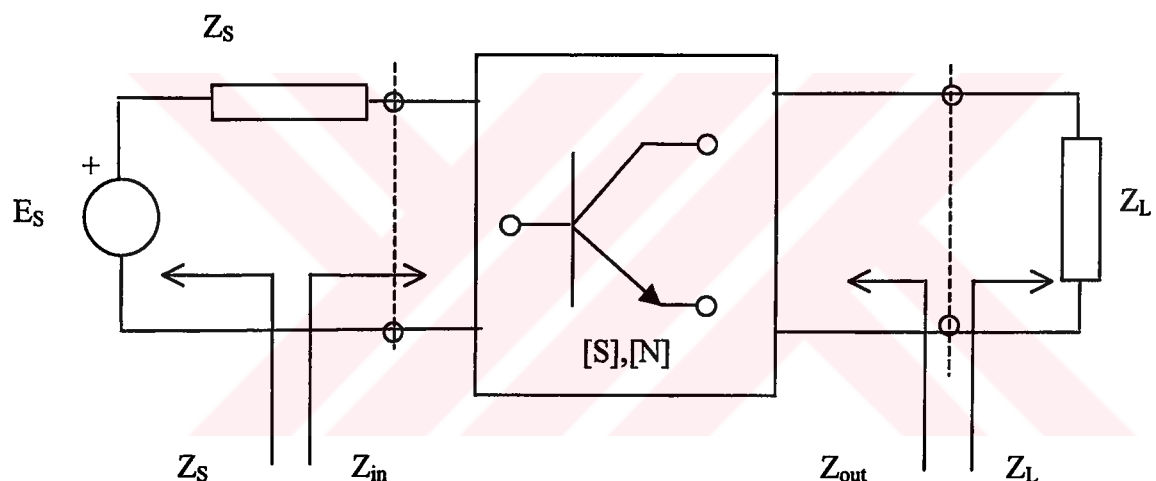
$$C = C' / C_0 \quad (4.26)$$

şeklide olur ve denormalizasyon işlemi yukarıdaki ifadelerde “” değerlerini çekip gerçek değerlere geçmekle yapılabilir.

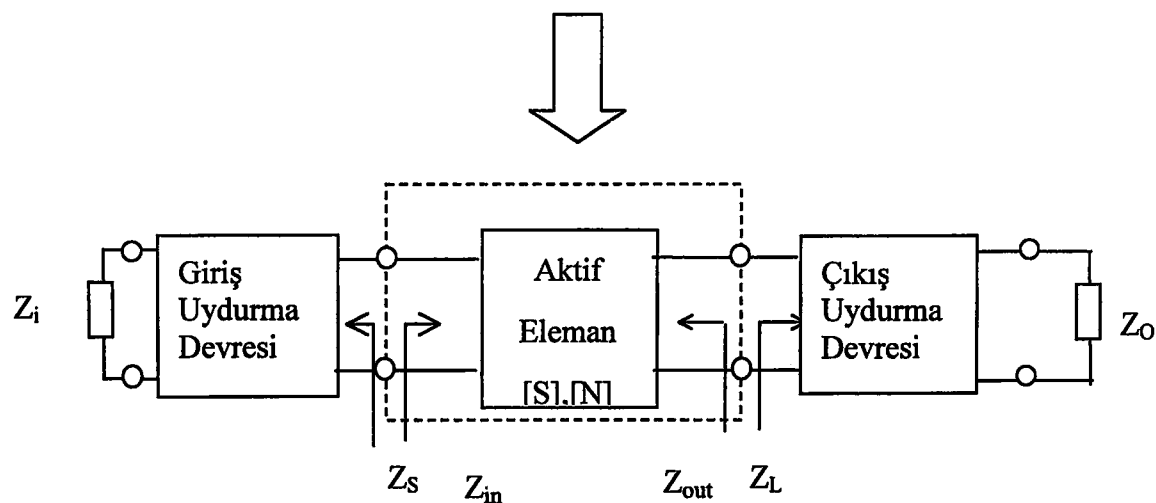
## 5. MİKRODALGA TRANSİSTORUN YSA İLE PERFORMANS ANALİZİ, MODELLENME BLOKLARI ve PROGRAMLAMA

### 5.1 Blok Yapıları ve Akış Diyagramları

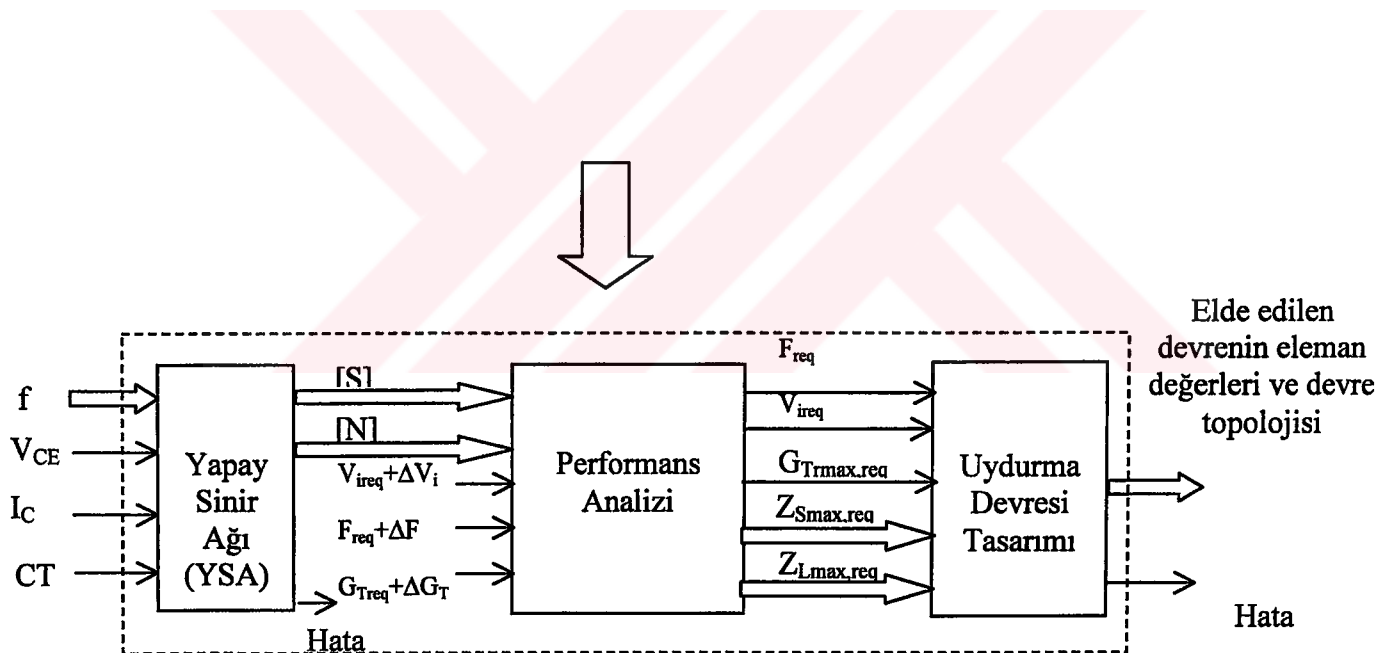
YSA kullanılarak mikrodalga transistorun performans analizi ve modellenmesine yönelik sistemin blok yapıları ve programlara yönelik akış diyagramları aşağıda verilmiştir.



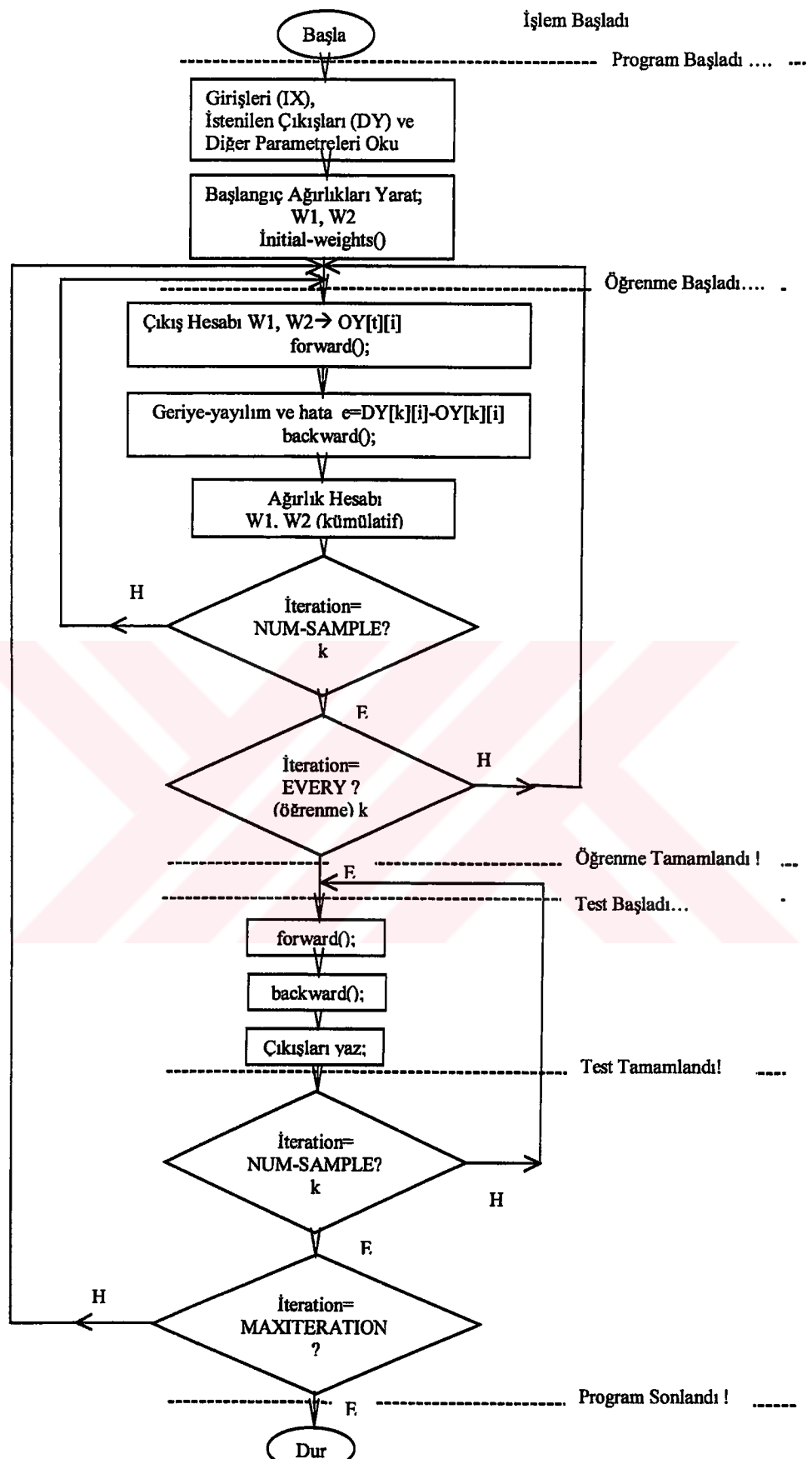
Şekil 5.1 Bir Küçük-İşaret Mikrodalga Transistoru Modeli



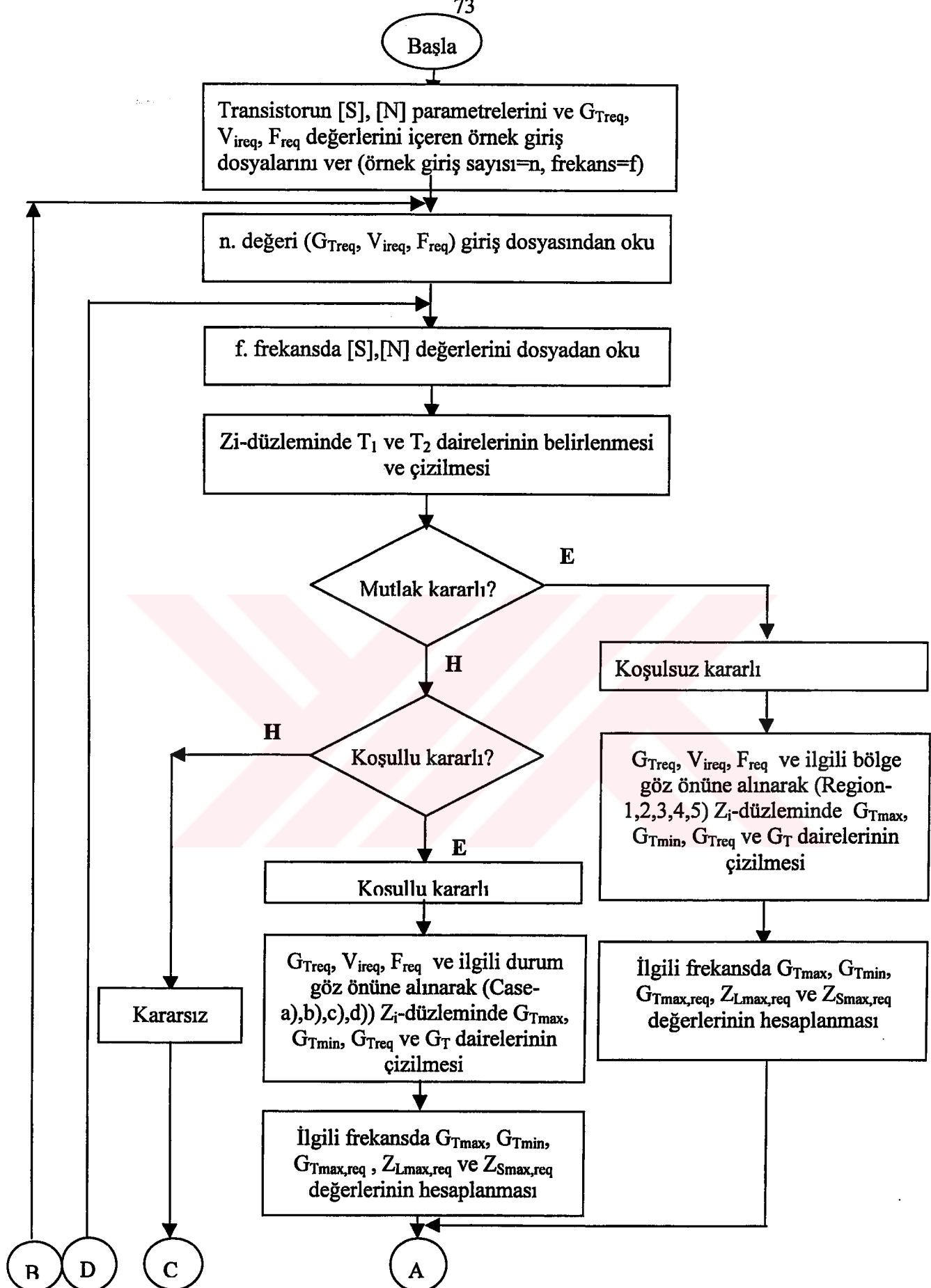
Şekil 5.2 Bir Uydurulmuş Transistorlu Kuvvetlendirici Blok Yapısı

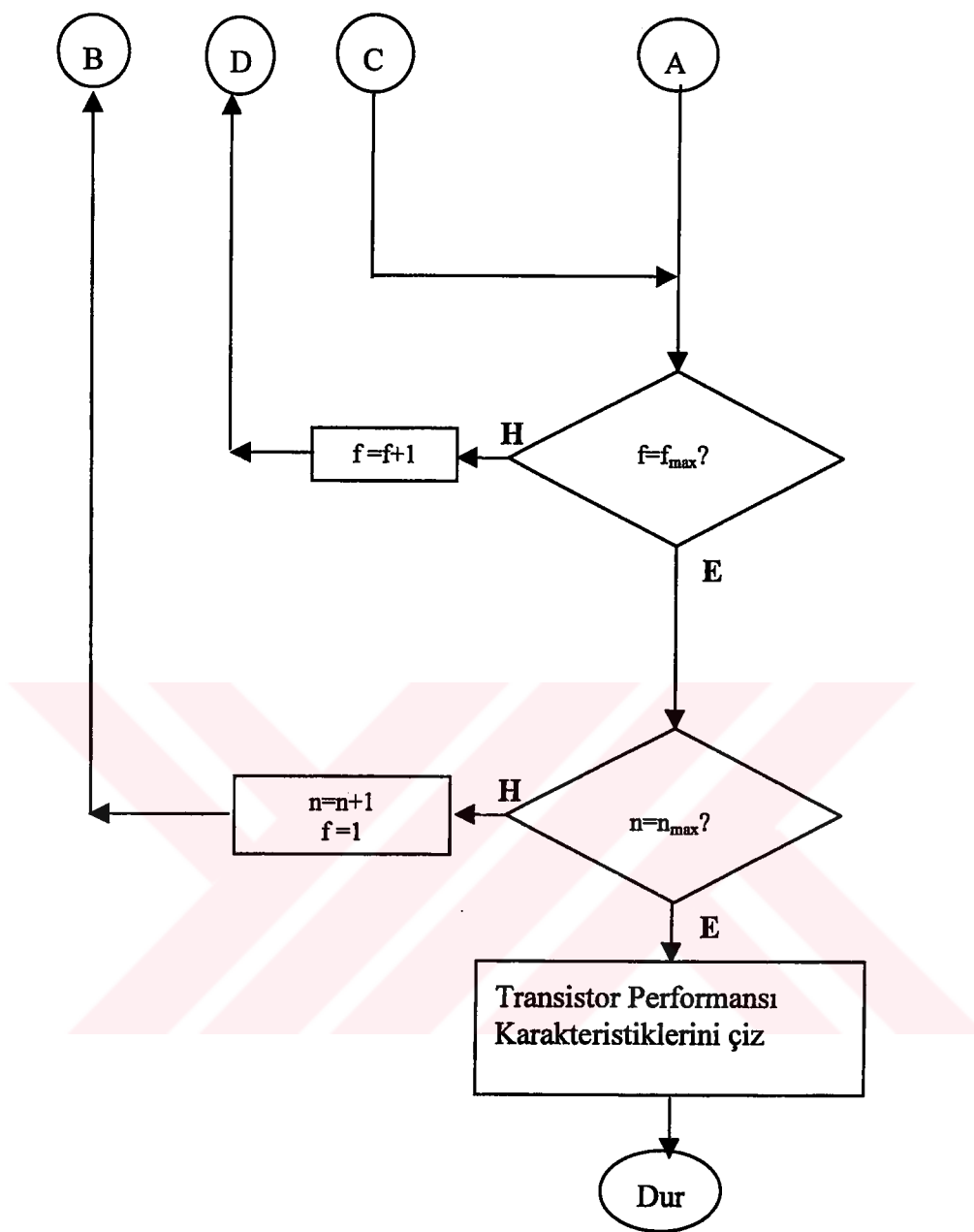


Şekil 5.3 Aktif Elemanın YSA ile Performans Analizini Yapan ve Uydurma Devresi Tasarlayan Sistemin Blok Yapısı

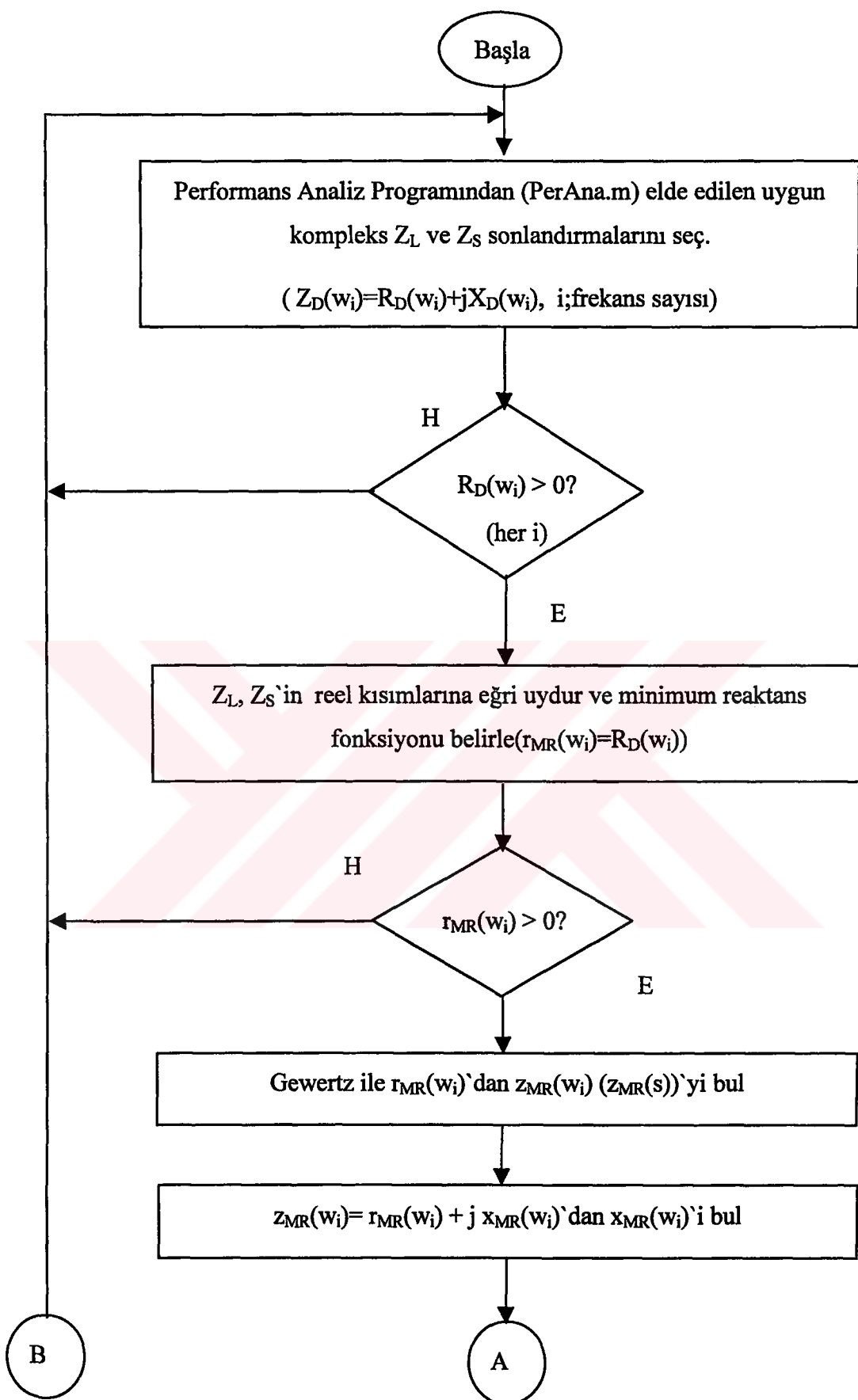


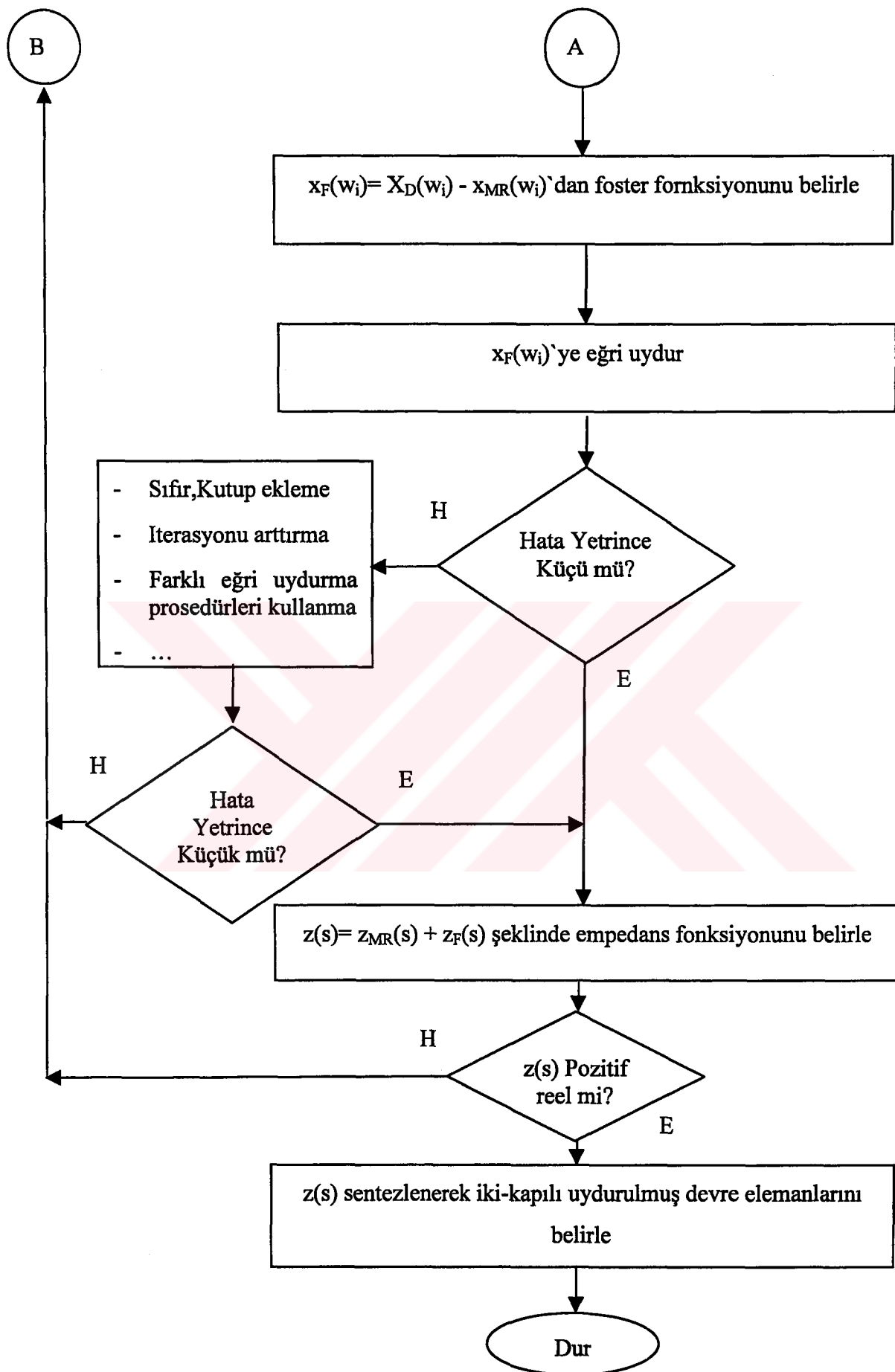
Şekil 5.4 Yapay Sinir Ağı Programı (nnpsn.pas) Akış Diyagramı





Şekil 5.5 Performans Analizi Programı (PerAna.m) Akış Diyagramı





Şekil 5.6 Uydurma Devresi Tasarım Programı Akış Diyagramı

## 5.2 Programlar

### 5.2.1 Yapay Sinir Ağı Programı (nnpsn.pas)

Yapay sinir ağı simülatörü olarak kullanılan Pascal programı (nnpsn.pas) Ek-1'de verilmiştir.

Program kullanılırken aşağıdaki konulara dikkat edilmesi gerekmektedir.

1. Normalizasyon dosyası: norm.dat satır bazında sıra ile kaç frekans bilgisi olduğu (Number\_of\_input\_line), S21'in maksimum değeri (S21max), Fmin'nin maksimum değeri (Fminmax) ve Transistorun ad bilgilerini içeriyor olması gerekmektedir. Eğer bu değerler 1 den küçük ise norm.dat'a 1 yazılır, böylelikle o değer üzerinde normalizasyon yapılmamış olur.
2. Giriş dosyası: input.dat; format: f(GHz) VCE(V) IC(mA) CT değerlerini satır bazlı içeriyor olmalı. Burada konfigürasyon tipi CT=0.1 --> CE (common emitter), CT=0.9 --> CC (common collector) şeklinde olmalıdır.
3. Test giriş dosyası: input\_t.dat; giriş dosyası formatında test verilerini içeriyor olmalı.
4. İstenilen değerler: desired.dat, format: |S11| <S11(R) |S21| <S21(R) |S12| <S12(R) |S22| <S22(R) Fmin(dB) |Gopt| <Gopt(R) Rn/50 şeklindedir ve bu değerler üretici verileri olmaktadır.
5. Yukarıdaki değerler girildikten sonra "nnpsn.exe" çalıştırılır.
6. Çıkış dosyası: output.txt; eğitme verileriyle yapılan test sonucunu ve hatayı içermektedir.
7. Test çıkış dosyası: output\_t.txt; test verileriyle elde edilen sonuçlar içermektedir.

### 5.2.2 Performans Analizi Programı (PerAna.m)

Transistorun performans analizinde kullanılan matlab programı (PerAna.m) Ek-2'de verilmiştir.

Program kullanılırken aşağıdaki konulara dikkat edilmesi gerekmektedir.

1. Her bir transistor için aşağıdaki gibi bir ifade PerAna.m içine yazılması gerekmektedir.

```
fid_r_s=fopen('ne02135c.ins','r');
fid_r_n=fopen('ne02135c.inn','r');
fid_r_p=fopen('ne02135c.inp','r');
```

Buradaki \*.ins dosyası transistorun frekansla birlikte S-parametrelerini satır bazlı içeren bir dosyadır. \*.inn ise frekansla birlikte YSA'dan elde edilen gürültü parametrelilerini satır bazlı içermektedir. \*.inp dosyası istenilen GTreq, Vireq, Freq değerlerini içeren giriş dosyasıdır. \*.inp dosyasında verilen Freq değeri Fmin'den küçük olması durumunda mesaj verilerek sonraki giriş değerine geçilmektedir.

- Transistorun analizine başlayabilmek için programda aşağıdaki parametreler uygun değerlere çekilmelidir.

```
Name_of_transistor='ne02135c(VCE=10V, IC=20mA)'; % transistor adı
N_Num=7; % hesaplamaya giren frekans sayısı
P_Num=14; % *.inp'deki satır sayısı
```

- Programda ihtiyaca göre değiştirilebilecek iki parametre mevcuttu.

```
step_for_sample_on_circle=0.01; % Bölge 3'de hesaplama adımı
switch_for_plot=0; % 1 --> Daireleri çiz, 0 --> Daireleri çizme
```

- Program matlab'den "run perana" şeklinde koşturulduktan sonra üç tane dosya oluşturmaktadır.

out\_int.txt; Gtmax'a karşılık gelen ZLmax, ZSmax ile GTreq'a karşılık gelen ve T1 ile T2 daireleriyle kesişim noktalarındaki ZLreq, ZSreq değerlerini içeren dosya.

out\_oth.txt; Bölge 3'de GTreq'a karşılık gelen ZLreq, ZSreq değerleri içeren dosya.

out\_gra.txt; out\_int.txt'daki bilgilerden GTmax, ZLmax, ZSmax değerleri ve GTreq'a karşılık gelen bazı ZLreq, ZSreq değerlerinin, değişim eğrileri elde edebilmek amacıyla sütun bazında gösterimini içeren dosyadır.

## 6. UYGULAMALAR

### 6.1 Transistor: ne02135c(VCE=10V, IC=20mA)

#### 6.1.1 YSA Sonuçları

##### 6.1.1.1 Transistorun Gürültü ve S-parametrelerini İçeren Üretici Verileri

Aşağıdaki dosya transistorun, üreticiden alınan gürültü ve S-parametrelerini içermektedir.

Ne02135c.s2p:

```

! FILENAME:    NE02135C.S2P VERSION: 1.0
! NEC PART NUMBER: NE02135      DATE:  4/85
! BIAS CONDITIONS: VCE=10V, IC=20mA
# ang in deg          NOISE PARAMETERS (2/81)
#     S11      S21      S12      S22   Fmin.  aopt  RN/50
#GHZ mag. ang.  mag. ang.  mag. ang. mag. ang. (dB)  mag. ang.

Z-----
0.1  0.545 -74  32.448 140  0.002 67  0.763 -38
0.2  0.584 -118  22.507 119  0.006 46  0.549 -53
0.3  0.586 -140  16.328 106  0.013 47  0.395 -66
0.4  0.597 -152  12.754 99   0.019 46  0.324 -70
0.5  0.593 -163  10.200 94   0.020 46  0.270 -80   1.8  0.16  149  0.15
0.6  0.604 -168  8.718 90   0.024 47  0.239 -75
0.7  0.616 -175  7.505 85   0.024 49  0.224 -86
0.8  0.604 -179  6.535 80   0.027 50  0.219 -86
0.9  0.619  176  5.877 77   0.031 49  0.186 -92
1.0  0.602  173  5.276 75   0.040 49  0.217 -89   1.9  0.33  169  0.13
1.2  0.616  165  4.440 68   0.055 51  0.207 -90
1.4  0.603  160  3.729 63   0.066 50  0.203 -91
1.6  0.639  157  3.357 58   0.076 50  0.189 -90   2.4  0.46 -179  0.09
1.8  0.626  151  2.990 52   0.091 49  0.172 -92
2.0  0.616  148  2.718 46   0.108 44  0.161 -110  2.9  0.53 -167  0.08
2.5  0.623  135  2.159 39   0.133 48  0.176 -120  3.2  0.57 -154  0.14
3.0  0.639  123  1.841 29   0.156 43  0.188 -128  3.9  0.62 -139  0.27

```

3.5	0.644	111	1.549	13	0.180	32	0.210	-135	4.3	0.67	-134	0.42
4.0	0.649	102	1.411	6	0.205	32	0.232	-142				
4.5	0.656	93	1.238	1	0.228	26	0.245	-151				
5.0	0.674	85	1.135	-14	0.251	17	0.268	-161				

---



---

Yukarıdaki dosyadan da görülebileceği gibi frekans sabit bir adımla artmaktadır ve bazı frekanslarda gürültü parametreleri verilmemektedir. Bölüm 2'de verilen YSA modeli kullanılarak verilmeyen frekanslardaki S ve gürültü parametreleri elde edilebilir. Aşağıda sonuçları verilen uygulama, YSA'nın üretici tarafından verilen S ve gürültü parametreleriyle eğitilmesi ve gürültü parametreleri verilmemiş frekanslardaki S ve gürültü parametrelerini kestirimine dayanmaktadır. Elde edilen sonuçlar aşağıda verilmiştir.

Test verileri eğitme verileriyle aynı olması durumunda YSA çıktısı (output.txt):

**Input Values:**

Num f(GHz) VCE(V) IC(mA) CT

---

0	0.50	10.00	20.00	0.10
1	1.00	10.00	20.00	0.10
2	1.60	10.00	20.00	0.10
3	2.00	10.00	20.00	0.10
4	2.50	10.00	20.00	0.10
5	3.00	10.00	20.00	0.10
6	3.50	10.00	20.00	0.10

**Calculated Values:**

Num |S11| <S11(D) |S21| <S21(D) |S12| <S12(D) |S22| <S22(D) Fmin(dB) |Gopt| <Gopt(D) Rn/50

---

0	0.59165	-162.55	9.62732	94.7525	0.03004	45.9844	0.27261	-79.687	1.77817	0.15357	148.897	0.15521
1	0.61103	172.498	5.49202	73.0486	0.05447	49.1096	0.21241	-86.078	1.96534	0.33750	167.697	0.11304
2	0.62007	156.334	3.20668	57.8691	0.08081	49.0484	0.18233	-98.334	2.38981	0.46290	-175.99	0.09822
3	0.62412	147.560	2.67159	49.0717	0.09897	47.8553	0.17279	-107.19	2.76895	0.51891	-166.33	0.10206
4	0.62940	136.479	2.21957	37.6315	0.12307	44.8980	0.17363	-117.10	3.35300	0.57405	-155.10	0.13886

5 0.63627 123.090 1.83948 25.4733 0.15377 40.0674 0.18846 -127.35 3.90542 0.62492 -142.64 0.25155

6 0.64351 110.452 1.55541 16.9577 0.18583 35.2489 0.20887 -136.35 4.15310 0.66688 -131.36 0.42810

#### Desired Values:

Num |S11| <S11(D) |S21| <S21(D) |S12| <S12(D) |S22| <S22(D) Fmin(dB) |Gopt| <Gopt(D) Rn/50

---

0 0.59300 -163.00 10.2000 94.0000 0.02000 46.0000 0.27000 -80.000 1.80000 0.16000 149.000 0.15000

1 0.60200 173.000 5.27600 75.0000 0.04000 49.0000 0.21700 -89.000 1.90000 0.33000 169.000 0.13000

2 0.63900 157.000 3.35700 58.0000 0.07600 50.0000 0.18900 -90.000 2.40000 0.46000 -179.00 0.09000

3 0.61600 148.000 2.71800 46.0000 0.10800 44.0000 0.16100 -110.00 2.90000 0.53000 -167.00 0.08000

4 0.62300 135.000 2.15900 39.0000 0.13300 48.0000 0.17600 -120.00 3.20000 0.57000 -154.00 0.14000

5 0.63900 123.000 1.84100 29.0000 0.15600 43.0000 0.18800 -128.00 3.90000 0.62000 -139.00 0.27000

6 0.64400 111.000 1.54900 13.0000 0.18000 32.0000 0.21000 -135.00 4.30000 0.67000 -134.00 0.42000

iteration= 50000 nu = 0.011318 error\_learning= 0.000512 error\_test= 0.000504

Burada error\_learning eğitim hatası, error\_test ise test hatası olmaktadır. Bu hatalarla elde edilen YSA aşağıdaki durumdaki gibi farklı test verileriyle test edilirse yine aşağıda verilecek sonuçlar elde edilir.

Test verilerin eğitme verilerinden farklı olması durumunda YSA çıktısı (output\_t.txt):

#### Input Values:

Num f(GHz) VCE(V) IC(mA) CT

---

0 0.60 10.00 20.00 0.10

1 0.70 10.00 20.00 0.10

2 0.80 10.00 20.00 0.10

3 0.90 10.00 20.00 0.10

4 1.20 10.00 20.00 0.10

5 1.40 10.00 20.00 0.10

6 1.80 10.00 20.00 0.10

#### Calculated Values:

Num |S11| <S11(D) |S21| <S21(D) |S12| <S12(D) |S22| <S22(D) Fmin(dB) |Gopt| <Gopt(D) Rn/50

---

```

0 0.59577 -167.61 9.22333 90.1744 0.03392 46.6852 0.25942 -80.654 1.80471 0.18381 152.521 0.14546
1 0.60021 -173.15 8.52093 85.3184 0.03871 47.4412 0.24554 -81.789 1.83638 0.22158 156.535 0.13546
2 0.60446 -178.57 7.52741 80.6728 0.04402 48.1467 0.23253 -83.077 1.87347 0.26293 160.568 0.12637
3 0.60811 176.588 6.44059 76.5605 0.04939 48.7148 0.22141 -84.507 1.91634 0.30273 164.325 0.11887
4 0.61509 166.130 4.25937 67.3415 0.06356 49.4394 0.19930 -89.670 2.08280 0.39054 173.539 0.10524
5 0.61783 161.016 3.61069 62.4670 0.07208 49.3627 0.18985 -93.827 2.22562 0.42973 178.848 0.10061
6 0.62214 151.865 2.90893 53.4241 0.08984 48.5511 0.17655 -102.87 2.57103 0.49256 -171.02 0.09837

```

Yukarıdaki veriler içinde S-parametreleri, üretici tarafından verilen orijinal değerlerle karşılaştırıldığında belli bir hata ile değerlerin doğru olarak bulunduğu görülecektir. Aynı şekilde gürültü parametrelerin de aykırı değerler olmadığı görülmektedir. Hata seviyesini düşürmek için daha çok eğitme verileri bulunmalı veya YSA'nın eğitme parametreleriyle oynamalı. Bizim durumumuzda bu hata seviyesi kabul edilebilir olmaktadır.

#### **6.1.1.2 Transistorun Gürültü ve S-parametrelerini İçeren YSA Verileri**

Daha önce belirtildiği gibi, şu andaki uygulama YSA'nın üretici tarafından verilen S ve gürültü parametreleriyle eğitilmesi ve gürültü parametreleri verilmemiş frekanslardaki S ve gürültü parametrelerini kestirimine dayanmaktadır. Aslında bu frekanslarda S-parametreleri üretici tarafından zaten verilmiş olduğundan, YSA'dan elde edilen ve belli bir hatayı içeren veriler yerine üretici verileri kullanılmıştır. Dolayısıyla bu özel durumda, YSA temelde gürültü parametrelerini kestirmek için kullanılmıştır. Bu durumda YSA tarafından yeni belirlenen gürültü parametreleri ile üretici tarafından verilen S-parametreleri birleştirilirse transistora ilişkin yeni S-parametreleri ve gürültü parametreleri dosyası aşağıdaki şekilde elde edilir.

Ne02135c.sn:

---

```

! FILENAME: NE02135C.S2P VERSION: 1.0
! NEC PART NUMBER: NE02135 DATE: 4/85
! BIAS CONDITIONS: VCE=10V, IC=20mA
# ang in deg           NOISE PARAMETERS (2/81)
#   S11     S21     S12     S22   Fmin.  âopt  RN/50
#GHZ mag. ang.  mag. ang.  mag. ang. mag. ang. (dB)  mag. ang.
Z-----
0.1 0.545 -74 32.448 140 0.002 67 0.763 -38
0.2 0.584 -118 22.507 119 0.006 46 0.549 -53

```

0.3	0.586	-140	16.328	106	0.013	47	0.395	-66
0.4	0.597	-152	12.754	99	0.019	46	0.324	-70
0.5	0.593	-163	10.200	94	0.020	46	0.270	-80
0.6	0.604	-168	8.718	90	0.024	47	0.239	-75
0.7	0.616	-175	7.505	85	0.024	49	0.224	-86
0.8	0.604	-179	6.535	80	0.027	50	0.219	-86
0.9	0.619	176	5.877	77	0.031	49	0.186	-92
1.0	0.602	173	5.276	75	0.040	49	0.217	-89
1.2	0.616	165	4.440	68	0.055	51	0.207	-90
1.4	0.603	160	3.729	63	0.066	50	0.203	-91
1.6	0.639	157	3.357	58	0.076	50	0.189	-90
1.8	0.626	151	2.990	52	0.091	49	0.172	-92
2.0	0.616	148	2.718	46	0.108	44	0.161	-110
2.5	0.623	135	2.159	39	0.133	48	0.176	-120
3.0	0.639	123	1.841	29	0.156	43	0.188	-128
3.5	0.644	111	1.549	13	0.180	32	0.210	-135
4.0	0.649	102	1.411	6	0.205	32	0.232	-142
4.5	0.656	93	1.238	1	0.228	26	0.245	-151
5.0	0.674	85	1.135	-14	0.251	17	0.268	-161

---

### 6.1.2 Performans Analizi Sonuçları

Yukarıda belirlene YSA'dan elde edilen transistorun S-parametreleri ve gürültü parametreleri dosyası da göz önüne alınmak üzere, performans analiz programına aşağıdaki giriş dosyasının verilmesi durumunda yine aşağıda belirtilen sonuçlar alınacaktır.

#### 6.1.2.1 Giriş Dosyası (ne02135c.inp):

G<sub>Treq</sub> V<sub>ireq</sub> F<sub>req</sub>

5.0 1.5 4.5

#### 6.1.2.2 Daire Kesişimlerini İçeren Çıktı (out\_int.txt):

---

Transistor: ne02135c(VCE=10V, IC=20mA) from Neural Network

Detailed information, Terminations for GTmax and all of intersection points on T1/T2 for GTreq:

\*\*\* 1. Given Values:

Required GT(dB) value: 5.000000

Required Vi value: 1.500000

Required F(dB) value: 4.500000

Circuit Definition:

f(Hz): 500000000.000000

S11 Module and Angle(Rad): 0.593000 -2.844887

S21 Module and Angle(Rad): 10.200000 1.640609

S12 Module and Angle(Rad): 0.020000 0.802851

S22 Module and Angle(Rad): 0.270000 -1.396263

Fmin 1.513561, GamaOpt Module and Angle(Rad) 0.160000 2.600541, Rn 0.150000

Z11 Real and Imaginer parts: 0.187926 -0.002324

Z21 Real and Imaginer parts: 2.483199 11.990902

Z12 Real and Imaginer parts: 0.020731 0.012114

Z22 Real and Imaginer parts: 0.867459 -0.308711

Freq,Fmin,Ropt,Xopt,Rn,Rmod,N,Rcn,Xcn,rn,Rct1,Xct1,rt1,Rct2,Xct2,rt2: 2.818383 1.513561 0.749600  
0.126789 0.150000 0.447214 2.513849 3.263449 0.126789 3.176193 8.446265 -0.126789 8.412936 1.344082 -  
0.126789 1.115642

Unconditional stability: R11>0 & R22>0 & ita>1

R11,R22,ita = 0.187926,0.867459,1.427868

GTDBreq, T1 and T2 circles:

RCGreq= 0.240667, XCGreq= -0.162942, rgreq= 0.167589

Rct1= 8.446265, Xct1= -0.126789, rt1= 8.412936

Rct2= 1.344082, Xct2= -0.126789, rt2= 1.115642

1. Intersection point on T1; RintT1= NaN: XintT1= NaN

2. Intersection point on T1; RintT1= NaN: XintT1= NaN

ZireqT11 Value: real and imaginer part = NaN NaN

ZireqT12 Value: real and imaginer part = NaN NaN

1. Intersection point on T2; RintT2= 0.236203: XintT2= 0.004588

2. Intersection point on T2; RintT2= 0.247178: XintT2= -0.330404

ZireqT21 Value: real and imaginer part = 11.810129 0.229378

ZireqT22 Value: real and imaginer part = 12.358916 -16.520184

GTreq cuts only T2

ZCGmax(0.172727 -0.162942),Zct1(8.446265 -0.126789), Zct2(1.344082 -0.126789)

rt1 8.412936, rt2 1.115642  
 (abs(ZCGmax-Zct1) < rt1) & (rt2 < abs(ZCGmax-Zct2)): ZCGmax in Region-3  
 Zi Value: real and imaginer part = 8.636330 -8.147080  
 ZL Value: real and imaginer part = 39.864893 52.505761  
 Zs1 Value: real and imaginer part = 4.494323 12.800920  
 Zs2 Value: real and imaginer part = 4.384786 3.698168  
 GTMAX Value (dB) = 24.946712  
 GTMIN Value (dB) = 0.000000

T2 Intersection:

Zireq1 Value: real and imaginer part = 11.810129 0.229378  
 Zireq2 Value: real and imaginer part = 12.358916 -16.520184  
 ZLreq1 Value: real and imaginer part = 11.315847 -281.002463  
 ZLreq2 Value: real and imaginer part = 0.253392 21.848611  
 ZSreq11 Value: real and imaginer part = 4.524513 -0.825067  
 ZSreq12 Value: real and imaginer part = 4.524510 -0.825067  
 ZSreq21 Value: real and imaginer part = 4.754790 17.490405  
 ZSreq22 Value: real and imaginer part = 4.754790 17.490405

Circuit Definition:

f(Hz): 600000000.000000

---

Bu sonuçlar her frekans için bu şekilde verilmektedir. Bu bilgilerin özetini aşağıda verilmiş olduğundan burada verilmeyecektir.

---



---

### **6.1.2.3 Bölge-3'de Elde Edilen Çözümleri İçeren Çıktı (out\_oth.txt):**

---



---

Transistor: ne02135c(VCE=10V, IC=20mA) from Neural Network

Terminations that give GTreq in Region-3:

\*\*\* 1. Given Values:

Required GT(dB) value: 5.000000

Required Vi value: 1.500000

Required F(dB) value: 4.500000

f(Hz): 500000000.000000

Calculation of many other points of Zi in Region-3; GTreq cuts only T2

Zreq1 Value: real and imaginer part = 11.303269 0.200487

Zreq2 Value: real and imaginer part = 11.851252 -16.524533

ZLreq1 Value: real and imaginer part = 17.232973 -359.948409

ZLreq2 Value: real and imaginer part = 0.245285 23.197894

ZSreq11 Value: real and imaginer part = 4.639848 -3.036728

ZSreq12 Value: real and imaginer part = 4.435814 1.524986

ZSreq21 Value: real and imaginer part = 4.932436 19.778073

ZSreq22 Value: real and imaginer part = 4.604278 15.093510

Sunuclar bu şekilde verilmektedir. Yer kaplaması nedeniyle ara bölge kesilmiştir.

Zreq29 Value: real and imaginer part = 3.922711 -6.041684

Zreq30 Value: real and imaginer part = 4.077921 -10.778869

ZLreq1 Value: real and imaginer part = 0.343434 95.383893

ZLreq2 Value: real and imaginer part = 0.163632 59.138632

ZSreq11 Value: real and imaginer part = 4.424719 1.905879

ZSreq12 Value: real and imaginer part = 4.409070 10.171933

ZSreq21 Value: real and imaginer part = 4.603512 15.079626

ZSreq22 Value: real and imaginer part = 4.362988 6.570466

f(Hz): 600000000.000000

Calculation of many other points of Zi in Region-3; GTreq cuts only T2

Zreq1 Value: real and imaginer part = 10.874021 2.411289

Zreq2 Value: real and imaginer part = 10.766863 -13.998788

ZLreq1 Value: real and imaginer part = 14.683831 -289.894010

ZLreq2 Value: real and imaginer part = 0.347628 24.665124

ZSreq11 Value: real and imaginer part = 4.517697 -5.364705

ZSreq12 Value: real and imaginer part = 4.248819 -0.891931

ZSreq21 Value: real and imaginer part = 4.460808 16.873256

ZSreq22 Value: real and imaginer part = 4.215873 12.425178

---

Sunuçlar bu şekilde verilmektedir. Yer kaplaması nedeniyle ara bölge kesilmiştir.

---

Zreq27 Value: real and imaginer part = 3.768701 -3.321330

Zreq28 Value: real and imaginer part = 3.737014 -8.173866

ZLreq1 Value: real and imaginer part = 0.639667 111.512640

ZLreq2 Value: real and imaginer part = 0.251967 63.809163

ZSreq11 Value: real and imaginer part = 4.237869 -0.647441

ZSreq12 Value: real and imaginer part = 4.092250 7.235124

ZSreq21 Value: real and imaginer part = 4.203378 12.109674

ZSreq22 Value: real and imaginer part = 4.099770 4.276520

f(Hz): 700000000.000000

Calculation of many other points of Zi in Region-3; GTreq cuts only T2

Zreq1 Value: real and imaginer part = 10.437313 3.850967

Zreq2 Value: real and imaginer part = 9.576921 -9.727156

ZLreq1 Value: real and imaginer part = 18.569275 -273.027554

ZLreq2 Value: real and imaginer part = 0.422727 28.045676

ZSreq11 Value: real and imaginer part = 4.401286 -6.933821

ZSreq12 Value: real and imaginer part = 4.060720 -2.538688

ZSreq21 Value: real and imaginer part = 3.929118 12.121140

ZSreq22 Value: real and imaginer part = 3.809443 7.933020

---

Sunuçlar bu şekilde verilmektedir. Yer kaplaması nedeniyle ara bölge kesilmiştir.

---

Zreq21 Value: real and imaginer part = 4.663372 -1.107159

Zreq22 Value: real and imaginer part = 4.475003 -4.079870

ZLreq1 Value: real and imaginer part = 1.040759 105.949700

ZLreq2 Value: real and imaginer part = 0.480272 69.484984

ZSreq11 Value: real and imaginer part = 4.105203 -3.232488

ZSreq12 Value: real and imaginer part = 3.799012 5.226514

ZSreq21 Value: real and imaginer part = 3.930947 -0.078856

ZSreq22 Value: real and imaginer part = 3.812658 8.156996

f(Hz): 800000000.000000

Calculation of many other points of Zi in Region-3; GTreq cuts only T2

Zireq1 Value: real and imaginer part = 10.081365 5.302059

Zireq2 Value: real and imaginer part = 8.768130 -7.422707

ZLreq1 Value: real and imaginer part = 71.518238 -488.483317

ZLreq2 Value: real and imaginer part = 0.557472 32.761200

ZSreq11 Value: real and imaginer part = 4.320845 -8.523303

ZSreq12 Value: real and imaginer part = 3.906035 -4.186952

ZSreq21 Value: real and imaginer part = 3.589532 9.580391

ZSreq22 Value: real and imaginer part = 3.525364 5.572234

---

Sunuçlar bu şekilde verilmektedir. Yer kaplaması nedeniyle ara bölge kesilmiştir.

---

Zireq17 Value: real and imaginer part = 5.028551 -0.199243

Zireq18 Value: real and imaginer part = 4.945351 -1.005416

ZLreq1 Value: real and imaginer part = 1.163111 93.156706

ZLreq2 Value: real and imaginer part = 0.931171 82.802971

ZSreq11 Value: real and imaginer part = 3.897813 -4.081152

ZSreq12 Value: real and imaginer part = 3.533537 4.140499

ZSreq21 Value: real and imaginer part = 3.833117 -3.203984

ZSreq22 Value: real and imaginer part = 3.526988 4.933576

f(Hz): 900000000.000000

Calculation of many other points of Zi in Region-3; GTreq cuts only T2

Zireq1 Value: real and imaginer part = 9.980402 7.470155

Zireq2 Value: real and imaginer part = 8.025518 -5.098120

ZLreq1 Value: real and imaginer part = 35.962474 -303.306602

ZLreq2 Value: real and imaginer part = 0.682865 32.624625

ZSreq11 Value: real and imaginer part = 4.374470 -10.967654

ZSreq12 Value: real and imaginer part = 3.844066 -6.627122

ZSreq21 Value: real and imaginer part = 3.277045 7.035124

ZSreq22 Value: real and imaginer part = 3.268552 3.199936

---

Sunuçlar bu şekilde verilmektedir. Yer kaplaması nedeniyle ara bölge kesilmiştir.

---

Zireq15 Value: real and imaginer part = 5.459698 4.091406

Zireq16 Value: real and imaginer part = 4.744627 -0.505902  
 ZLreq1 Value: real and imaginer part = 4.285836 150.831008  
 ZLreq2 Value: real and imaginer part = 0.867174 66.379289  
 ZSreq11 Value: real and imaginer part = 4.062643 -8.589077  
 ZSreq12 Value: real and imaginer part = 3.376488 -0.337096  
 ZSreq21 Value: real and imaginer part = 3.562271 -3.431570  
 ZSreq22 Value: real and imaginer part = 3.258517 4.146221

f(Hz): 1000000000.000000

Calculation of many other points of Zi in Region-3; GTreq cuts only T2

Zireq1 Value: real and imaginer part = 12.371589 9.810759  
 Zireq2 Value: real and imaginer part = 9.194783 -5.778818  
 ZLreq1 Value: real and imaginer part = 15.257959 -151.099397  
 ZLreq2 Value: real and imaginer part = 0.859162 28.545905  
 ZSreq11 Value: real and imaginer part = 5.676070 -14.849809  
 ZSreq12 Value: real and imaginer part = 4.725530 -9.820321  
 ZSreq21 Value: real and imaginer part = 3.794205 8.170606  
 ZSreq22 Value: real and imaginer part = 3.672353 3.970712

---

Sunuclar bu şekilde verilmektedir. Yer kaplaması nedeniyle ara bölge kesilmiştir.

---

Zireq23 Value: real and imaginer part = 4.887559 5.730953  
 Zireq24 Value: real and imaginer part = 3.903978 0.904214  
 ZLreq1 Value: real and imaginer part = 4.352876 146.790592  
 ZLreq2 Value: real and imaginer part = 0.932787 71.044350  
 ZSreq11 Value: real and imaginer part = 4.852754 -10.600954  
 ZSreq12 Value: real and imaginer part = 3.824707 -1.540031  
 ZSreq21 Value: real and imaginer part = 4.091842 -4.896602  
 ZSreq22 Value: real and imaginer part = 3.674404 2.876274

f(Hz): 1200000000.000000

Calculation of many other points of Zi in Region-3; GTreq cuts only T2

Zireq1 Value: real and imaginer part = 12.709923 14.027418  
 Zireq2 Value: real and imaginer part = 7.344079 -2.953741  
 ZLreq1 Value: real and imaginer part = 14.668979 -118.439079

ZLreq2 Value: real and imaginer part = 1.095279 31.841172  
 ZSreq11 Value: real and imaginer part = 6.217754 -20.100220  
 ZSreq12 Value: real and imaginer part = 4.883114 -14.924675  
 ZSreq21 Value: real and imaginer part = 3.035525 4.884931  
 ZSreq22 Value: real and imaginer part = 3.001018 1.171176

---

Sunuçlar bu şekilde verilmektedir. Yer kaplaması nedeniyle ara bölge kesilmiştir.

---

Zireq23 Value: real and imaginer part = 4.536345 10.775331  
 Zireq24 Value: real and imaginer part = 2.523217 4.404434  
 ZLreq1 Value: real and imaginer part = 14.962889 232.084551  
 ZLreq2 Value: real and imaginer part = 1.011825 75.775368  
 ZSreq11 Value: real and imaginer part = 5.018330 -15.522180  
 ZSreq12 Value: real and imaginer part = 3.527682 -6.904236  
 ZSreq21 Value: real and imaginer part = 3.564785 -7.216882  
 ZSreq22 Value: real and imaginer part = 3.092027 -1.669784

f(Hz): 1400000000.000000

Calculation of many other points of Zi in Region-3; GTreq cuts only T2

Zireq1 Value: real and imaginer part = 14.752215 15.830893  
 Zireq2 Value: real and imaginer part = 7.623846 -0.744264  
 ZLreq1 Value: real and imaginer part = 16.968820 -95.618401  
 ZLreq2 Value: real and imaginer part = 1.640132 31.753639  
 ZSreq11 Value: real and imaginer part = 7.856092 -24.097588  
 ZSreq12 Value: real and imaginer part = 5.810177 -18.229419  
 ZSreq21 Value: real and imaginer part = 3.141540 2.708837  
 ZSreq22 Value: real and imaginer part = 3.120917 -1.131108

---

Sunuçlar bu şekilde verilmektedir. Yer kaplaması nedeniyle ara bölge kesilmiştir.

---

Zireq25 Value: real and imaginer part = 5.011189 12.948106  
 Zireq26 Value: real and imaginer part = 3.016229 8.309350  
 ZLreq1 Value: real and imaginer part = 19.993974 215.431475  
 ZLreq2 Value: real and imaginer part = 2.305604 90.632452  
 ZSreq11 Value: real and imaginer part = 5.828249 -18.290284

ZSreq12 Value: real and imaginer part = 3.754369 -8.796689

ZSreq21 Value: real and imaginer part = 4.227221 -11.668482

ZSreq22 Value: real and imaginer part = 3.340345 -5.151788

f(Hz): 1600000000.000000

Calculation of many other points of Zi in Region-3; GTreq cuts only T2

Zireq1 Value: real and imaginer part = 15.678713 16.109208

Zireq2 Value: real and imaginer part = 7.206414 0.569972

ZLreq1 Value: real and imaginer part = 13.702855 -67.608921

ZLreq2 Value: real and imaginer part = 1.960085 28.100672

ZSreq11 Value: real and imaginer part = 9.142268 -26.139855

ZSreq12 Value: real and imaginer part = 6.386978 -19.824483

ZSreq21 Value: real and imaginer part = 2.982281 -2.480012

ZSreq22 Value: real and imaginer part = 2.967384 1.277952

**Zireq3 Value: real and imaginer part = 15.223037 16.406254 (Uydurma Devresi İçin Seçildi)**

Zireq4 Value: real and imaginer part = 6.709884 0.792087

ZLreq1 Value: real and imaginer part = 14.806137 -73.103320

ZLreq2 Value: real and imaginer part = 1.878069 29.775767

**ZSreq11 Value: real and imaginer part = 9.741052 -27.279903**

ZSreq12 Value: real and imaginer part = 5.957600 -18.607263

ZSreq21 Value: real and imaginer part = 3.022805 -3.378226

ZSreq22 Value: real and imaginer part = 2.980402 1.675525

Zireq5 Value: real and imaginer part = 14.738918 16.680798

Zireq6 Value: real and imaginer part = 6.216861 1.050301

ZLreq1 Value: real and imaginer part = 16.125423 -79.381602

ZLreq2 Value: real and imaginer part = 1.796117 31.542390

**ZSreq11 Value: real and imaginer part = 10.142307 -28.010308**

ZSreq12 Value: real and imaginer part = 5.662197 -17.714135

ZSreq21 Value: real and imaginer part = 3.063594 -4.067394

ZSreq22 Value: real and imaginer part = 2.984970 1.797860

Sunuclar bu şekilde verilmektedir. Yer kaplaması nedeniyle ara bölge kesilmiştir.

Zreq31 Value: real and imaginer part = 3.987355 14.773027

Zreq32 Value: real and imaginer part = 1.996293 11.121174

ZLreq1 Value: real and imaginer part = 24.677405 238.015757  
 ZLreq2 Value: real and imaginer part = 2.638114 106.933499  
 ZSreq11 Value: real and imaginer part = 6.172289 -19.226922  
 ZSreq12 Value: real and imaginer part = 3.914907 -10.822727  
 ZSreq21 Value: real and imaginer part = 4.344769 -12.898275  
 ZSreq22 Value: real and imaginer part = 3.599375 -8.972795

f(Hz): 1800000000.000000

Calculation of many other points of Zi in Region-3; GTreq cuts only T2

Zireq1 Value: real and imaginer part = 17.365485 18.671711  
 Zireq2 Value: real and imaginer part = 7.051181 2.985286  
 ZLreq1 Value: real and imaginer part = 16.931284 -62.942039  
 ZLreq2 Value: real and imaginer part = 2.544557 28.497602  
 ZSreq11 Value: real and imaginer part = 11.535824 -31.569006  
 ZSreq12 Value: real and imaginer part = 7.536243 -24.524618  
 ZSreq21 Value: real and imaginer part = 2.941634 -1.022221  
 ZSreq22 Value: real and imaginer part = 2.898470 -4.772079

---

Sunuçlar bu şekilde verilmektedir. Yer kaplaması nedeniyle ara bölge kesilmiştir.

---

Zireq31 Value: real and imaginer part = 4.860741 18.484076  
 Zireq32 Value: real and imaginer part = 2.267693 14.540461  
 ZLreq1 Value: real and imaginer part = 62.474190 302.225720  
 ZLreq2 Value: real and imaginer part = 4.389543 115.361267  
 ZSreq11 Value: real and imaginer part = 7.259334 -23.918457  
 ZSreq12 Value: real and imaginer part = 4.033184 -14.134431  
 ZSreq21 Value: real and imaginer part = 4.674564 -16.733051  
 ZSreq22 Value: real and imaginer part = 3.617649 -12.014330

f(Hz): 2000000000.000000

Calculation of many other points of Zi in Region-3; GTreq cuts only T2

**Zireq1 Value: real and imaginer part = 19.823313 18.511094 (Uydurma Devresi İçin Seçildi)**  
 Zireq2 Value: real and imaginer part = 6.881212 3.774315  
**ZLreq1 Value: real and imaginer part = 19.093266 -53.228242**  
 ZLreq2 Value: real and imaginer part = 2.822163 23.548676

ZSreq11 Value: real and imaginer part = 17.417389 -36.936128  
 ZSreq12 Value: real and imaginer part = 10.075717 -28.744297  
 ZSreq21 Value: real and imaginer part = 2.943717 -1.594298  
 ZSreq22 Value: real and imaginer part = 2.792628 -5.355500  
 Zreq3 Value: real and imaginer part = 19.444328 18.996514  
 Zreq4 Value: real and imaginer part = 6.350915 4.087442  
 ZLreq1 Value: real and imaginer part = 20.382765 -56.951030  
 ZLreq2 Value: real and imaginer part = 2.679295 25.173342  
 ZSreq11 Value: real and imaginer part = 18.943774 -38.182405  
 ZSreq12 Value: real and imaginer part = 8.965654 -27.029478  
 ZSreq21 Value: real and imaginer part = 2.962642 -1.379104  
 ZSreq22 Value: real and imaginer part = 2.810511 -6.392840

---

Sunuçlar bu şekilde verilmektedir. Yer kaplaması nedeniyle ara bölge kesilmiştir.

Zreq31 Value: real and imaginer part = 7.380471 21.633623  
 Zreq32 Value: real and imaginer part = 2.178014 15.709743  
 ZLreq1 Value: real and imaginer part = 335.263331 384.851102  
 ZLreq2 Value: real and imaginer part = 3.724368 91.941990  
 ZSreq11 Value: real and imaginer part = 10.881107 -29.883062  
 ZSreq12 Value: real and imaginer part = 4.427859 -16.738547  
 ZSreq21 Value: real and imaginer part = 4.708681 -17.672216  
 ZSreq22 Value: real and imaginer part = 3.592149 -13.296452

f(Hz): 250000000.000000

Calculation of many other points of Zi in Region-3; GTreq cuts only T2

Zreq1 Value: real and imaginer part = 20.464231 15.910782 (Uydurma Devresi İçin Seçildi)

Zreq2 Value: real and imaginer part = 8.845541 9.419066

ZLreq1 Value: real and imaginer part = 14.612598 -12.716895

ZLreq2 Value: real and imaginer part = 5.606092 22.931710

ZSreq11 Value: real and imaginer part = 41.901520 -35.858840

ZSreq12 Value: real and imaginer part = 17.235650 -34.411879

ZSreq21 Value: real and imaginer part = 3.864128 -6.358702

ZSreq22 Value: real and imaginer part = 3.534482 -11.167511

Zreq3 Value: real and imaginer part = 20.585663 16.464484

Zireq4 Value: real and imaginer part = 8.310352 9.605894  
 ZLreq1 Value: real and imaginer part = 15.188629 -14.305379  
 ZLreq2 Value: real and imaginer part = 5.386706 24.407556  
 ZSreq11 Value: real and imaginer part = 46.664783 -33.212766  
 ZSreq12 Value: real and imaginer part = 14.375891 -32.507426  
 ZSreq21 Value: real and imaginer part = 3.937047 -5.919101  
 ZSreq22 Value: real and imaginer part = 3.581418 -12.326194

---

Sunuçlar bu şekilde verilmektedir. Yer kaplaması nedeniyle ara bölge kesilmiştir.

---

Zireq43 Value: real and imaginer part = 9.728759 27.104552  
 Zireq44 Value: real and imaginer part = 4.940187 24.429031  
 ZLreq1 Value: real and imaginer part = 290.598385 -114.500173  
 ZLreq2 Value: real and imaginer part = 46.347621 172.804562  
 ZSreq11 Value: real and imaginer part = 20.699981 -36.105518  
 ZSreq12 Value: real and imaginer part = 5.571101 -21.028880  
 ZSreq21 Value: real and imaginer part = 10.546537 -28.975536  
 ZSreq22 Value: real and imaginer part = 4.987046 -19.465691

f(Hz): 3000000000.000000

Calculation of many other points of Zi in Region-3; GTreq cuts only T1

Zireq1 Value: real and imaginer part = 4.054197 29.244129  
**Zireq2 Value: real and imaginer part = 2.664493 21.833889 (Uydurma Devresi İçin Seçildi)**  
 ZLreq1 Value: real and imaginer part = 21.798685 112.494899  
**ZLreq2 Value: real and imaginer part = 4.012863 50.960668**  
 ZSreq11 Value: real and imaginer part = 10.606151 -28.977043  
 ZSreq12 Value: real and imaginer part = 7.046540 -24.815366  
**ZSreq21 Value: real and imaginer part = 6.413319 -23.575885**  
 ZSreq22 Value: real and imaginer part = 5.194411 -19.106255  
 Zireq3 Value: real and imaginer part = 4.836531 30.138633  
 Zireq4 Value: real and imaginer part = 3.069558 20.716703  
 ZLreq1 Value: real and imaginer part = 35.450493 130.093150  
 ZLreq2 Value: real and imaginer part = 4.124636 45.914834  
 ZSreq11 Value: real and imaginer part = 12.657913 -30.354006  
 ZSreq12 Value: real and imaginer part = 7.002089 -24.737135

ZSreq21 Value: real and imaginer part = 6.433563 -23.620436

ZSreq22 Value: real and imaginer part = 5.111028 -17.322443

---

Sunuçlar bu şekilde verilmektedir. Yer kaplaması nedeniyle ara bölge kesilmiştir.

---

Zireq65 Value: real and imaginer part = 19.228489 24.033982

Zireq66 Value: real and imaginer part = 18.695481 21.191850

ZLreq1 Value: real and imaginer part = 26.118696 -16.880399

ZLreq2 Value: real and imaginer part = 20.331545 -8.127872

ZSreq11 Value: real and imaginer part = 23.238534 -3.279189

ZSreq12 Value: real and imaginer part = 7.386817 -25.380134

ZSreq21 Value: real and imaginer part = 17.737489 -3.006880

ZSreq22 Value: real and imaginer part = 7.651519 -25.783118

f(Hz): 3500000000.000000

Calculation of many other points of Zi in Region-3; GTreq cuts T1 and T2

Zireq1 Value: real and imaginer part = 10.602556 37.612174

**Zireq2 Value: real and imaginer part = 4.045318 26.861353 (Uydurma Devresi İçin Seçildi)**

ZLreq1 Value: real and imaginer part = 86.844260 73.189873

**ZLreq2 Value: real and imaginer part = 5.385347 33.694811**

ZSreq11 Value: real and imaginer part = 16.435618 -25.770091

ZSreq12 Value: real and imaginer part = 11.824104 -26.482325

**ZSreq21 Value: real and imaginer part = 10.514578 -26.034618**

ZSreq22 Value: real and imaginer part = 7.244273 -22.494194

Zireq3 Value: real and imaginer part = 11.202612 37.487154

Zireq4 Value: real and imaginer part = 4.431126 26.385066

ZLreq1 Value: real and imaginer part = 92.986362 64.061005

ZLreq2 Value: real and imaginer part = 5.753853 31.979499

ZSreq11 Value: real and imaginer part = 17.511741 -24.982270

ZSreq12 Value: real and imaginer part = 11.172945 -26.299425

ZSreq21 Value: real and imaginer part = 11.600654 -26.427916

ZSreq22 Value: real and imaginer part = 6.949247 -21.440164

---

Sunuçlar bu şekilde verilmektedir. Yer kaplaması nedeniyle ara bölge kesilmiştir.

---

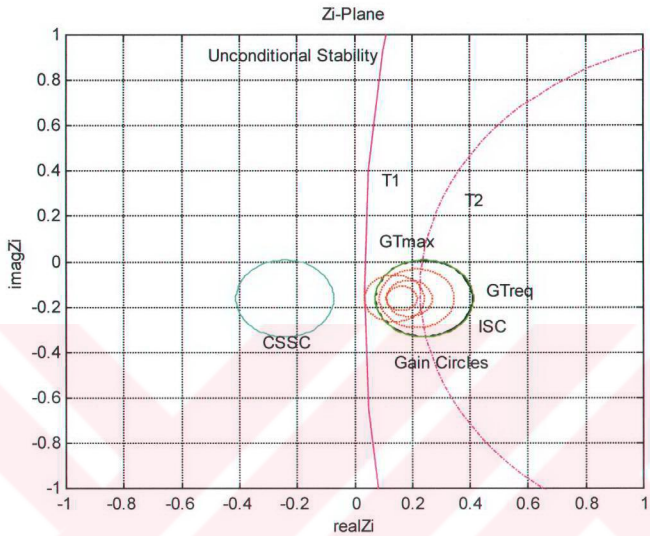
Zireq17 Value: real and imaginer part = 14.402578 35.629264  
Zireq18 Value: real and imaginer part = 7.547640 24.390352  
ZLreq1 Value: real and imaginer part = 83.737559 8.869630  
ZLreq2 Value: real and imaginer part = 9.097470 22.472382  
ZSreq11 Value: real and imaginer part = 19.579485 -19.654449  
ZSreq12 Value: real and imaginer part = 9.275188 -25.270862  
ZSreq21 Value: real and imaginer part = 19.387990 -21.912515  
ZSreq22 Value: real and imaginer part = 7.947256 -16.655797

---

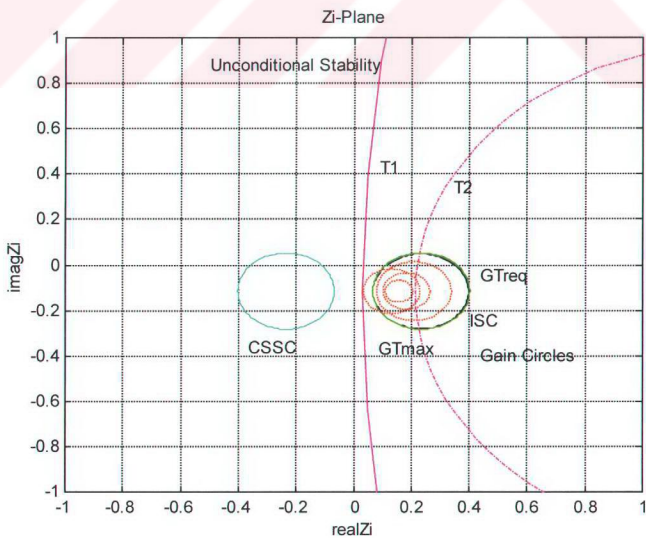
#### 6.1.2.4 Elde Edilen Daireler

$f=0.5\text{GHz}$ :

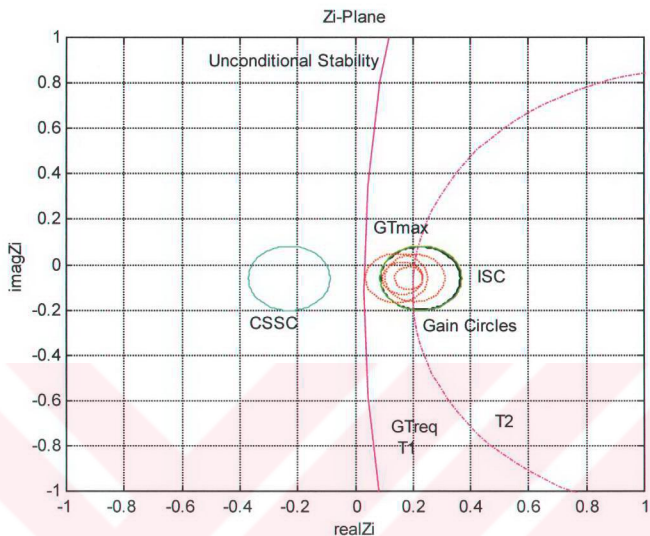
$\text{GT}_{\text{max}}$	$\text{GT}_{\text{req}}$	$\text{CSSC}$	$\text{ISC}$	$\text{Gain Circles}$	$\text{T1}$	$\text{T2}$
--------------------------	--------------------------	---------------	--------------	-----------------------	-------------	-------------



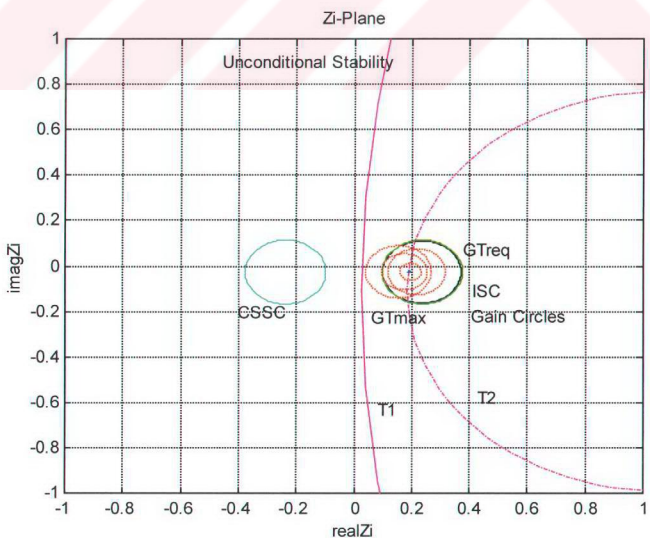
$f=0.6\text{GHz}$ :



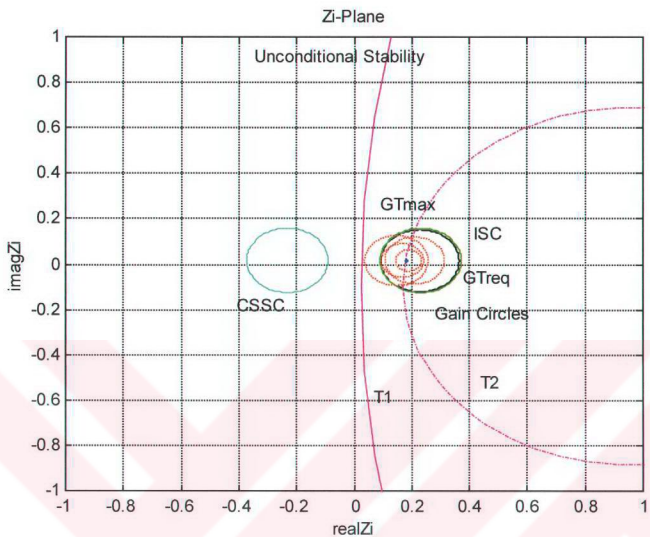
**f=0.7GHz:**



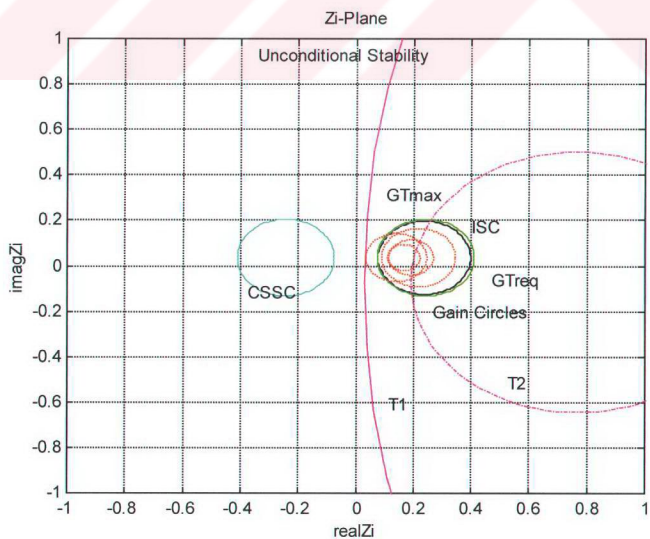
**f=0.8GHz:**



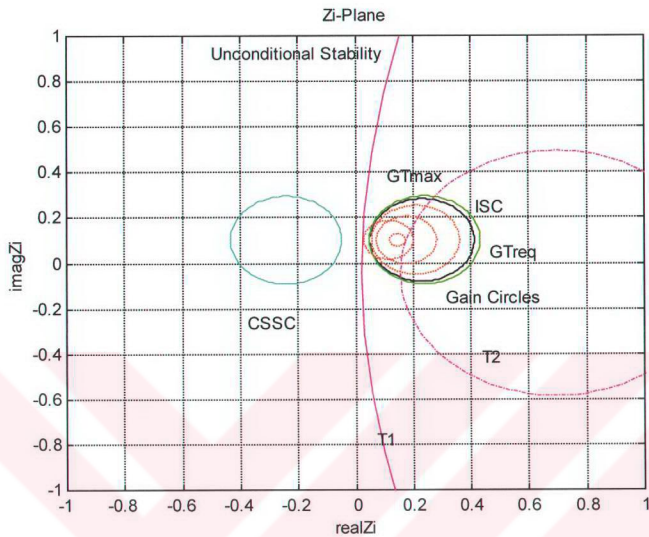
**f=0.9GHz:**



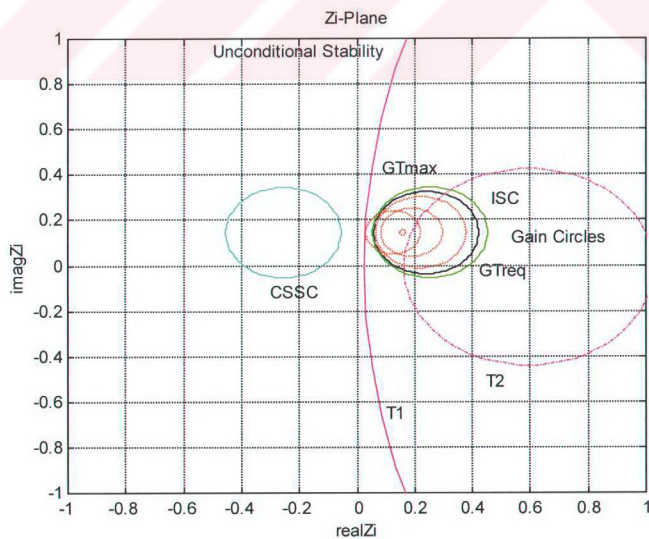
**f=1.0GHz:**



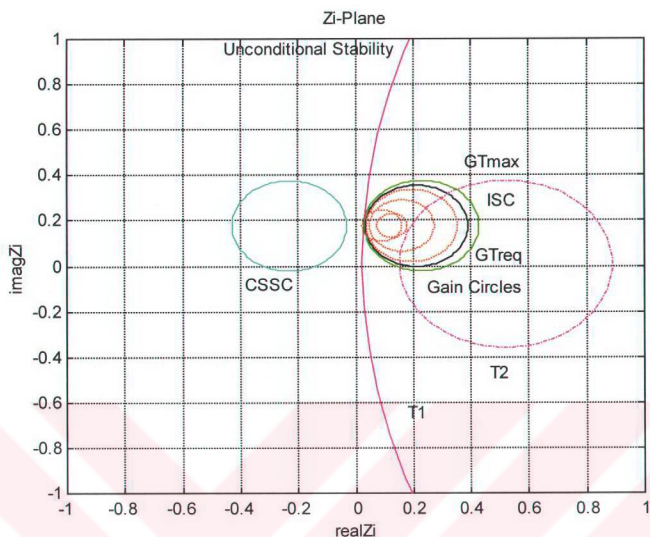
**f=1.2GHz:**



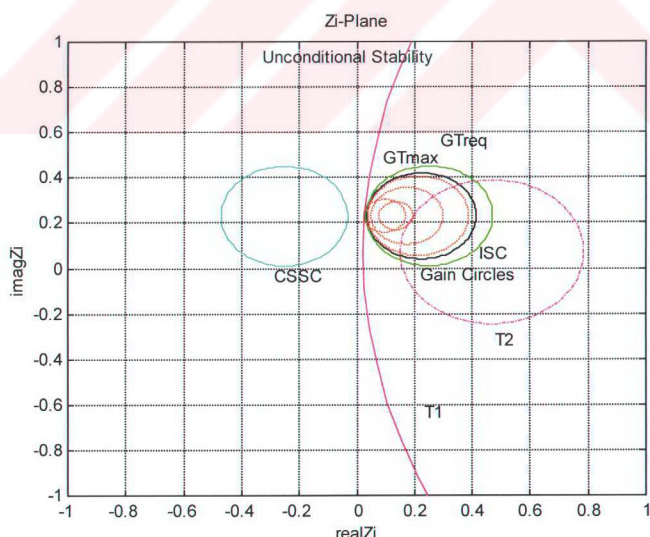
**f=1.4GHz:**



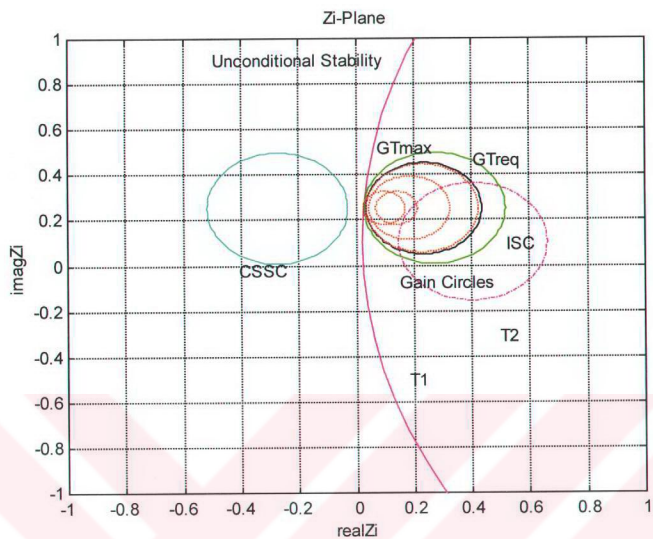
**f=1.6GHz:**



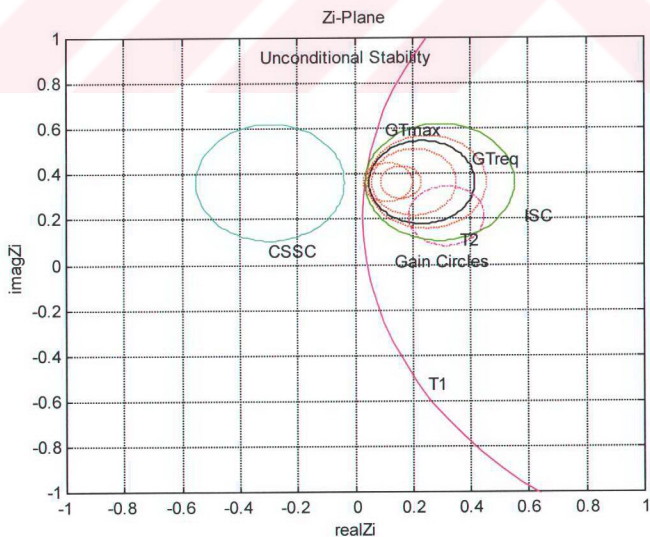
**f=1.8GHz:**



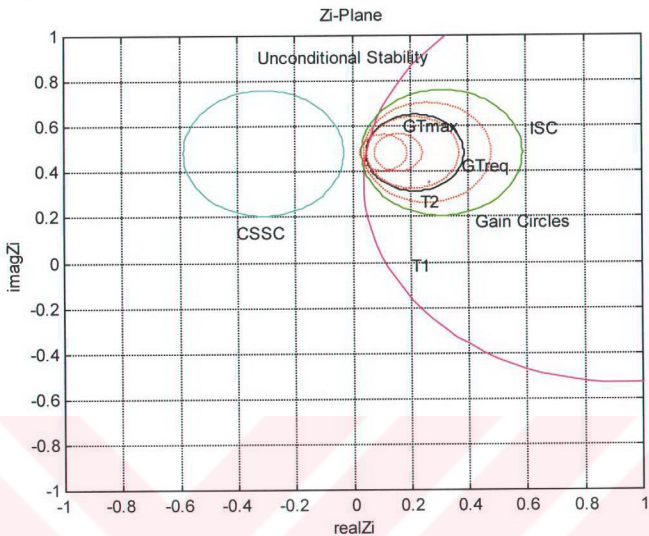
**f=2.0GHz:**



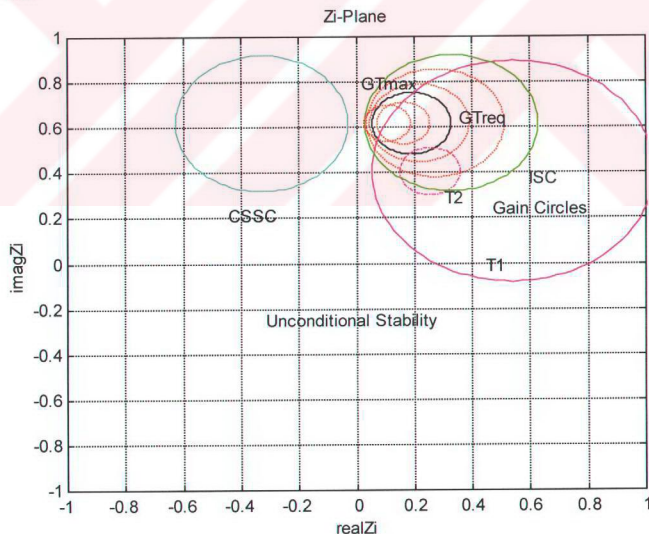
**f=2.5GHz:**



**f=3.0GHz:**



**f=3.5GHz:**



Şekil 6.1.1 Performans Analizi sonucunda farklı freksnlarda elde edilen daireler

### 6.1.2.5 Daire Kesisimlerinin Özetiini İceren Dosya (out\_gra.txt)

Transistor: ne02135c(VCE=10V, IC=20mA) from Neural Network

Terminations for GTmax and One of Intersection points on T1/T2 for GTreq:

Vfreq	Freq(dB) f(Hz)	GTmax (dB) Real(ZL)	Img(ZL)	Real(ZS)	Img(ZS)	GTreq (dB) Real(ZLreq)	Img(ZLreq)	Real(ZLreq)	Img(ZLreq)
1.5	4.5	500000000	24.946712	39.8664893	52.505761	4.494323	12.800920	5.0	11.315847
1.5	4.5	600000000	23.498857	44.88903	54.276077	4.155577	1.592590	5.0	10.600229
1.5	4.5	700000000	22.736885	45.517755	44.896292	3.933774	-0.142904	5.0	12.476389
1.5	4.5	800000000	18.010374	46.140687	44.671759	3.612771	0.892663	5.0	34.820439
1.5	4.5	900000000	17.120170	47.162384	43.994254	3.430617	-1.399036	5.0	22.324149
1.5	4.5	1000000000	19.059397	44.575364	47.433034	4.180228	-5.743288	5.0	12.528906
1.5	4.5	1200000000	17.207207	42.928912	55.907590	3.808704	-9.056797	5.0	12.817019
1.5	4.5	1400000000	15.598156	43.468934	53.122188	4.223997	-11.651272	5.0	15.213134
1.5	4.5	1600000000	14.858138	38.711179	61.755573	4.550544	-13.773671	5.0	12.764893
1.5	4.5	1800000000	13.628425	38.858365	61.208280	4.631245	-16.574767	5.0	15.886455
1.5	4.5	2000000000	12.582872	31.310530	53.396584	4.737618	-17.764142	5.0	17.970418
1.5	4.5	2500000000	10.559413	36.338916	51.868256	7.9855434	-25.635646	5.0	14.074605
1.5	4.5	3000000000	9.318865	30.675524	50.989250	13.530237	-30.800761	5.0	11.535804
1.5	4.5	3500000000	8.033522	21.056922	42.669700	15.706389	-26.134504	5.0	19.292194

-0.825067

4.524513

-3.213307

4.372128

-4.854890

4.222784

-6.567547

4.114916

-9.020417

4.115371

-12.460471

-17.668185

6.802323

-21.298190

-22.978031

7.648415

-28.09301

9.376657

-33.037335

-37.95101

27.897427

-25.777602

7.647767

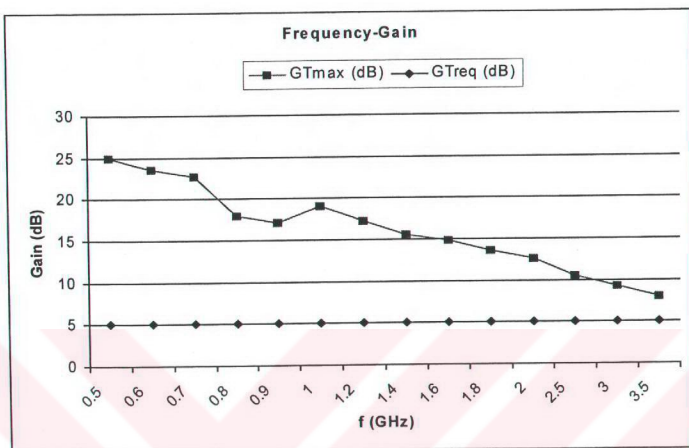
-16.487239

8.066211

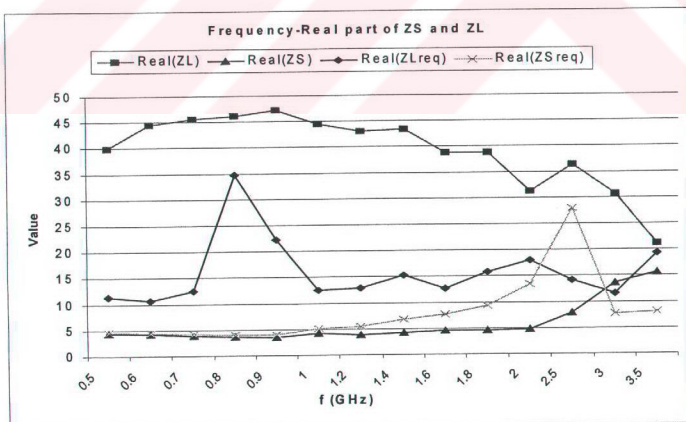
8.533826

#### 6.1.2.6 Frekans-Kazanç ve ZL,ZS Değişimi

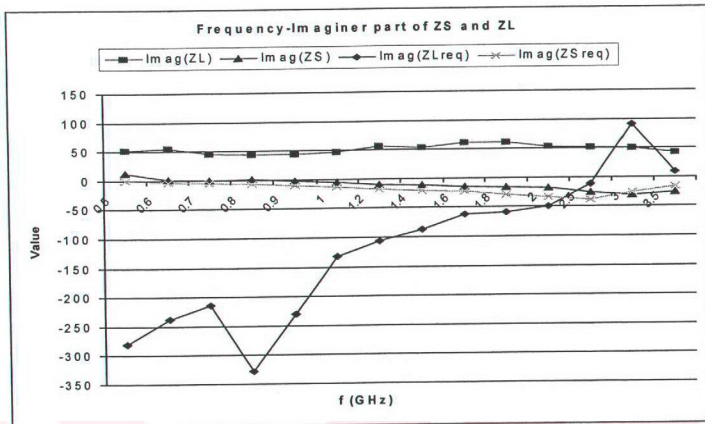
Bu verileri grafiksel olarak ifade edersek aşağıdaki durum elde edilir.



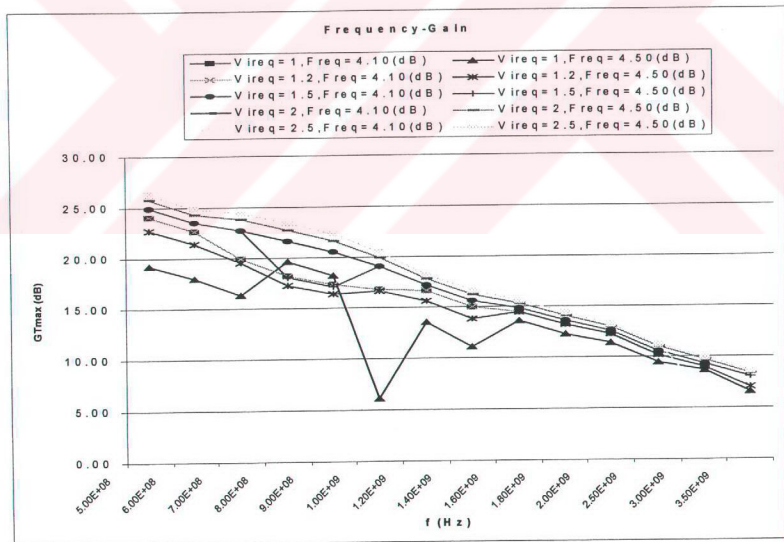
Şekil 6.1.2 Vireq=1.5, Freq=4.5 dB için maksimum Kazanç-Frekans değişimi



Şekil 6.1.3 Vireq=1.5, Freq=4.5 dB için Frekans-Re{ZL/ZS} değişimi



Şekil 6.1.4 Vireq=1.5, Freq=4.5 dB için Frekans- $\text{Im}\{\text{ZL/ZS}\}$  değişimi

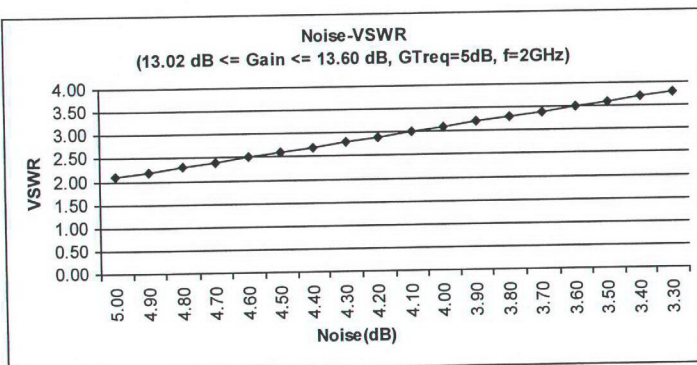


Şekil 6.1.5 Çeşitli Vireq ve Freq'a yönelik maksimum kazanç değişimi

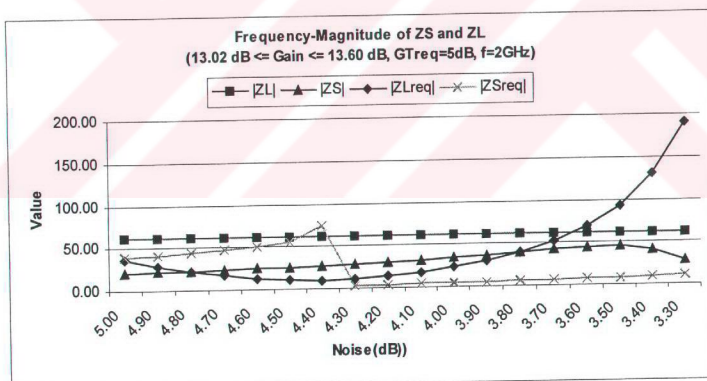
### 6.1.2.7 Kazanç-VSWR-Gürültü Değişimleri

Çizelge 6.1.1 f=2GHz için Kazanç-VSWR-Gürültü değişimleri

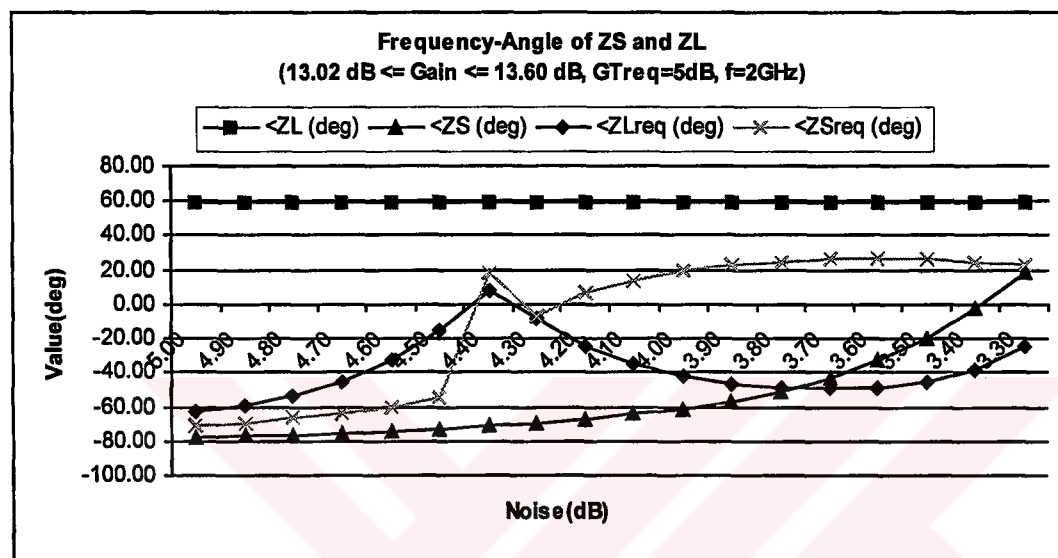
Vireq	Freq	f	Gtmax	Real	Imag	Real	Imag	Gtreq	Real	Imag	Real	Imag
	(dB)	(Hz)	(dB)	(ZL)	(ZL)	(ZS)	(ZS)	(dB)	(ZLreq)	(ZLreq)	(ZSreq)	(ZSreq)
2.10	5.00	2.00E+09	13.02	31.31	53.40	4.23	-19.86	5.00	16.99	-32.55	12.37	-36.70
2.20	4.90	2.00E+09	13.08	31.31	53.40	4.71	-20.73	5.00	14.84	-24.46	14.60	-38.54
2.30	4.80	2.00E+09	13.13	31.31	53.40	5.26	-21.63	5.00	13.22	-17.75	17.33	-40.36
2.40	4.70	2.00E+09	13.17	31.31	53.40	5.90	-22.57	5.00	11.96	-12.05	20.77	-42.12
2.50	4.60	2.00E+09	13.22	31.31	53.40	6.66	-23.55	5.00	10.93	-7.09	25.30	-43.74
2.60	4.50	2.00E+09	13.26	31.31	53.40	7.57	-24.58	5.00	10.09	-2.71	32.61	-45.23
2.70	4.40	2.00E+09	13.29	31.31	53.40	8.68	-25.66	5.00	9.35	1.32	70.02	23.24
2.80	4.30	2.00E+09	13.33	31.31	53.40	10.04	-26.80	5.00	10.52	-1.44	3.41	-0.41
2.90	4.20	2.00E+09	13.36	31.31	53.40	11.73	-27.97	5.00	12.25	-5.56	3.74	0.47
3.00	4.10	2.00E+09	13.40	31.31	53.40	13.89	-29.13	5.00	14.43	-10.25	4.08	1.05
3.10	4.00	2.00E+09	13.43	31.31	53.40	16.66	-30.18	5.00	17.24	-15.68	4.46	1.55
3.20	3.90	2.00E+09	13.45	31.31	53.40	20.28	-30.91	5.00	21.00	-22.10	4.88	2.03
3.30	3.80	2.00E+09	13.48	31.31	53.40	24.98	-30.89	5.00	26.21	-29.84	5.37	2.47
3.40	3.70	2.00E+09	13.51	31.31	53.40	30.90	-29.25	5.00	33.80	-39.34	5.94	2.90
3.50	3.60	2.00E+09	13.53	31.31	53.40	37.53	-24.50	5.00	45.58	-51.19	6.61	3.28
3.60	3.50	2.00E+09	13.55	31.31	53.40	42.50	-14.94	5.00	65.39	-65.71	7.39	3.61
3.70	3.40	2.00E+09	13.58	31.31	53.40	40.76	-1.43	5.00	102.07	-80.76	8.34	3.85
3.80	3.30	2.00E+09	13.60	31.31	53.40	27.60	9.08	5.00	173.52	-78.25	9.47	3.93



Şekil 6.1.6 Çeşitli Vireq ve Freq'a yönelik maksimum kazancın sınırlı kalması durumu



Şekil 6.1.7 Maksimum kazancın sınırlı kalması durumunda sonlandırmaların genlikleri



Şekil 6.1.8 Maksimum kazancın sınırlı kalması durumunda sonlandirmaların açları

### 6.1.2.8 Gürültü-VSWR-Kazanç Değişimleri

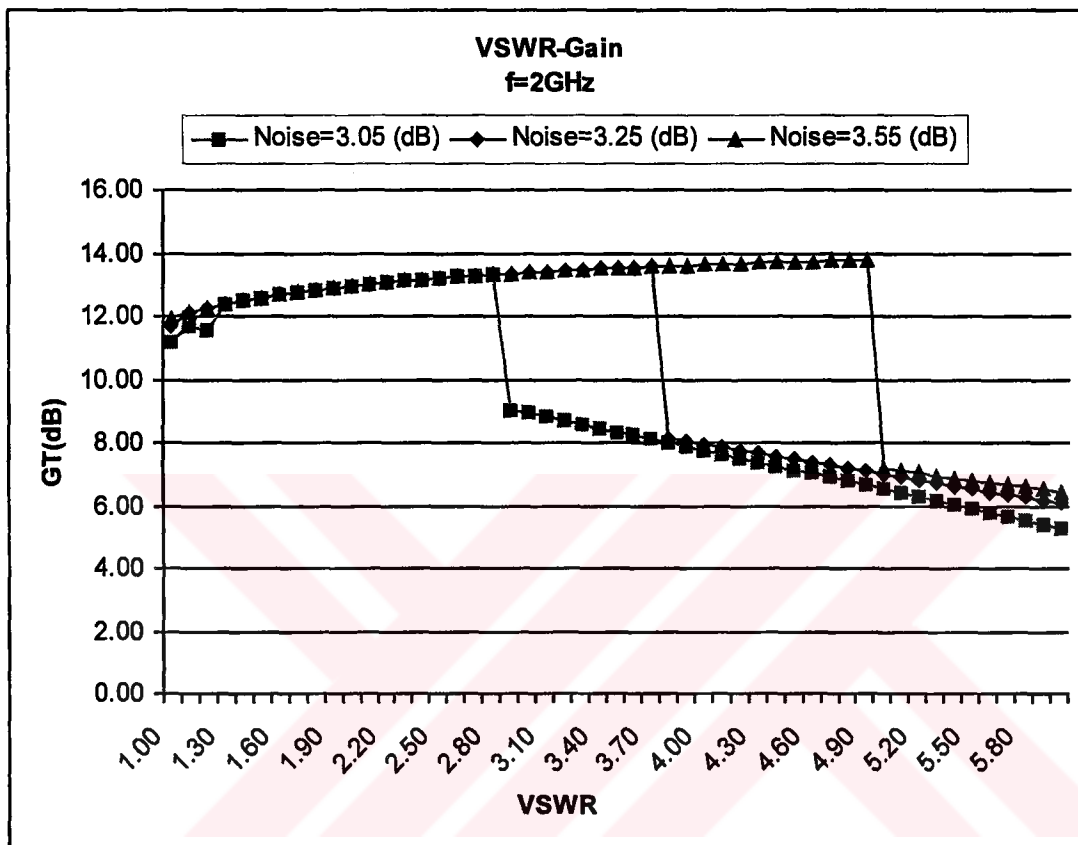
Freq=3.05 dB iken elde edilen Gürültü-VSWR-Kazanç değişimleri aşağıda verilmiştir.

**Çizelge 6.1.2 Freq=3.05 dB için Gürültü-VSWR-Kazanç değişimleri**

Vfreq	Freq	f	Gtmax	Real	Imag	Real	Imag	Gtreq	Real	Imag	Real	Imag
(dB)	(Hz)	(dB)	(ZL)	(ZL)	(ZS)	(ZS)	(ZS)	(dB)	(ZLreq)	(ZLreq)	(ZSreq)	(ZSreq)
1.00	3.05	2.00E+09	11.15	30.68	17.92	10.68	-10.20	5.00	8.61	-26.69	22.59	-12.50
1.10	3.05	2.00E+09	11.66	34.95	43.59	10.68	-10.20	5.00	26.60	-88.43	18.32	-13.89
1.20	3.05	2.00E+09	11.53	31.69	52.68	10.68	-10.20	5.00	60.93	-152.96	17.02	-13.87
1.30	3.05	2.00E+09	12.37	31.31	53.40	12.87	-12.36	5.00	6.31	-6.78	9.10	-4.65
1.40	3.05	2.00E+09	12.48	31.31	53.40	14.34	-13.18	5.00	7.84	-13.23	9.34	-3.06
1.50	3.05	2.00E+09	12.58	31.31	53.40	15.73	-13.65	5.00	9.57	-19.39	9.58	-2.23
1.60	3.05	2.00E+09	12.67	31.31	53.40	17.10	-13.88	5.00	11.60	-25.64	9.80	-1.67
1.70	3.05	2.00E+09	12.76	31.31	53.40	18.47	-13.88	5.00	14.02	-32.16	10.01	-1.24
1.80	3.05	2.00E+09	12.83	31.31	53.40	19.85	-13.67	5.00	16.94	-39.06	10.19	-0.88
1.90	3.05	2.00E+09	12.90	31.31	53.40	21.21	-13.23	5.00	20.50	-46.44	10.37	-0.58
2.00	3.05	2.00E+09	12.96	31.31	53.40	22.54	-12.53	5.00	24.87	-54.38	10.54	-0.31
2.10	3.05	2.00E+09	13.02	31.31	53.40	23.79	-11.57	5.00	30.29	-62.96	10.71	-0.07
2.20	3.05	2.00E+09	13.08	31.31	53.40	24.91	-10.31	5.00	37.08	-72.26	10.87	0.15
2.30	3.05	2.00E+09	13.13	31.31	53.40	25.81	-8.76	5.00	45.67	-82.28	11.02	0.34
2.40	3.05	2.00E+09	13.17	31.31	53.40	26.41	-6.93	5.00	56.64	-92.97	11.17	0.53
2.50	3.05	2.00E+09	13.22	31.31	53.40	26.58	-4.85	5.00	70.75	-104.10	11.32	0.70
2.60	3.05	2.00E+09	13.26	31.31	53.40	26.20	-2.57	5.00	89.00	-115.15	11.47	0.86
2.70	3.05	2.00E+09	13.29	31.31	53.40	25.06	-0.21	5.00	112.60	-125.03	11.61	1.00
2.80	3.05	2.00E+09	13.33	31.31	53.40	22.70	2.13	5.00	142.78	-131.74	11.76	1.14
2.90	3.05	2.00E+09	9.04	30.96	54.02	18.48	3.58	5.00	180.20	-131.85	11.90	1.28
3.00	3.05	2.00E+09	8.93	30.04	55.53	18.48	3.58	5.00	223.66	-120.43	12.03	1.40
3.10	3.05	2.00E+09	8.81	29.12	56.90	18.48	3.58	5.00	268.18	-92.16	12.17	1.52
3.20	3.05	2.00E+09	8.70	28.19	58.14	18.48	3.58	5.00	304.09	-44.93	12.31	1.63
3.30	3.05	2.00E+09	8.58	27.27	59.27	18.48	3.58	5.00	320.42	15.61	12.44	1.74
3.40	3.05	2.00E+09	8.46	26.37	60.30	18.48	3.58	5.00	312.40	76.68	12.58	1.85
3.50	3.05	2.00E+09	8.34	25.49	61.23	18.48	3.58	5.00	285.11	126.08	12.71	1.95

3.60	3.05	2.00E+09	8.22	24.63	62.08	18.48	3.58	5.00	248.66	158.86	12.85	2.04
3.70	3.05	2.00E+09	8.10	23.79	62.85	18.48	3.58	5.00	211.52	176.66	12.98	2.13
3.80	3.05	2.00E+09	7.98	22.98	63.55	18.48	3.58	5.00	178.18	183.75	13.12	2.22
3.90	3.05	2.00E+09	7.86	22.19	64.20	18.48	3.58	5.00	150.07	184.12	13.25	2.30
4.00	3.05	2.00E+09	7.74	21.43	64.79	18.48	3.58	5.00	127.02	180.65	13.39	2.39
4.10	3.05	2.00E+09	7.62	20.69	65.32	18.48	3.58	5.00	108.32	175.19	13.52	2.46
4.20	3.05	2.00E+09	7.50	19.98	65.82	18.48	3.58	5.00	93.17	168.83	13.66	2.54
4.30	3.05	2.00E+09	7.38	19.29	66.27	18.48	3.58	5.00	80.81	162.18	13.80	2.61
4.40	3.05	2.00E+09	7.26	18.63	66.68	18.48	3.58	5.00	70.67	155.59	13.94	2.68
4.50	3.05	2.00E+09	7.14	17.99	67.06	18.48	3.58	5.00	62.27	149.24	14.08	2.75
4.60	3.05	2.00E+09	7.02	17.38	67.41	18.48	3.58	5.00	55.24	143.20	14.22	2.82
4.70	3.05	2.00E+09	6.90	16.79	67.74	18.48	3.58	5.00	49.31	137.51	14.37	2.88
4.80	3.05	2.00E+09	6.77	16.21	68.03	18.48	3.58	5.00	44.26	132.15	14.52	2.95
4.90	3.05	2.00E+09	6.65	15.66	68.31	18.48	3.58	5.00	39.92	127.13	14.67	3.01
5.00	3.05	2.00E+09	6.53	15.13	68.56	18.48	3.58	5.00	36.16	122.40	14.83	3.07
5.10	3.05	2.00E+09	6.41	14.62	68.80	18.48	3.58	5.00	32.87	117.94	14.99	3.12
5.20	3.05	2.00E+09	6.28	14.12	69.02	18.48	3.58	5.00	29.97	113.72	15.15	3.18
5.30	3.05	2.00E+09	6.16	13.65	69.22	18.48	3.58	5.00	27.40	109.71	15.33	3.23
5.40	3.05	2.00E+09	6.04	13.19	69.40	18.48	3.58	5.00	25.09	105.88	15.51	3.29
5.50	3.05	2.00E+09	5.91	12.74	69.58	18.48	3.58	5.00	23.01	102.19	15.70	3.34
5.60	3.05	2.00E+09	5.79	12.31	69.74	18.48	3.58	5.00	21.12	98.62	15.90	3.38
5.70	3.05	2.00E+09	5.66	11.90	69.89	18.48	3.58	5.00	19.37	95.11	16.12	3.43
5.80	3.05	2.00E+09	5.54	11.50	70.03	18.48	3.58	5.00	17.74	91.62	16.35	3.47
5.90	3.05	2.00E+09	5.41	11.11	70.15	18.48	3.58	5.00	16.19	88.08	16.62	3.52
6.00	3.05	2.00E+09	5.28	10.73	70.28	18.48	3.58	5.00	14.67	84.37	16.93	3.55

Bu durumun grafiksel ifadesi diğer gürültü değerlerindeki değişimlerde göz önüne alındığında aşağıdaki şekilde olmaktadır.



Şekil 6.1.9  $f=2\text{GHz}$  için Gürültü-VSWR-Kazanç değişimleri

### 6.1.2.9 VSWR-Gürültü-Kazanç Değişimleri

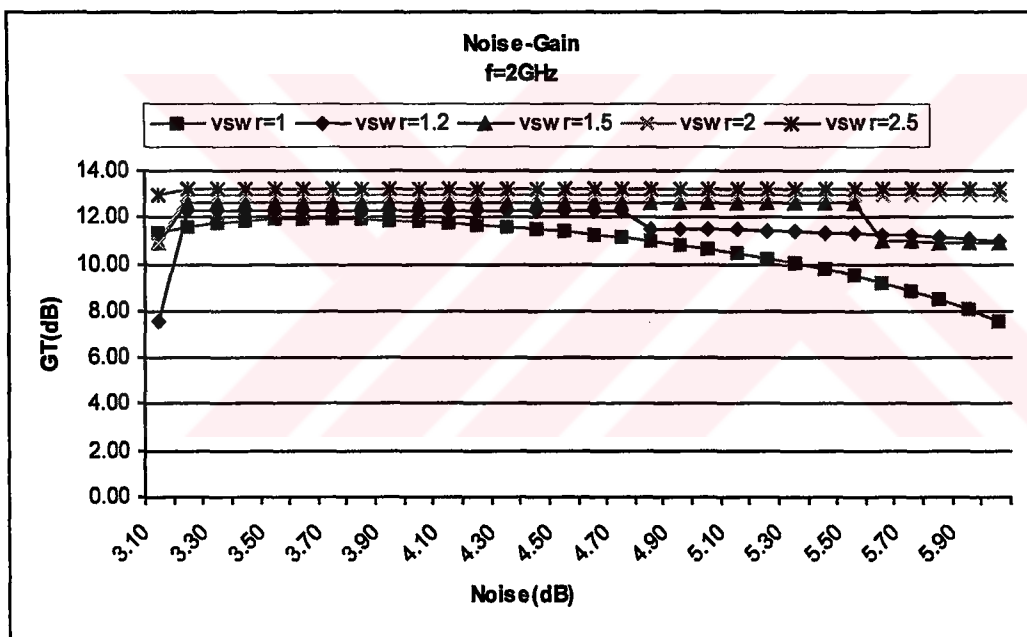
$V_{req}=1$  iken elde edilen VSWR-Gürültü-Kazanç değişimleri aşağıda verilmiştir.

Çizelge 6.1.3  $V_{req}=1$  için VSWR-Gürültü- Kazanç değişimleri

$V_{req}$	Freq	f	Gtmax	Real	Imag	Real	Imag	Gtreq	Real	Imag	Real	Imag
	(dB)	(Hz)	(dB)	(ZL)	(ZL)	(ZS)	(ZS)	(dB)	(ZLreq)	(ZLreq)	(ZSreq)	(ZSreq)
1.00	3.10	2.00E+09	11.36	32.91	22.33	9.98	-10.67	5.00	10.01	-33.79	22.38	-14.69
1.00	3.20	2.00E+09	11.62	35.24	30.37	8.86	-11.33	5.00	13.35	-48.71	21.05	-18.05
1.00	3.30	2.00E+09	11.78	35.70	37.33	7.99	-11.77	5.00	17.85	-65.72	19.23	-20.28
1.00	3.40	2.00E+09	11.87	35.03	43.21	7.29	-12.09	5.00	24.25	-86.16	17.32	-21.68
1.00	3.50	2.00E+09	11.92	33.67	48.12	6.70	-12.33	5.00	33.92	-111.83	15.53	-22.49
1.00	3.60	2.00E+09	11.94	31.95	52.18	6.20	-12.52	5.00	49.52	-145.44	13.91	-22.91
1.00	3.70	2.00E+09	11.94	30.04	55.54	5.76	-12.67	5.00	77.00	-191.36	12.49	-23.06
1.00	3.80	2.00E+09	11.92	28.06	58.30	5.37	-12.79	5.00	131.23	-255.90	11.24	-23.03
1.00	3.90	2.00E+09	11.88	26.11	60.58	5.03	-12.89	5.00	254.55	-340.43	10.15	-22.88
1.00	4.00	2.00E+09	11.83	24.21	62.47	4.73	-12.97	5.00	555.91	-361.75	9.20	-22.66
1.00	4.10	2.00E+09	11.76	22.39	64.03	4.45	-13.04	5.00	864.75	92.98	8.37	-22.38
1.00	4.20	2.00E+09	11.69	20.68	65.33	4.20	-13.10	5.00	511.73	479.05	7.64	-22.07
1.00	4.30	2.00E+09	11.60	19.06	66.41	3.98	-13.16	5.00	239.96	440.25	7.00	-21.74
1.00	4.40	2.00E+09	11.50	17.55	67.32	3.77	-13.20	5.00	128.38	359.89	6.44	-21.40
1.00	4.50	2.00E+09	11.39	16.14	68.07	3.58	-13.24	5.00	77.95	299.53	5.93	-21.06
1.00	4.60	2.00E+09	11.27	14.82	68.71	3.41	-13.27	5.00	51.78	256.55	5.48	-20.71
1.00	4.70	2.00E+09	11.14	13.58	69.24	3.24	-13.30	5.00	36.67	225.13	5.08	-20.37
1.00	4.80	2.00E+09	10.99	12.43	69.69	3.09	-13.33	5.00	27.20	201.31	4.72	-20.02
1.00	4.90	2.00E+09	10.83	11.36	70.07	2.95	-13.35	5.00	20.89	182.67	4.39	-19.68
1.00	5.00	2.00E+09	10.66	10.36	70.39	2.82	-13.37	5.00	16.49	167.66	4.09	-19.35
1.00	5.10	2.00E+09	10.47	9.42	70.66	2.70	-13.39	5.00	13.30	155.28	3.82	-19.01
1.00	5.20	2.00E+09	10.26	8.54	70.89	2.59	-13.41	5.00	10.90	144.84	3.58	-18.68
1.00	5.30	2.00E+09	10.03	7.72	71.08	2.48	-13.42	5.00	9.07	135.90	3.35	-18.35
1.00	5.40	2.00E+09	9.79	6.95	71.24	2.38	-13.43	5.00	7.63	128.09	3.14	-18.02
1.00	5.50	2.00E+09	9.51	6.22	71.38	2.28	-13.45	5.00	6.47	121.19	2.95	-17.70
1.00	5.60	2.00E+09	9.21	5.54	71.49	2.19	-13.46	5.00	5.54	114.98	2.77	-17.36

1.00	5.70	2.00E+09	8.87	4.90	71.59	2.11	-13.47	5.00	4.76	109.32	2.61	-17.03
1.00	5.80	2.00E+09	8.49	4.30	71.67	2.03	-13.48	5.00	4.11	104.08	2.45	-16.68
1.00	5.90	2.00E+09	8.07	3.73	71.73	1.95	-13.48	5.00	3.56	99.14	2.31	-16.32
1.00	6.00	2.00E+09	7.58	3.19	71.78	1.88	-13.49	5.00	3.08	94.38	2.17	-15.94

Bu durumun grafiksel ifadesi diğer VSWR değerlerindeki değişimlerde göz önüne alındığında aşağıdaki şekilde olmaktadır.



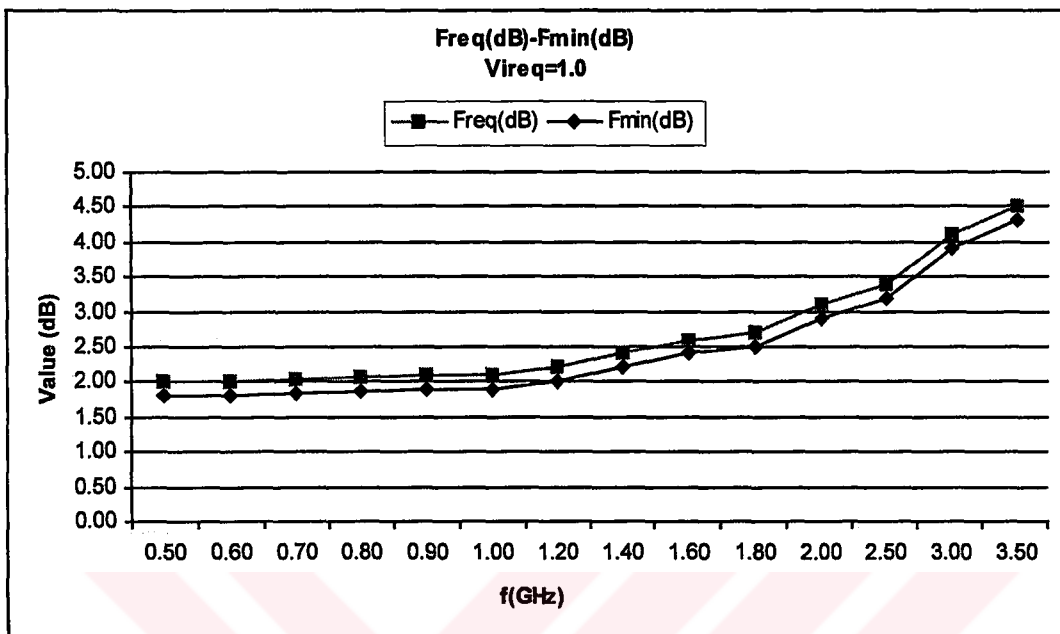
Şekil 6.1.10 f=2GHz için VSWR-Gürültü- Kazanç değişimleri

### 6.1.2.10 Gürültünün Minimum Gürültüyü İzlemesi Durumundaki Değişimler

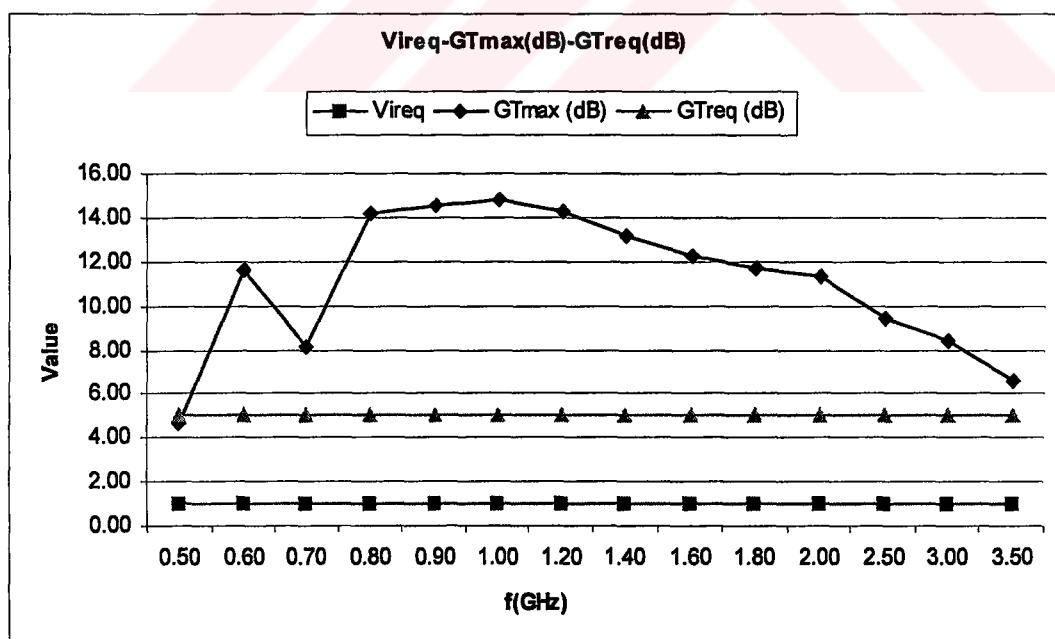
Aşağıda  $\text{Freq} = \text{Fmin} + \Delta f$  olması durumundaki değişimler görülmektedir.

**Çizelge 6.1.4  $V_{req}=1$  için  $\text{Freq} = \text{Fmin} + \Delta f$  değişimleri**

$V_{req}$	Freq	f	GTmax	Real	Imag	Real	Imag	Gtreq	Real	Imag	Real	Imag
	(dB)	(GHz)	(dB)	(ZL)	(ZL)	(ZS)	(ZS)	(dB)	(ZLreq)	(ZLreq)	(ZSreq)	(ZSreq)
1.00	2.00	0.50	4.62	NaN	-17.60	20.68	7.67	5.00	NaN	NaN	NaN	NaN
1.00	2.01	0.60	11.62	3.31	-17.24	19.29	5.89	5.00	0.88	-30.09	19.48	3.13
1.00	2.03	0.70	8.13	1.58	-11.64	18.06	3.76	5.00	0.86	-17.98	18.27	2.34
1.00	2.07	0.80	14.14	9.52	-9.27	16.67	2.27	5.00	1.57	-33.50	17.87	-1.82
1.00	2.10	0.90	14.54	12.69	-7.03	15.50	0.49	5.00	1.85	-34.62	17.46	-4.16
1.00	2.11	1.00	14.82	19.45	-2.10	15.24	-0.37	5.00	2.73	-38.54	18.63	-6.37
1.00	2.20	1.20	14.26	24.02	5.68	13.56	-2.99	5.00	3.49	-33.16	19.67	-9.47
1.00	2.40	1.40	13.14	27.93	10.35	13.05	-5.11	5.00	5.12	-33.08	20.52	-11.14
1.00	2.60	1.60	12.27	25.13	8.86	12.05	-6.16	5.00	5.75	-29.68	19.52	-11.35
1.00	2.70	1.80	11.74	30.78	14.71	11.36	-9.04	5.00	7.62	-30.58	20.98	-13.78
1.00	3.10	2.00	11.36	32.91	22.33	9.98	-10.67	5.00	10.01	-33.79	22.38	-14.69
1.00	3.40	2.50	9.40	31.76	25.55	10.27	-16.05	5.00	11.93	-17.48	22.08	-16.94
1.00	4.10	3.00	8.42	31.13	30.57	9.38	-22.40	5.00	17.42	-16.57	21.19	-22.53
1.00	4.50	3.50	6.57	18.35	17.93	10.63	-26.09	5.00	18.61	-2.96	17.32	-25.15



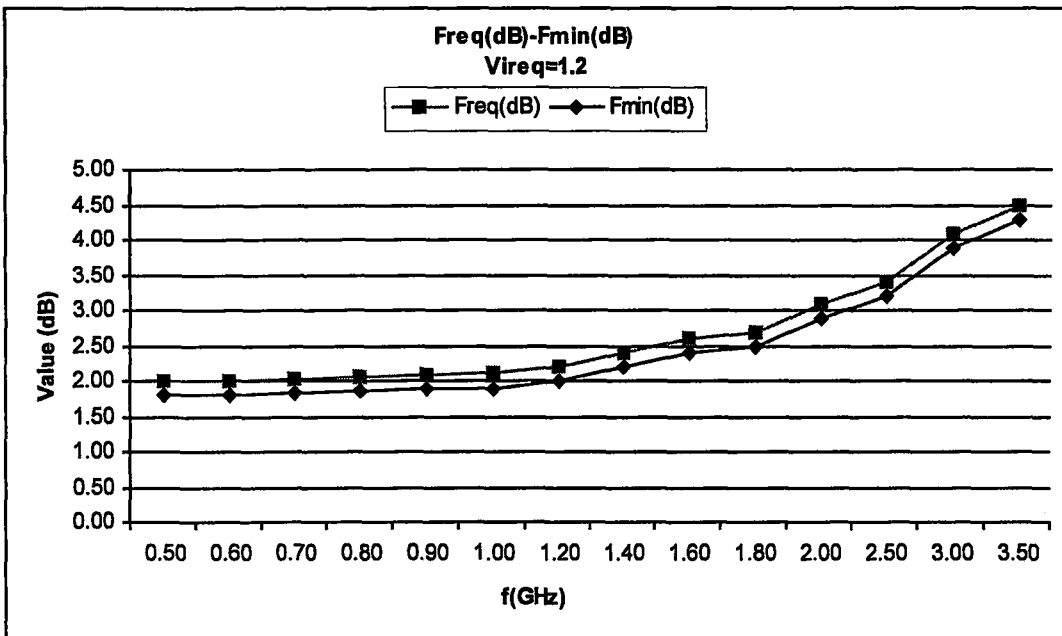
Şekil 6.1.11 Vireq=1 için Freq-Fmin değişimi



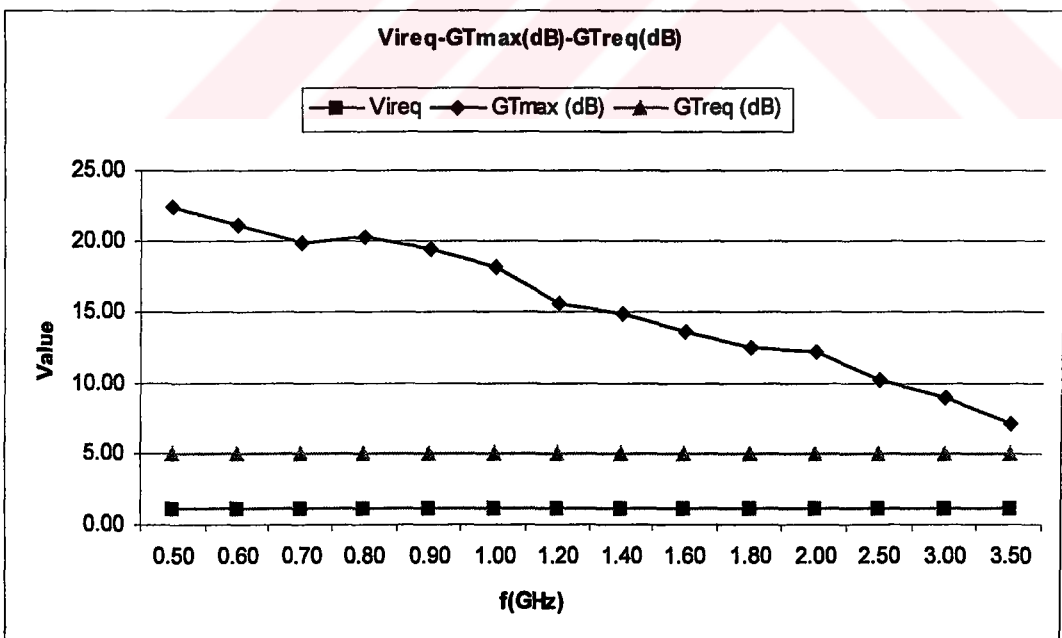
Şekil 6.1.12 Vireq=1 için Freq-Fmin'e karşılık gelen Kazanç değişimleri

Çizelge 6.1.5 Vireq=1.2 için Freq=Fmin+DeltaF değişimleri

Vireq	Freq	f	Gtmax	Real	Imag	Real	Imag	Gtreq	Real	Imag	Real	Imag
	(dB)	(GHz)	(dB)	(ZL)	(ZL)	(ZS)	(ZS)	(dB)	(ZLreq)	(ZLreq)	(ZSreq)	(ZSreq)
1.20	2.00	0.50	22.42	46.28	25.67	20.68	7.67	5.00	13.26	-333.22	21.17	1.37
1.20	2.01	0.60	21.14	49.44	27.90	19.29	5.89	5.00	11.79	-274.61	20.22	-0.41
1.20	2.03	0.70	19.89	46.59	34.10	18.06	3.76	5.00	14.20	-251.53	19.30	-1.39
1.20	2.07	0.80	20.38	46.45	42.68	17.48	-0.81	5.00	61.97	-486.41	18.17	-2.50
1.20	2.10	0.90	19.39	47.43	40.28	16.75	-2.86	5.00	35.86	-326.93	17.43	-4.10
1.20	2.11	1.00	18.16	44.58	47.43	16.22	-2.90	5.00	41.49	-307.04	17.84	-5.45
1.20	2.20	1.20	15.66	43.87	52.07	13.56	-2.99	5.00	21.04	-169.99	17.74	-8.27
1.20	2.40	1.40	14.97	43.47	53.12	14.68	-7.49	5.00	40.50	-198.18	17.53	-9.86
1.20	2.60	1.60	13.58	42.36	49.65	12.05	-6.16	5.00	27.60	-139.44	17.17	-10.63
1.20	2.70	1.80	12.47	40.55	56.70	11.36	-9.04	5.00	4.52	-0.34	11.29	1.99
1.20	3.10	2.00	12.25	31.31	53.40	11.24	-12.28	5.00	100.45	-205.21	16.26	-15.13
1.20	3.40	2.50	10.17	36.33	51.87	8.42	-22.87	5.00	13.64	-17.58	26.96	-31.45
1.20	4.10	3.00	8.99	30.68	50.99	12.47	-24.67	5.00	172.11	-88.29	14.96	-25.22
1.20	4.50	3.50	7.05	22.33	39.46	10.63	-26.09	5.00	86.65	-15.50	15.54	-26.20



Şekil 6.1.13 Vireq=1.2 için Freq-Fmin değişimi



Şekil 6.1.14 Vireq=1.2 için Freq-Fmin'e karşılık gelen Kazanç değişimleri

### 6.1.3 Empedans Verisi Uydurma Sonuçları

#### 6.1.3.1 Sabit Gürültü değeri durumu

Önceki kısımlarda bulunan empedans verileri ile uydurma devrelerini gerçekleştirmek üzere (Bazan Tolga, 2000) ve (Güneş Filiz, Yarman B. Sıddık, 1999) tarafından yapılan çalışma sonuçları aşağıda verilmiştir.

Çalışma Bandı: 1.5-3.5 GHz, GTreq=5 dB, Vireq=1.5, Freq=4.5 dB

Kullanılan frekans aralığındaki veriler aşağıdaki tabloda verilmiştir.

**Çizelge 6.1.6 Uydurma Devresi için kullanılan eleman değerleri**

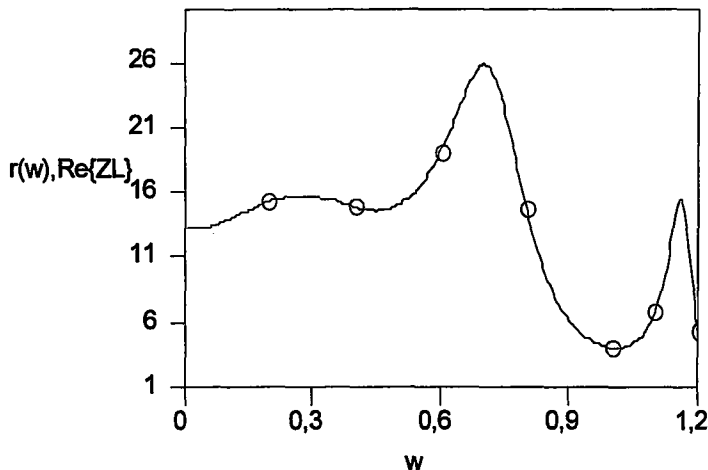
Frekans (GHz)	$Z_L$ (Reel - İmajiner)	$Z_S$ (Reel - İmajiner)
1.5	14.806-73.1j	9.741-27.279j
2	19.093-53.22j	17.417-36.936j
2.5	14.612-12.71j	41.9-35.8588j
3	4.012+50.96j	6.41-23.575j
3.5	5.385+33.69j	10.514-26.034j

$R_0=1$ ,  $w_0=2\pi f_{max}/1.2=18.31e9$  alınarak 4. Bölümdeki formüllerle elemanların gerçek değerleri F, H, Ohm olarak bulunabilir.

**ZL Analizi:** İlk yapılacak iş  $Z_L$ 'nin reel kısmına pozitif ve istenen kurallara uygun minimum hatalı bir fonksiyon uydurmaktır. Bulunacak fonksiyon minimum reaktans fonksiyonunun reel kısmını da ( $r(w) = r_{MR}(w)$ ) temsil edecektir.

$$r(w) := \frac{.391191}{2.9810610^{-2} - .165403w^2 + 1.82325w^4 - 7.69206w^6 + 13.6319w^8 - 10.2746w^{10} + 2.74464w^{12}}$$

$r(w)$ 'nın w ile değişimi aşağıdaki gibi sürekli bir eğri olarak bulunacaktır.



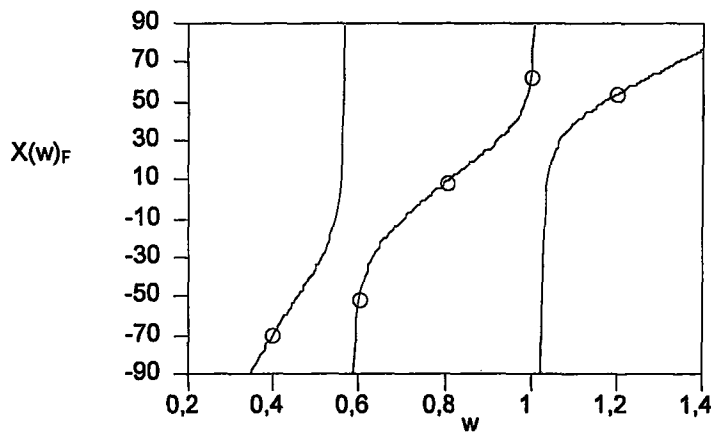
Şekil 6.1.15  $r(w)/\text{Re}\{\text{ZL}\}$ -w değişimi

Minimum reaktans fonksiyonunun kendisi, minimum reaktans fonksiyonunun reel kısmı yardımıyla Gewertz Prosedürü kullanılarak kolaylıkla elde edilir ( $z(w)_{MR} = z_{MR}(w)$ ).

$$z(s)_{MR} = \frac{2.26567 + 10.7145s + 18.67537s^2 + 31.76305s^3 + 14.48491s^4 + 17.52192s^5}{.17266 + .71734s + 1.96915s^2 + 2.31452s^3 + 3.66702s^4 + 1.36955s^5 + 1.6567s^6}$$

$$z(w)_{MR} = \frac{(2.26567 + 10.7145iw - 18.67537w^2 - 31.76305iw^3 + 14.48491w^4 + 17.52192iw^5)}{(.17266 + .71734iw - 1.96915w^2 - 2.31452iw^3 + 3.66702w^4 + 1.36955iw^5 - 1.6567w^6)}$$

Bu durumda  $jx_{MR}(w) = z_{MR}(w) - r_{MR}(w)$  şeklinde bulunabilir. Ayrıca  $x_F(w_i) = X_D(w_i) - x_{MR}(w_i)$  eşitliğinden gidilerek Foster fonksiyonu ( $X(w)_F = x_F(w)$ ) bulunabilir.

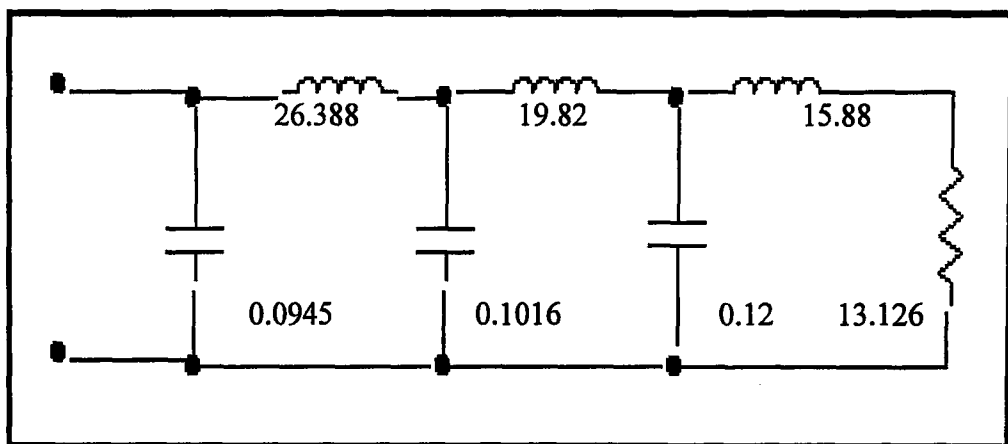


Şekil 6.1.16 ZL için Foster verileri-w değişimi

$$X(w)_F = \frac{-42.1882}{w} + 78.5039w + \frac{1.17511w}{1.02^2 - w^2} + \frac{1.48529w}{.5742^2 - w^2}$$

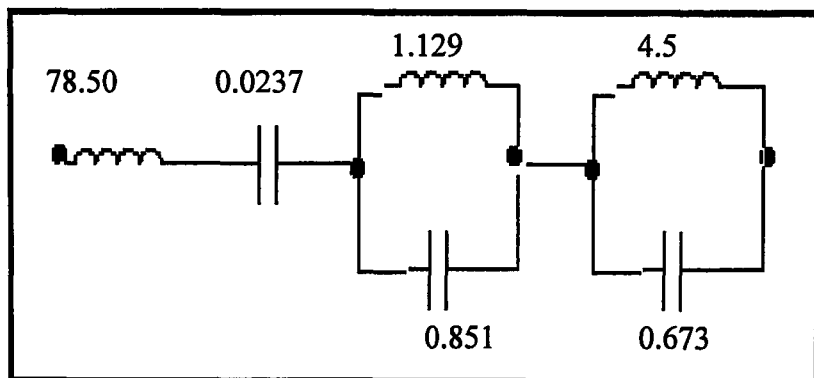
Sonuç olarak minimum reaktans fonksiyonunun ve Foster fonksiyonunun toplamı bize giriş empedansını verir. Devreyi çizerken Foster ve minimum reaktans fonksiyonunu ayrı ayrı çizmek ve sentez etmek bize kolaylık sağlayacaktır.

Aşağıda minimum reaktans fonksiyonunun devresi görülmektedir.



Şekil 6.1.17 ZL için minimum reaktans fonksiyonunun devresi

Aşağıda Foster Fonksiyonunun devresi görülmektedir.

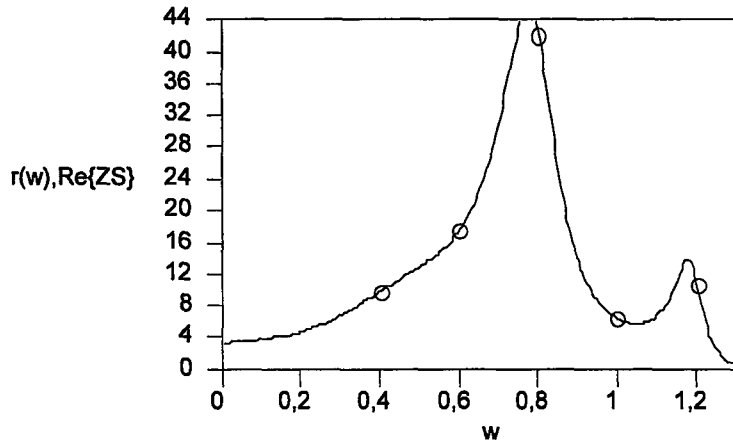


Şekil 6.1.18 ZL için Foster Fonksiyonunun devresi

**ZS Analizi:** İlk önce ZS verilerinin reel kısmına istenilen koşullara uygun bir pozitif reel bir fonksiyon uydurulur. Bu da bize tabi ki minimum reaktans fonksiyonunun reel kısmını verecektir ( $r(w) = r_{MR}(w)$ ).

$$r(w) := \frac{.492774}{.144892 - 1.23264w^2 + 6.06941w^4 - 15.8468w^6 + 20.9899w^8 - 13.1205w^{10} + 3.0726w^{12}}$$

$r(w)$ 'nın  $w$  ile değişimi aşağıdaki gibi sürekli çizgi olarak bulunacaktır.

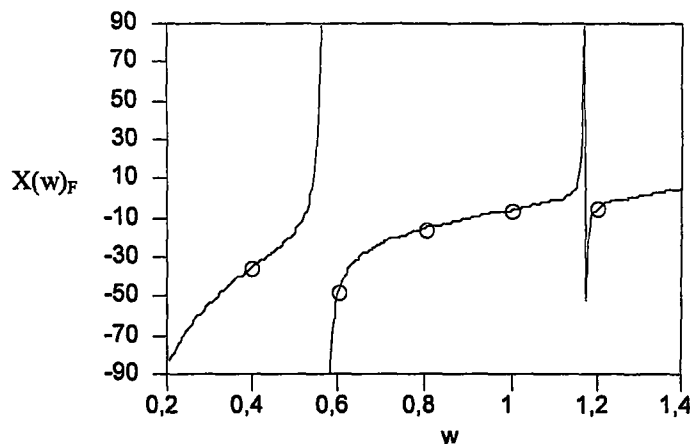
Şekil 6.1.19  $r(w)/\text{Re}\{\text{ZS}\}$ -w değişimi

Minimum reaktans fonksiyonunun reel kısmı yardımıyla Gewertz Prosedürü kullanılarak minimum reaktans fonksiyonunun kendisi kolaylıkla elde edilir ( $z(w)_{MR} = z_{MR}(w)$ ).

$$z(s)_{MR} = \frac{1.29456 + 11.43631s + 18.02721s^2 + 34.83862s^3 + 14.34353s^4 + 18.7118s^5}{.38065 + .90512s + 2.69526s^2 + 2.45065s^3 + 4.25754s^4 + 1.34367s^5 + 1.75288s^6}$$

$$z(w)_{MR} = \frac{(1.29456 + 11.43631iw - 18.02721w^2 - 34.83862iw^3 + 14.34353w^4 + 18.7118iw^5)}{(.38065 + .90512iw - 2.69526w^2 - 2.45065iw^3 + 4.25754w^4 + 1.34367iw^5 - 1.75288w^6)}$$

Bu durumda  $jx_{MR}(w) = z_{MR}(w) - r_{MR}(w)$  şeklinde bulunabilir. Ayrıca  $x_F(w_i) = X_D(w_i) - x_{MR}(w_i)$  eşitliğinden gidilerek Foster fonksiyonu ( $X(w)_F = x_F(w)$ ) bulunabilir.

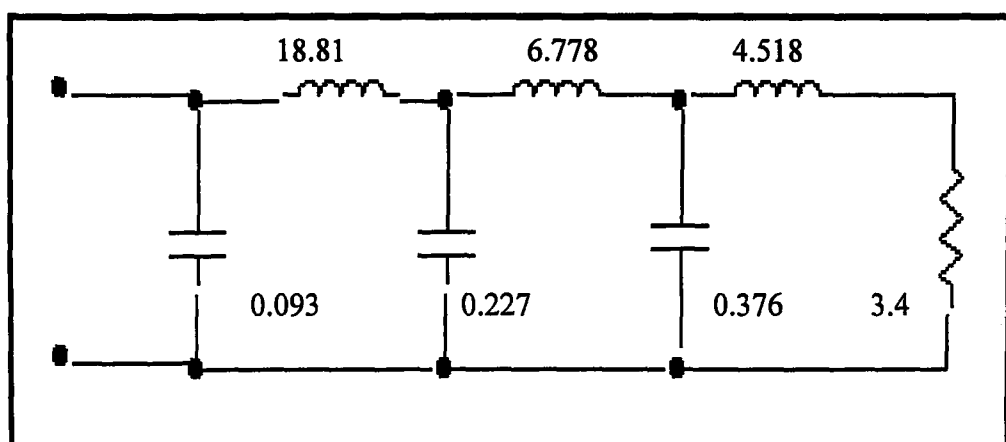


Şekil 6.1.20 ZS için Foster verileri-w değişimi

$$X(w)_F = \frac{-18.1893}{w} + 14.5247w + \frac{1.77073w}{.565^2 - w^2} + \frac{.215252w}{1.18^2 - w^2}$$

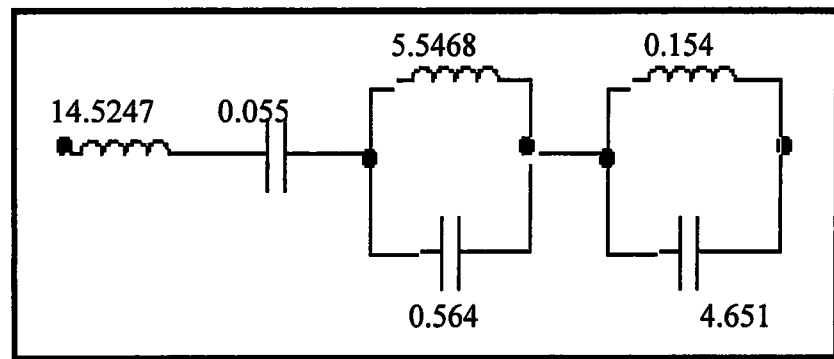
Sonuç olarak minimum reaktans fonksiyonunun ve Foster fonksiyonunun toplamı bize giriş empedansını verir. Devreyi çizerken Fosteri ve minimum reaktans fonksiyonunu ayrı ayrı çizmek ve sentez etmek bize kolaylık sağlayacaktır.

Aşağıda minimum reaktans fonksiyonunun devresi vardır



Şekil 6.1.21 ZS için minimum reaktans fonksiyonunun devresi

Foster fonksiyonunun devresi ise şöyledir:



Şekil 6.1.22 ZS için Foster Fonksiyonunun devresi

### 6.1.3.2 Gürültünün minimum gürültüyü izlemesi durumu

Gürültünün minimum gürültüyü izlemesi durumundaki ZLreq ve ZSreq değerleri GTreq=5 dB ve Vireq=1.5 değerleri için Çizelge 6.1.7 ve Çizelge 6.1.8'de verilmiştir ve empedans uydurma çalışması yapılmıştır.

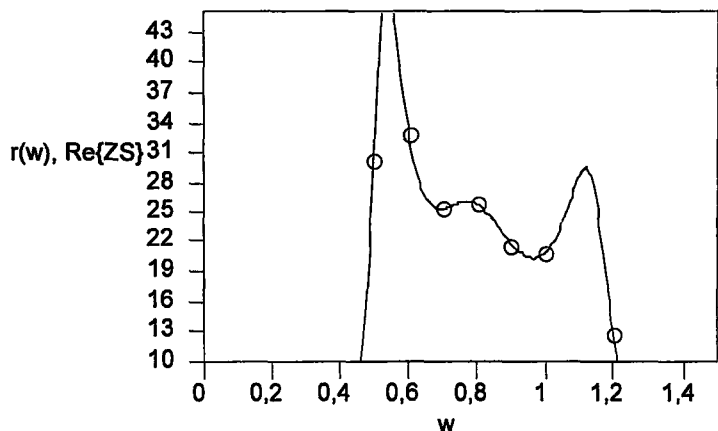
Çizelge 6.1.7 Freq=Fmin+DeltaF durumunda uydurma devresi için kullanılan ZS değerleri

Frekans GHz	Z <sub>S</sub> (veriler)
0.5	30.1+8.87j
0.6	32.7-1.27j
0.7	25.3+8.6j
0.8	25.8+10.6j
0.9	21.7+13.7j
1	20.9-3.9j
1.2	12.7+4.85j

R<sub>0</sub>=1, w<sub>0</sub>=2πf<sub>max</sub>/1.2=6.28e9 alınarak 4. Bölümdeki formüllerle elemanların gerçek değerleri F, H, Ohm olarak bulunabilir.

**ZS Analizi:** Daha önceki kısımda yapılan işlemler burada da tekrarlanırsa aşağıdaki sonuçlar elde edilir.

$$r(w)_{MR} = \frac{6.16w^4}{1 - 11.37w^2 + 50.41w^4 - 110.75w^6 + 129.277w^8 - 75.7119w^{10} + 17.4352w^{12}}$$



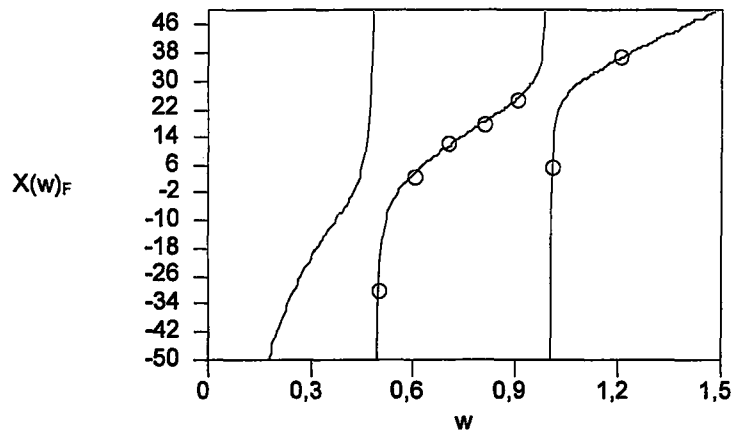
Şekil 6.1.23  $r(w)/\text{Re}\{\text{ZS}\}$ -w değişimi

Gewertz Prosedürü ile minimum reaktans fonksiyonu elde edilirse;

$$Z(s)_{MR} = \frac{25.61973s + 26.62812s^2 + 90.20369s^3 + 34.18497s^4 + 54.61159s^5}{1 + 1.03936s + 6.22653s^2 + 3.90589s^3 + 9.88416s^4 + 2.61375s^5 + 4.17555s^6}$$

Sırada Foster fonksiyonunu bulmak var.  $x_F(w_i) = X_D(w_i) - x_{MR}(w_i)$  eşitliğinden gidilerek Foster fonksiyonu bulunur.

$$x(w)_F = 38.9665 \cdot w + \frac{.43557 \cdot w}{.99^2 - w^2} + \frac{.693855 \cdot w}{.488^2 - w^2} - \frac{10.2592}{w}$$

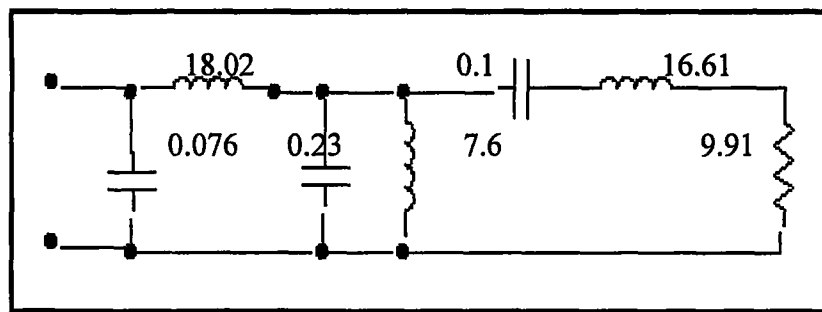


Şekil 6.1.24 ZS için Foster verileri-w değişimi

Sonuç olarak minimum reaktans fonksiyonunun ve Foster fonksiyonunun toplamı bize giriş empedansını verir. Devreyi çizerken Fosteri ve minimum reaktans fonksiyonunu ayrı ayrı çizmek ve sentez etmek bize kolaylık sağlayacaktır.

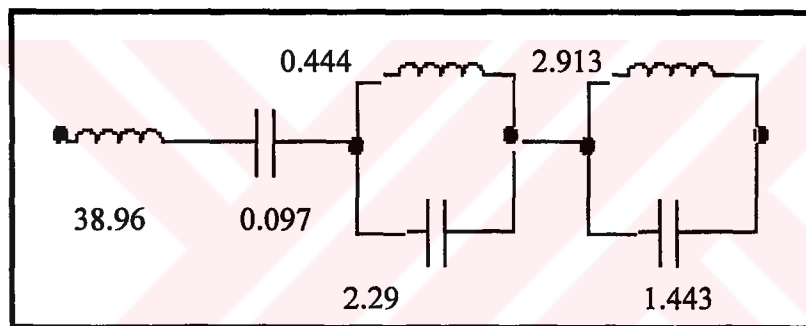
Aşağıda minimum reaktans fonksiyonunun sentezi ve devresi görülmektedir.

$$Z(s)_{MR} = \frac{1}{0.076s + \frac{1}{18.02s + \frac{1}{0.229s + \frac{0.1315}{s} + \frac{1}{16.61s + \frac{1}{0.1s} + 9.91}}}}$$



Şekil 6.1.25 ZS için minimum reaktans fonksiyonunun devresi

Foster devresi ise şöyledir:



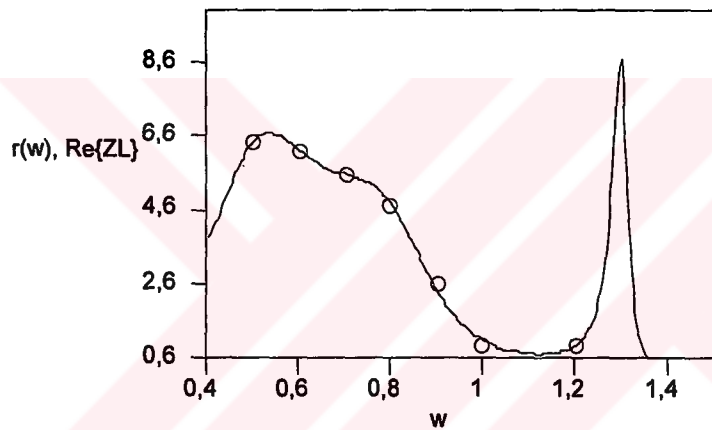
Şekil 6.1.26 ZS için Foster Fonksiyonunun devresi

**ZL Analizi:** ZL analizi ZS analizine benzer olarak aşağıda yapılmıştır.

Çizelge 6.1.8 Freq=Fmin+DeltaF durumunda uydurma devresi için kullanılan ZL değerleri

Frekans GHz	$Z_L$ (veriler)
0.5	$6.41-197.37j$
0.6	$6.21-167.1j$
0.7	$5.58-125.4j$
0.8	$4.72-87.48j$
0.9	$2.59-40.48j$
1	$0.907+25.3j$
1.2	$0.942+40.39j$

$$r(w)_{MR} = \frac{0.63}{1 - 10.2715w^2 + 44.84w^4 - 95.53w^6 + 104.223w^8 - 54.33w^{10} + 10.66w^{12}}$$



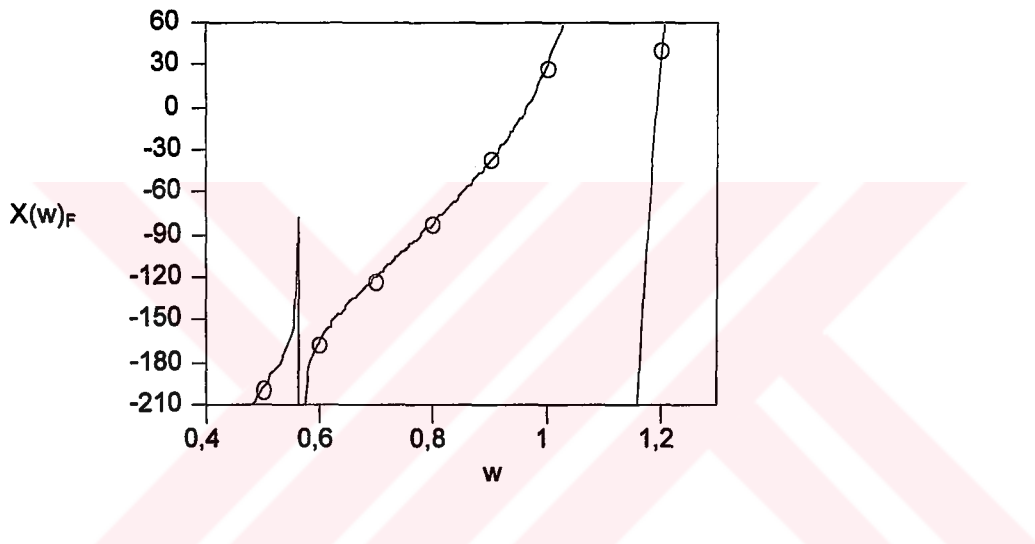
Şekil 6.1.27  $r(w)/\text{Re}\{ZL\}$ -w değişimi

$$Z(s)_{MR} = \frac{.6308 + 7.61733s + 7.79305s^2 + 17.92557s^3 + 5.20221s^4 + 8.30133s^5}{1 + 1.54753s + 6.33318s^2 + 4.26259s^3 + 8.96146s^4 + 2.04632s^5 + 3.26538s^6}$$

$$Z(w)_{MR} = \frac{(.6308 + 7.61733iw - 7.79305w^2 - 17.92557iw^3 + 5.20221w^4 + 8.30133iw^5)}{(1 + 1.54753iw - 6.33318w^2 - 4.26259iw^3 + 8.96146w^4 + 2.04632iw^5 - 3.26538w^6)}$$

$x_F(w_i) = X_D(w_i) - x_{MR}(w_i)$  eşitliğinden gidilerek Foster fonksiyonu bulunur.

$$X(w)_F = \frac{115.709}{w} + \frac{51.7751 \cdot w}{1.29^2 - w^2} + \frac{.602041 \cdot w}{.57^2 - w^2} + \frac{18.8473 \cdot w}{1.13^2 - w^2}$$

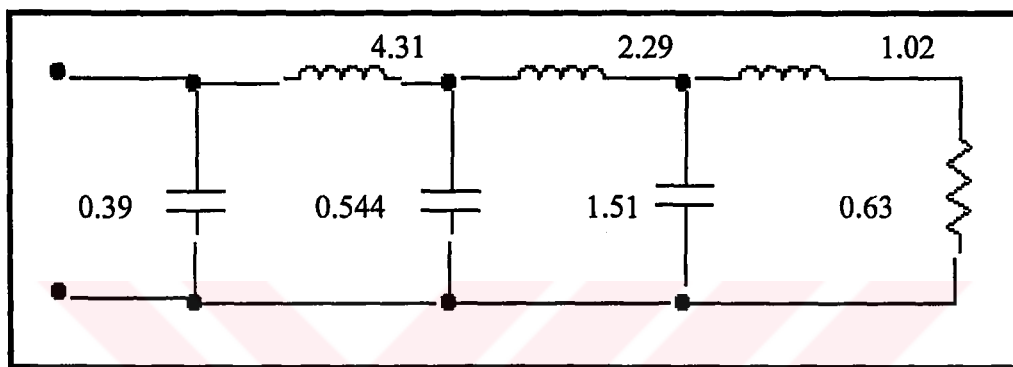


Şekil 6.1.28 ZL için Foster verileri-w değişimi

Sonuç olarak minimum reaktans fonksiyonunun ve Foster fonksiyonunun toplamı bize çıkış empedansını verir. Devreyi çizerken Foster ve minimum reaktans fonksiyonunu ayrı ayrı çizmek ve sentez etmek bize kolaylık sağlayacaktır.

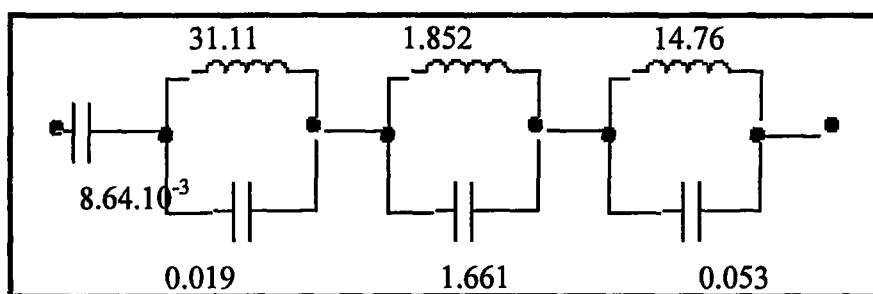
Aşağıda minimum reaktans fonksiyonunun sentezi ve devresi görülmektedir.

$$Z(s)_{\text{MR}} = \frac{1}{0.39s + \frac{1}{4.31s + \frac{1}{0.544s + \frac{1}{2.29s + \frac{1}{1.51s + \frac{1}{1.02s + 0.63}}}}}}$$



Şekil 6.1.29 ZL için minimum reaktans fonksiyonunun devresi

Foster fonksiyonu ise şöyledir:



Şekil 6.1.30 ZL için Foster Fonksiyonunun devresi

## 6.2 Transistor: ne02135(VCE=10V, IC=5mA)

### 6.2.1 YSA Sonuçları

#### 6.2.1.1 Transistorun Gürültü ve S-parametrelerini İçeren Üretici Verileri

Aşağıdaki dosya transistorun, üreticiden alınan gürültü ve S-parametrelerini içermektedir.

Ne02135.s2p:

---

```

! FILENAME:    NE02135.S2P VERSION: 1.0
! NEC PART NUMBER: NE02135      DATE:  4/85
! BIAS CONDITIONS: VCE=10V, IC=5mA

# ang. in deg          NOISE PARAMETERS (2/81)
#      S11      S21      S12      S22   Fmin.  fopt  RN/50
#GHZ mag. ang.  mag. ang.  mag. ang. mag. ang. (dB) mag. ang.

Z-----
0.5 0.68 -126  7.18 106  0.08 35 0.51 -53  1.2 0.36 69.0  0.75
1.0 0.66 -163  4.02 81   0.09 27 0.34 -66  1.5 0.31 124.0  0.62
1.5 0.65 178   2.75 64   0.10 27 0.31 -74  2.0 0.50 165.0  0.60
2.0 0.65 163   2.10 52   0.12 30 0.31 -83  2.4 0.44 -175.0 0.55
2.5 0.66 151   1.68 39   0.13 26 0.31 -95  2.6 0.52 -161.0 0.52
3.0 0.66 141   1.46 27   0.14 26 0.33 -106 3.1 0.68 -141.0 0.50
3.5 0.67 129   1.24 17   0.16 26 0.36 -116 3.3 0.71 -139.0 0.47

```

---

#### 6.2.1.2 Transistorun Gürültü ve S-parametrelerini İçeren YSA Verileri

Bu transistorda verilmeyen gürültü parametresi bulunmamaktadır. Bu nedenle YSA'dan elde edilen çıktı yukarıdaki dosya ile aynı olacaktır.

### 6.2.2 Performans Analizi Sonuçları

Yukarıda verilen transistorun S-parametreleri ve gürültü parametreleri dosyası da göz önüne alınmak üzere, performans analiz programına aşağıdaki giriş dosyasının verilmesi durumunda şu sonuçlar alınacaktır.

### 6.2.2.1 Giriş Dosyası (ne02135.inp):

$G_{Treq}$   $V_{ireq}$   $F_{req}$

5.0 1.5 4.5

### 6.2.2.2 Daire Kesimlerini İçeren Çıktı (out\_int.txt):

---

Transistor: ne02135(VCE=10V, IC=5mA)

Detailed information, Terminations for GTmax and all of intersection points on T1/T2 for GTreq:

\*\*\* 1. Given Values:

Required GT(dB) value: 5.000000

Required Vi value: 1.500000

Required F(dB) value: 4.500000

Circuit Definition:

f(Hz): 500000000.000000

S11 Module and Angle(Rad): 0.680000 -2.199115

S21 Module and Angle(Rad): 7.180000 1.850049

S12 Module and Angle(Rad): 0.080000 0.610865

S22 Module and Angle(Rad): 0.510000 -0.925025

Fmin 1.318257, GamaOpt Module and Angle(Rad) 0.360000 1.204277, Rn 0.750000

Z11 Real and Imaginer parts: 0.205424 0.086821

Z21 Real and Imaginer parts: 1.934124 10.619447

Z12 Real and Imaginer parts: 0.118892 0.018146

Z22 Real and Imaginer parts: 1.252796 -0.191766

Freq,Fmin,Ropt,Xopt,Rn,Rmod,N,Rcn,Xcn,rn,Rct1,Xct1,rt1,Rct2,Xct2,rt2: 2.818383 1.318257 0.998652  
0.771222 0.750000 0.447214 1.592223 2.590875 0.771222 2.390675 6.559167 -0.771222 6.482698 1.213456 -  
0.771222 0.689326

Conditionally stable: R11>0 & R22>0 & ita>0 & ita<1

R11,R22,ita = 0.205424,1.252796,0.367784

GTDBreq, T1 and T2 circles:

RCGreq= 0.167737, XCGreq= -0.431087, rgreq= 0.510170

Rct1= 6.559167, Xct1= -0.771222, rt1= 6.482698

Rct2= 1.213456, Xct2= -0.771222, rt2= 0.689326

1. Intersection point on T1; RintT1= 0.132314: XintT1= 0.077852

2. Intersection point on T1; RintT1= 0.078498: XintT1= -0.933392

ZreqT11 Value: real and imaginer part = 6.615699 3.892596

ZreqT12 Value: real and imaginer part = 3.924913 -46.669584

1. Intersection point on T2; RintT1= 0.670788: XintT2= -0.346155

2. Intersection point on T2; RintT2= 0.524565: XintT2= -0.795707

ZreqT21 Value: real and imaginer part = 33.539409 -17.307746

ZreqT22 Value: real and imaginer part = 26.228249 -39.785342

GTreq cuts both T1 and T2

ZCGmax(-0.190557 -0.431087), ZCGmin(0.190557 -0.431087), Zct1(6.559167 -0.771222), Zct2(1.213456 -0.771222)

rs 0.518121, rt1 6.482698, rt2 0.689326

(abs(ZCGmax-Zct2) > (rs+rt2)) & ((rs+rt1) > abs(ZCGmax-Zct1)): Case c) T1 cuts CSSC

Zi\_1 Value: real and imaginer part = 6.026169 -0.837278

Zi\_2 Value: real and imaginer part = 3.864695 -43.730107

ZL\_1 Value: real and imaginer part = 320.866335 305.991235

ZL\_2 Value: real and imaginer part = 3.922880 16.521902

ZS\_1 Value: real and imaginer part = 15.469020 2.850111

ZS\_2 Value: real and imaginer part = 10.114137 43.549778

GTMAX Value (dB) = 17.227476

GTMIN Value (dB) = 0.000000

T1 Intersection:

Zreq1 Value: real and imaginer part = 6.615699 3.892596

Zreq2 Value: real and imaginer part = 3.924913 -46.669584

ZLreq1 Value: real and imaginer part = 69.718519 880.821820

ZLreq2 Value: real and imaginer part = 0.212322 15.582143

ZSreq11 Value: real and imaginer part = 16.894143 -1.418703

ZSreq12 Value: real and imaginer part = 16.894142 -1.418703

ZSreq21 Value: real and imaginer part = 10.266149 46.382455

ZSreq22 Value: real and imaginer part = 10.266153 46.382455

T2 Intersection:

Zreq1 Value: real and imaginer part = 33.539409 -17.307746

Zreq2 Value: real and imaginer part = 26.228249 -39.785342

ZLreq1 Value: real and imaginer part = 4.746323 -67.140317

ZLreq2 Value: real and imaginer part = 1.702768 -15.789829  
 ZSreq11 Value: real and imaginer part = 14.091207 7.592901  
 ZSreq12 Value: real and imaginer part = 14.091207 7.592901  
 ZSreq21 Value: real and imaginer part = 10.021000 40.183300  
 ZSreq22 Value: real and imaginer part = 10.021000 40.183300

Circuit Definition:

f(Hz): 1000000000.000000

---



---

Bu sonuçlar her frekans için bu şekilde verilmektedir. Bu bilgilerin özeti aşağıda verilmiş olduğundan burada verilmeyecektir.

---



---

### 6.2.2.3 Bölge-3'de Elde Edilen Çözümlerini İçeren Çıktı (out\_oth.txt):

---



---

Transistor: ne02135(VCE=10V, IC=5mA)

Terminations that give GTreq in Region-3:

\*\*\* 1. Given Values:

Required GT(dB) value: 5.000000

Required Vi value: 1.500000

Required F(dB) value: 4.500000

f(Hz): 500000000.000000

Calculation of many other points of Zi in Region-3; GTreq cuts T1 and T2

Zireq1 Value: real and imaginer part = 7.124059 3.922883

Zireq2 Value: real and imaginer part = 4.427187 -46.753654

ZLreq1 Value: real and imaginer part = 101.029430 1018.665742

ZLreq2 Value: real and imaginer part = 0.239270 14.957510

ZSreq11 Value: real and imaginer part = 18.470423 -5.609419

ZSreq12 Value: real and imaginer part = 15.637626 2.315911

ZSreq21 Value: real and imaginer part = 10.539792 49.802866

ZSreq22 Value: real and imaginer part = 10.100581 43.213913

---

Sunuçlar bu şekilde verilmektedir. Yer kaplaması nedeniyle ara bölge kesilmiştir.

---

**Zreq71 Value: real and imaginer part = 24.081712 -1.445747 (Uydurma Devresi için Seçildi)**

Zreq72 Value: real and imaginer part = 21.858855 -43.215133

**ZLreq1 Value: real and imaginer part = 15.352405 -192.637560**

ZLreq2 Value: real and imaginer part = 1.304135 -7.950703

**ZSreq11 Value: real and imaginer part = 27.783947 -24.154614**

ZSreq12 Value: real and imaginer part = 12.488883 14.343809

ZSreq21 Value: real and imaginer part = 11.065760 54.413076

ZSreq22 Value: real and imaginer part = 10.091270 34.153812

f(Hz): 1000000000.000000

Calculation of many other points of Zi in Region-3; GTreq cuts only T1

Zreq1 Value: real and imaginer part = 5.914338 6.781235

Zreq2 Value: real and imaginer part = 3.821937 -18.192287

**ZLreq1 Value: real and imaginer part = 34.112323 322.714726**

**ZLreq2 Value: real and imaginer part = 0.768095 19.655272**

**ZSreq11 Value: real and imaginer part = 15.410351 -7.764976**

**ZSreq12 Value: real and imaginer part = 12.250575 -1.097387**

**ZSreq21 Value: real and imaginer part = 8.803588 21.163803**

**ZSreq22 Value: real and imaginer part = 8.762308 15.178699**

---

Sunuçlar bu şekilde verilmektedir. Yer kaplaması nedeniyle ara bölge kesilmiştir.

---

**Zreq63 Value: real and imaginer part = 20.240513 -2.378787 (Uydurma Devresi İçin Seçildi)**

Zreq64 Value: real and imaginer part = 19.472619 -11.543870

**ZLreq1 Value: real and imaginer part = 15.463747 -80.202768**

**ZLreq2 Value: real and imaginer part = 6.340034 -29.178726**

**ZSreq11 Value: real and imaginer part = 24.394705 -19.450186**

**ZSreq12 Value: real and imaginer part = 9.218984 10.448660**

**ZSreq21 Value: real and imaginer part = 13.061479 -3.058818**

**ZSreq22 Value: real and imaginer part = 8.706312 18.866528**

f(Hz): 1500000000.000000

Calculation of many other points of Zi in Region-3; GTreq cuts only T1

Zireq1 Value: real and imaginer part = 5.969054 10.480147

Zireq2 Value: real and imaginer part = 3.247933 -6.262795

ZLreq1 Value: real and imaginer part = 29.720183 197.162584

ZLreq2 Value: real and imaginer part = 1.394293 26.974717

ZSreq11 Value: real and imaginer part = 15.235887 -8.228561

ZSreq12 Value: real and imaginer part = 10.475890 -3.982487

ZSreq21 Value: real and imaginer part = 7.461693 8.808243

ZSreq22 Value: real and imaginer part = 7.343609 3.602533

---

Sunuçlar bu şekilde verilmektedir. Yer kaplaması nedeniyle ara bölge kesilmiştir.

---

**Zireq51 Value: real and imaginer part = 16.714434 2.657455 (Uydurm Devresi İçin Seçildi)**

Zireq52 Value: real and imaginer part = 15.917573 -2.245593

ZLreq1 Value: real and imaginer part = 26.397544 -62.113348

ZLreq2 Value: real and imaginer part = 12.667900 -25.884037

ZSreq11 Value: real and imaginer part = 39.473484 9.250634

ZSreq12 Value: real and imaginer part = 7.379234 3.358671

ZSreq21 Value: real and imaginer part = 38.399008 12.531706

ZSreq22 Value: real and imaginer part = 7.583639 9.405109

f(Hz): 2000000000.000000

Calculation of many other points of Zi in Region-3; GTreq cuts only T1

Zireq1 Value: real and imaginer part = 5.128699 14.742329

Zireq2 Value: real and imaginer part = 3.684878 0.589843

ZLreq1 Value: real and imaginer part = 26.072928 144.813571

ZLreq2 Value: real and imaginer part = 2.570328 28.566034

ZSreq11 Value: real and imaginer part = 13.427023 -14.711042

ZSreq12 Value: real and imaginer part = 9.919123 -9.458010

ZSreq21 Value: real and imaginer part = 8.709002 2.027365

ZSreq22 Value: real and imaginer part = 8.380303 -3.561942

---

Sunuçlar bu şekilde verilmektedir. Yer kaplaması nedeniyle ara bölge kesilmiştir.

---

**Zireq43 Value: real and imaginer part = 14.650613 8.565073 (Uydurma Devresi İçin Seçildi)**

**Zireq44 Value: real and imaginer part = 14.258039 4.717022**

**ZLreq1 Value: real and imaginer part = 42.159440 -46.705890**

**ZLreq2 Value: real and imaginer part = 20.850529 -18.777862**

**ZSreq11 Value: real and imaginer part = 34.694251 -18.887117**

**ZSreq12 Value: real and imaginer part = 8.479262 0.716134**

**ZSreq21 Value: real and imaginer part = 24.417278 -20.367336**

**ZSreq22 Value: real and imaginer part = 10.483869 6.912039**

f(Hz): 2500000000.000000

Calculation of many other points of Zi in Region-3; GTreq cuts only T1

**Zireq1 Value: real and imaginer part = 4.255002 17.653392 (Uydurma Devresi İçin Seçildi)**

**Zireq2 Value: real and imaginer part = 3.160222 7.919544**

**ZLreq1 Value: real and imaginer part = 13.659414 87.540666**

**ZLreq2 Value: real and imaginer part = 3.209379 30.671513**

**ZSreq11 Value: real and imaginer part = 11.125449 -18.021869**

**ZSreq12 Value: real and imaginer part = 8.053076 -13.199124**

**ZSreq21 Value: real and imaginer part = 7.237888 -10.418740**

**ZSreq22 Value: real and imaginer part = 7.119194 -5.307117**

Sunuçlar bu şekilde verilmektedir. Yer kaplaması nedeniyle ara bölge kesilmiştir.

**Zireq37 Value: real and imaginer part = 12.430293 12.075513**

**Zireq38 Value: real and imaginer part = 12.370295 11.542065**

**ZLreq1 Value: real and imaginer part = 44.086392 -17.310860**

**ZLreq2 Value: real and imaginer part = 38.797152 -14.803898**

**ZSreq11 Value: real and imaginer part = 29.048135 -21.290944**

**ZSreq12 Value: real and imaginer part = 7.383241 -3.932841**

**ZSreq21 Value: real and imaginer part = 27.788552 -21.839150**

**ZSreq22 Value: real and imaginer part = 7.612779 -3.084030**

f(Hz): 3000000000.000000

Calculation of many other points of Zi in Region-3; GTreq cuts only T2

**Zireq1 Value: real and imaginer part = 10.851229 18.257430**

**Zireq2 Value: real and imaginer part = 11.025591 15.748488**

ZLreq1 Value: real and imaginer part = 66.486093 13.185500

ZLreq2 Value: real and imaginer part = 37.787100 3.143262

ZSreq11 Value: real and imaginer part = 20.620079 -29.585393

ZSreq12 Value: real and imaginer part = 4.579257 -21.475028

ZSreq21 Value: real and imaginer part = 23.924656 -5.879466

ZSreq22 Value: real and imaginer part = 4.879851 -11.744351

---

Sunuçlar bu şekilde verilmektedir. Yer kaplaması nedeniyle ara bölge kesilmiştir.

---

Zreq27 Value: real and imaginer part = 3.751635 20.490746

Zreq28 Value: real and imaginer part = 4.303168 12.554593 (Uydurma Devresi İçin Seçildi)

ZLreq1 Value: real and imaginer part = 9.129973 62.774531

ZLreq2 Value: real and imaginer part = 5.263143 26.771973

ZSreq11 Value: real and imaginer part = 6.248644 -24.638948

ZSreq12 Value: real and imaginer part = 3.790922 -16.719723

ZSreq21 Value: real and imaginer part = 7.483103 -7.854692

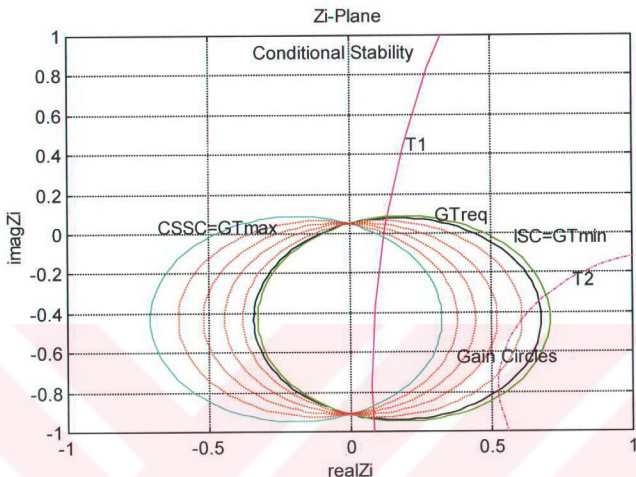
ZSreq22 Value: real and imaginer part = 3.795020 -16.563632

f(Hz): 3500000000.000000

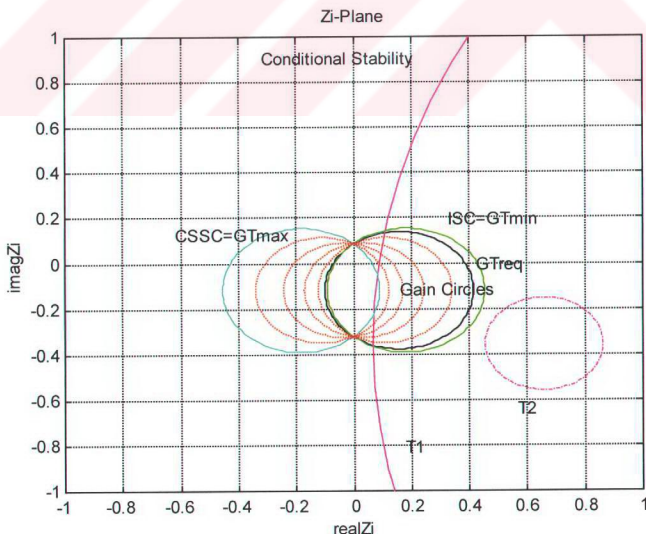
---

#### 6.2.2.4 Elde Edilen Daireler:

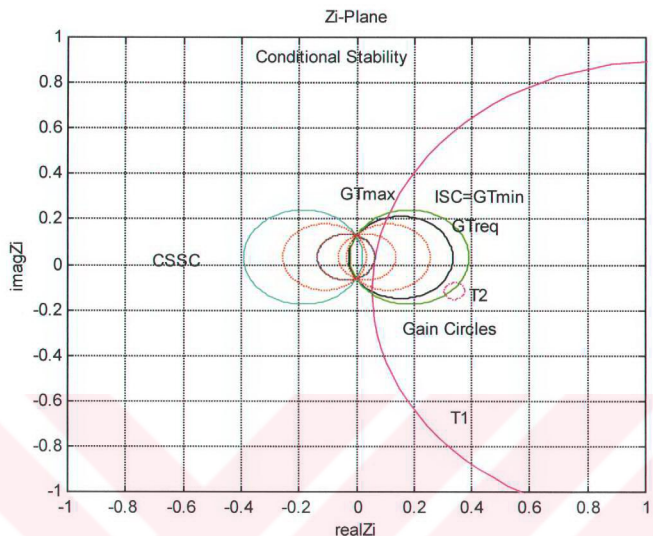
$f=0.5\text{GHz}$ : 



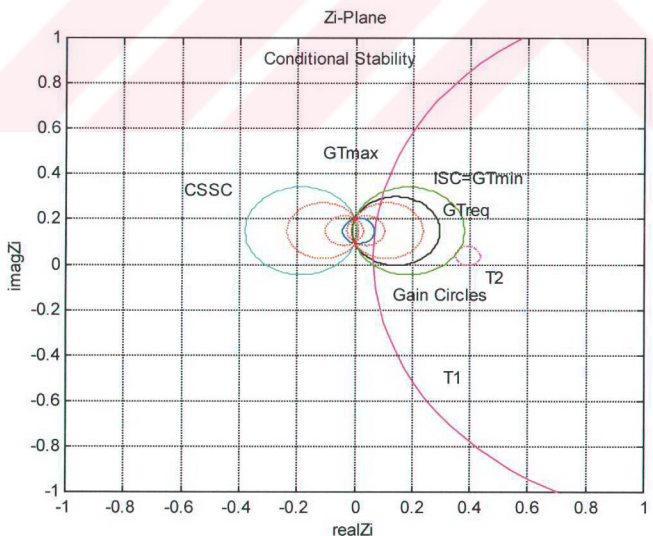
$f=1.0\text{GHz}$ :



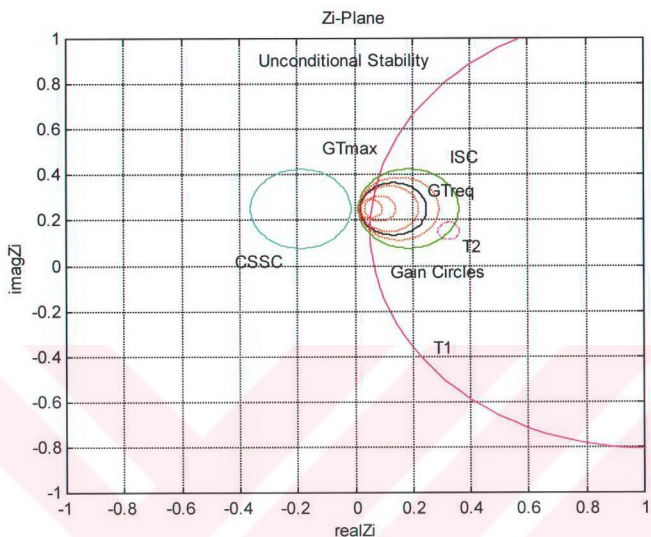
$f=1.5\text{GHz}$ :



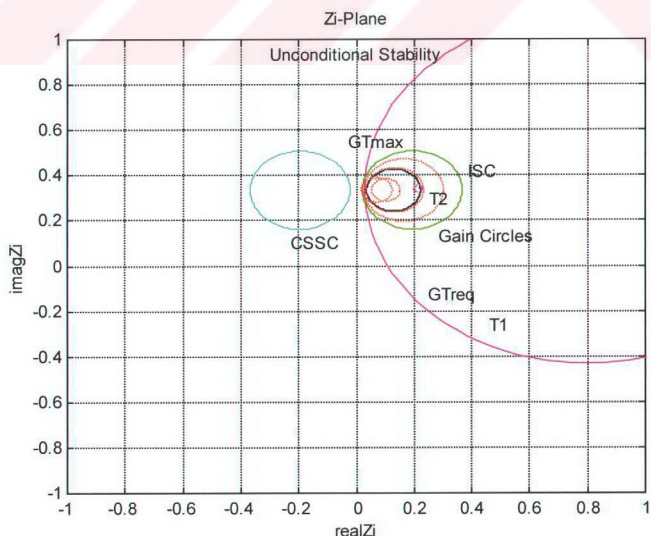
$f=2.0\text{GHz}$ :



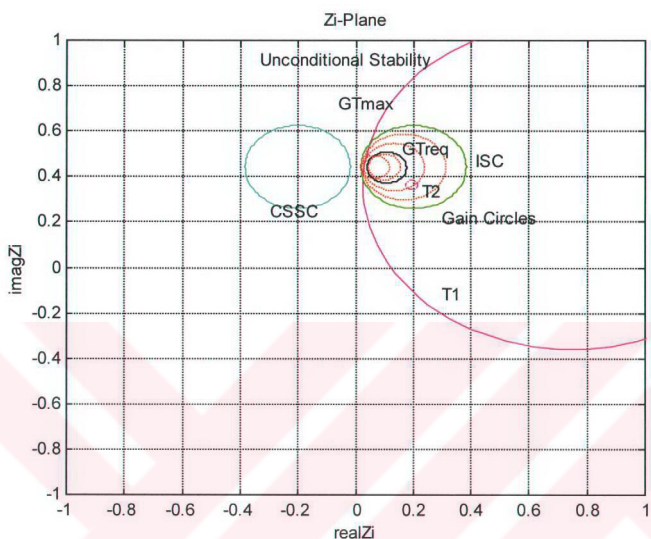
**f=2.5GHz:**



**f=3.0GHz:**



f=3.5GHz:



Şekil 6.2.1 Performans Analizi sonucunda farklı frekanslarda elde edilen daireler

### 6.2.2.5 Daire Kesimi̇mlerinin Özeti̇ni̇ İceren Dosya (out\_gra.txt)

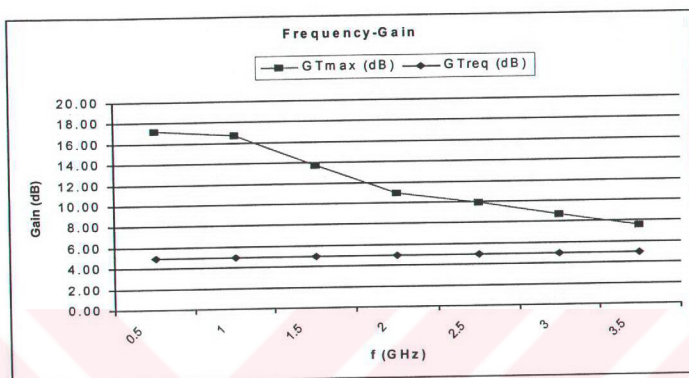
Transistor: nrf2135(VCE=10V, IC=5mA)

Terminations for GTmax and One of Intersection points on T1/T2 for GTreq:

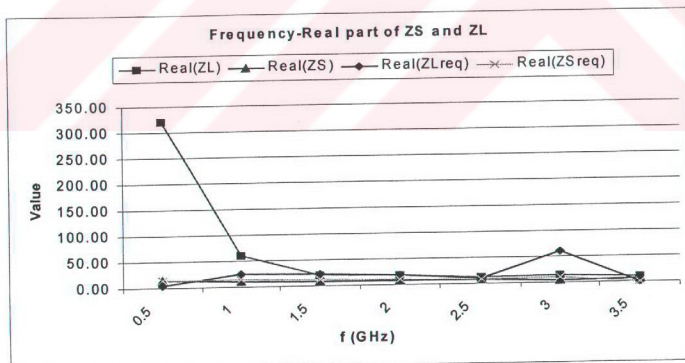
Vfreq Freq(dB) f(Hz)	GTmax (dB)	Real(ZL)	Imag(ZL)	Real(ZS)	Imag(ZS)	GTreq (dB)	Real(ZLreq)	Imag(ZLreq)	Real(ZSreq)	Imag(ZSreq)
1.5 4.5 500000000	17.227476	320.8663335	305.991235	15.469020	2.850111	5.0	4.746323	-67.140317	14.091207	7.592901
1.5 4.5 1000000000	16.763769	60.979805	70.888128	10.641943	3.709178	5.0	25.403403	292.694370	13.552993	-4.148073
1.5 4.5 1500000000	13.695068	21.349069	50.856277	8.162934	0.287619	5.0	22.154672	180.266629	12.254406	-5.978922
1.5 4.5 2000000000	10.974713	19.223872	52.197121	8.824480	-6.241251	5.0	19.708291	134.673635	11.191721	-11.836818
1.5 4.5 2500000000	9.917921	12.873285	47.504815	8.532260	-14.277272	5.0	10.248204	82.090248	9.062400	-15.263588
1.5 4.5 3000000000	8.709726	13.844097	41.187592	4.729928	-12.103118	5.0	59.395393	8.003166	10.476311	-28.428138
1.5 4.5 3500000000	7.550878	11.020453	37.850643	6.754926	-26.667687	5.0	NaN	NaN	NaN	NaN

### 6.2.2.6 Frekans-Kazanç ve ZL,ZS Değişimi

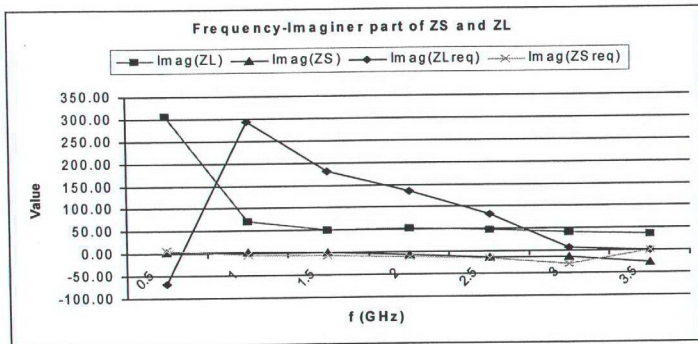
Bu verileri grafiksel olarak ifade edersek aşağıdaki durum elde edilir.



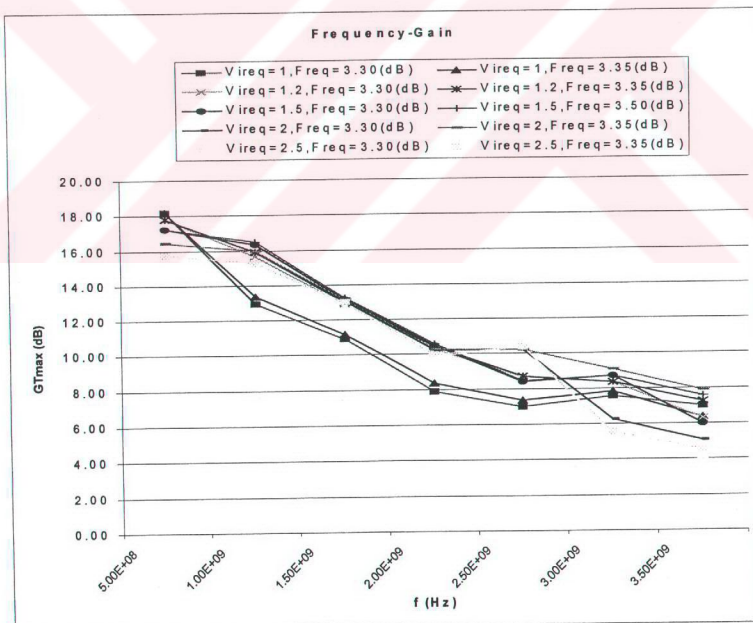
Şekil 6.2.2 Vreq=1.5, Freq=4.5 dB için maksimum Kazanç-Frekans değişimi



Şekil 6.2.3 Vreq=1.5, Freq=4.5 dB için Frekans-Re{ZL/ZS} değişimi



Şekil 6.2.4  $V_{ireq}=1.5$ ,  $Freq=4.5$  dB için Frekans- $\text{Im}\{ZL/ZS\}$  değişimi

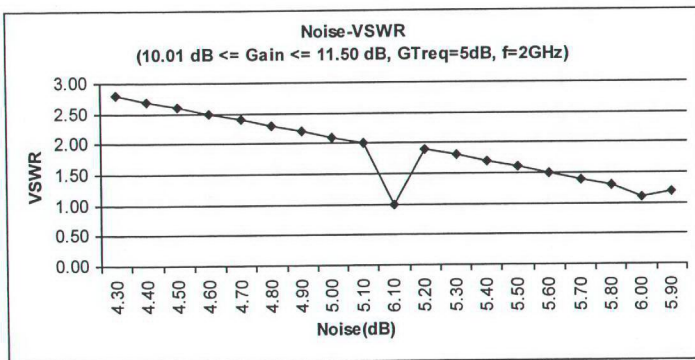


Şekil 6.2.5 Çeşitli  $V_{ireq}$  ve  $Freq$ 'a yönelik maksimum kazanç değişimi

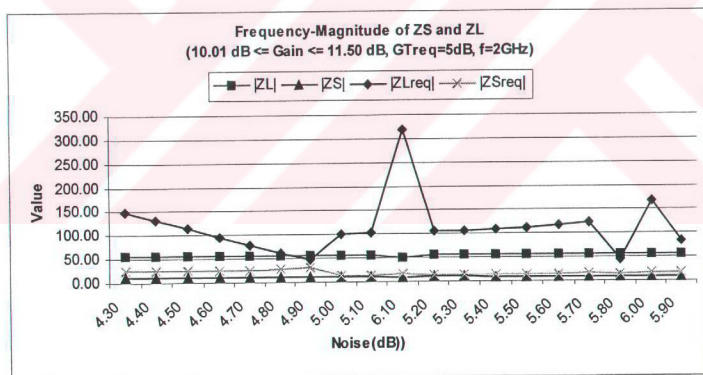
### 6.2.2.7 Kazanç-VSWR-Gürültü Değişimleri

Çizelge 6.2.1 f=2GHz için Kazanç-VSWR-Gürültü değişimleri

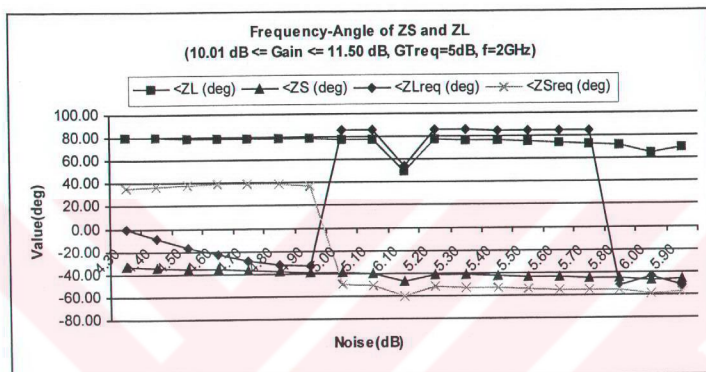
Vireq	Freq	f	Gtmax	Real	Imag	Real	Imag	Gtreq	Real	Imag	Real	Imag
		(Hz)	(dB)	(ZL)	(ZL)	(ZS)	(ZS)	(dB)	(ZLreq)	(ZLreq)	(ZSreq)	(ZSreq)
2.80	4.30	2.00E+09	10.01	10.13	55.81	9.25	-6.13	5.00	147.09	-1.36	19.53	14.25
2.70	4.40	2.00E+09	10.11	10.27	55.77	9.04	-6.19	5.00	129.73	-20.88	19.47	14.74
2.60	4.50	2.00E+09	10.21	10.42	55.73	8.82	-6.24	5.00	109.05	-32.87	19.52	15.28
2.50	4.60	2.00E+09	10.30	10.59	55.68	8.62	-6.29	5.00	88.35	-37.83	19.78	15.91
2.40	4.70	2.00E+09	10.41	10.80	55.63	8.42	-6.34	5.00	69.55	-37.38	20.39	16.68
2.30	4.80	2.00E+09	10.51	11.03	55.56	8.23	-6.38	5.00	53.23	-33.06	21.73	17.71
2.20	4.90	2.00E+09	10.61	11.29	55.49	8.05	-6.42	5.00	38.65	-25.35	25.14	19.15
2.10	5.00	2.00E+09	10.71	11.60	55.39	7.87	-6.46	5.00	7.59	101.65	9.49	-11.25
2.00	5.10	2.00E+09	10.81	11.96	55.28	7.69	-6.50	5.00	7.84	103.20	9.33	-11.43
1.00	6.10	2.00E+09	10.88	33.56	38.92	6.18	-6.78	5.00	187.29	258.95	8.96	-15.30
1.90	5.20	2.00E+09	10.92	12.38	55.15	7.52	-6.53	5.00	8.16	104.99	9.19	-11.62
1.80	5.30	2.00E+09	11.02	12.87	54.99	7.36	-6.56	5.00	8.58	107.10	9.05	-11.81
1.70	5.40	2.00E+09	11.12	13.45	54.78	7.20	-6.60	5.00	9.12	109.63	8.92	-12.02
1.60	5.50	2.00E+09	11.21	14.16	54.53	7.04	-6.63	5.00	9.85	112.72	8.81	-12.25
1.50	5.60	2.00E+09	11.31	15.03	54.19	6.89	-6.66	5.00	10.87	116.62	8.70	-12.50
1.40	5.70	2.00E+09	11.39	16.13	53.72	6.74	-6.68	5.00	12.36	121.73	8.62	-12.78
1.30	5.80	2.00E+09	11.46	17.58	53.05	6.60	-6.71	5.00	28.66	-35.87	7.82	-11.29
1.10	6.00	2.00E+09	11.47	22.88	49.93	6.32	-6.76	5.00	120.67	-117.39	9.32	-15.56
1.20	5.90	2.00E+09	11.50	19.62	51.98	6.45	-6.73	5.00	51.54	-66.96	8.94	-14.37



Şekil 6.2.6 Çeşitli Vireq ve Freq'a yönelik maksimum kazancın sınırlı kalması durumu



Şekil 6.2.7 Maksimum kazancın sınırlı kalması durumunda sonlandırmaların genlikleri



Şekil 6.2.8 Maksimum kazancın sınırlı kalması durumunda sonlandırmaların açıları

### 6.2.2.8 Gürültü-VSWR-Kazanç Değişimleri

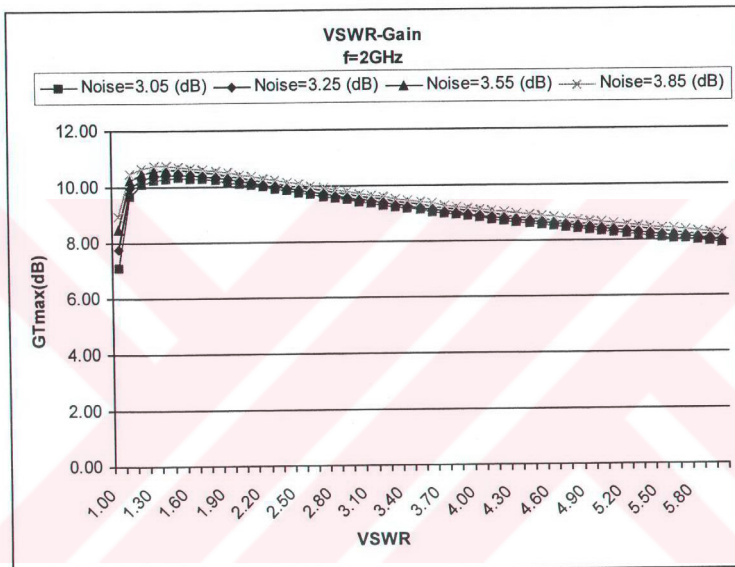
Freq=3.05 dB iken elde edilen Gürültü-VSWR-Kazanç değişimleri aşağıda verilmiştir.

Çizelge 6.2.2 Freq=3.05 dB için Gürültü-VSWR-Kazanç değişimleri

Vfreq	Freq	f	Gtmax	Real	Imag	Real	Imag	Gtreq	Real	Imag	Real	Imag
	(dB)	(Hz)	(dB)	(ZL)	(ZL)	(ZS)	(ZS)	(dB)	(ZLreq)	(ZLreq)	(ZSreq)	(ZSreq)
1.00	3.05	2.00E+09	7.10	26.66	-12.86	13.05	-4.95	5.00	32.97	-51.78	15.51	-8.55
1.10	3.05	2.00E+09	9.68	39.90	20.68	13.05	-4.95	5.00	245.26	-121.28	16.42	-9.25
1.20	3.05	2.00E+09	10.07	37.20	31.92	13.05	-4.95	5.00	341.20	131.29	16.26	-9.15
1.30	3.05	2.00E+09	10.23	33.96	38.30	13.05	-4.95	5.00	192.49	226.14	16.09	-9.02
1.40	3.05	2.00E+09	10.30	31.03	42.39	13.05	-4.95	5.00	32.67	-38.63	22.30	7.04
1.50	3.05	2.00E+09	10.31	28.50	45.20	13.05	-4.95	5.00	48.03	-52.47	20.97	7.07
1.60	3.05	2.00E+09	10.30	26.35	47.23	13.05	-4.95	5.00	67.39	-63.72	20.45	7.03
1.70	3.05	2.00E+09	10.27	24.49	48.75	13.05	-4.95	5.00	91.98	-71.25	20.21	7.00
1.80	3.05	2.00E+09	10.22	22.89	49.93	13.05	-4.95	5.00	121.86	-72.23	20.12	6.99
1.90	3.05	2.00E+09	10.17	21.50	50.86	13.05	-4.95	5.00	154.91	-62.97	20.10	6.99
2.00	3.05	2.00E+09	10.11	20.27	51.60	13.05	-4.95	5.00	185.97	-40.89	20.13	6.99
2.10	3.05	2.00E+09	10.04	19.19	52.22	13.05	-4.95	5.00	207.95	-7.31	20.18	7.00
2.20	3.05	2.00E+09	9.98	18.23	52.73	13.05	-4.95	5.00	215.79	31.56	20.25	7.01
2.30	3.05	2.00E+09	9.91	17.36	53.15	13.05	-4.95	5.00	209.73	67.83	20.34	7.02
2.40	3.05	2.00E+09	9.84	16.58	53.52	13.05	-4.95	5.00	194.32	96.36	20.43	7.03
2.50	3.05	2.00E+09	9.77	15.88	53.83	13.05	-4.95	5.00	174.86	115.99	20.52	7.04
2.60	3.05	2.00E+09	9.71	15.24	54.10	13.05	-4.95	5.00	155.09	128.06	20.62	7.05
2.70	3.05	2.00E+09	9.64	14.66	54.33	13.05	-4.95	5.00	136.95	134.60	20.72	7.06
2.80	3.05	2.00E+09	9.57	14.12	54.54	13.05	-4.95	5.00	121.10	137.45	20.82	7.06
2.90	3.05	2.00E+09	9.50	13.63	54.72	13.05	-4.95	5.00	107.60	137.95	20.92	7.07
3.00	3.05	2.00E+09	9.44	13.17	54.88	13.05	-4.95	5.00	96.19	137.02	21.02	7.07
3.10	3.05	2.00E+09	9.37	12.75	55.03	13.05	-4.95	5.00	86.59	135.25	21.12	7.08
3.20	3.05	2.00E+09	9.31	12.36	55.16	13.05	-4.95	5.00	78.47	133.01	21.22	7.08
3.30	3.05	2.00E+09	9.25	11.99	55.27	13.05	-4.95	5.00	71.58	130.55	21.31	7.08
3.40	3.05	2.00E+09	9.18	11.65	55.38	13.05	-4.95	5.00	65.69	127.99	21.41	7.08
3.50	3.05	2.00E+09	9.12	11.33	55.47	13.05	-4.95	5.00	60.63	125.44	21.50	7.08
3.60	3.05	2.00E+09	9.06	11.03	55.56	13.05	-4.95	5.00	56.25	122.95	21.60	7.08

3.70	3.05	2.00E+09	9.00	10.75	55.64	13.05	-4.95	5.00	52.43	120.54	21.69	7.08
3.80	3.05	2.00E+09	8.95	10.49	55.71	13.05	-4.95	5.00	49.09	118.23	21.78	7.08
3.90	3.05	2.00E+09	8.89	10.24	55.78	13.05	-4.95	5.00	46.14	116.03	21.87	7.07
4.00	3.05	2.00E+09	8.83	10.00	55.84	13.05	-4.95	5.00	43.52	113.94	21.95	7.07
4.10	3.05	2.00E+09	8.78	9.78	55.90	13.05	-4.95	5.00	41.19	111.95	22.04	7.06
4.20	3.05	2.00E+09	8.73	9.57	55.95	13.05	-4.95	5.00	39.10	110.07	22.12	7.06
4.30	3.05	2.00E+09	8.67	9.37	56.00	13.05	-4.95	5.00	37.22	108.28	22.21	7.05
4.40	3.05	2.00E+09	8.62	9.18	56.04	13.05	-4.95	5.00	35.52	106.59	22.29	7.04
4.50	3.05	2.00E+09	8.57	9.00	56.09	13.05	-4.95	5.00	33.98	104.98	22.37	7.03
4.60	3.05	2.00E+09	8.52	8.83	56.13	13.05	-4.95	5.00	32.57	103.46	22.45	7.03
4.70	3.05	2.00E+09	8.47	8.66	56.16	13.05	-4.95	5.00	31.28	102.01	22.53	7.02
4.80	3.05	2.00E+09	8.42	8.50	56.20	13.05	-4.95	5.00	30.10	100.63	22.60	7.01
4.90	3.05	2.00E+09	8.38	8.35	56.23	13.05	-4.95	5.00	29.02	99.31	22.68	7.00
5.00	3.05	2.00E+09	8.33	8.21	56.26	13.05	-4.95	5.00	28.01	98.06	22.76	6.99
5.10	3.05	2.00E+09	8.28	8.07	56.29	13.05	-4.95	5.00	27.08	96.86	22.83	6.97
5.20	3.05	2.00E+09	8.24	7.94	56.32	13.05	-4.95	5.00	26.22	95.71	22.90	6.96
5.30	3.05	2.00E+09	8.19	7.81	56.34	13.05	-4.95	5.00	25.42	94.62	22.97	6.95
5.40	3.05	2.00E+09	8.15	7.69	56.36	13.05	-4.95	5.00	24.67	93.56	23.04	6.94
5.50	3.05	2.00E+09	8.11	7.58	56.39	13.05	-4.95	5.00	23.97	92.56	23.11	6.92
5.60	3.05	2.00E+09	8.07	7.46	56.41	13.05	-4.95	5.00	23.31	91.59	23.18	6.91
5.70	3.05	2.00E+09	8.03	7.36	56.43	13.05	-4.95	5.00	22.70	90.66	23.25	6.90
5.80	3.05	2.00E+09	7.99	7.25	56.45	13.05	-4.95	5.00	22.12	89.76	23.32	6.88
5.90	3.05	2.00E+09	7.95	7.15	56.47	13.05	-4.95	5.00	21.57	88.90	23.38	6.87
6.00	3.05	2.00E+09	7.91	7.05	56.48	13.05	-4.95	5.00	21.05	88.06	23.45	6.85

Bu durumun grafiksel ifadesi diğer gürültü değerlerindeki değişimlerde göz önüne alındığında aşağıdaki şekilde olmaktadır.



Şekil 6.2.9  $f=2GHz$  için Gürültü-VSWR-Kazanç değişimleri

### 6.2.2.9 VSWR-Gürültü-Kazanç Değişimleri

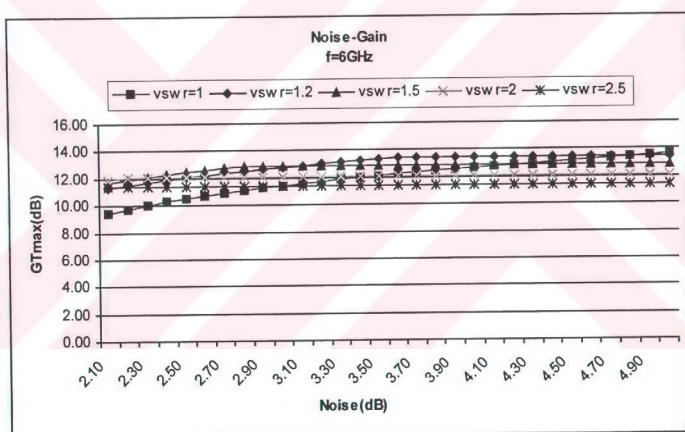
Vireq=1 iken elde edilen VSWR-Gürültü-Kazanç değişimleri aşağıda verilmiştir.

Çizelge 6.2.3 Vireq=1 için VSWR-Gürültü-Kazanç değişimleri

Vireq	Freq	f(Hz)	Gtmax	Real	Imag	Real	Imag	Gtreq	Real	Imag	Real	Imag
		(dB)	(dB)	(ZL)	(ZL)	(ZS)	(ZS)	(dB)	(ZLreq)	(ZLreq)	(ZSreq)	(ZSreq)
1.00	2.10	6.00E+09	9.43	46.22	16.98	11.62	19.61	5.00	26.38	101.21	19.27	9.64
1.00	2.20	6.00E+09	9.77	41.87	19.80	10.92	19.26	5.00	20.96	95.06	18.60	8.48
1.00	2.30	6.00E+09	10.06	38.27	21.85	10.29	18.98	5.00	17.22	90.14	17.89	7.51
1.00	2.40	6.00E+09	10.31	35.25	23.39	9.72	18.73	5.00	14.50	86.13	17.16	6.69
1.00	2.50	6.00E+09	10.54	32.67	24.58	9.20	18.52	5.00	12.45	82.79	16.44	6.00
1.00	2.60	6.00E+09	10.75	30.46	25.51	8.72	18.34	5.00	10.86	79.96	15.73	5.42
1.00	2.70	6.00E+09	10.94	28.54	26.26	8.29	18.19	5.00	9.59	77.54	15.04	4.94
1.00	2.80	6.00E+09	11.11	26.86	26.87	7.88	18.05	5.00	8.55	75.43	14.38	4.54
1.00	2.90	6.00E+09	11.28	25.38	27.38	7.51	17.93	5.00	7.69	73.58	13.75	4.20
1.00	3.00	6.00E+09	11.43	24.06	27.80	7.16	17.83	5.00	6.97	71.95	13.14	3.92
1.00	3.10	6.00E+09	11.58	22.87	28.16	6.84	17.74	5.00	6.35	70.49	12.56	3.69
1.00	3.20	6.00E+09	11.72	21.81	28.47	6.54	17.65	5.00	5.82	69.18	12.01	3.51
1.00	3.30	6.00E+09	11.85	20.84	28.73	6.26	17.58	5.00	5.36	68.00	11.49	3.36
1.00	3.40	6.00E+09	11.98	19.97	28.96	5.99	17.52	5.00	4.96	66.92	10.99	3.23
1.00	3.50	6.00E+09	12.10	19.17	29.16	5.75	17.46	5.00	4.61	65.94	10.53	3.14
1.00	3.60	6.00E+09	12.22	18.43	29.33	5.51	17.40	5.00	4.29	65.04	10.08	3.07
1.00	3.70	6.00E+09	12.34	17.76	29.49	5.29	17.36	5.00	4.01	64.21	9.66	3.01
1.00	3.80	6.00E+09	12.45	17.14	29.62	5.09	17.31	5.00	3.75	63.44	9.26	2.98
1.00	3.90	6.00E+09	12.56	16.56	29.74	4.89	17.27	5.00	3.52	62.73	8.88	2.95
1.00	4.00	6.00E+09	12.67	16.03	29.85	4.71	17.24	5.00	3.32	62.07	8.52	2.94
1.00	4.10	6.00E+09	12.77	15.53	29.95	4.53	17.21	5.00	3.13	61.45	8.18	2.94
1.00	4.20	6.00E+09	12.88	15.07	30.04	4.36	17.18	5.00	2.96	60.87	7.86	2.95
1.00	4.30	6.00E+09	12.98	14.64	30.12	4.21	17.15	5.00	2.80	60.33	7.55	2.97
1.00	4.40	6.00E+09	13.08	14.23	30.20	4.06	17.13	5.00	2.65	59.83	7.26	2.99
1.00	4.50	6.00E+09	13.18	13.85	30.26	3.91	17.10	5.00	2.52	59.35	6.98	3.01
1.00	4.60	6.00E+09	13.27	13.50	30.32	3.78	17.08	5.00	2.39	58.90	6.72	3.05

1.00	4.70	6.00E+09	13.37	13.16	30.38	3.65	17.06	5.00	2.28	58.47	6.47	3.08
1.00	4.80	6.00E+09	13.47	12.84	30.43	3.52	17.04	5.00	2.17	58.07	6.23	3.12
1.00	4.90	6.00E+09	13.56	12.54	30.48	3.41	17.03	5.00	2.07	57.69	6.00	3.16
1.00	5.00	6.00E+09	13.66	12.26	30.52	3.29	17.01	5.00	1.98	57.33	5.79	3.21

Bu durumun grafiksel ifadesi diğer VSWR değerlerindeki değişimlerde göz önüne alındığında aşağıdaki şekilde olmaktadır.



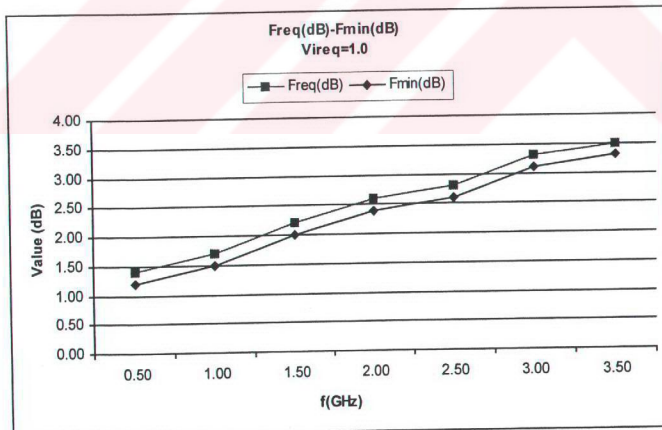
Şekil 6.2.10 f=6GHz için VSWR-Gürültü- Kazanç değişimleri

### 6.2.2.10 Gürültünün Minimum Gürültüyü İzlemi Durumundaki Değişimler

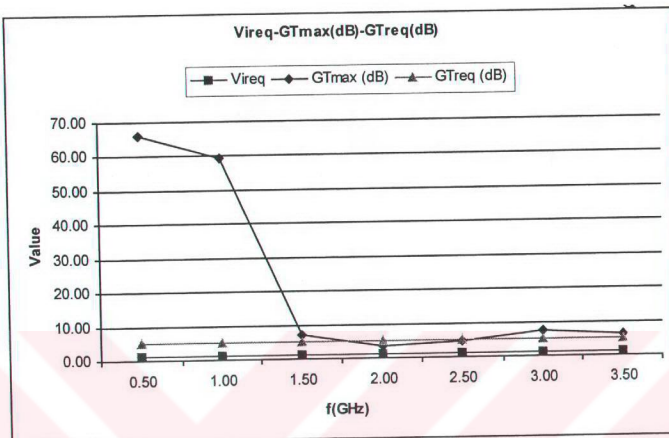
Aşağıda  $\text{Freq}=\text{Fmin}+\Delta f$  olması durumundaki değişimler görülmektedir.

Çizelge 6.2.4  $\text{Vireq}=1$  için  $\text{Freq}=\text{Fmin}+\Delta f$  değişimleri

Vireq	Freq	f	Gtmax	Real	Imag	Real	Imag	Gtreq	Real	Imag	Real	Imag
	(dB)	(GHz)	(dB)	(ZL)	(ZL)	(ZS)	(ZS)	(dB)	(ZLreq)	(ZLreq)	(ZSreq)	(ZSreq)
1.00	1.40	0.50	66.02	NaN	NaN	NaN	NaN	5.00	NaN	NaN	NaN	NaN
1.00	1.70	1.00	59.33	NaN	NaN	NaN	NaN	5.00	NaN	NaN	NaN	NaN
1.00	2.20	1.50	6.93	12.50	-15.09	14.36	3.63	5.00	10.26	-27.98	16.50	2.24
1.00	2.60	2.00	3.63	11.09	-21.45	15.74	-3.84	5.00	NaN	NaN	NaN	NaN
1.00	2.80	2.50	4.82	20.59	-13.25	13.03	-9.45	5.00	NaN	NaN	NaN	NaN
1.00	3.30	3.00	7.55	29.80	33.86	7.31	-16.80	5.00	110.96	61.89	10.56	-21.03
1.00	3.50	3.50	6.38	18.93	25.80	7.05	-20.54	5.00	43.62	9.15	11.05	-22.31



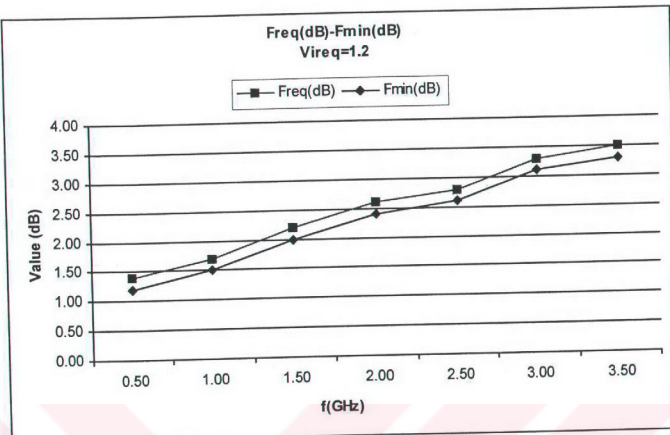
Şekil 6.2.11  $\text{Vireq}=1$  için  $\text{Freq}-\text{Fmin}$  değişimi



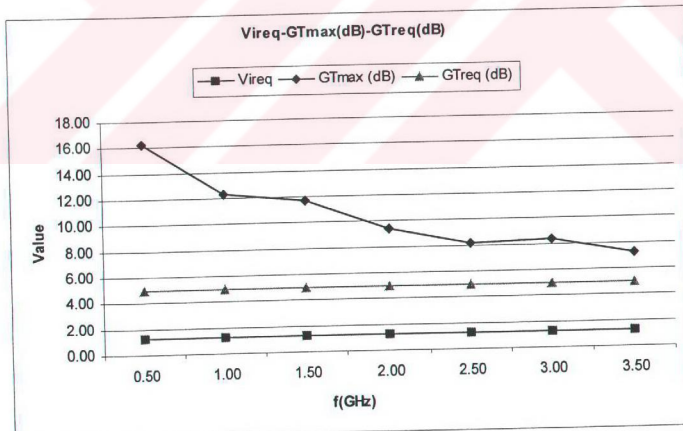
Şekil 6.2.12 Vireq=1 için Freq=Fmin'e karşılık gelen Kazanç değişimleri

Çizelge 6.2.5 Vireq=1.2 için Freq=Fmin+DeltaF değişimleri

Vireq	Freq	f	Gtmax	Real	Imag	Real(ZL)	Imag(ZL)	Real(ZS)	Imag(ZS)	GTreq	Real(ZLreq)	Imag(ZLreq)	Real(ZSreq)	Imag(ZSreq)
(dB)	(GHz)		(dB)	(ZL)	(ZL)	(ZS)	(ZS)	(ZS)	(ZS)	(dB)	(ZLreq)	(ZLreq)	(ZSreq)	(ZSreq)
1.20	1.40	0.50	16.28	31.99	-22.91	36.15	31.61	5.00	8.05	-126.11	44.05	22.56		
1.20	1.70	1.00	12.29	33.26	-17.55	24.44	13.26	5.00	23.74	-128.44	28.26	9.48		
1.20	2.20	1.50	11.74	37.36	18.50	14.36	3.63	5.00	17.97	-49.38	15.78	9.20		
1.20	2.60	2.00	9.39	40.02	18.95	15.74	-3.84	5.00	26.92	-36.00	21.61	2.63		
1.20	2.80	2.50	8.17	31.61	29.93	13.03	-9.45	5.00	39.59	-23.81	17.61	-3.45		
1.20	3.30	3.00	8.35	13.84	41.19	7.80	-15.02	5.00	93.54	19.85	8.98	-13.66		
1.20	3.50	3.50	7.25	11.02	37.85	7.64	-21.21	5.00	23.83	13.15	8.49	-14.34		



Şekil 6.2.13 Vireq=1.2 için Freq-Fmin değişimi



Şekil 6.2.14 Vireq=1.2 için Freq-Fmin'e karşılık gelen Kazanç değişimleri

### 6.2.3 Empedans Verisi Uydurma Sonuçları

Önceki kısımlarda bulunan empedans verileri ile uydurma devrelerini gerçekleştirmek üzere (Bazan Tolga, 2000) ve (Güneş Filiz, Yarman B. Siddik, 1999) tarafından yapılan çalışma sonuçları aşağıda verilmiştir. Aynı analiz Bölüm 6.1'de de yapıldığından burada açıklamalara girmeden geçilecektir.

Çalışma Bandı: 0.5-3 GHz, GTreq=5 dB, Vireq=1.5, Freq=4.5 dB

Daha önceki kısımda bulunmuş olan verilerden bazıları aşağıda tablo halinde gösterilmiştir.

**Çizelge 6.2.6 Uydurma Devresi için kullanılan eleman değerleri**

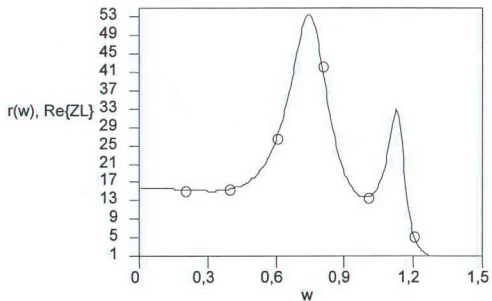
Frekans (GHz)	$Z_L$ (Reel - İmajiner)	$Z_S$ (Reel - İmajiner)
0.5	15.352-192.245j	27.783-24.15j
1	15.463-80.20j	24.394-19.45j
1.5	26.397-62.11j	39.478+9.25j
2	42.159-46.7j	34.69-18.88j
2.5	13.659+87.54j	8.05-13.199j
3	5.26+26.7719j	7.483-7.8549j

$R_0=1$ ,  $w_0=2\pi f_{max}/1.2=15.7e9$  alınarak 4. Bölümdeki formüllerle elemanların gerçek değerleri F, H, Ohm olarak bulunabilir.

**ZL Analizi:** Minimum reaktans fonksiyonunun reel kısmı aşağıdaki şekildedir.

$$r(w) := \frac{1.25257}{.0808961 - 3.741410^3 \cdot w^2 + .773991w^4 - 6.73569w^6 + 14.8442w^8 - 12.4472w^{10} + 3.57922w^{12}}$$

$r(w)$ 'nın  $w$  ile değişimi sürekli eğri ile aşağıda gösterilmektedir.

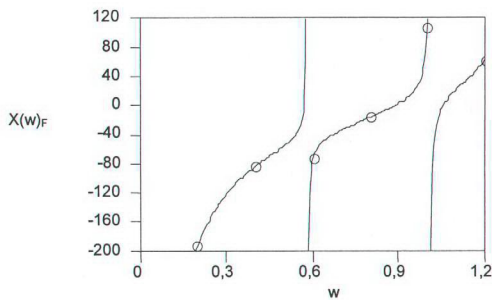
Şekil 6.2.15  $r(w)/\text{Re}\{\text{ZL}\}$ -w değişimi

Minimum reaktans fonksiyonunun reel kısmı yardımıyla Gewertz Prosedürü kullanılarak minimum reaktans fonksiyonunun kendisi kolaylıkla elde edilir.

$$z(s)_{\text{MR}} = \frac{4.404 + 19.26s + 41.995s^2 + 58.696s^3 + 35.275s^4 + 32.653s^5}{.28442 + 1.21662s + 2.60864s^2 + 3.50573s^3 + 4.39364s^4 + 2.04384s^5 + 1.89188s^6}$$

$$z(w)_{\text{MR}} = \frac{(4.404 + 19.26iw - 41.995w^2 - 58.696iw^3 + 35.275w^4 + 32.653iw^5)}{(.28442 + 1.21662iw - 2.60864w^2 - 3.50573iw^3 + 4.39364w^4 + 2.04384iw^5 - 1.89188w^6)}$$

Sırada Foster fonksiyonunu bulmak var.  $x_F(w_i) = X_D(w_i) - x_{\text{MR}}(w_i)$  eşitliğinden gidilerek Foster fonksiyonu bulunur.

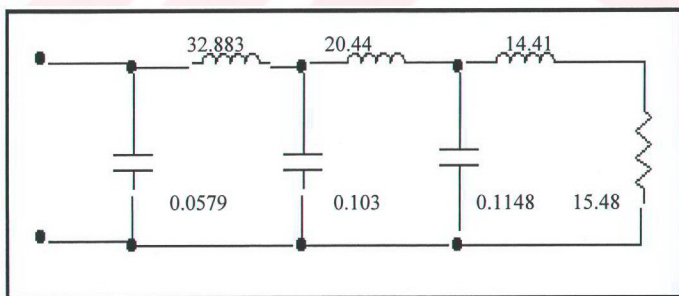


Şekil 6.2.16 ZL için Foster verileri-w değişimi

$$X(w)_F = \frac{39.9807}{w} + 5.24808w + \frac{1.18159w}{(0.58^2 - w^2)} + \frac{1.93229w}{(1.01^2 - w^2)} + \frac{51.0013w}{(1.442^2 - w^2)}$$

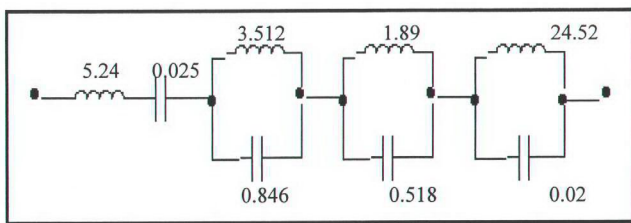
Sonuç olarak minimum reaktans fonksiyonunun ve Foster fonksiyonunun toplamı bize giriş empedansını verir. Devreyi çizerken Foster ve minimum reaktans fonksiyonunu ayrı ayrı çizmek ve sentez etmek bize kolaylık sağlayacaktır.

Aşağıda minimum reaktans fonksiyonunun devresi vardır



Şekil 6.2.17 ZL için minimum reaktans fonksiyonunun devresi

Aşağıda Foster Fonksiyonunun devresi görülmektedir.

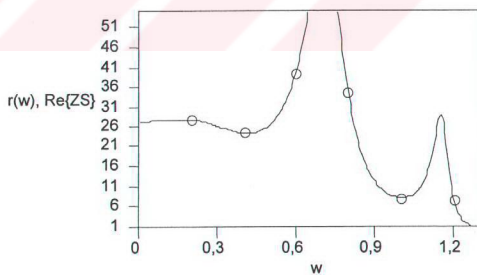


Şekil 6.2.18 ZL için Foster Fonksiyonunun devresi

**ZS Analizi:** Minimum reaktans fonksiyonunun reel kısmı aşağıdaki şekildeki şekildedir

$$r(w) := \frac{4.40717}{.161944 - .317141w^2 + 7.32084w^4 - 39.6625w^6 + 77.2838w^8 - 61.0326w^{10} + 16.7928w^{12}}$$

$r(w)$ 'nın  $w$  ile değişimi aşağıdaki sürekli eğri şeklindedir.



Şekil 6.2.19  $r(w)/\text{Re}\{ZS\}$ - $w$  değişimi

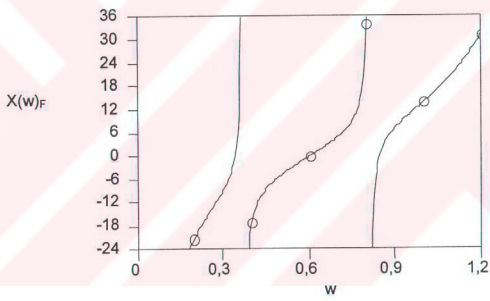
Minimum reaktans fonksiyonunun reel kısmı yardımcıla Gewertz Prosedürü kullanılarak minimum reaktans fonksiyonunun kendisi kolaylıkla elde edilir.

$$z(s) = \frac{10.952 + 48.021s + 94.318s^2 + 155.433s^3 + 74.175s^4 + 88.721s^5}{.40242 + 1.84878s + 4.64081s^2 + 5.77745s^3 + 8.87896s^4 + 3.42602s^5 + 4.0979s^6}$$

$$z(w) = \frac{(10.952 + 48.021iw - 94.318w^2 - 155.433iw^3 + 74.175w^4 + 88.721iw^5)}{(.40242 + 1.84878iw - 4.64081w^2 - 5.77745iw^3 + 8.87896w^4 + 3.42602iw^5 - 4.0979w^6)}$$

$x_F(w_i) = X_D(w_i) - x_{MR}(w_i)$  eşitliğinden gidilerek Foster fonksiyonu bulunur.

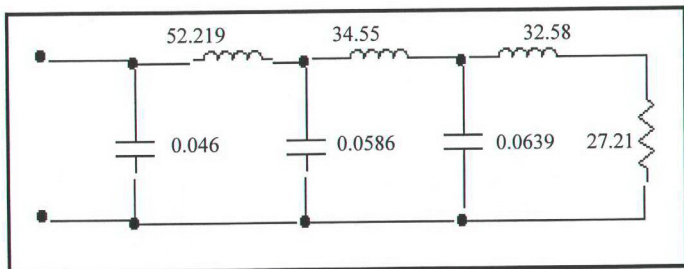
$$X(w)_F = \frac{-5.05837}{w} + \frac{.574429w}{.371^2 - w^2} + \frac{.559366w}{.81^2 - w^2} + \frac{29.7553w}{1.55^2 - w^2}$$



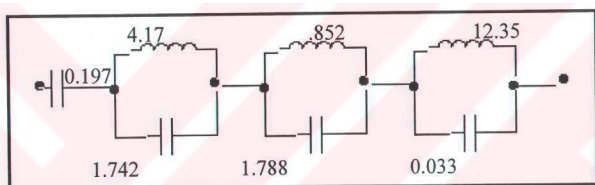
Şekil 6.2.20 ZS için Foster verileri-w değişimi

Sonuç olarak minimum reaktans fonksiyonunun ve Foster fonksiyonunun toplamı bize giriş empedansını verir. Devreyi çizerken Foster ve minimum reaktans fonksiyonunu ayrı ayrı çizmek ve sentez etmek bize kolaylık sağlayacaktır.

Aşağıda minimum reaktans fonksiyonunun devresi vardır



Şekil 6.2.21 ZS için minimum reaktans fonksiyonunun devresi



Şekil 6.2.22 ZS için Foster Fonksiyonunun devresi

## SONUÇLAR ve ÖNERİLER

Yapılan bu doktora tez çalışmasında, bir mikrodalga transistörün Yapay Sinir Ağrı (YSA) ile performans analiz ve giriş/çıkış uydurman devrelerinin tasarımasına yönelik yeni bir yöntem sunulmuştur. Dolayısıyla bu tez; YSA, performans analizi ve uydurma devre tasarımları olmak üzere üç ana bölümden oluşmuştur.

Aktif devre elemanı (transistor) üretici verileriyle, YSA optimum sürede eğitilmektedir. Yapay sinir ağları eğitildikten sonra, klasik kestirim yöntemleri yerine kullanılarak, istenilen veriler kolay bir şekilde ve hızla elde edilebilmektedir. Böylelikle önerilen YSA modeli, optimizasyon prosedürü esnasında elemanın fizik denklemlerinin tekrar tekrar çözülmesini gerektirmeyecək ve klasik optimizasyon tekniklerinin ortak sorunu olan "başlangıç değer kestirimi" problemini ortadan kaldırarak tercih edilir duruma gelmektedir. Modelleme esnasında bir döngü içerisinde defalarca optimizasyona ihtiyaç duyulduğu düşünüldüğünde, önerilen yöntemin başarısı kolaylıkla ortaya çıkmaktadır.

Önerilen modelde, herhangi bir mikrodalga transistörün S ve gürültü parametreleri yapay sinir ağları çıkışları, frekans, kutuplama akımı ve gerilimi ile konfigürasyon tipi yapay sinir ağları girişini oluşturmaktadır. Böylelikle YSA, frekans, kutuplama ve konfigürasyon tipi parametreleriyle, S ve gürültü parametreleri arasında bir eşleşme yaratarak; elemanın denklemleri çözülmeden optimizasyon işlemlerini yapma olanağı sağlanmaktadır. Bu çalışmada, YSA üretici tarafından verilmeyen gürültü parametrelerini kestirebilmek için kullanılmıştır.

Transistörün performans analizinde kullanılan ve GÜNEŞ metoduna dayanan optimizasyon problemi,  $F_{req} - F(R_S, X_S) = 0$  ve  $V_{req} - V_i(R_S, X_S, R_L, X_L) = 0$  olmak üzere ( $G_{T\max}$ , maksimum kazanç ve  $G_{Treq}$  istenilen kazanç),  $G_{T\max} - G_T(R_S, X_S, R_L, X_L) = 0$  ve ayrıca  $G_{Treq} - G_T(R_S, X_S, R_L, X_L) = 0$  olacak şekilde iki ayrı durum için kararlı bölgede kalmak koşuluyla mümkün tüm  $Z_S = R_S + jX_S$  ve  $Z_L = R_L + jX_L$  kompleks sonlandırmalarını geometrikSEL ve matematikSEL olarak belirlemek şeklinde ifade edilebilir. Bu durumda bu işlemler sonucunda;  $\{F_{req}, V_{req}, G_{T\max}[f, V_{CE}, I_C]\} \Leftrightarrow Z_{L\max}[f, V_{CE}, I_C]$ ,  $Z_{S\max}[f, V_{CE}, I_C]$  ve  $\{F_{req}, V_{req}, G_{T\min} \leq G_{Treq} \leq G_{T\max}[f, V_{CE}, I_C]\} \Leftrightarrow Z_{Lreq}[f, V_{CE}, I_C]$ ,  $Z_{Sreq}[f, V_{CE}, I_C]$  fonksiyonlarına ulaşılmış olacaktır. Burada  $f$ ; frekansı ve  $V_{CE}$  ile  $I_C$  (veya  $V_{DS}$  ile  $I_{DS}$ ) kutuplama noktasını dolayısıyla transistörün gürültü ve S-parametrelerini ifade etmektedir.

Bu tür yüksek dereceli polinomların içерildiği optimizasyon problemlerin çözümüne yönelik

bir takım yöntemler literatürde sıkça yer almaktadır ancak tanımladığımız problemin hem reel hem de imajiner kısma sahip olması ve ayrıca çok hesaplama zamanına ihtiyaç duymaları önerilen geometriksel yöntemi daha avantajlı duruma getirmektedir. Bunun yanında bu tezde tüm çözümler hem analitik hem'de geometriksel olarak ifade edilmişlerdir. Kullanılan yöntem adımları ilgili bölümlerde açıklanmıştır.

Performans analizi sonucunda elde edilen sonlandırmalara ilişkin giriş/çıkış uydurma devrelerin tasarımasına yönelik birçok yöntem kullanılmıştır. Biz burada önceki bölümlerde açıklanan empedans yaklaşımı yöntemini kullandık. Bu yöntemde veriler, pozitif reel bir  $z(s)$  empedans fonksiyonu ile modellendiği zaman bu  $z(s)$  empedans fonksiyonu sentez edilebilir olmaktadır. Ölçülen verilerdeki reel ve sanal kısımları ayrı ayrı modellemek, Emпедans Yaklaşımı ile Modelleme yöntemimizin esasını oluşturur. Reel ve sanal kısımları ayrı ayrı modellemek için, uygulanan empedans yaklaşımına ilişkin adımlar önceki bölümlerde anlatılmıştır.

Bir mikrodalga transistörün YSA ile performans analizi ve modellenmesi konusunda ilk defa bu tezde ortaya konulan noktalar aşağıda sıralanmıştır.

- Transistörün, klasik küçük-işaret eşdeğer devresi yerine YSA eşdeğeriyle, çalışma koşullarının (kofigürasyon tipi (CT), kutuplama akımı ( $I_C$ ) ve gerilimi ( $V_{CE}$ ), frekans ( $f$ )) fonksiyonu olarak davranışının anında tayini ve bunun uygulamada kullanılması.
- $F_{req} \geq F_{min}$ ,  $V_{req} \geq 1$  ve  $G_{T\min} \leq G_{Treq} \leq G_{T\max}$  koşulları altında herhangi bir  $(F_{req}, V_{req}, G_{Treq})$  uyumlu performans üçlüsü ile birlikte,  $G_{T\max}$ 'ye karşılık gelen  $Z_{L\max} = Z_L = R_L + jX_L$ ,  $Z_{S\max} = Z_S = R_S + jX_S$  ve  $G_{Treq}$ 'a karşılık gelen  $Z_{Lreq} = R_{Lreq} + jX_{Lreq}$ ,  $Z_{Sreq} = R_{Sreq} + jX_{Sreq}$  sonlandırmalarının, transistörün çalışma koşullarının (kofigürasyon tipi (CT), kutuplama akımı ( $I$ ) ve gerilimi ( $V$ ), frekans ( $f$ )) fonksiyonu olarak tayin edilip hesaplanması.
- Uyumlu performans üçlüsünü gerçekleyen kararlı bölgelerde istenilen adım aralığıyla mümkün tüm sonlandırmaların sistematik olarak tayin edilip hesaplanması.
- Bulunan sonlandırmaların sistematik bir yöntemle (empedans parametreleri yaklaşımı) giriş/çıkış uydurma devreleri tasarımda kullanılması.
- Bir mikrodalga transistörün için YSA, performans analizi ve giriş/çıkış uydurma devrelerinin elde edilmesi şeklinde bir blok yapının Aktif Mikrodalga devre sentezinde

kullanılmak üzere sunulması.

Tüm çalışmalar bilgisayar programlarıyla yapılmıştır ve programlarla çıktıları ilgili bölümlerde verilmiştir.

Bölüm 6 incelendiğinde ne02135c( $V_{CE}=10V$ ,  $I_C=20mA$ ) ve ne02135( $V_{CE}=10V$ ,  $I_C=5mA$ ) transistorları için yapılan analiz sonuçları görülecektir. Burada transistorlara yönelik YSA çıktıları, performans analiz sonuçları (çalışma aralığı, kararlı bölgeler, gerekli sonlandırmalar,...) verilmiş ve elde edilen sonlandırmalara yönelik uydurma devreleri çizilmiştir.

Bundan sonra yapılacak çalışmalarda, yaratılacak yeniliklerle YSA'nın eğitim sürecini kısaltma ve hatasını azaltma yönünde adımlar atmaya çalışılabilir. Bunun yanında çeşitli veri modelleme yöntemleri geliştirilerek veya kullanılarak daha geniş bant genişliğinde uydurma devreleri tasarılanması hedeflenebilir.

## KAYNAKLAR

Arthur E. Bryons, Jr. Mu-Chi-Ho, (1975) "Applied Optimal Control Optimization, Estimation and Control", Hemisphere Publishing Corporation.

Bandler John, Shauhuacher W., (1998) "Circuit Optimization: The State of the Art, "IEEE Trans.. Microwave Theory Tech, Vol.36. No.2, pp. 424-443.

Bazan Tolga, (2000) "Veri Modellenmesi: Emпеданс Yaklaşımı Modeli ve Performans Karelteristikleri", YTÜ Bitirme Tezi, 2000 (Danışman: Prof. Dr. Filiz Güneş).

Björn Albinson, (1990) "On Microwave Low Noise Feedback Amplifiers and Control Circuits", Gothenburg.

Blaavw, Gerrit A. ve Brodes, Frederic P. "Computer Architecture Concepts and Evolution" Addison Wesley, California.

Carlin H.J. and Yarman S.B., (1983) "The Double Matching Problem Analytic and Real Frequency Solution", IEEE Trans. Circuits and Systems, Vol. CAS-30, No.1, pp.15-28.

Cichocki, A ve Unbehauen R., (1993) "Neural Networks for Optimization and Signal Processing", John Wiley & Sons, New York.

Dobrowolski Janusz A., (1991) "Introduction to Computer Methods for Microwave Circuit Analysis and Design", Artech House, Boston London.

Güneş F., Çetiner B.A., (1998) "Smith chart formulation of performance characterisation for a microwave transistor", IEE Proc. Circuits Devices Syst. Vol.145 No. December 1998.

Güneş Filiz, Güneş M., Fidan M., (1994) "Performance characterization of a microwave transistor", IEE proc- Circuit Devices Syst. Vol.141, No.5, pp.337-344.

Güneş Filiz, Yarman B. Siddik (1999) "Potential BroadBand Characteristics of a Microwave Transistor and Realisation Conditions", submitted to Piers-2000.

Güneş Macit, (1980) "The Design of Low-Noise Microwave Bipolar Transistor Amplifiers", Ph.D Thesis University of Bradford.

Güneş, F., Gürgen, F., Torpi, H., (1996) "Signal-Noise Neural Network Model for Active Microwave Devices", IEE Circuits Devices Systems Vol.143, No.1. pp.227-234.

Hykin Simon, (1994) "Neural Networks, A Comprehensive Foundation", Macmillan Collage

Publishing, New York.

Kenneth W. Cattermale, (1985) "Mathematical Foundations for Communication Engineering", Pentech Press, London.

Kenneth W. Cattermule, Sohn & O'Reilly, (1984) "Optimization Methods in Electronics and Communications", Pentech Press, London.

Kılınç Ali, (1995) "Özgün Veri Modelleme Yöntemleri: Empehdans ve Saçılma Parametreli Yaklaşımlar", Ph.D Thesis in İÜ (Danışman: Prof. Dr. B. Sıddık Yarman).

McCard Marilyn Nelson and Illigworth W. T., (1991) "A Practical Guide to Neural Nets", Addison-Wesley Publishing Company.

Stephen A. Maas, (1988) "Nonlinear Microwave Circuits", Artech House.

Tepe Cemal, (1991) "Bikuadratik Alt Devrelerin Bilgisayar Yardımıyla Parametre ve Duyarlık Analizi", İTÜ Elektronik ve Haberleşme Bölümü, Bitirme Tezi (Danışman: Prof. Dr. Ali Nur Gönüleren).

Tepe Cemal, (1994) "Numerik Analiz Yöntemleri ve Programlama", İTÜ Fen Bilimleri Enstitüsü, Elektronik ve Haberleşme Bölümü, Master Tezi (Danışman: Prof. Dr. Ali Nur Gönüleren).

Thrun Sebastian, (1996) "Explanation-Based Neural Network Learning", Kluwer Academic Publishers, Boston.

Torpi Hamid, (1997) "Mikrodalga Transistörlerinin Yapay Sinir Ağları Eşdeğerleri", YTÜ Doktora Tezi (Danışman: Prof. Dr. Filiz Güneş).

Veluswami Anand, Nakhla Michel S. and Zhang Qi-Jul, (1997) "The Application of Neural Networks to EM Based Simulation and Optimization of Interconnects. in High-Speed VLSI Circuits. "IEEE Trans. Microwave Theory Tech, Vol.45, No.5, pp.713-723.

Wang Fang, Zhang Qi-Jun, (1997) "Knowledge-Based Neural Models For Microwave Design", IEEE Trans. Microwave Theory Tech, Vol.43, No.12, pp. 233-2343.

Werbos, P. John, (1994) "The Roots of Back-propagation", John Wiley & Sons. Inc. New York.

Yarman S.B., Akşen A., (1992) "An Integrated Design Tool to Construct Lossless Matching Network with Mixed Lumped and Distributed Elements", IEEE Trans. on Circuits and Syst.-

I: Fundamental Theory and Applications, Vol.39, No.9, pp.713-723.

Yarman S.B., Feltuvies A., (1990) "Computer-Aided Double Matching via Parametric Representation of Brune Functions", IEEE Trans. Circuits and Systems, Vol. 37, No.2, pp.212-222.

Zaabab A. Hafid, Zhong Qi-Jun, Nakhla Michel S., (1995) "Device and Circuit - Level Modeling Using Neural Networks with Faster Training Based on Network Sparsity", IEEE Trans. Microwave Theory Tech, Vol.43, No.6, pp. 1349-1358.

Zaabab A.Hafid, Zhang Qi-Jun, Nakhla Michel, (1995) "A Neural Network Modeling Approach to Circuit Optimization and Statistical Design", IEEE Trans. Microwave Theory Tech, Vol.43, No.6, pp. 1349-1358.

## EKLER

- Ek 1      Yapay Sinir Ağı Programı (nnpsn.pas)
- Ek 2      Performans Analizi Programı (PerAna.m)



**Ek 1 Yapay Sinir Ağrı Programı****(nnpsn.pas)**

```
 {*****
  /*
  * File: nnpsn.pas
  *
  * Compiler: Turbo Pascal 6.0
  *
  * Description: Neural Network Program to estimate
  * S and Noise parameters of a Transistor
  *
  * Created: Cemal Tepe 1998 Ph.D. Thesis
  *
  * Version: 1.0
  *
  * Notes:
  */
*****}

```

```
PROGRAM Multi_Layer_NN;
{$N+}
uses crt, printer, Dos;
CONST
  Layers_Max = 3;    { Maximum number of layers }
  Nodes_Max = 15;    { Maximum number of node in any layer }
  Outputs_Max = 10;   { Number of input combinations (the line number in input.dat) }
  Input_Nodes = 4;    { Number of input layer nodes }
  Output_Nodes = 12;   { Number of output layer nodes }
  Hidden_Nodes = 12;   { Number of hidden layer nodes }
  Epsilon = 0.5;     { Learning Rate; nu }
  Alpha = 0.1;
  Iterative_Max = 100000; { Maximum iteration number }
  Every = 50000; { After every iteration print results }

  Degree = 360; { !!! do not change this value; normalization for angle }
```

```
TYPE
  adizi = array [ 0..outputs_Max-1 ] of real;
```

```
VAR
  j:longint;
  f:adizi;
  count:longint;
  samplecount,i,ii,tt,isylla, num,dcount:byte;
  fmax,fmin,step,eps, alp, err, error, terr, terror, total_rate: double;
  Layers, Inputs, Outputs : byte;
```

```
Node : array [0..Layers_Max-1] of integer;
```

```

matrix          : array [0..Outputs_Max-1, 0..(Input_Nodes+Output_Nodes-1)] of double;
matrix_tmp: array [0..trunc(Iterative_Max/Every), 0..Outputs_Max-1,
                  0..(Input_Nodes+Output_Nodes-1)] of double;
matrix_tmp_out: array [0..trunc(Iterative_Max/Every), 0..Outputs_Max-1,
                      0..(Input_Nodes+Output_Nodes-1)] of double;

des  : double;
out   : array [0..Layers_Max-1, 0..Nodes_Max-1] of double;
der   : array [0..Layers_Max-1, 0..Nodes_Max-1] of double;
theta  : array [0..Layers_Max-1, 0..Nodes_Max-1] of double;
dtheta : array [0..Layers_Max-1, 0..Nodes_Max-1] of double;
weight : array [0..Layers_Max-1, 0..Nodes_Max-1, 0..Nodes_Max-1] of double;
dweight : array [0..Layers_Max-1, 0..Nodes_Max-1, 0..Nodes_Max-1] of double;
dess  : array [0..Outputs_Max-1,0..output_nodes-1] of double;
dessout : array [0..Outputs_Max-1,0..output_nodes-1] of double;
dessin : array [0..Outputs_Max-1,0..input_nodes-1] of double;
desstest: array [0..Outputs_Max-1,0..input_nodes-1] of double;

st1: string[7]; st5,st6: string[6];
d,st2, st3, st4: string[12];
idatafile,datafile,graphfile,outfile,outfile_t:text;
weightfile:text;
tercih,tercih_test:char;
beta:real;
ad,hiz:string[8];
TransistorName :string[100];
pass:char;
gettime_h, gettime_m, gettime_s, gettime_hund : Word;
S21max,Fminmax:real;

{ CT: Used by gettime }
Function LeadingZero(time_w : Word) : String;
var
  time_s : String;
begin
  Str(time_w:0,time_s);
  if Length(time_s) = 1 then
    time_s := '0' + time_s;
  LeadingZero := time_s;
end;

Procedure KARTEZYEN_TO_POLAR(a1,b1:real;var gk3,ak3:real);
var
  t:real;
begin
  t := b1/a1;
  gk3 := sqrt(sqr(a1)+sqr(b1));
  if a1<=0 then
    begin
      if b1=0 then ak3 := 180;
      if b1<0 then

```

```

begin
  if a1=0 then ak3 := -90
    else ak3 := 180+arctan(t)*180/pi;
  end;
  if b1>0 then
    begin
      if a1=0 then ak3 := 90
        else ak3 := 180+arctan(t)*180/pi;
    end;
  end
else ak3 := arctan(t)*180/pi;
end;

```

```

{ Reading Normalization Values }
Procedure READ_NORMALIZE;
var
ndosya:text;
k,l:integer;
sreal;
begin
Assign(ndosya,'c:\cemal\phd\thesis\yeni-tez\nnpas\norm.dat');
reset(ndosya);

read(ndosya,num); { number of line in input.dat }
read(ndosya,S21max);
readln(ndosya,Fminmax);
readln(ndosya,TransistorName);

close(ndosya);
end;

```

```

{ CT: hedef_belle_yeni }
Procedure HEDEF_BELLE_YENI;
var
odosya:text;
k,l:integer;
s:real;
begin
Assign(odosya,'c:\cemal\phd\thesis\yeni-tez\nnpas\desired.dat');
reset(odosya);
for k:=0 to outputs_max-1 do
  for l:= 0 to output_nodes-1 do
    begin
      read(odosya,s);
      dess[k,l]:=s;
    end;
close(odosya);

{ CT: Normalization }

```

```

for k:=0 to outputs_max-1 do
  for l:= 0 to output_nodes-1 do
    begin
      case (l) of
        1,3,5,7,10:begin { degrees }
          if dess[k,l] < 0 then
            begin
              dess[k,l]:=dess[k,l]+Degree;
              dess[k,l]:=dess[k,l]/Degree;
            end
          else
            begin
              dess[k,l]:=dess[k,l]/Degree;
            end;
          end;
        2:dess[k,l]:=dess[k,l]/S21max;
        8:dess[k,l]:=dess[k,l]/Fminmax;
      end;
    end;
  end;

{Reading test data; f(GHz) VCE(V) IC(mA) CT (CT=0.1 --> CE, CT=0.9 --> CC) }

Procedure READ_TEST;
var
tdosya:text;
k,l:integer;
s:real;
begin
Assign(tdosya,'c:\cemal\phd\thesis\yeni-tez\nnpas\input_t.dat');
reset(tdosya);
for k:=0 to Outputs_max-1 do
  for l:= 0 to input_nodes-1 do
    begin
      read(tdosya,s);
      desstest[k,l]:=s;
    end;
  close(tdosya);
end;

{Reading input data for learning; f(GHz) VCE(V) IC(mA) CT (CT=0.1 --> CE, CT=0.9 --> CC) }

Procedure READ_INPUT;
var
idosya:text;
k,l:integer;
s:real;
begin
Assign(idosya,'c:\cemal\phd\thesis\yeni-tez\nnpas\input.dat');
reset(idosya);
for k:=0 to Outputs_max-1 do
  for l:= 0 to input_nodes-1 do
    begin

```

```

    read(idosya,s);
    dessin[k,l]:=s;
  end;
close(idosya);
end;

Procedure WRAND;
{ Initializes node offsets & weights at the beginning of the program }
var
  li, ni, ni_end, no, no_end : integer;
  drand48, power: double;
begin
  { Randomize offsets }
  for li:=1 to Layers_Max-1 do
  begin
    ni_end:=node[li];
    for ni:=0 to ni_end-1 do
    begin
      drand48:=Random(30)/100;
      theta[li,ni]:= drand48;
      dtheta[li,ni]:=0;
    end;
  end;

  { Randomize weights }
  for li:=Layers_Max-1 downto 1 do
  begin
    ni_end:=node[li];
    no_end:=node[li-1];
    for ni:=0 to ni_end-1 do
      for no:=0 to no_end-1 do
      begin
        drand48:=Random(31)/100;
        weight[li,ni,no]:=drand48;
        dweight[li,ni,no]:=0;
      end;
    end;
  end; { procedure WRAND }

Procedure INITIAL;
{ sets zero the output of each node before every iteration }
VAR
  l, n, n_end: integer;
begin
  for l:= 1 to Layers-1 do {Dikkat l:=0 idi}
  begin
    n_end:= node[l];
    for n:= 0 to n_end-1 do
      out[l,n]:= 0;
  end;
end;

```

```

end; { procedure INITIAL }

Procedure YREAD_TEST ( isylla: integer );
{ read input pattern ( for several different input combination ) }
{ f(GHz) VCE(V) IC(mA) CT (CT=0.1 --> CE, CT=0.9 --> CC) }
var
l:integer;
begin
for l:= 0 to input_nodes-1 do
begin
  out[0,l]:=desstest[isylla,l];
end;
end;

```

```

Procedure YREAD ( isylla: integer );
{ read input pattern ( for several different input combination ) }
{ f(GHz) VCE(V) IC(mA) CT (CT=0.1 --> CE, CT=0.9 --> CC) }
var
l:integer;
begin
for l:= 0 to input_nodes-1 do
begin
  out[0,l]:=dessin[isylla,l];
end;
end; { procedure YREAD }

```

Function SIGMOID ( x: extended ): extended;

```

{ sigmoid function }
var
  y: extended;
begin
  Beta:=1;
  if x >= 50000 then y:=1
    else
    begin
      if x <= -50000 then y:=0
        else y:=1/(1+exp(-beta*(x)));
    end;
  sigmoid:=y;
end; { function SIGMOID }

```

```

{ CT: ****
FUNCTION TANHiper ( x: double ): double;

```

```

var
  y: double;
begin
  Beta:=1;

```

```

if x >= 1000000000 then y:=1
else
begin
  if x <= -1000000000 then y:=-1
  else y:=(exp(beta*(x))-exp(-beta*(x)))/(exp(beta*(x))+exp(-beta*(x)));
end;
tanhiper:=y;
end;
***** }
{ function TANHIPER }

{ *****
FUNCTION SIGMOID ( x: double ): double;

sigmoid function
var
  y: double;
begin
  y:=1/(1+exp(-(x)));
  sigmoid:=y;
end;  function SIGMOID
***** }

Procedure WFORWARD ;
{ wforward propagation }
var
  li, ni, ni_end, no, no_end: integer;
  x, th: double;
begin
  for li:=1 to Layers-1 do
  begin
    ni_end:= node[li];
    no_end:= node[li-1];
    for ni:= 0 to ni_end-1 do
    begin
      x:= 0;
      for no:= 0 to no_end-1 do
        x:= x + weight[li,ni,no] * out[li-1,no];
      out[li,ni]:= sigmoid( x-theta[li,ni] );
    end;
  end;
end; { procedure FORWARD }

Function BACK: double;
{ back propagation }
var
  li, ni, ni_end, no, no_end: integer;
  e, err, x, d, w, y: double;
begin
  err:=0;
  for ni:=0 to outputs-1 do
  begin

```

```

y:= out[2,ni];
des:=dess[isylla,ni];
e:= des - y;
der[2,ni]:= e*y*(1-y);
err:=err+ e*e;
end;
for li:=2 downto 1 do
begin
  no_end:= node[li-1];
  ni_end:= node[li];
  for no:= 0 to no_end-1 do
  begin
    x:= 0;
    y:= out[li-1,no];
    for ni:= 0 to ni_end-1 do
    begin
      d:= der[li,ni];
      w:= weight[li,ni,no];
      x:= x + d*w;
    end;
    der[li-1,no]:=y*(1-y)*x;
  end;
end;
back:= 0.5*err;
end; { function BACK }

```

```

Procedure LEARNING (alp, eps: double );
{ update offsets & weights }
var
  li, lo, ni, ni_end, no, no_end: integer;
  di, yo, ew, et: double;
begin
  for li:= 1 to layers-1 do
  begin
    ni_end:= node[li];
    for ni:= 0 to ni_end-1 do
    begin
      et:= der[li,ni];
      dtheta[li,ni]:= -eps*et + alp*dtheta[li,ni];
      theta[li,ni]:= theta[li,ni] + dtheta[li,ni];
    end;
  end;
  for li:=1 to layers-1 do
  begin
    lo:= li-1;
    ni_end:= node[li];
    no_end:= node[lo];
    for ni:= 0 to ni_end-1 do
    begin
      di:= der[li,ni];
      for no:= 0 to no_end-1 do
      begin

```

```

    yo:= out[lo,no];
    ew:= di*yo;
    dweight[li,ni,no]:= eps*ew + alp*dweight[li,ni,no];
    weight[li,ni,no]:= weight[li,ni,no] + dweight[li,ni,no];
    end;
end;
end;
end;
end; { procedure LEARNING }

```

```

Procedure MAKE_MATRIX( it, isylla: integer );
var
  i,j: integer;
begin
  for i:= 0 to inputs-1 do
    matrix_tmp[it,isylla,i]:= out[0,i];
  for i:= 0 to outputs-1 do
    matrix_tmp[it,isylla,inputs+i]:= out[Layers_Max-1,i];
end; { procedure MAKE_MATRIX }

```

```

Procedure READ_WEIGHTS;
var
  data:string[100];
  li,ni,no,no_end,ni_end: byte;
begin
  assign(weightfile,'c:\cemal\phd\thesis\yeni-tez\nnppas\weight.txt');
  reset(weightfile);
  readln(weightfile,data);
  readln(weightfile,data);
  for li:=Layers_Max-1 downto 1 do
  begin
    ni_end:=node[li];
    no_end:=node[li-1];
    for no:=0 to no_end-1 do
      begin
        for ni:=0 to ni_end-1 do
          begin
            read(weightfile,weight[li,ni,no]);
            read(weightfile,dweight[li,ni,no]);{dweight[li,ni,no]:=0;}
          end;
        end;
      end;
    for li:=1 to layers-1 do
    begin
      ni_end:=node[li];
      for ni:=0 to ni_end-1 do
        begin
          readln(weightfile,theta[li,ni]);
          readln(weightfile,dtheta[li,ni]);
        end;
      end;
    end;
  end;

```

```

read(weightfile,alp);read(weightfile,eps);
close(weightfile);
end;

Procedure WRITE_WEIGHTS;
var
  li,ni,no,no_end,ni_end:byte;
begin
  assign(weightfile,'weight.txt');
  rewrite(weightfile);
  writeln(weightfile,d,' Weights and offsets.',j,' iteration ');
  writeln(weightfile,' Total error ',terror,'.');
  for li:=Layers_Max-1 downto 1 do
  begin
    ni_end:=node[li];
    no_end:=node[li-1];
    for no:=0 to no_end-1 do
      begin
        for ni:=0 to ni_end-1 do
          begin
            write(weightfile,',',weight[li,ni,no]);
            write(weightfile,',',dweight[li,ni,no]);
          end;
        writeln(weightfile,' ');
      end;
    end;
    for li:=1 to layers-1 do
    begin
      ni_end:=node[li];
      for ni:=0 to ni_end-1 do
        begin
          writeln(weightfile,theta[li,ni]);
          writeln(weightfile,dtheta[li,ni]);
        end;
      end;
    writeln(weightfile,alp,eps);
    close(weightfile);
  end;

BEGIN { main }
  clrscr;
{ CT:
  arrange;
  hedef_belle;
}
  read_normalize;           {read normalization data }
  hedef_belle_yeni;        {read desired data }
  read_input;               {read input values (f(GHz) VCE(V) IC(mA) CT (CT=0.1 --> CE, CT=0.9 --> CC)) }
  read_test;                {read test velues }

{ print first header }

```

```

node[2]:= Output_Nodes;
Outputs:= Output_Nodes;
node[1]:= Hidden_Nodes;
node[0]:= Input_Nodes;
Inputs:= Input_Nodes;
Layers:= Layers_Max;
{CT: number of input line was read from norm.dat
num:= Outputs_Max;
}
alp:=alpha;
eps:=epsilon;

write('Stop?: [Y/N] ');
readln(tercih);tercih:=Upcase(tercih);
if tercih='Y' then Exit;

write('Use different data for test (input_t.dat)? [Y/N] ');
readln(tercih_test);tercih_test:=Upcase(tercih_test);

{ *****
INITIALIZE MATRIX
***** }
for i:= 0 to num-1 do
for j:= 0 to ( inputs+Outputs-1 ) do
matrix[i,j]:= 0;
for ii:= 0 to ( Trunc(Iterative_Max/Every)-1 ) do
for i:= 0 to num-1 do
for j:= 0 to ( inputs+Outputs-1 ) do
matrix_tmp[ii,i,j]:=0;

{ CT: for i:=1 to 24 do
writeln;
}
str(epsilon:4:2,st5);str(alpha:4:3,st6);
assign(outfile,'c:\cemal\phd\thesis\yeni-tez\nnpas\output.txt');
assign(outfile_t,'c:\cemal\phd\thesis\yeni-tez\nnpas\output_t.txt');
{
writeln;append(outfile);
}
rewrite(outfile);
rewrite(outfile_t);
writeln(outfile,TransistorName);
writeln(outfile_t,TransistorName);

write('Use Available Weights? [Y/N] ');
readln(tercih);tercih:=Upcase(tercih);

GetTime(gettime_h,gettime_m,gettime_s,gettime_hund);
WriteLn('Program Started... ',LeadingZero(gettime_h),':',
LeadingZero(gettime_m),':',LeadingZero(gettime_s),
':',LeadingZero(gettime_hund));

```

```

if tercih='Y' then read_weights else wrand;

j:=0;dcount:=trunc(iterative_max/every)+1;
{*****}
LEARNING PHASE
***** }

while ( j < Iterative_Max ) do
begin
  str ( j:7, st1 );
  writeln('iteration=',st1);
  GetTime(gettime_h,gettime_m,gettime_s,gettime_hund);
  WriteLn('Training Started... ',LeadingZero(gettime_h),';',
  LeadingZero(gettime_m),'.',LeadingZero(gettime_s),
  '.',LeadingZero(gettime_hund));

for count:= 0 to Every-1 do
begin
  error:= 0;
  for isylla:=0 to num-1 do
  begin
    initial;
    yread(isylla); { reade input.dat file }
    wforward;
    err:= back;
    learning( alp, eps );
    error:= error+err;
  end;
  error:= error / outputs;
  eps:= 0.5 * sqrt( error );

  Inc(j);
end;
GetTime(gettime_h,gettime_m,gettime_s,gettime_hund);
WriteLn('Training Finished! ',LeadingZero(gettime_h),';',
LeadingZero(gettime_m),'.',LeadingZero(gettime_s),
'.',LeadingZero(gettime_hund));

{ *****}
TESTING PHASE
***** }

{ CT: test of learning data }
terror:= 0;
GetTime(gettime_h,gettime_m,gettime_s,gettime_hund);
WriteLn('Test Started... ',LeadingZero(gettime_h),';',
LeadingZero(gettime_m),'.',LeadingZero(gettime_s),
'.',LeadingZero(gettime_hund));
for isylla:= 0 to num-1 do
begin { read input.dat }
  yread(isylla);
  wforward;

```



```

2:begin
    matrix_tmp_out[trunc(j/Every)-1,i,inputs+ii]:=matrix_tmp_out[trunc(j/Every)-
1,i,inputs+ii]*S21max;
    str( matrix_tmp_out[trunc(j/Every)-1,i,inputs+ii]:5:5, st1);
end;
8:begin
    matrix_tmp_out[trunc(j/Every)-1,i,inputs+ii]:=matrix_tmp_out[trunc(j/Every)-
1,i,inputs+ii]*Fminmax;
    str( matrix_tmp_out[trunc(j/Every)-1,i,inputs+ii]:5:5, st1);
end;
end;
write( outfile,st1+' ');
end;
write(outfile,' ');
for ii:=0 to outputs-1 do
begin
    { CT: Denormalization of desired values }
    dessout[i,ii]:=dess[i,ii];
    str( dessout[i,ii]:5:5, st1 );
    case (ii) of
        1,3,5,7,10:
            begin { degrees }
                if dessout[i,ii] > 0.5 then
                    begin
                        dessout[i,ii]:=dessout[i,ii]*Degree-Degree;
                        str( dessout[i,ii]:5:5, st1 );
                    end
                else
                    begin
                        dessout[i,ii]:=dessout[i,ii]*Degree;
                        str( dessout[i,ii]:5:5, st1 );
                    end;
            end;
        2:begin
            dessout[i,ii]:=dessout[i,ii]*S21max;
            str( dessout[i,ii]:5:5, st1 );
        end;
        8:begin
            dessout[i,ii]:=dessout[i,ii]*Fminmax;
            str( dessout[i,ii]:5:5, st1 );
        end;
    end;
    write( outfile, st1+' ');
end;
Writeln(outfile,'');
end;
terror:= terror/outputs;
str ( j:7, st1 ); str ( eps:9:6, st2 );           { eps=nu }
str ( error:9:6, st3 ); str ( terror:9:6, st4 );
writeln( outfile, ' ');
writeln( outfile, 'iteration=' ,st1, ' nu =' ,st2,
' error_learning=' ,st3, ' error_test=' ,st4 );
writeln( outfile, ' ');

```

```

if (j = Iterative_Max ) then
begin
  writeln( outfile, 'learning and test finished! (CT=0.1 --> CE, CT=0.9 --> CC)');
end;

if tercih_test='Y' then { CT: test of data that are not learnin data }
begin

  terror:= 0;
  GetTime(gettime_h,gettime_m,gettime_s,gettime_hund);
  WriteLn('Test Started (not learning data)... ',LeadingZero(gettime_h),':',
  LeadingZero(gettime_m),':',LeadingZero(gettime_s),
  ':',LeadingZero(gettime_hund));
  for isylla:= 0 to num-1 do
  begin      { read input_t.dat }
    yread_test(isylla);
    wforward;
    terr:= back;
    terror:= terror + terr;
    make_matrix( trunc(j/Every) - 1, isylla );
  end;
  GetTime(gettime_h,gettime_m,gettime_s,gettime_hund);
  WriteLn('Test Finished (not learning data)! ',LeadingZero(gettime_h),':',
  LeadingZero(gettime_m),':',LeadingZero(gettime_s),
  ':',LeadingZero(gettime_hund));

  writeln(outfile_t,'      Input Values          Calculated Values');
  write(outfile_t, ' Num f(GHz) VCE(V) IC(mA) CT  ');
  write(outfile_t,'|S11| <S11(D) |S21| <S21(D) |S12| <S12(D) |S22| <S22(D) Fmin(dB) |Gopt|
<Gopt(D) Rn/50 ');
  writeln(outfile_t,'');
  write(outfile_t, '-----');
  writeln(outfile_t,'-----');

for i:= 0 to num-1 do
begin
  str( i:2, st1 );
  write(outfile_t,st1+' ');
  for ii:= 0 to inputs-1 do
  begin
    str( matrix_tmp[trunc(j/Every)-1,i,ii]:6:2, st1 );
    write(outfile_t,st1+' ');
  end;
  write(outfile_t,' ');
  for ii:= 0 to outputs-1 do
  begin
    { CT: Denormalization of calculated values }
    matrix_tmp_out[trunc(j/Every)-1,i,inputs+ii]:=matrix_tmp[trunc(j/Every)-1,i,inputs+ii];
    str( matrix_tmp_out[trunc(j/Every)-1,i,inputs+ii]:5:5, st1 );
    case (ii) of
      1,3,5,7,10:
        begin { degrees }

```

```

if      matrix_tmp_out[trunc(j/Every)-    1,i,inputs+ii] > 0.5 then
begin
  matrix_tmp_out[trunc(j/Every)-1,i,inputs+ii]:=matrix_tmp_out[trunc(j/Every)-
1,i,inputs+ii]*Degree;
  matrix_tmp_out[trunc(j/Every)-1,i,inputs+ii]:=matrix_tmp_out[trunc(j/Every)-1,i,inputs+ii]-Degree;
  str( matrix_tmp_out[trunc(j/Every)-1,i,inputs+ii]:5:5, st1);
end
else
begin
  matrix_tmp_out[trunc(j/Every)-1,i,inputs+ii]:=matrix_tmp_out[trunc(j/Every)-
1,i,inputs+ii]*Degree;
  str( matrix_tmp_out[trunc(j/Every)-1,i,inputs+ii]:5:5, st1);
end;
end;
2:begin
  matrix_tmp_out[trunc(j/Every)-1,i,inputs+ii]:=matrix_tmp_out[trunc(j/Every)-
1,i,inputs+ii]*S21max;
  str( matrix_tmp_out[trunc(j/Every)-1,i,inputs+ii]:5:5, st1);
end;
8:begin
  matrix_tmp_out[trunc(j/Every)-1,i,inputs+ii]:=matrix_tmp_out[trunc(j/Every)-
1,i,inputs+ii]*Fminmax;
  str( matrix_tmp_out[trunc(j/Every)-1,i,inputs+ii]:5:5, st1);
end;
writeln( outfile_t,st1+' );
end;
}

```

{ Ct: There is no desired values for test

```

write(outfile_t,' );
for ii:=0 to outputs-1 do
begin
  str( dess[i,ii]:5:5, st1 );
  writeln( outfile_t, st1+' );
end;
}

Writeln(outfile_t,' );
end;
terror:= terror/outputs;
str ( j:7, st1 ); str ( eps:9:6, st2 );           { eps=nu }
str ( error:9:6, st3 ); str ( terror:9:6, st4 );
writeln( outfile_t, ' );
writeln( outfile_t, 'iteration=',st1,' nu =',st2,
' error_learning=',st3,' error_test=', st4 );
writeln( outfile_t, ' );
if ( j = Iterative_Max ) then
begin
  writeln( outfile_t, 'test finished (not learning data)! (CT=0.1 --> CE, CT=0.9 --> CC)');
end;

end;

```

```
write_weights;  
  
end; {main loop}  
close( outfile );  
close( outfile_t );  
GetTime(gettime_h,gettime_m,gettime_s,gettime_hund);  
WriteLn('Program Finished! ',LeadingZero(gettime_h),':',  
LeadingZero(gettime_m),':',LeadingZero(gettime_s),  
':',LeadingZero(gettime_hund));  
write('Ok!');  
end.
```



**Ek 2 Performans Analizi Programı****(PerAna.m)**

```
%/************* */
%/*
%/* File: PerAna.m (Performan Analizi Programı)
%/*
%/* Compiler: Matlab v5.0
%/*
%/* Description:Takes the output of Neural Network Program
%/*      nnpsn.pas (S and Noise parameters) and
%/*      calculates GTmax,ZL,ZS and stability
%/*      condition according to a given Vireq, Freq
%/*      pairs geometrically. Additionally calculates
%/*      all possible ZL,ZL terminations that
%/*      correspond to a given GTreq.
%/*
%/* Created: Cemal Tepe 1999 Ph.D. Thesis
%/*
%/* Version:1.0
%/*
%/* Notes: to run this program for a different transistor, quit Matlab than
%/*         run program again. (to discard previous values)
%/************* */

%
```

% \*\*\*\* Arrange the required one: SP \*\*\*\*\*%

```
% fid_r_s=fopen('in_s.ins','r'); % read S matrix from a file N_Num=1 %
% fid_r_n=fopen('in_s.inn','r'); % read Noise matrix from a file %
% fid_r_p=fopen('in_s.inp','r'); % read input file, GTdBreq,Vireq,FdBreq %

% fid_r_s=fopen('n72089aa.ins','r'); % read S matrix from a file N_Num=6, n72089aa(Vds=3V, Ids=10mA) %
% fid_r_n=fopen('n72089aa.inn','r'); % read Noise matrix from a file %
% fid_r_p=fopen('n72089aa.inp','r'); % read input file, GTdBreq,Vireq,FdBreq %

% fid_r_s=fopen('n72089aa.ins','r'); % read Neural Network SN matrix from a file N_Num=11,
n72089aa(Vds=3V, Ids=10mA) from Neural Network %
% fid_r_n=fopen('n72089aa.inn','r'); % read Noise matrix from a file %
% fid_r_p=fopen('n72089aa.inp','r'); % read input file, GTdBreq,Vireq,FdBreq %

% fid_r_s=fopen('ne329s01.ins','r'); % read S matrix from a file N_Num=9, ne329s01(Vds=2V, Id=10mA) %
% fid_r_n=fopen('ne329s01.inn','r'); % read Noise matrix from a file %
% fid_r_p=fopen('ne329s01.inp','r'); % read input file, GTdBreq,Vireq,FdBreq %

% fid_r_s=fopen('ne329s01.ins','r'); % read Neural Network SN matrix from a file N_Num=17,
ne329s01(Vds=2V, Id=10mA) from Neural Network %
% fid_r_n=fopen('ne329s01.inn','r'); % read Noise matrix from a file %
% fid_r_p=fopen('ne329s01.inp','r'); % read input file, GTdBreq,Vireq,FdBreq %

% fid_r_s=fopen('ne02135c.ins','r'); % read S matrix from a file N_Num=7, ne02135c(VCE=10V, IC=20mA)
%
% fid_r_n=fopen('ne02135c.inn','r'); % read Noise matrix from a file %
```

```
% fid_r_p=fopen('ne02135c.inp','r'); % read input file, GTdBreq,Vireq,FdBreq %

% fid_r_s=fopen('ne02135c.ins','r'); % read Neural Network SN matrix from a file N_Num=14,
ne02135c(VCE=10V, IC=20mA) from Neural Network %
% fid_r_n=fopen('ne02135c.inn','r'); % read Noise matrix from a file %
% fid_r_p=fopen('ne02135c.inp','r'); % read input file, GTdBreq,Vireq,FdBreq %

fid_r_s=fopen('ne02135.ins','r'); % read S matrix from a file N_Num=7, ne02135(VCE=10V, IC=5mA) %
fid_r_n=fopen('ne02135.inn','r'); % read Noise matrix from a file %
fid_r_p=fopen('ne02135.inp','r'); % read input file, GTdBreq,Vireq,FdBreq %

% fid_r_s=fopen('ne3210s1.ins','r'); % read S matrix from a file N_Num=9, ne3210s1(Vds=2V, Id=10mA) %
% fid_r_n=fopen('ne3210s1.inn','r'); % read Noise matrix from a file %
% fid_r_p=fopen('ne3210s1.inp','r'); % read input file, GTdBreq,Vireq,FdBreq %

% fid_r_s=fopen('ne38018.ins','r'); % read S matrix from a file N_Num=6, ne38018(Vds=2V, Id=10mA) %
% fid_r_n=fopen('ne38018.inn','r'); % read Noise matrix from a file %
% fid_r_p=fopen('ne38018.inp','r'); % read input file, GTdBreq,Vireq,FdBreq %

% fid_r_s=fopen('ne38018x.ins','r'); % read S matrix from a file N_Num=6, ne38018(Vds=3V, Id=5mA) %
% fid_r_n=fopen('ne38018x.inn','r'); % read Noise matrix from a file %
% fid_r_p=fopen('ne38018x.inp','r'); % read input file, GTdBreq,Vireq,FdBreq %

% fid_r_s=fopen('ne38018y.ins','r'); % read S matrix from a file N_Num=6, ne38018(Vds=2V, Id=5mA) %
% fid_r_n=fopen('ne38018y.inn','r'); % read Noise matrix from a file %
% fid_r_p=fopen('ne38018y.inp','r'); % read input file, GTdBreq,Vireq,FdBreq %

Name_of_transistor='ne02135(VCE=10V, IC=5mA)';
N_Num=7; % Number of frequencies (that have Noise parameters) %
P_Num=1; % Number of rows in input file (*.inp) %

step_for_sample_on_circle=0.01; % step of test circle's radius
switch_for_plot=0; % 1 --> Plot circles, 0 --> Do not plot circles %

% **** Arrange the required one: EP *****

fid_w_g = fopen('out_gra.txt','wt+'); % write output to a file for a graph%
fid_w = fopen('out_int.txt','wt+'); % write intersection points to a file %
fid_w_o = fopen('out_oth.txt','wt+'); % write other points to a file %
fprintf(fid_w,'Transistor: %s\n',Name_of_transistor);
fprintf(fid_w,'nDetailed information,Terminations for GTmax and all of intersection points on T1/T2 for
GTreq:\n');
fprintf(fid_w_o,'Transistor: %s\n',Name_of_transistor);
fprintf(fid_w_o,'nTerminations that give GTreq in Region-3:\n');
fprintf(fid_w_g,'Transistor: %s\n',Name_of_transistor);
fprintf(fid_w_g,'nTerminations for GTmax and One of Intersection points on T1/T2 for GTreq:\n');
% fprintf(fid_w_g,'nf(Hz) GTmax (dB) GTmin (dB) Real(ZL) Imag(ZL)
Real(ZS) Imag(ZS)\n'); %
fprintf(fid_w_g,'nVireq Freq(dB) f(Hz) GTmax (dB) Real(ZL)
Imag(ZL) Real(ZLreq) Imag(ZLreq)
Imag(ZL) Real(ZS) Imag(ZS)\n');
fprintf(fid_w_g,'nReal(ZSreq) Imag(ZSreq)\n');
```

```

fclose(fid_w);
fclose(fid_w_o);
fclose(fid_w_g);

Smatrix=fscanf(fid_r_s,"%f",[9,inf]); % read whole S-par file %
Nmatrix=fscanf(fid_r_n,"%f",[5,inf]); % read whole N-par file %
Pmatrix=fscanf(fid_r_p,"%f",[3,inf]); % read whole Input File file %

for input_counts=1:P_Num % main loop %

    GTDBreq=Pmatrix(1,input_counts);
    Vireq =Pmatrix(2,input_counts);
    FdB =Pmatrix(3,input_counts);

    fid_w_g = fopen('out_gra.txt','at+'); % write output to a file for a graph%
    fid_w = fopen('out_int.txt','at+'); % write intersection points to a file %
    fid_w_o = fopen('out_oth.txt','at+'); % write other points to a file %

    fprintf(fid_w,\n*** %d. Given Values:\n',input_counts);
    fprintf(fid_w_o,\n*** %d. Given Values:\n',input_counts);
    %fprintf(fid_w_g,\n*** %d. Given Values:\n',input_counts);

    % GTDBreq = input('Required GT(dB) value?: ');
    fprintf(fid_w,'Required GT(dB) value: %f\n',GTDBreq);
    fprintf(fid_w_o,'Required GT(dB) value: %f\n',GTDBreq);
    %fprintf(fid_w_g,'Required GT(dB) value: %f\n',GTDBreq);

    % Vireq = input('Required Vi value?: ');
    fprintf(fid_w,'Required Vi value: %f\n',Vireq);
    fprintf(fid_w_o,'Required Vi value: %f\n',Vireq);
    %fprintf(fid_w_g,'Required Vi value: %f\n',Vireq);

    % FdB = input ('Required F(dB) value?: ');
    fprintf(fid_w,'Required F(dB) value: %f\n',FdB);
    fprintf(fid_w_o,'Required F(dB) value: %f\n',FdB);
    fclose(fid_w_o);
    %fprintf(fid_w_g,'Required F(dB) value: %f\n',FdB);

% Input Reflection Coefficient and Required Noise Figure (not in dB) %
Rmod2 = (Vireq - 1)/(Vireq + 1);
Rmod=sqrt(Rmod2);
C = 1-(Rmod^2);

Freq = 10^(FdB*0.1);

teta = 0:2*pi/100:2*pi;

for counts=1:N_Num % loop under main loop %

```

```

f=Smatrix(1,counts);
s11 =Smatrix(2,counts);
o11 =Smatrix(3,counts);
s21 =Smatrix(4,counts);
o21 =Smatrix(5,counts);
s12 =Smatrix(6,counts);
o12 =Smatrix(7,counts);
s22 =Smatrix(8,counts);
o22 =Smatrix(9,counts);

fprintf('f: %f\n',f);
fprintf('s11 and o11: %f %f\n',s11,o11);
fprintf('s21 and o21: %f %f\n',s21,o21);
fprintf('s12 and o12: %f %f\n',s12,o12);
fprintf('s22 and o22: %f %f\n',s22,o22);

O11 = o11*(pi/180);
S11 = s11*exp(i*O11);
O21 = o21*(pi/180);
S21 = s21*exp(i*O21);
O12 = o12*(pi/180);
S12 = s12*exp(i*O12);
O22 = o22*(pi/180);
S22 = s22*exp(i*O22);

```

#### % Transistor Noise Parameters %

```

FirstCol=Nmatrix(1,counts); % waste reading for first column %
FmindB=Nmatrix(2,counts);
Fmin=10^(FmindB*0.1);
GamaOpt_m=Nmatrix(3,counts);
GamaOpt_a_deg=Nmatrix(4,counts);
GamaOpt_a=GamaOpt_a_deg*(pi/180);
Gamaopt=GamaOpt_m*exp(i*GamaOpt_a);
RnBolu50=Nmatrix(5,counts);
Rn=RnBolu50; % Zo is 50ohm %

% Rn=RnBolu50*50;
omega = 2*pi*f;
Z01 = 50;
Z02 = 50 ;
R01 = real(Z01);
R02 = real(Z02);

fprintf('\nCircuit Definition:\n');
fprintf(fid_w,'nCircuit Definition:\n');

fprintf('f(Hz): %f\n',f);
fprintf('S11 Module and Angle(Rad): %f %f \n',abs(S11),angle(S11));

```

```

sprintf('S21 Module and Angle(Rad): %f %f \n',abs(S21),angle(S21));
sprintf('S12 Module and Angle(Rad): %f %f \n',abs(S12),angle(S12));
sprintf('S22 Module and Angle(Rad): %f %f \n',abs(S22),angle(S22));
sprintf('Fmin %f, GamaOpt Module and Angle(Rad) %f %f, Rn %f \n',Fmin, GamaOpt_m,GamaOpt_a,Rn);

fprintf(fid_w,'f(Hz): %f\n',f);
fprintf(fid_w,'S11 Module and Angle(Rad): %f %f \n',abs(S11),angle(S11));
fprintf(fid_w,'S21 Module and Angle(Rad): %f %f \n',abs(S21),angle(S21));
fprintf(fid_w,'S12 Module and Angle(Rad): %f %f \n',abs(S12),angle(S12));
fprintf(fid_w,'S22 Module and Angle(Rad): %f %f \n',abs(S22),angle(S22));
fprintf(fid_w,'Fmin %f, GamaOpt Module and Angle(Rad) %f %f, Rn %f \n',Fmin,
GamaOpt_m,GamaOpt_a,Rn);

fid_w_o = fopen('out_oth.txt','at+'); % append to a file %
fprintf(fid_w_o,'nf(Hz): %f\n',f);
fclose(fid_w_o);

deltas = ((1-S11)*(1-S22)-S12*S21)

% Converting S to Z %

Z11 =((1+S11)*(1-S22)+S12*S21)/deltas;
Z21 =(2*S21)/deltas;
Z12 =(2*S12)/deltas;
Z22 =((1+S22)*(1-S11)+S12*S21)/deltas;

R11 = real(Z11); X11 = imag(Z11);
R21 = real(Z21); X21 = imag(Z21);
R12 = real(Z12); X12 = imag(Z12);
R22 = real(Z22); X22 = imag(Z22);

deltaz =Z11*Z22 -Z12*Z21;

fprintf(fid_w,'Z11 Real and Imaginer parts: %f %f \n',real(Z11),imag(Z11));
fprintf(fid_w,'Z21 Real and Imaginer parts: %f %f \n',real(Z21),imag(Z21));
fprintf(fid_w,'Z12 Real and Imaginer parts: %f %f \n',real(Z12),imag(Z12));
fprintf(fid_w,'Z22 Real and Imaginer parts: %f %f \n',real(Z22),imag(Z22));

% Zopt Calculation %
Zopt = ((1+Gamaopt))/(1-Gamaopt);
Zoptm = abs(Zopt);
Zopta = angle(Zopt);
Ropt = real(Zopt);
Xopt = imag(Zopt);

% Theoretical Noice Parameters of Transistor %
Yopt = 1/Zopt;
Ycor = ((Fmin - 1)/(2*Rn)) - Yopt ;
Gu = ((Fmin - 1)*real(Yopt))-(((Fmin - 1)^2)/(4*Rn)) ;

```

```
% Center phasor and radius of the noise circles are calculated %
N = ((Freq - Fmin)*(Zoptm^2)) / (2*Rn);
Rcn = Ropt + N ;
Xcn = Xopt;
Zcn=Rcn+i*Xcn;
rn = sqrt(N*(N + 2*Ropt));
U = (1 + Rmod^2) / C;
V = 2*Rmod / C;

% T1 and T2 Circle Definitions %
Rct1 = Rcn*U + rn*V;
Xct1 = -Xopt;
Zct1 = Rct1 + i*Xct1;
Zct1m = abs(Zct1);
Zct1a = angle(Zct1);
rt1 = sqrt((Zct1m^2) - (Zoptm^2));

Rct2 = Rcn*U - rn*V;
Xct2 = -Xopt;
Zct2 = Rct2 + i*Xct2;
Zct2m = abs(Zct2);
Zct2a = angle(Zct2);
rt2 = sqrt( (Zct2m^2)-(Zoptm^2));

fprintf('Freq,Fmin,Ropt,Xopt,Rn,Rmod,N,Rcn,rn,Rct1,Xct1,rt1,Rct2,Xct2,rt2: %f %f %f %f %f %f %f %f
%f %f %f %f %f %f %f %f
%f\n',Freq,Fmin,Ropt,Xopt,Rn,Rmod,N,Rcn,rn,Rct1,Xct1,rt1,Rct2,Xct2,rt2);
fprintf(fid_w,'Freq,Fmin,Ropt,Xopt,Rn,Rmod,N,Rcn,rn,Rct1,Xct1,rt1,Rct2,Xct2,rt2: %f %f %f %f %f %f
%f %f %f %f %f %f %f
%f\n',Freq,Fmin,Ropt,Xopt,Rn,Rmod,N,Rcn,rn,Rct1,Xct1,rt1,Rct2,Xct2,rt2);

% Noise Figure checking
if Fmin > Freq
    fprintf('Error: Fmin > Freq, skip to the next input value\n');
    fprintf(fid_w,'Warning: Fmin > Freq, skip to the next input value\n');

    % exit loop (matlab stops here)
    break;
end

% T1 and T2 Circle Drawing %
Zi1 = Zct1 + rt1*exp(i*teta);
Zi2 = Zct2 + rt2*exp(i*teta);
Ri1 = real(Zi1);
Xi1 = imag(Zi1);
Ri2 = real(Zi2);
Xi2 = imag(Zi2);

% Pre-Defined Values %
Z = Z12*Z21;
R = real(Z);
X = imag(Z);
```

```

Q = 2*R11*R22 - R
COEFS = (abs(Z12)^2)/(2*R22*C);
ita = Q/abs(Z);
GT_Negative=0 % assume that GT always pozitive (1 --> Negative) %

```

```
if R11>0 & R22>0 & ita>1 % Stability: if %
```

```
% Unconditional stability %
```

```

fprintf('Unconditional stability: R11>0 & R22>0 & ita>1\n');
fprintf(fid_w,'Unconditional stability: R11>0 & R22>0 & ita>1\n');
fprintf('R11,R22,ita = %f,%f,%f\n',R11,R22,ita);
fprintf(fid_w,'R11,R22,ita = %f,%f,%f\n',R11,R22,ita);

```

```
% Calculating values for Required GT value in Unconditional stability case
```

```

P=(abs(Z12)^2/C)*(10^(GTDBreq*0.1));           % GTDBreq converted to dimentionless %
RCGreq = (Q - P)/(2*R22);
XCGreq = (2*X11*R22-X)/(2*R22);
ZCGreq = RCGreq + i*XCGreq;
rgreq = (sqrt(P^2-2*Q*P+abs(Z)^2))/(2*R22);

```

```
% GTDBreq Circle %
```

```

ZCGTreq= ZCGreq+rgreq*exp(i*teta);
RCGTreq=real(ZCGTreq);
XCGTreq=imag(ZCGTreq);

```

```
% Find out the intersection of two circles
```

```

InstersectionExist=1;
fprintf('GTDBreq, T1 and T2 circles:\n');
fprintf('RCGreq= %f, XCGreq= %f, rgreq= %f\n',RCGreq,XCGreq,rgreq);
fprintf('Rct1= %f, Xct1= %f, rt1= %f\n',Rct1,Xct1,rt1);
fprintf('Rct2= %f, Xct2= %f, rt2= %f\n',Rct2,Xct2,rt2);
fprintf(fid_w,'GTDBreq, T1 and T2 circles:\n');
fprintf(fid_w,'RCGreq= %f, XCGreq= %f, rgreq= %f\n',RCGreq,XCGreq,rgreq);
fprintf(fid_w,'Rct1= %f, Xct1= %f, rt1= %f\n',Rct1,Xct1,rt1);
fprintf(fid_w,'Rct2= %f, Xct2= %f, rt2= %f\n',Rct2,Xct2,rt2);

```

```

[RintT1,XintT1]=circlint(RCGreq,XCGreq,rgreq,Rct1,Xct1,rt1);
ZireqT11=RintT1(1)+i*XintT1(1);
ZireqT12=RintT1(2)+i*XintT1(2);

```

```

fprintf('1. Intersection point on T1; RintT1= %f: XintT1= %f\n',RintT1(1),XintT1(1));
fprintf(fid_w,'1. Intersection point on T1; RintT1= %f: XintT1= %f\n',RintT1(1),XintT1(1));
fprintf('2. Intersection point on T1; RintT1= %f: XintT1= %f\n',RintT1(2),XintT1(2));
fprintf(fid_w,'2. Intersection point on T1; RintT1= %f: XintT1= %f\n',RintT1(2),XintT1(2));

```

```

fprintf("ZireqT11 Value: real and imaginer part = %f %f\n",RintT1(1)*50,XintT1(1)*50);
fprintf(fid_w,"ZireqT11 Value: real and imaginer part = %f %f\n",RintT1(1)*50,XintT1(1)*50);

```

```

sprintf('ZireqT12 Value: real and imaginer part = %f %f\n',RintT1(2)*50,XintT1(2)*50);
fprintf(fid_w,'ZireqT12 Value: real and imaginer part = %f %f\n',RintT1(2)*50,XintT1(2)*50);

[RintT2,XintT2]=circlint(RCGreq,XCGreq,rgreq,Rct2,Xct2,rt2);
ZireqT21=RintT2(1)+i*XintT2(1); % two intersection points on T2 %
ZireqT22=RintT2(2)+i*XintT2(2);

sprintf('1. Intersection point on T2; RintT2= %f: XintT2= %f\n',RintT2(1),XintT2(1));
sprintf(fid_w,'1. Intersection point on T2; RintT2= %f: XintT2= %f\n',RintT2(1),XintT2(1));
sprintf('2. Intersection point on T2; RintT2= %f: XintT2= %f\n',RintT2(2),XintT2(2));
sprintf(fid_w,'2. Intersection point on T2; RintT2= %f: XintT2= %f\n',RintT2(2),XintT2(2));

sprintf('ZireqT21 Value: real and imaginer part = %f %f\n',RintT2(1)*50,XintT2(1)*50);
sprintf(fid_w,'ZireqT21 Value: real and imaginer part = %f %f\n',RintT2(1)*50,XintT2(1)*50);
sprintf('ZireqT22 Value: real and imaginer part = %f %f\n',RintT2(2)*50,XintT2(2)*50);
sprintf(fid_w,'ZireqT22 Value: real and imaginer part = %f %f\n',RintT2(2)*50,XintT2(2)*50);

if ~isnan(ZireqT11) & ~isnan(ZireqT12) & ~isnan(ZireqT21) & ~isnan(ZireqT22) % GTreq cuts both T1
and T2
    fprintf('GTreq cuts both T1 and T2\n');
    fprintf(fid_w,'GTreq cuts both T1 and T2\n');
    elseif ~isnan(ZireqT11) & ~isnan(ZireqT12) % GTreq cuts only T1
        fprintf('GTreq cuts only T1\n');
        fprintf(fid_w,'GTreq cuts only T1\n');
    elseif ~isnan(ZireqT21) & ~isnan(ZireqT22) % GTreq cuts only T2
        fprintf('GTreq cuts only T2\n');
        fprintf(fid_w,'GTreq cuts only T2\n');
    else % GTreq does not cut T1 or T2
        fprintf('GTreq does not cut T1 or T2\n');
        fprintf(fid_w,'GTreq does not cut T1 or T2\n');
        InstersectionExist=0;
        ZSreq= NaN+i*NaN;
        ZLreq= NaN+i*NaN;
    %     break;
end

RCS = -(2*R11*R22-R)/(2*R22);
XCS = -(2*X11*R22-X)/(2*R22);
ZCS = RCS + i*XCS;
rs = abs(Z)/(2*R22);
ZCSC = conj(ZCS)

% Conjugate Source Stability Circle (CSSC) %
Zi3 = ZCSC + rs * exp(i*teta);
Ri3 = real(Zi3);
Xi3 = imag(Zi3);

% Input Stability Circle (ISC) (ZCINPUT = -RCS - i*XCS; rINPUT=rs) %
ZCINPUT = -RCS - i*XCS;
Zi5 = ZCINPUT + rs * exp(i*teta);
Ri5 = real(Zi5);
Xi5 = imag(Zi5);

```

```

% GT Circles %
XCG = (2*X11*R22-X)/(2*R22);
GTMAX=(Q-sqrt(Q^2-abs(Z)^2)*C)/(abs(Z12)^2);

for k=1:6
    y(k)=(k-1)*(GTMAX/5);
    P(k)=(abs(Z12)^2*y(k))/C;
    RCG(k) = (Q - P(k))/(2*R22);
    ZCG(k) = RCG(k) + i*XCG;
    rg(k) = (sqrt(P(k)^2-2*Q*P(k)+abs(Z)^2))/(2*R22);
end

ZCG1 = ZCG(1);rg1 = rg(1);
ZCG2 = ZCG(2);rg2 = rg(2);
ZCG3 = ZCG(3);rg3 = rg(3);
ZCG4 = ZCG(4);rg4 = rg(4);
ZCG5 = ZCG(5);rg5 = rg(5);
ZCG6 = ZCG(6);rg6 = rg(6);

Zi41 = ZCG1 + rg1 * exp(i*teta);
Ri41 = real(Zi41);Xi41 = imag(Zi41);
Zi42 = ZCG2 + rg2 * exp(i*teta);
Ri42 = real(Zi42);Xi42 = imag(Zi42);
Zi43 = ZCG3 + rg3 * exp(i*teta);
Ri43 = real(Zi43);Xi43 = imag(Zi43);
Zi44 = ZCG4 + rg4 * exp(i*teta);
Ri44 = real(Zi44);Xi44 = imag(Zi44);
Zi45 = ZCG5 + rg5 * exp(i*teta);
Ri45 = real(Zi45);Xi45 = imag(Zi45);
Zi46 = ZCG6 + rg6 * exp(i*teta);
Ri46 = real(Zi46);Xi46 = imag(Zi46);

% Concerning Solution %
RCGmax = sqrt(Q^2-abs(Z)^2)/(2*R22);
XCGmax = XCG;
ZCGmax = RCGmax + i*XCGmax;

fprintf('ZCGmax(%f %f),Zct1(%f %f), Zct2(%f %f)\n',RCGmax,XCGmax,Rct1, Xct1, Rct2, Xct2);
fprintf('rt1 %f, rt2 %f\n',rt1, rt2);
fprintf(fid_w,'ZCGmax(%f %f),Zct1(%f %f), Zct2(%f %f)\n',RCGmax,XCGmax,Rct1, Xct1, Rct2, Xct2);
fprintf(fid_w,'rt1 %f, rt2 %f\n',rt1, rt2);

if abs(ZCGmax-Zct1) > rt1 % Concerning Solution %

    fprintf('abs(ZCGmax-Zct1) > rt1: ZCGmax in Region-1 (tangent case --> GTmax)\n');
    fprintf(fid_w,'abs(ZCGmax-Zct1) > rt1: ZCGmax in Region-1 (tangent case --> GTmax)\n');

    % Zcgmax in Region-1 %
    % GTMAX value; absolute stability and Zcgmax in Region-1 (tangent case --> GTmax) %

```

```

if (Vireq == 1) & (Freq == Fmin) % VSWR and Noise match, rn=rv=r1=r2=0,
Zs=Zopt=Zcn,Rmod=0 Zi=conj(Zopt), Zcv=conj(Zi)
    GTMC=(Q-sqrt(Q^2-abs(Z)^2)*C)/(abs(Z12)^2);
else
    D=(R22*abs(Z11)^2-R*R11*X11)/R22+abs(Zopt)^2;
    E=(D*R22-Rct1*(2*R11*R22-R)-2*Xct1*XCG*R22)/r1;
    F=Rct1/r1;

    GTpayn=C*(Q+E*F-sqrt(((Q+E*F)^2-(1-F^2)*(abs(Z)^2-E^2))));;
    GTpayda=(abs(Z12)^2*(1-F^2));
    GTMC=GTpayn/GTpayda;
end

P=(abs(Z12)^2/C)*GTMC;

RCGmax = (Q - P)/(2*R22);
XCGmax = XCG;
ZCGmax = RCGmax + i*XCGmax;
rgmax = (sqrt(P^2-2*Q*P+abs(Z)^2))/(2*R22);

% GTmax Circle %
ZCGTM= ZCGmax+rgmax*exp(i*teta);
RCGTM=real(ZCGTM);
XCGTM=imag(ZCGTM);

% Load and Source impedance calculation; Zcgmax in Region-1 %
% Zi value %
if (Vireq == 1) & (Freq == Fmin) % VSWR and Noise match, rn=rv=r1=r2=0, Zs=Zopt=Zcn,Rmod=0
Zi=conj(Zopt), Zcv=conj(Zi)
    Zi=conj(Zopt);
else
    Zi=((rgmax/(r1+rgmax))*Zct1)+((r1/(r1+rgmax))*ZCGmax));
end

fprintf('Zi Value: real and imaginer part = %f %f\n',real(Zi)*50,imag(Zi)*50);
fprintf(fid_w,'Zi Value: real and imaginer part = %f %f\n',real(Zi)*50,imag(Zi)*50);

% fprintf(fid_w,'Q %f,P %f,abs(Z) %f,rgmax %f,r1
% f,Zct1(%f,%f),ZCGmax(%f,%f)\n',Q,P,abs(Z),rgmax,r1,real(Zct1),imag(Zct1),real(ZCGmax),imag(ZCGmax));
);

% ZL value %
ZL=((Z12*Z21)/(Z11-Zi)-Z22);

fprintf('ZL Value: real and imaginer part = %f %f\n',real(ZL)*50,imag(ZL)*50);
fprintf(fid_w,'ZL Value: real and imaginer part = %f %f\n',real(ZL)*50,imag(ZL)*50);

% ZS values %
Rcv=(1+Rmod^2)*real(Zi)/C;
Xcv=-imag(Zi);
Zcv=Rcv+i*Xcv;
rv=2*Rmod*real(Zi)/C;

```

```

if (Vireq == 1) & (Freq == Fmin) % VSWR and Noise match, rn=rv=rt1=tr2=0,
Zs=Zopt=Zcn,Rmod=0 Zi=conj(Zopt), Zcv=conj(Zi)
    ZS=Zopt;
else
    ZS=(((rn/(rn+rv))*Zcv)+((rv/(rv+rn))*Zcn));
end

fprintf('ZS Value: real and imaginer part = %f %fn',real(ZS)*50,imag(ZS)*50);
fprintf(fid_w,'ZS Value: real and imaginer part = %f %fn',real(ZS)*50,imag(ZS)*50);

% MAG value; absolute stability and Zcgmax in Region-1 (Rmod=0--> C=1) %
MAGnDB=(Q-sqrt(Q^2-abs(Z)^2))/(abs(Z12)^2);
MAG=10*log10(MAGnDB); % MAG in dB %

fprintf('MAG Value (dB) = %fn',MAG);
%fprintf(fid_w,'MAG Value (dB) = %fn',MAG);

% GTMAX value; absolute stability and Zcgmax in Region-1 %
GTMAX=10*log10(GTMC);
GTMIN=0; % in dB %

% if GTMAX > MAG % MAG is the available maximum gain %
%   GTMAX=MAG;
% end;

fprintf('GTMAX Value (dB) = %fn',GTMAX);
fprintf(fid_w,'GTMAX Value (dB) = %fn',GTMAX);
fprintf('GTMIN Value (dB) = %fn',GTMIN);
fprintf(fid_w,'GTMIN Value (dB) = %fn',GTMIN);

% Define values to plot f-GTmax %
x_f(counts)=f;
y_gtmax(counts)=GTMAX;
y_gtreq(counts)=GTDBreq;
z_gtmin(counts)=GTMIN;

% fid_w will be open in empcal.m
fclose(fid_w);

% Caluclate impedances on T1 and T2 intersection points and other points in Region-3
if (InstersectionExist ~= 0) & (Vireq ~= 1) & (Freq ~= Fmin) % go to claculation in Region-3

[ZLreq,ZSreq]=empcal(ZireqT11,ZireqT12,ZireqT21,ZireqT22,Z11,Z12,Z21,Z22,Rmod,C,Zopt,teta,Rcn,Xcn,rn
,RCGreq,XCGreq,rgreq,Rct2,Xct2,rt2,Rct1,Xct1,rt1,Ri1,Xi1,Ri2,Xi2,step_for_sample_on_circle,switch_for_plo
t)

elseif (InstersectionExist ~= 0) & (Vireq == 1) & (Freq == Fmin) % T1,T2,Vi,F are a point

% open fid_w for append
fid_w = fopen('out_int.txt','at+'); % write output to a file %

```

```

% Zi value %
fprintf('ZireqT11=ZireqT12=ZireqT21=ZireqT22= Value: real and imaginer part =
%f\n',real(ZireqT11)*50,imag(ZireqT11)*50);
fprintf(fid_w,'ZireqT11=ZireqT12=ZireqT21=ZireqT22= Value: real and imaginer part =
%f\n',real(ZireqT11)*50,imag(ZireqT11)*50);

% ZLreq value %
ZLreq1=((Z12*Z21)/(Z11-ZireqT11)-Z22);

% ZLreq value %
fprintf('ZLreq1 Value: real and imaginer part = %f %f\n',real(ZLreq1)*50,imag(ZLreq1)*50);
fprintf(fid_w,'ZLreq1 Value: real and imaginer part = %f %f\n',real(ZLreq1)*50,imag(ZLreq1)*50);

% ZSreq value %
ZSreq=Zopt;

% ZSreq value %
fprintf('ZSreq Value: real and imaginer part = %f %f\n',real(ZSreq)*50,imag(ZSreq)*50);
fprintf(fid_w,'ZSreq Value: real and imaginer part = %f %f\n',real(ZSreq)*50,imag(ZSreq)*50);

% fid_w will be open in empcal.m
fclose(fid_w);

ZLreq=ZLreq1; % print the first one in the intersection %

elseif (InstersectionExist ~= 0) & (Freq == Fmin) % T1 and T1 identical, Zs=Zopt

% open fid_w for append
fid_w = fopen('out_int.txt','at+'); % write output to a file %

% Zi value %
fprintf('ZireqT11=ZireqT21 Value: real and imaginer part = %f %f, ZireqT12=ZireqT22 Value: real
and imaginer part = %f %f\n',real(ZireqT11)*50,imag(ZireqT11)*50,real(ZireqT12)*50,imag(ZireqT12)*50);
fprintf(fid_w,'ZireqT11=ZireqT21 Value: real and imaginer part = %f %f, ZireqT12=ZireqT22
Value: real and imaginer part = %f %f\n',real(ZireqT11)*50,imag(ZireqT11)*50,real(ZireqT12)*50,imag(ZireqT12)*50);

% ZLreq value %
ZLreq1=((Z12*Z21)/(Z11-ZireqT11)-Z22);
ZLreq2=((Z12*Z21)/(Z11-ZireqT12)-Z22);

% ZLreq value %
fprintf('ZLreq1 Value: real and imaginer part = %f %f\n',real(ZLreq1)*50,imag(ZLreq1)*50);
fprintf(fid_w,'ZLreq1 Value: real and imaginer part = %f %f\n',real(ZLreq1)*50,imag(ZLreq1)*50);
fprintf('ZLreq2 Value: real and imaginer part = %f %f\n',real(ZLreq2)*50,imag(ZLreq2)*50);
fprintf(fid_w,'ZLreq2 Value: real and imaginer part = %f %f\n',real(ZLreq2)*50,imag(ZLreq2)*50);

% ZSreq value %
ZSreq=Zopt;

% ZSreq value %

```

```

fprintf('ZSreq Value: real and imaginer part      = %f %f\n',real(ZSreq)*50,imag(ZSreq)*50);
fprintf(fid_w,'ZSreq Value: real and imaginer part = %f %f\n',real(ZSreq)*50,imag(ZSreq)*50);

% fid_w will be open in empcal.m
fclose(fid_w);

ZLreq=ZLreq1; % print the first one in the intersection %

elseif (InstersectionExist ~= 0) & (Vireq == 1) % T1 and T1 identical, Zs=conj(Zi)

% open fid_w for append
fid_w = fopen('out_int.txt','at+'); % write output to a file %

% Zi value %
fprintf('ZireqT11=ZireqT21 Value: real and imaginer part = %f %f, ZireqT12=ZireqT22 Value: real
and imaginer part = %f %f\n',real(ZireqT11)*50,imag(ZireqT11)*50,real(ZireqT12)*50,imag(ZireqT12)*50);
fprintf(fid_w,'ZireqT11=ZireqT21 Value: real and imaginer part = %f %f, ZireqT12=ZireqT22
Value:           real           and           imaginer           part           =           %f
%f\n',real(ZireqT11)*50,imag(ZireqT11)*50,real(ZireqT12)*50,imag(ZireqT12)*50);

% ZLreq value %
ZLreq1=((Z12*Z21)/(Z11-ZireqT11)-Z22);
ZLreq2=((Z12*Z21)/(Z11-ZireqT12)-Z22);

% ZLreq value %
fprintf('ZLreq1 Value: real and imaginer part = %f %f\n',real(ZLreq1)*50,imag(ZLreq1)*50);
fprintf(fid_w,'ZLreq1 Value: real and imaginer part = %f %f\n',real(ZLreq1)*50,imag(ZLreq1)*50);
fprintf('ZLreq2 Value: real and imaginer part = %f %f\n',real(ZLreq2)*50,imag(ZLreq2)*50);
fprintf(fid_w,'ZLreq2 Value: real and imaginer part = %f %f\n',real(ZLreq2)*50,imag(ZLreq2)*50);

% ZSreq value %
ZSreq1=conj(ZireqT11);
ZSreq2=conj(ZireqT12);

% ZSreq value %
fprintf('ZSreq1 Value: real and imaginer part = %f %f\n',real(ZSreq1)*50,imag(ZSreq1)*50);
fprintf(fid_w,'ZSreq1 Value: real and imaginer part = %f %f\n',real(ZSreq1)*50,imag(ZSreq1)*50);
fprintf('ZSreq2 Value: real and imaginer part = %f %f\n',real(ZSreq2)*50,imag(ZSreq2)*50);
fprintf(fid_w,'ZSreq2 Value: real and imaginer part = %f %f\n',real(ZSreq2)*50,imag(ZSreq2)*50);

% fid_w will be open in empcal.m
fclose(fid_w);

ZLreq=ZLreq1; % print the first one in the intersection %
ZSreq=ZSreq1; % print the first one in the intersection %

else

% open fid_w for append
fid_w = fopen('out_int.txt','at+'); % write output to a file %

fprintf('No solution in Region-3: (InstersectionExist = 0) | (Vireq = 1) | (Freq = Fmin)\n');
fprintf(fid_w,'No solution in Region-3: (InstersectionExist = 0) | (Vireq = 1) | (Freq = Fmin)\n');

```

```

% fid_w will be open in empca.m
fclose(fid_w);

ZSreq= NaN+i*NaN;
ZLreq= NaN+i*NaN;

end;

%
fprintf(fid_w_g,'%f      %f      %f      %f      %f      %f
%fn',f,GTMAX,GTMIN,real(ZL)*50,imag(ZL)*50,real(ZS)*50,imag(ZS)*50); %
fprintf(fid_w_g,'%f      %f      %f      %f      %f      %f      %f      %f
%fn',Vireq,FdB,f,GTMAX,real(ZL)*50,imag(ZL)*50,real(ZS)*50,imag(ZS)*50,GTDBreq,real(ZLreq)
*50,imag(ZLreq)*50,real(ZSreq)*50,imag(ZSreq)*50);

% open fid_w for append
fid_w = fopen('out_int.txt','at+'); % write output to a file %

elseif abs(ZCGmax-Zct1) == rt1

fprintf('abs(ZCGmax-Zct1) == rt1: ZCGmax in Region-2\n');
fprintf(fid_w,'abs(ZCGmax-Zct1) == rt1: ZCGmax in Region-2\n');

% Zcgmax in Region-2 %
% GTMAX value; Zcgmax in Region-2 %
GTMC=(Q-sqrt(Q^2-abs(Z)^2)*C)/(abs(Z12)^2);

% GTmax Circle (a point )%
rgmax=0;
ZCGTM= ZCGmax+rgmax*exp(i*teta);
RCGTM=real(ZCGTM);
XCGTM=imag(ZCGTM);

% Load and Source impedance calculation; Zcgmax in Region-2 %
% Zi value %
if (Vireq == 1) & (Freq == Fmin) % VSWR and Noise match, rn=rv=rt1=tr2=0, Zs=Zopt=Zcn,Rmod=0
Zi=conj(Zopt), Zcv=conj(Zi)
Zi=conj(Zopt);
else
Zi=ZCGmax;
end

fprintf('Zi Value: real and imaginer part = %f %f\n',real(Zi)*50,imag(Zi)*50);
fprintf(fid_w,'Zi Value: real and imaginer part = %f %f\n',real(Zi)*50,imag(Zi)*50);

% ZL value %
ZL=((Z12*Z21)/(Z11-Zi)-Z22);

fprintf('ZL Value: real and imaginer part = %f %f\n',real(ZL)*50,imag(ZL)*50);
fprintf(fid_w,'ZL Value: real and imaginer part = %f %f\n',real(ZL)*50,imag(ZL)*50);

% ZS values %

```

```

Rcv=(1+Rmod^2)*real(Zi)/C;
Xcv=-imag(Zi);
Zcv=Rcv+i*Xcv;
rv=2*Rmod*real(Zi)/C;
if (Vireq == 1) & (Freq == Fmin) % VSWR and Noise match, rn=rv=rt1=tr2=0, Zs=Zopt=Zcn,Rmod=0
Zi=conj(Zopt), Zcv=conj(Zi)
    ZS=Zopt;
else
    ZS=((rn/(rn+rv))*Zcv)+((rv/(rv+rn))*Zcn));
end

fprintf('ZS Value: real and imaginer part = %f %f\n',real(ZS)*50,imag(ZS)*50);
fprintf(fid_w,'ZS Value: real and imaginer part = %f %f\n',real(ZS)*50,imag(ZS)*50);

% MAG value; absolute stability and Zcgmax in Region-2 (Rmod=0-> C=1) %
MAGndB=(Q-sqrt(Q^2-abs(Z)^2))/(abs(Z12)^2);
MAG=10*log10(MAGndB); % MAG in dB %

fprintf('MAG Value (dB) = %f\n',MAG);
%fprintf(fid_w,'MAG Value (dB) = %f\n',MAG);

% GTMAX value; absolute stability and Zcgmax in Region-2 %
GTMAX=10*log10(GTMC);
GTMIN=0; % in dB %

% if GTMAX > MAG % MAG is the available maximum gain %
% GTMAX=MAG;
% end;

fprintf('GTMAX Value (dB) = %f\n',GTMAX);
fprintf(fid_w,'GTMAX Value (dB) = %f\n',GTMAX);
fprintf('GTMIN Value (dB) = %f\n',GTMIN);
fprintf(fid_w,'GTMIN Value (dB) = %f\n',GTMIN);

% Define values to plot f-GTmax %
x_f(counts)=f;
y_gtmax(counts)=GTMAX;
y_gtreq(counts)=GTDBreq;
z_gtmin(counts)=GTMIN;

% fid_w will be open in empcal.m
fclose(fid_w);

% Caluclate impedances on T1 and T2 intersection points and other points in Region-3
if (InstersectionExist ~= 0) & (Vireq ~= 1) & (Freq ~= Fmin) % go to claculation in Region-3

[ZLreq,ZSreq]=empcal(ZireqT11,ZireqT12,ZireqT21,ZireqT22,Z11,Z12,Z21,Z22,Rmod,C,Zopt,teta,Rcn,Xcn,rn
,RCGreq,XCGreq,rreq,Rct2,Xct2,rt2,Rct1,Xct1,rt1,Ri1,Xi1,Ri2,Xi2,step_for_sample_on_circle,switch_for_plo
t)

elseif (InstersectionExist ~= 0) & (Vireq == 1) & (Freq == Fmin) % T1,T2,Vi.F are a point

```

```

% open fid_w for append
fid_w = fopen('out_int.txt','at+'); % write output to a file %

% Zi value %
fprintf('ZireqT11=ZireqT12=ZireqT21=ZireqT22= Value: real and imaginer part =
%f\n',real(ZireqT11)*50,imag(ZireqT11)*50);
fprintf(fid_w,'ZireqT11=ZireqT12=ZireqT21=ZireqT22= Value: real and imaginer part =
%f\n',real(ZireqT11)*50,imag(ZireqT11)*50);

% ZLreq value %
ZLreq1=((Z12*Z21)/(Z11-ZireqT11)-Z22);

% ZLreq value %
fprintf('ZLreq1 Value: real and imaginer part = %f %f\n',real(ZLreq1)*50,imag(ZLreq1)*50);
fprintf(fid_w,'ZLreq1 Value: real and imaginer part = %f %f\n',real(ZLreq1)*50,imag(ZLreq1)*50);

% ZSreq value %
ZSreq=Zopt;

% ZSreq value %
fprintf('ZSreq Value: real and imaginer part = %f %f\n',real(ZSreq)*50,imag(ZSreq)*50);
fprintf(fid_w,'ZSreq Value: real and imaginer part = %f %f\n',real(ZSreq)*50,imag(ZSreq)*50);

% fid_w will be open in empcal.m
fclose(fid_w);

ZLreq=ZLreq1; % print the first one in the intersection %

elseif (IntersectionExist ~= 0) & (Freq == Fmin) % T1 and T1 identical, Zs=Zopt

% open fid_w for append
fid_w = fopen('out_int.txt','at+'); % write output to a file %

% Zi value %
fprintf('ZireqT11=ZireqT21 Value: real and imaginer part = %f %f, ZireqT12=ZireqT22 Value: real
and imaginer part = %f %f\n',real(ZireqT11)*50,imag(ZireqT11)*50,real(ZireqT12)*50,imag(ZireqT12)*50);
fprintf(fid_w,'ZireqT11=ZireqT21 Value: real and imaginer part = %f %f, ZireqT12=ZireqT22
Value: real and imaginer part = %f %f\n',real(ZireqT11)*50,imag(ZireqT11)*50,real(ZireqT12)*50,imag(ZireqT12)*50);

% ZLreq value %
ZLreq1=((Z12*Z21)/(Z11-ZireqT11)-Z22);
ZLreq2=((Z12*Z21)/(Z11-ZireqT12)-Z22);

% ZLreq value %
fprintf('ZLreq1 Value: real and imaginer part = %f %f\n',real(ZLreq1)*50,imag(ZLreq1)*50);
fprintf(fid_w,'ZLreq1 Value: real and imaginer part = %f %f\n',real(ZLreq1)*50,imag(ZLreq1)*50);
fprintf('ZLreq2 Value: real and imaginer part = %f %f\n',real(ZLreq2)*50,imag(ZLreq2)*50);
fprintf(fid_w,'ZLreq2 Value: real and imaginer part = %f %f\n',real(ZLreq2)*50,imag(ZLreq2)*50);

% ZSreq value %

```

```

ZSreq=Zopt;

% ZSreq value %
fprintf('ZSreq Value: real and imaginer part = %f %f\n',real(ZSreq)*50,imag(ZSreq)*50);
fprintf(fid_w,'ZSreq Value: real and imaginer part = %f %f\n',real(ZSreq)*50,imag(ZSreq)*50);

% fid_w will be open in empcal.m
fclose(fid_w);

ZLreq=ZLreq1; % print the first one in the intersection %

elseif (InstersectionExist ~= 0) & (Vireq == 1) % T1 and T1 identical, Zs=conj(Zi)

% open fid_w for append
fid_w = fopen('out_int.txt','at+'); % write output to a file %

% Zi value %
fprintf('ZireqT11=ZireqT21 Value: real and imaginer part = %f %f, ZireqT12=ZireqT22 Value: real
and imaginer part = %f %f\n',real(ZireqT11)*50,imag(ZireqT11)*50,real(ZireqT12)*50,imag(ZireqT12)*50);
fprintf(fid_w,'ZireqT11=ZireqT21 Value: real and imaginer part = %f %f, ZireqT12=ZireqT22
Value: real and imaginer part = %f %f\n',real(ZireqT11)*50,imag(ZireqT11)*50,real(ZireqT12)*50,imag(ZireqT12)*50);

% ZLreq value %
ZLreq1=((Z12*Z21)/(Z11-ZireqT11)-Z22);
ZLreq2=((Z12*Z21)/(Z11-ZireqT12)-Z22);

% ZLreq value %
fprintf('ZLreq1 Value: real and imaginer part = %f %f\n',real(ZLreq1)*50,imag(ZLreq1)*50);
fprintf(fid_w,'ZLreq1 Value: real and imaginer part = %f %f\n',real(ZLreq1)*50,imag(ZLreq1)*50);
fprintf('ZLreq2 Value: real and imaginer part = %f %f\n',real(ZLreq2)*50,imag(ZLreq2)*50);
fprintf(fid_w,'ZLreq2 Value: real and imaginer part = %f %f\n',real(ZLreq2)*50,imag(ZLreq2)*50);

% ZSreq value %
ZSreq1=conj(ZireqT11);
ZSreq2=conj(ZireqT12);

% ZSreq value %
fprintf('ZSreq1 Value: real and imaginer part = %f %f\n',real(ZSreq1)*50,imag(ZSreq1)*50);
fprintf(fid_w,'ZSreq1 Value: real and imaginer part = %f %f\n',real(ZSreq1)*50,imag(ZSreq1)*50);
fprintf('ZSreq2 Value: real and imaginer part = %f %f\n',real(ZSreq2)*50,imag(ZSreq2)*50);
fprintf(fid_w,'ZSreq2 Value: real and imaginer part = %f %f\n',real(ZSreq2)*50,imag(ZSreq2)*50);

% fid_w will be open in empcal.m
fclose(fid_w);

ZLreq=ZLreq1; % print the first one in the intersection %
ZSreq=ZSreq1; % print the first one in the intersection %

else

% open fid_w for append
fid_w = fopen('out_int.txt','at+'); % write output to a file %

```

```

fprintf('No solution in Region-3: (InstersectionExist = 0) | (Vireq = 1) | (Freq = Fmin)\n');
fprintf(fid_w,'No solution in Region-3: (InstersectionExist = 0) | (Vireq = 1) | (Freq = Fmin)\n');

% fid_w will be open in empcal.m
fclose(fid_w);

ZSreq= NaN+i*NaN;
ZLreq= NaN+i*NaN;

end;

% fprintf(fid_w_g,%f      %f      %f      %f      %f
% f\n',f,GTMAX,GTMIN,real(ZL)*50,imag(ZL)*50,real(ZS)*50,imag(ZS)*50); %
fprintf(fid_w_g,%f      %f      %f      %f      %f      %f      %f      %f
% f      %f
% f\n',Vireq,FdB,f,GTMAX,real(ZL)*50,imag(ZL)*50,real(ZS)*50,imag(ZS)*50,GTDBreq,real(ZLreq)
*50,imag(ZLreq)*50,real(ZSreq)*50,imag(ZSreq)*50);

% open fid_w for append
fid_w = fopen('out_int.txt','at+'); % write output to a file %

elseif (abs(ZCGmax-Zct1) < rt1) & (rt2 < abs(ZCGmax-Zct2))

fprintf('(abs(ZCGmax-Zct1) < rt1) & (rt2 < abs(ZCGmax-Zct2)): ZCGmax in Region-3\n');
fprintf(fid_w,'(abs(ZCGmax-Zct1) < rt1) & (rt2 < abs(ZCGmax-Zct2)): ZCGmax in Region-3\n');

% Zcgmax in Region-3; GTmax=GTMAX %
% GTMAX value; absolute stability and Zcgmax in Region-3 %
GTMC=(Q-sqrt(Q^2-abs(Z)^2)*C)/(abs(Z12)^2);

% GTmax Circle (a point )%
rgmax=0;
ZCGTM= ZCGmax+rgmax*exp(i*teta);
RCGTM=real(ZCGTM);
XCGTM=imag(ZCGTM);

% Load and Source impedance calculation; Zcgmax in Region-3 %
% Zi value %
if (Vireq == 1) & (Freq == Fmin) % VSWR and Noise match, rn=rv=rt1=tr2=0, Zs=Zopt=Zcn,Rmod=0
Zi=conj(Zopt), Zcv=conj(Zi)
Zi=conj(Zopt);
else
    Zi=ZCGmax;
end

fprintf('Zi Value: real and imaginer part = %f %f\n',real(Zi)*50,imag(Zi)*50);
fprintf(fid_w,'Zi Value: real and imaginer part = %f %f\n',real(Zi)*50,imag(Zi)*50);

% ZL value %
ZL=((Z12*Z21)/(Z11-Zi)-Z22);

fprintf('ZL Value: real and imaginer part = %f %f\n',real(ZL)*50,imag(ZL)*50);

```

```

fprintf(fid_w,'ZL Value: real and imaginer part = %f %f\n',real(ZL)*50,imag(ZL)*50);

% ZS values %
Rcv=(1+Rmod^2)*real(Zi)/C;
Xcv=-imag(Zi);
Zcv=Rcv+i*Xcv;
rv=2*Rmod*real(Zi)/C;

A=(Rcn-Rcv)/(Xcv-Xcn);
B=(abs(Zi)^2-abs(Zopt)^2)/(2*(Xcv-Xcn));
K=(Rcn+A*Xcn-A*B)/(1+A^2);
D=(B^2+abs(Zopt)^2-2*Xcn*B)/(1+A^2);

Rs1=K+sqrt(K^2-D);
Xs1=A*Rs1+B;
Rs2=K-sqrt(K^2-D);
Xs2=A*Rs2+B;

if (Vireq == 1) & (Freq == Fmin) % VSWR and Noise match, rn=rv=r1=tr2=0, Zs=Zopt=Zcn,Rmod=0
Zi=conj(Zopt), Zcv=conj(Zi)
    Zs1=Zopt;
    Zs2=Zopt;
else
    Zs1=Rs1+i*Xs1;
    Zs2=Rs2+i*Xs2;
end

ZS=Zs1;

fprintf('Zs1 Value: real and imaginer part = %f %f\n',real(Zs1)*50,imag(Zs1)*50);
fprintf(fid_w,'Zs1 Value: real and imaginer part = %f %f\n',real(Zs1)*50,imag(Zs1)*50);

fprintf('Zs2 Value: real and imaginer part = %f %f\n',real(Zs2)*50,imag(Zs2)*50);
fprintf(fid_w,'Zs2 Value: real and imaginer part = %f %f\n',real(Zs2)*50,imag(Zs2)*50);

% MAG value; absolute stability and Zcgmax in Region-3 (Rmod=0-> C=1) %
MAGndB=(Q-sqrt(Q^2-abs(Z)^2))/(abs(Z12)^2);
MAG=10*log10(MAGndB); % MAG in dB %

fprintf('MAG Value (dB) = %f\n',MAG);
%fprintf(fid_w,'MAG Value (dB) = %f\n',MAG);

% GTMAX value; absolute stability and Zcgmax in Region-3 %
GTMAX=10*log10(GTMC);
GTMIN=0; % in dB %

% if GTMAX > MAG % MAG is the available maximum gain %
%   GTMAX=MAG;
% end;

fprintf('GTMAX Value (dB) = %f\n',GTMAX);
fprintf(fid_w,'GTMAX Value (dB) = %f\n',GTMAX);

```

```

fprintf('GTMIN      Value      (dB)      =      %f\n',GTMIN);
fprintf(fid_w,'GTMIN Value (dB) = %f\n',GTMIN);

% Define values to plot f-GTmax %
x_f(counts)=f;
y_gtmax(counts)=GTMAX;
y_gtreq(counts)=GTDBreq;
z_gtmin(counts)=GTMIN;

% fid_w will be open in empcal.m
fclose(fid_w);

% Caluclate impedances on T1 and T2 intersection points and other points in Region-3
if (InstersectionExist ~= 0) & (Vireq ~= 1) & (Freq ~= Fmin) % go to claculation in Region-3

[ZLreq,ZSreq]=empcal(ZireqT11,ZireqT12,ZireqT21,ZireqT22,Z11,Z12,Z21,Z22,Rmod,C,Zopt,teta,Rcn,Xcn,rn
,RCGreq,XCGreq,rgreq,Rct2,Xct2,rt2,Rct1,Xct1,rt1,Ri1,Xi1,Ri2,Xi2,step_for_sample_on_circle,switch_for_plo
t)

elseif (InstersectionExist ~= 0) & (Vireq == 1) & (Freq == Fmin) % T1,T2,Vi,F are a point

% open fid_w for append
fid_w = fopen('out_int.txt','at+'); % write output to a file %

% Zi value %
fprintf('ZireqT11=ZireqT12=ZireqT21=ZireqT22= Value: real and imaginer part =
%f\n',real(ZireqT11)*50,imag(ZireqT11)*50);
fprintf(fid_w,'ZireqT11=ZireqT12=ZireqT21=ZireqT22= Value: real and imaginer part =
%f\n',real(ZireqT11)*50,imag(ZireqT11)*50);

% ZLreq value %
ZLreq1=((Z12*Z21)/(Z11-ZireqT11)-Z22);

% ZLreq value %
fprintf('ZLreq1 Value: real and imaginer part = %f %f\n',real(ZLreq1)*50,imag(ZLreq1)*50);
fprintf(fid_w,'ZLreq1 Value: real and imaginer part = %f %f\n',real(ZLreq1)*50,imag(ZLreq1)*50);

% ZSreq value %
ZSreq=Zopt;

% ZSreq value %
fprintf('ZSreq Value: real and imaginer part = %f %f\n',real(ZSreq)*50,imag(ZSreq)*50);
fprintf(fid_w,'ZSreq Value: real and imaginer part = %f %f\n',real(ZSreq)*50,imag(ZSreq)*50);

% fid_w will be open in empcal.m
fclose(fid_w);

ZLreq=ZLreq1; % print the first one in the intersection %

elseif (InstersectionExist ~= 0) & (Freq == Fmin) % T1 and T1 identical, Zs=Zopt

```

```

% open fid_w for append
fid_w = fopen('out_int.txt','at+'); % write output to a file %

% Zi value %
fprintf('ZireqT11=ZireqT21 Value: real and imaginer part = %f %f, ZireqT12=ZireqT22 Value: real
and imaginer part = %f %f\n',real(ZireqT11)*50,imag(ZireqT11)*50,real(ZireqT12)*50,imag(ZireqT12)*50);
fprintf(fid_w,'ZireqT11=ZireqT21 Value: real and imaginer part = %f %f, ZireqT12=ZireqT22
Value: real and imaginer part = %f %f\n',real(ZireqT11)*50,imag(ZireqT11)*50,real(ZireqT12)*50,imag(ZireqT12)*50);

% ZLreq value %
ZLreq1=((Z12*Z21)/(Z11-ZireqT11)-Z22);
ZLreq2=((Z12*Z21)/(Z11-ZireqT12)-Z22);

% ZLreq value %
fprintf('ZLreq1 Value: real and imaginer part = %f %f\n',real(ZLreq1)*50,imag(ZLreq1)*50);
fprintf(fid_w,'ZLreq1 Value: real and imaginer part = %f %f\n',real(ZLreq1)*50,imag(ZLreq1)*50);
fprintf('ZLreq2 Value: real and imaginer part = %f %f\n',real(ZLreq2)*50,imag(ZLreq2)*50);
fprintf(fid_w,'ZLreq2 Value: real and imaginer part = %f %f\n',real(ZLreq2)*50,imag(ZLreq2)*50);

% ZSreq value %
ZSreq=Zopt;

% ZSreq value %
fprintf('ZSreq Value: real and imaginer part = %f %f\n',real(ZSreq)*50,imag(ZSreq)*50);
fprintf(fid_w,'ZSreq Value: real and imaginer part = %f %f\n',real(ZSreq)*50,imag(ZSreq)*50);

% fid_w will be open in empca.m
fclose(fid_w);

ZLreq=ZLreq1; % print the first one in the intersection %

elseif (InstersectionExist == 0) & (Vireq == 1) % T1 and T1 identical, Zs=conj(Zi)

% open fid_w for append
fid_w = fopen('out_int.txt','at+'); % write output to a file %

% Zi value %
fprintf('ZireqT11=ZireqT21 Value: real and imaginer part = %f %f, ZireqT12=ZireqT22 Value: real
and imaginer part = %f %f\n',real(ZireqT11)*50,imag(ZireqT11)*50,real(ZireqT12)*50,imag(ZireqT12)*50);
fprintf(fid_w,'ZireqT11=ZireqT21 Value: real and imaginer part = %f %f, ZireqT12=ZireqT22
Value: real and imaginer part = %f %f\n',real(ZireqT11)*50,imag(ZireqT11)*50,real(ZireqT12)*50,imag(ZireqT12)*50);

% ZLreq value %
ZLreq1=((Z12*Z21)/(Z11-ZireqT11)-Z22);
ZLreq2=((Z12*Z21)/(Z11-ZireqT12)-Z22);

% ZLreq value %
fprintf('ZLreq1 Value: real and imaginer part = %f %f\n',real(ZLreq1)*50,imag(ZLreq1)*50);
fprintf(fid_w,'ZLreq1 Value: real and imaginer part = %f %f\n',real(ZLreq1)*50,imag(ZLreq1)*50);
fprintf('ZLreq2 Value: real and imaginer part = %f %f\n',real(ZLreq2)*50,imag(ZLreq2)*50);

```

```

fprintf(fid_w,'ZLreq2 Value: real and imaginer part = %f\n',real(ZLreq2)*50,imag(ZLreq2)*50);

% ZSreq value %
ZSreq1=conj(ZireqT11);
ZSreq2=conj(ZireqT12);

% ZSreq value %
fprintf('ZSreq1 Value: real and imaginer part = %f %f\n',real(ZSreq1)*50,imag(ZSreq1)*50);
fprintf(fid_w,'ZSreq1 Value: real and imaginer part = %f %f\n',real(ZSreq1)*50,imag(ZSreq1)*50);
fprintf('ZSreq2 Value: real and imaginer part = %f %f\n',real(ZSreq2)*50,imag(ZSreq2)*50);
fprintf(fid_w,'ZSreq2 Value: real and imaginer part = %f %f\n',real(ZSreq2)*50,imag(ZSreq2)*50);

% fid_w will be open in empcal.m
fclose(fid_w);

ZLreq=ZLreq1; % print the first one in the intersection %
ZSreq=ZSreq1; % print the first one in the intersection %

else

% open fid_w for append
fid_w = fopen('out_int.txt','at+'); % write output to a file %

fprintf('No solution in Region-3: (InstersectionExist = 0) | (Vireq = 1) | (Freq = Fmin)\n');
fprintf(fid_w,'No solution in Region-3: (InstersectionExist = 0) | (Vireq = 1) | (Freq = Fmin)\n');

% fid_w will be open in empcal.m
fclose(fid_w);

ZSreq= NaN+i*NaN;
ZLreq= NaN+i*NaN;

end;

%
fprintf(fid_w_g,%f %f %f %f %f
%f\n',f,GTMAX,GTMIN,real(ZL)*50,imag(ZL)*50,real(ZS)*50,imag(ZS)*50); %
fprintf(fid_w_g,%f %f %f %f %f %f %f %f
%f\n',Vireq,FdB,f,GTMAX,real(ZL)*50,imag(ZL)*50,real(ZS)*50,imag(ZS)*50,GTDBreq,real(ZLreq)
*50,imag(ZLreq)*50,real(ZSreq)*50,imag(ZSreq)*50);

% open fid_w for append
fid_w = fopen('out_int.txt','at+'); % write output to a file %

elseif abs(ZCGmax-Zct2) == rt2

fprintf('abs(ZCGmax-Zct2) == rt2: ZCGmax in Region-4\n');
fprintf(fid_w,'abs(ZCGmax-Zct2) == rt2: ZCGmax in Region-4\n');

% Zcgmax in Region-4; GTmax-->T2 %
% GTMAX value; absolute stability and Zcgmax in Region-4 %
GTMC=(Q-sqrt(Q^2-abs(Z)^2)*C)/(abs(Z12)^2);

```

```

% GTmax Circle (a point)%
rgmax=0;
ZCGTM= ZCGmax+rgmax*exp(i*teta);
RCGTM=real(ZCGTM);
XCGTM=imag(ZCGTM);

% Load and Source impedance calculation; Zcgmax in Region-4 %
% Zi value %
if (Vireq == 1) & (Freq == Fmin) % VSWR and Noise match, rn=rv=rt1=tr2=0, Zs=Zopt=Zcn,Rmod=0
Zi=conj(Zopt), Zcv=conj(Zi)
Zi=conj(Zopt);
else
Zi=ZCGmax;
end

fprintf('Zi Value: real and imaginer part = %f %f\n',real(Zi)*50,imag(Zi)*50);
fprintf(fid_w,'Zi Value: real and imaginer part = %f %f\n',real(Zi)*50,imag(Zi)*50);

% ZL value %
ZL=((Z12*Z21)/(Z11-Zi)-Z22);

fprintf('ZL Value: real and imaginer part = %f %f\n',real(ZL)*50,imag(ZL)*50);
fprintf(fid_w,'ZL Value: real and imaginer part = %f %f\n',real(ZL)*50,imag(ZL)*50);

% ZS values %
Rcv=(1+Rmod^2)*real(Zi)/C;
Xcv=-imag(Zi);
Zcv=Rcv+i*Xcv;
rv=2*Rmod*real(Zi)/C;
if (Vireq == 1) & (Freq == Fmin) % VSWR and Noise match, rn=rv=rt1=tr2=0, Zs=Zopt=Zcn,Rmod=0
Zi=conj(Zopt), Zcv=conj(Zi)
ZS=Zopt;
else
if rn > rv
ZS=(((rn/(rn-rv))*Zcv)-((rv/(rn-rv))*Zcn));
else
ZS=(((rv/(rv-rn))*Zcn)-((rn/(rv-rn))*Zcv)); % rn <= rv %
end;
end

fprintf('ZS Value: real and imaginer part = %f %f\n',real(ZS)*50,imag(ZS)*50);
fprintf(fid_w,'ZS Value: real and imaginer part = %f %f\n',real(ZS)*50,imag(ZS)*50);

% MAG value; absolute stability and Zcgmax in Region-4 (Rmod=0--> C=1) %
MAGndB=(Q-sqrt(Q^2-abs(Z)^2))/(abs(Z12)^2);
MAG=10*log10(MAGndB); % MAG in dB %

fprintf('MAG Value (dB) = %f\n',MAG);
%fprintf(fid_w,'MAG Value (dB) = %f\n',MAG);

% GTMAX value; absolute stability and Zcgmax in Region-4 %

```

```

GTMAX=10*log10(GTMC);
GTMIN=0; % in dB %

% if GTMAX > MAG % MAG is the available maximum gain %
% GTMAX=MAG;
% end;

fprintf('GTMAX Value (dB) = %f\n',GTMAX);
fprintf(fid_w,'GTMAX Value (dB) = %f\n',GTMAX);
fprintf('GTMIN Value (dB) = %f\n',GTMIN);
fprintf(fid_w,'GTMIN Value (dB) = %f\n',GTMIN);

% Define values to plot f-GTmax %
x_f(counts)=f;
y_gtmax(counts)=GTMAX;
y_gtreq(counts)=GTDBreq;
z_gtmin(counts)=GTMIN;

% fid_w will be open in empca.m
fclose(fid_w);

% Caluclate empedances on T1 and T2 intersection points and other points in Region-3
if (InstersectionExist ~= 0) & (Vireq ~= 1) & (Freq ~= Fmin) % go to claculation in Region-3

[ZLreq,ZSreq]=empca(ZireqT11,ZireqT12,ZireqT21,ZireqT22,Z11,Z12,Z21,Z22,Rmod,C,Zopt,teta,Rcn,Xcn,rn
,RCGreq,XCGreq,rgreq,Rct2,Xct2,rt2,Rct1,Xct1,rt1,Ri1,Xi1,Ri2,Xi2,step_for_sample_on_circle,switch_for_plo
t)

elseif (InstersectionExist ~= 0) & (Vireq == 1) & (Freq == Fmin) % T1,T2,Vi,F are a point

% open fid_w for append
fid_w = fopen('out_int.txt','at+'); % write output to a file %

% Zi value %
fprintf('ZireqT11=ZireqT12=ZireqT21=ZireqT22= Value: real and imaginer part =
%f\n',real(ZireqT11)*50,imag(ZireqT11)*50);
fprintf(fid_w,'ZireqT11=ZireqT12=ZireqT21=ZireqT22= Value: real and imaginer part =
%f\n',real(ZireqT11)*50,imag(ZireqT11)*50);

% ZLreq value %
ZLreq1=((Z12*Z21)/(Z11-ZireqT11)-Z22);

% ZLreq value %
fprintf('ZLreq1 Value: real and imaginer part = %f %f\n',real(ZLreq1)*50,imag(ZLreq1)*50);
fprintf(fid_w,'ZLreq1 Value: real and imaginer part = %f %f\n',real(ZLreq1)*50,imag(ZLreq1)*50);

% ZSreq value %
ZSreq=Zopt;

% ZSreq value %
fprintf('ZSreq Value: real and imaginer part = %f %f\n',real(ZSreq)*50,imag(ZSreq)*50);

```

```

        fprintf(fid_w,'ZSreq Value: real and imaginer part = %f\n',real(ZSreq)*50,imag(ZSreq)*50);

% fid_w will be open in empcal.m
fclose(fid_w);

ZLreq=ZLreq1; % print the first one in the intersection %

elseif (InstersectionExist ~= 0) & (Freq == Fmin) % T1 and T1 identical, Zs=Zopt

% open fid_w for append
fid_w = fopen('out_int.txt','at+'); % write output to a file %

% Zi value %
fprintf('ZireqT11=ZireqT21 Value: real and imaginer part = %f %f, ZireqT12=ZireqT22 Value: real
and imaginer part = %f %f\n',real(ZireqT11)*50,imag(ZireqT11)*50,real(ZireqT12)*50,imag(ZireqT12)*50);
fprintf(fid_w,'ZireqT11=ZireqT21 Value: real and imaginer part = %f %f, ZireqT12=ZireqT22
Value: real and imaginer part = %f %f\n',real(ZireqT11)*50,imag(ZireqT11)*50,real(ZireqT12)*50,imag(ZireqT12)*50);

% ZLreq value %
ZLreq1=((Z12*Z21)/(Z11-ZireqT11)-Z22);
ZLreq2=((Z12*Z21)/(Z11-ZireqT12)-Z22);

% ZLreq value %
fprintf('ZLreq1 Value: real and imaginer part = %f %f\n',real(ZLreq1)*50,imag(ZLreq1)*50);
fprintf(fid_w,'ZLreq1 Value: real and imaginer part = %f %f\n',real(ZLreq1)*50,imag(ZLreq1)*50);
fprintf('ZLreq2 Value: real and imaginer part = %f %f\n',real(ZLreq2)*50,imag(ZLreq2)*50);
fprintf(fid_w,'ZLreq2 Value: real and imaginer part = %f %f\n',real(ZLreq2)*50,imag(ZLreq2)*50);

% ZSreq value %
ZSreq=Zopt;

% ZSreq value %
fprintf('ZSreq Value: real and imaginer part = %f %f\n',real(ZSreq)*50,imag(ZSreq)*50);
fprintf(fid_w,'ZSreq Value: real and imaginer part = %f %f\n',real(ZSreq)*50,imag(ZSreq)*50);

% fid_w will be open in empcal.m
fclose(fid_w);

ZLreq=ZLreq1; % print the first one in the intersection %

elseif (InstersectionExist ~= 0) & (Vireq == 1) % T1 and T1 identical, Zs=conj(Zi)

% open fid_w for append
fid_w = fopen('out_int.txt','at+'); % write output to a file %

% Zi value %
fprintf('ZireqT11=ZireqT21 Value: real and imaginer part = %f %f, ZireqT12=ZireqT22 Value: real
and imaginer part = %f %f\n',real(ZireqT11)*50,imag(ZireqT11)*50,real(ZireqT12)*50,imag(ZireqT12)*50);
fprintf(fid_w,'ZireqT11=ZireqT21 Value: real and imaginer part = %f %f, ZireqT12=ZireqT22
Value: real and imaginer part = %f %f\n',real(ZireqT11)*50,imag(ZireqT11)*50,real(ZireqT12)*50,imag(ZireqT12)*50);

```

```
%f\n',real(ZireqT11)*50,imag(ZireqT11)*50,real(ZireqT12)*50,imag(ZireqT12)*50);

% ZLreq value %
ZLreq1=((Z12*Z21)/(Z11-ZireqT11)-Z22);
ZLreq2=((Z12*Z21)/(Z11-ZireqT12)-Z22);

% ZLreq value %
fprintf('ZLreq1 Value: real and imaginer part = %f %f\n',real(ZLreq1)*50,imag(ZLreq1)*50);
fprintf(fid_w,'ZLreq1 Value: real and imaginer part = %f %f\n',real(ZLreq1)*50,imag(ZLreq1)*50);
fprintf('ZLreq2 Value: real and imaginer part = %f %f\n',real(ZLreq2)*50,imag(ZLreq2)*50);
fprintf(fid_w,'ZLreq2 Value: real and imaginer part = %f %f\n',real(ZLreq2)*50,imag(ZLreq2)*50);

% ZSreq value %
ZSreq1=conj(ZireqT11);
ZSreq2=conj(ZireqT12);

% ZSreq value %
fprintf('ZSreq1 Value: real and imaginer part = %f %f\n',real(ZSreq1)*50,imag(ZSreq1)*50);
fprintf(fid_w,'ZSreq1 Value: real and imaginer part = %f %f\n',real(ZSreq1)*50,imag(ZSreq1)*50);
fprintf('ZSreq2 Value: real and imaginer part = %f %f\n',real(ZSreq2)*50,imag(ZSreq2)*50);
fprintf(fid_w,'ZSreq2 Value: real and imaginer part = %f %f\n',real(ZSreq2)*50,imag(ZSreq2)*50);

% fid_w will be open in empcal.m
fclose(fid_w);

ZLreq=ZLreq1; % print the first one in the intersection %
ZSreq=ZSreq1; % print the first one in the intersection %

else

% open fid_w for append
fid_w = fopen('out_int.txt','at+'); % write output to a file %

fprintf('No solution in Region-3: (InstersectionExist = 0) | (Vireq = 1) | (Freq = Fmin)\n');
fprintf(fid_w,'No solution in Region-3: (InstersectionExist = 0) | (Vireq = 1) | (Freq = Fmin)\n');

% fid_w will be open in empcal.m
fclose(fid_w);

ZSreq= NaN+i*NaN;
ZLreq= NaN+i*NaN;

end;

% fprintf(fid_w_g,%f      %f      %f      %f      %f
% f\n',f,GTMAX,GTMIN,real(ZL)*50,imag(ZL)*50,real(ZS)*50,imag(ZS)*50); %
fprintf(fid_w_g,%f      %f      %f      %f      %f      %f      %f      %f
% f\n',Vireq,FdB,f,GTMAX,real(ZL)*50,imag(ZL)*50,real(ZS)*50,imag(ZS)*50,GTDBreq,real(ZLreq)
*50,imag(ZLreq)*50,real(ZSreq)*50,imag(ZSreq)*50);

% open fid_w for append
```

```

fid_w = fopen('out_int.txt','at+'); % write output to a file %

elseif abs(ZCGmax-Zct2) < rt2

    fprintf('abs(ZCGmax-Zct2) < rt2: ZCGmax in Region-5 (tangent case --> GTmax)\n');
    fprintf(fid_w,'abs(ZCGmax-Zct2) < rt2: ZCGmax in Region-5 (tangent case --> GTmax)\n');

% Zcgmax in Region-5 %
% GTMAX value; absolute stability and Zcgmax in Region-5 (tangent case --> GTmax) %

if (Vireq == 1) & (Freq == Fmin) % VSWR and Noise match, rn=rv=rt1=tr2=0, Zs=Zopt=Zcn,Rmod=0
Zi=conj(Zopt), Zcv=conj(Zi)
    GTMC=(Q-sqrt(Q^2-abs(Z)^2)*C)/(abs(Z12)^2);
else
    D=(R22*abs(Z11)^2-R*R11*X11)/R22+abs(Zopt)^2;
    E=(D*R22-Rct2*(2*R11*R22-R)-2*Xct2*XCG*R22)/(-rt2);
    F=Rct2/(-rt2);

    GTpayn=C*(Q+E*F-sqrt(((Q+E*F)^2-(1-F^2)*(abs(Z)^2-E^2))));%
    GTpayda=(abs(Z12)^2*(1-F^2));
    GTMCn=GTpayn/GTpayda;

    GTpayp=C*(Q+E*F+sqrt(((Q+E*F)^2-(1-F^2)*(abs(Z)^2-E^2))));%
    GTpayda=(abs(Z12)^2*(1-F^2));
    GTMCp=GTpayp/GTpayda;

if GTMCn > GTMCp
    GTMC=GTMCn;
    GTmC=GTMCp;
else
    GTMC=GTMCp;
    GTmC=GTMCn;
end;

% Checking negative sign for GTmC %
if GTmC < 0
    GT_Negative=1;
    GTmC=abs(GTmC);
end
end

P=abs(Z12)^2/C*GTMC;

RCGmax = (Q - P)/(2*R22);
XCGmax = XCG;
ZCGmax = RCGmax + i*XCGmax;
rgmax = (sqrt(P^2-2*Q*P+abs(Z)^2))/(2*R22);

% GTmax Circle %
ZCGTM=ZCGmax+rgmax*exp(i*teta);
RCGTM=real(ZCGTM);

```

```

XCGTM=imag(ZCGTM);

% Load and Source impedance calculation; Zcgmax in Region-5 %
% Zi value %
if (Vireq == 1) & (Freq == Fmin) % VSWR and Noise match, rn=rv=r1=r2=0, Zs=Zopt=Zcn,Rmod=0
Zi=conj(Zopt), Zcv=conj(Zi)
    Zi=conj(Zopt);
else
    Zi=((rgmax/(rgmax-rt2))*Zct2)-((rt2/(rgmax-rt2))*ZCGmax));
end

fprintf('Zi Value: real and imaginer part = %f %f\n',real(Zi)*50,imag(Zi)*50);
fprintf(fid_w,'Zi Value: real and imaginer part = %f %f\n',real(Zi)*50,imag(Zi)*50);

% ZL value %
ZL=((Z12*Z21)/(Z11-Zi)-Z22);

fprintf('ZL Value: real and imaginer part = %f %f\n',real(ZL),imag(ZL));
fprintf(fid_w,'ZL Value: real and imaginer part = %f %f\n',real(ZL),imag(ZL));

% ZS values %
Rcv=(1+Rmod^2)*real(Zi)/C;
Xcv=-imag(Zi);
Zcv=Rcv+i*Xcv;
rv=2*Rmod*real(Zi)/C;
if (Vireq == 1) & (Freq == Fmin) % VSWR and Noise match, rn=rv=r1=r2=0, Zs=Zopt=Zcn,Rmod=0
Zi=conj(Zopt), Zcv=conj(Zi)
    ZS=Zopt;
else
    if rn > rv
        ZS=((rn/(rn-rv))*Zcv)-((rv/(rn-rv))*Zcn));
    else
        ZS=((rv/(rv-rn))*Zcn)-((rn/(rv-rn))*Zcv)); % rn <= rv %
    end;
end

fprintf('ZS Value: real and imaginer part = %f %f\n',real(ZS)*50,imag(ZS)*50);
fprintf(fid_w,'ZS Value: real and imaginer part = %f %f\n',real(ZS)*50,imag(ZS)*50);

% MAG value; absolute stability and Zcgmax in Region-5 (Rmod=0--> C=1) %
MAGndB=(Q-sqrt(Q^2-abs(Z)^2))/(abs(Z12)^2);
MAG=10*log10(MAGndB); % MAG in dB %

fprintf('MAG Value (dB) = %f\n',MAG);
%fprintf(fid_w,'MAG Value (dB) = %f\n',MAG);

% GTMAX value; absolute stability and Zcgmax in Region-5 %
GTMAX=10*log10(GTMC);
if GT_Negative == 1 % Negative GT %
    GTMIN=-10*log10(GTmC);
else
    GTMIN=10*log10(GTmC);
end

```

```

% if GTMAX > MAG    % MAG is the available maximum gain %
%
%   GTMAX=MAG;
%
% end;

fprintf('GTMAX Value (dB) = %f\n',GTMAX);
fprintf(fid_w,'GTMAX Value (dB) = %f\n',GTMAX);
fprintf('GTMIN Value (dB) = %f\n',GTMIN);
fprintf(fid_w,'GTMIN Value (dB) = %f\n',GTMIN);

% Define values to plot f-GTmax %
x_f(counts)=f;
y_gtmax(counts)=GTMAX;
y_gtreq(counts)=GTDBreq;
z_gtmin(counts)=GTMIN;

% fid_w will be open in empcal.m
fclose(fid_w);

% Caluclate empedances on T1 and T2 intersection points and other points in Region-3
if (InstersectionExist == 0) & (Vireq == 1) & (Freq == Fmin) % go to claculation in Region-3

[ZLreq,ZSreq]=empcal(ZireqT11,ZireqT12,ZireqT21,ZireqT22,Z11,Z12,Z21,Z22,Rmod,C,Zopt,teta,Rcn,Xcn,rn
,RCGreq,XCGreq,rgreq,Rct2,Xct2,rt2,Rct1,Xct1,rt1,Ri1,Xi1,Ri2,Xi2,step_for_sample_on_circle,switch_for_plo
t)

elseif (InstersectionExist == 0) & (Vireq == 1) & (Freq == Fmin) % T1,T2,Vi,F are a point

% open fid_w for append
fid_w = fopen('out_int.txt','at+'); % write output to a file %

% Zi value %
fprintf('ZireqT11=ZireqT12=ZireqT21=ZireqT22= Value: real and imaginer part =
%f\n',real(ZireqT11)*50,imag(ZireqT11)*50);
fprintf(fid_w,'ZireqT11=ZireqT12=ZireqT21=ZireqT22= Value: real and imaginer part =
%f\n',real(ZireqT11)*50,imag(ZireqT11)*50);

% ZLreq value %
ZLreq1=((Z12*Z21)/(Z11-ZireqT11)-Z22);

% ZLreq value %
fprintf('ZLreq1 Value: real and imaginer part = %f %f\n',real(ZLreq1)*50,imag(ZLreq1)*50);
fprintf(fid_w,'ZLreq1 Value: real and imaginer part = %f %f\n',real(ZLreq1)*50,imag(ZLreq1)*50);

% ZSreq value %
ZSreq=Zopt;

% ZSreq value %
fprintf('ZSreq Value: real and imaginer part = %f %f\n',real(ZSreq)*50,imag(ZSreq)*50);
fprintf(fid_w,'ZSreq Value: real and imaginer part = %f %f\n',real(ZSreq)*50,imag(ZSreq)*50);

```

```

% fid_w will be open in empcal.m
fclose(fid_w);

ZLreq=ZLreq1; % print the first one in the intersection %

elseif (InstersectionExist ~= 0) & (Freq == Fmin) % T1 and T1 identical, Zs=Zopt

% open fid_w for append
fid_w = fopen('out_int.txt','at+'); % write output to a file %

% Zi value %
fprintf('ZireqT11=ZireqT21 Value: real and imaginer part = %f %f, ZireqT12=ZireqT22 Value: real
and imaginer part = %f %f\n',real(ZireqT11)*50,imag(ZireqT11)*50,real(ZireqT12)*50,imag(ZireqT12)*50);
fprintf(fid_w,'ZireqT11=ZireqT21 Value: real and imaginer part = %f %f, ZireqT12=ZireqT22
Value: real and imaginer part = %f %f\n',real(ZireqT11)*50,imag(ZireqT11)*50,real(ZireqT12)*50,imag(ZireqT12)*50);

% ZLreq value %
ZLreq1=((Z12*Z21)/(Z11-ZireqT11)-Z22);
ZLreq2=((Z12*Z21)/(Z11-ZireqT12)-Z22);

% ZLreq value %
fprintf('ZLreq1 Value: real and imaginer part = %f %f\n',real(ZLreq1)*50,imag(ZLreq1)*50);
fprintf(fid_w,'ZLreq1 Value: real and imaginer part = %f %f\n',real(ZLreq1)*50,imag(ZLreq1)*50);
fprintf('ZLreq2 Value: real and imaginer part = %f %f\n',real(ZLreq2)*50,imag(ZLreq2)*50);
fprintf(fid_w,'ZLreq2 Value: real and imaginer part = %f %f\n',real(ZLreq2)*50,imag(ZLreq2)*50);

% ZSreq value %
ZSreq=Zopt;

% ZSreq value %
fprintf('ZSreq Value: real and imaginer part = %f %f\n',real(ZSreq)*50,imag(ZSreq)*50);
fprintf(fid_w,'ZSreq Value: real and imaginer part = %f %f\n',real(ZSreq)*50,imag(ZSreq)*50);

% fid_w will be open in empcal.m
fclose(fid_w);

ZLreq=ZLreq1; % print the first one in the intersection %

elseif (InstersectionExist ~= 0) & (Vireq == 1) % T1 and T1 identical, Zs=conj(Zi)

% open fid_w for append
fid_w = fopen('out_int.txt','at+'); % write output to a file %

% Zi value %
fprintf('ZireqT11=ZireqT21 Value: real and imaginer part = %f %f, ZireqT12=ZireqT22 Value: real
and imaginer part = %f %f\n',real(ZireqT11)*50,imag(ZireqT11)*50,real(ZireqT12)*50,imag(ZireqT12)*50);
fprintf(fid_w,'ZireqT11=ZireqT21 Value: real and imaginer part = %f %f, ZireqT12=ZireqT22
Value: real and imaginer part = %f %f\n',real(ZireqT11)*50,imag(ZireqT11)*50,real(ZireqT12)*50,imag(ZireqT12)*50);

% ZLreq value %

```

```

ZLreq1=((Z12*Z21)/(Z11-ZreqT11)-Z22);
ZLreq2=((Z12*Z21)/(Z11-ZreqT12)-Z22);

% ZLreq value %
fprintf('ZLreq1 Value: real and imaginer part = %f %f\n',real(ZLreq1)*50,imag(ZLreq1)*50);
fprintf(fid_w,'ZLreq1 Value: real and imaginer part = %f %f\n',real(ZLreq1)*50,imag(ZLreq1)*50);
fprintf('ZLreq2 Value: real and imaginer part = %f %f\n',real(ZLreq2)*50,imag(ZLreq2)*50);
fprintf(fid_w,'ZLreq2 Value: real and imaginer part = %f %f\n',real(ZLreq2)*50,imag(ZLreq2)*50);

% ZSreq value %
ZSreq1=conj(ZreqT11);
ZSreq2=conj(ZreqT12);

% ZSreq value %
fprintf('ZSreq1 Value: real and imaginer part = %f %f\n',real(ZSreq1)*50,imag(ZSreq1)*50);
fprintf(fid_w,'ZSreq1 Value: real and imaginer part = %f %f\n',real(ZSreq1)*50,imag(ZSreq1)*50);
fprintf('ZSreq2 Value: real and imaginer part = %f %f\n',real(ZSreq2)*50,imag(ZSreq2)*50);
fprintf(fid_w,'ZSreq2 Value: real and imaginer part = %f %f\n',real(ZSreq2)*50,imag(ZSreq2)*50);

% fid_w will be open in empcal.m
fclose(fid_w);

ZLreq=ZLreq1; % print the first one in the intersection %
ZSreq=ZSreq1; % print the first one in the intersection %

else

% open fid_w for append
fid_w = fopen('out_int.txt','at+'); % write output to a file %

fprintf('No solution in Region-3: (InstersectionExist = 0) | (Vireq = 1) | (Freq = Fmin)\n');
fprintf(fid_w,'No solution in Region-3: (InstersectionExist = 0) | (Vireq = 1) | (Freq = Fmin)\n');

% fid_w will be open in empcal.m
fclose(fid_w);

ZSreq= NaN+i*NaN;
ZLreq= NaN+i*NaN;

end;

% fprintf(fid_w_g,'%f      %f      %f      %f      %f      %f
% f\n',f,GTMAX,GTMIN,real(ZL)*50,imag(ZL)*50,real(ZS)*50,imag(ZS)*50); %
fprintf(fid_w_g,'%f      %f      %f      %f      %f      %f      %f      %f
% f\n',Vireq,FdB,f,GTMAX,real(ZL)*50,imag(ZL)*50,real(ZS)*50,imag(ZS)*50,GTDBreq,real(ZLreq)
*50,imag(ZLreq)*50,real(ZSreq)*50,imag(ZSreq)*50);

% open fid_w for append
fid_w = fopen('out_int.txt','at+'); % write output to a file %

else

```

```

fprintf('Not defined\n');
fprintf(fid_w,'Not defined\n');

end; % Concerning Solution %

% Drawing Circles % % Ri41 --> GTmin so not drawn %
if switch_for_plot == 1
    figure,plot(RCGTreq,XCGTreq,'k-',           Ri1,Xi1,'m-',Ri2,Xi2,'m-.',RCGTM,XCGTM,'b-',Ri5,Xi5,'g-
',Ri3,Xi3,'c-',Ri42,Xi42,'r:',Ri43,Xi43,'r:',Ri44,Xi44,'r:',Ri45,Xi45,'r:')
    axis([-1 1 -1 1])
    title('Zi-Plane')
    xlabel('real{Zi}'),ylabel('imag{Zi}'),grid
    gtext('GTreq'),gtext('T1'),gtext('T2'),gtext('GTmax'),gtext('ISC'),gtext('CSSC'),gtext('Gain
Circles'),gtext('Unconditional Stability')
end

elseif R11>0 & R22>0 & ita>0 & ita<1 % Stability: elseif %

% Conditionally stable %

fprintf('Conditionally stable: R11>0 & R22>0 & ita>0 & ita<1\n');
fprintf(fid_w,'Conditionally stable: R11>0 & R22>0 & ita>0 & ita<1\n');
fprintf('R11,R22,ita = %f,%f,%f\n',R11,R22,ita);
fprintf(fid_w,'R11,R22,ita = %f,%f,%f\n',R11,R22,ita);

% Calculating values for Required GT value in Conditional stability case

S=COEFS*(10^(GTDBreq*0.1));           % GTDBreq converted to dimensionless %
RCS = -(2*R11*R22-R)/(2*R22);
XCS = -(2*X11*R22-X)/(2*R22);
ZCS = RCS + i*XCS;
rs = abs(Z)/(2*R22);
RCGreq = -(RCS + S);
XCGreq = -XCS;
rgreq = sqrt(rs^2 + 2*S*RCS + S^2);
ZCGreq = RCGreq + i*XCGreq;

% GTDBreq Circle %
ZCGTreq= ZCGreq+rgreq*exp(i*teta);
RCGTreq=real(ZCGTreq);
XCGTreq=imag(ZCGTreq);

% Find out the intersection of two circles
InstersectionExist=1;
fprintf('GTDBreq, T1 and T2 circles:\n');
fprintf('RCGreq= %f, XCGreq= %f, rgreq= %f\n',RCGreq,XCGreq,rgreq);
fprintf('Rct1= %f, Xct1= %f, rt1= %f\n',Rct1,Xct1,rt1);
fprintf('Rct2= %f, Xct2= %f, rt2= %f\n',Rct2,Xct2,rt2);
fprintf(fid_w,'GTDBreq, T1 and T2 circles:\n');
fprintf(fid_w,'RCGreq= %f, XCGreq= %f, rgreq= %f\n',RCGreq,XCGreq,rgreq);
fprintf(fid_w,'Rct1= %f, Xct1= %f, rt1= %f\n',Rct1,Xct1,rt1);
fprintf(fid_w,'Rct2= %f, Xct2= %f, rt2= %f\n',Rct2,Xct2,rt2);

```

```

[RintT1,XintT1]=circlint(RCGreq,XCGreq,rreq,Rct1,Xct1,rt1);
ZireqT11=RintT1(1)+i*XintT1(1);
ZireqT12=RintT1(2)+i*XintT1(2);
% AlfaT11=atan(XintT1(1)/RintT1(1))*180/pi;
% AlfaT12=atan(XintT1(2)/RintT1(2))*180/pi;

fprintf('1. Intersection point on T1; RintT1 = %f: XintT1= %f\n',RintT1(1),XintT1(1));
fprintf(fid_w,'1. Intersection point on T1; RintT1 = %f: XintT1= %f\n',RintT1(1),XintT1(1));
% fprintf('Line Slope for 1. Intersection point on T1; AlfaT11(deg)= %f\n',AlfaT11);
% fprintf(fid_w,'Line Slope for 1. Intersection point on T1; AlfaT11(deg)= %f\n',AlfaT11);
fprintf('2. Intersection point on T1; RintT1 = %f: XintT1= %f\n',RintT1(2),XintT1(2));
fprintf(fid_w,'2. Intersection point on T1; RintT1 = %f: XintT1= %f\n',RintT1(2),XintT1(2));
% fprintf('Line Slope for 2. Intersection point on T1; AlfaT12(deg)= %f\n',AlfaT12);
% fprintf(fid_w,'Line Slope for 2. Intersection point on T1; AlfaT12(deg)= %f\n',AlfaT12);

fprintf('ZireqT11 Value: real and imaginer part = %f %f\n',RintT1(1)*50,XintT1(1)*50);
fprintf(fid_w,'ZireqT11 Value: real and imaginer part = %f %f\n',RintT1(1)*50,XintT1(1)*50);
fprintf('ZireqT12 Value: real and imaginer part = %f %f\n',RintT1(2)*50,XintT1(2)*50);
fprintf(fid_w,'ZireqT12 Value: real and imaginer part = %f %f\n',RintT1(2)*50,XintT1(2)*50);

% [cor_x,cor_y]=linecirc(AlfaT11,XintT1(1),RCGreq,XCGreq,rreq)
%
% fprintf('%f\n',cor_x);
% fprintf('%f\n',cor_y);

[RintT2,XintT2]=circlint(RCGreq,XCGreq,rreq,Rct2,Xct2,rt2);
ZireqT21=RintT2(1)+i*XintT2(1); % two intersection points on T2 %
ZireqT22=RintT2(2)+i*XintT2(2);
% AlfaT21=atan(XintT2(1)/RintT2(1))*180/pi;
% AlfaT22=atan(XintT2(2)/RintT2(2))*180/pi;

fprintf('1. Intersection point on T2; RintT2= %f: XintT2= %f\n',RintT2(1),XintT2(1));
fprintf(fid_w,'1. Intersection point on T2; RintT2= %f: XintT2= %f\n',RintT2(1),XintT2(1));
% fprintf('Line Slope for 1. Intersection point on T2; AlfaT21(deg)= %f\n',AlfaT21);
% fprintf(fid_w,'Line Slope for 1. Intersection point on T2; AlfaT21(deg)= %f\n',AlfaT21);
fprintf('2. Intersection point on T2; RintT2= %f: XintT2= %f\n',RintT2(2),XintT2(2));
fprintf(fid_w,'2. Intersection point on T2; RintT2= %f: XintT2= %f\n',RintT2(2),XintT2(2));
% fprintf('Line Slope for 2. Intersection point on T2; AlfaT22(deg)= %f\n',AlfaT22);
% fprintf(fid_w,'Line Slope for 2. Intersection point on T2; AlfaT22(deg)= %f\n',AlfaT22);

fprintf('ZireqT21 Value: real and imaginer part = %f %f\n',RintT2(1)*50,XintT2(1)*50);
fprintf(fid_w,'ZireqT21 Value: real and imaginer part = %f %f\n',RintT2(1)*50,XintT2(1)*50);
fprintf('ZireqT22 Value: real and imaginer part = %f %f\n',RintT2(2)*50,XintT2(2)*50);
fprintf(fid_w,'ZireqT22 Value: real and imaginer part = %f %f\n',RintT2(2)*50,XintT2(2)*50);

if ~isnan(ZireqT11) & ~isnan(ZireqT12) & ~isnan(ZireqT21) & ~isnan(ZireqT22) % GTreq cuts both T1

```

and T2

```

sprintf('GTreq cuts both T1 and T2\n');
fprintf(fid_w,'GTreq cuts both T1 and T2\n');
elseif ~isnan(ZireqT11) & ~isnan(ZireqT12) % GTreq cuts only T1
    fprintf('GTreq cuts only T1\n');
    fprintf(fid_w,'GTreq cuts only T1\n');
elseif ~isnan(ZireqT21) & ~isnan(ZireqT22) % GTreq cuts only T2
    fprintf('GTreq cuts only T2\n');
    fprintf(fid_w,'GTreq cuts only T2\n');
else % GTreq does not cut T1 or T2
    fprintf('GTreq does not cut T1 or T2\n');
    fprintf(fid_w,'GTreq does not cut T1 or T2\n');
InstersectionExist=0;
ZSreq= NaN+i*NaN;
ZLreq= NaN+i*NaN;

% break;
end

% Conjugate Source Stability Circle (GTmax Circle)%
RCS = -(2*R11*R22-R)/(2*R22);
XCS = -(2*X11*R22-X)/(2*R22);
ZCS = RCS + i*XCS;
rs = abs(Z)/(2*R22);
ZCSC = conj(ZCS);

Zi3 = ZCSC + rs * exp(i*teta);
Ri3 = real(Zi3);
Xi3 = imag(Zi3);

% Input Stability Circle (ZCINPUT = -RCS - i*XCS; rINPUT=rs) (GTmin Circle) %
ZCINPUT = -RCS - i*XCS;
Zi5 = ZCINPUT + rs * exp(i*teta);
Ri5 = real(Zi5);
Xi5 = imag(Zi5);

% GT Circles %
GTMAX = 2*C*Q/(abs(Z12)^2);

for k = 1:6
    y(k) = (k-1)*(GTMAX/5);
    S(k) = y(k)*COEFS;
    RCG(k) = -(RCS + S(k)) ;
    XCG = -XCS;
    rg(k) = sqrt(rs^2 + 2*S(k)*RCS + S(k)^2);
    ZCG(k) = RCG(k) + i*XCG;
end

ZCG1 = ZCG(1);rg1 = rg(1);
ZCG2 = ZCG(2);rg2 = rg(2);
ZCG3 = ZCG(3);rg3 = rg(3);

```

```

ZCG4 = ZCG(4);rg4 = rg(4);
ZCG5 = ZCG(5);rg5 = rg(5);
ZCG6 = ZCG(6);rg6 = rg(6);

Zi41 = ZCG1 + rg1 * exp(i*teta);
Ri41 = real(Zi41);Xi41 = imag(Zi41);
Zi42 = ZCG2 + rg2 * exp(i*teta);
Ri42 = real(Zi42);Xi42 = imag(Zi42);
Zi43 = ZCG3 + rg3 * exp(i*teta);
Ri43 = real(Zi43);Xi43 = imag(Zi43);
Zi44 = ZCG4 + rg4 * exp(i*teta);
Ri44 = real(Zi44);Xi44 = imag(Zi44);
Zi45 = ZCG5 + rg5 * exp(i*teta);
Ri45 = real(Zi45);Xi45 = imag(Zi45);
Zi46 = ZCG6 + rg6 * exp(i*teta);
Ri46 = real(Zi46);Xi46 = imag(Zi46);

% Concerning Solution %
ZCGmin=ZCINPUT; % rs=rINPUT=rgmin=rgmax and ZCGmin=ZCINPUT=RCS-iXCS and
ZCGmax=ZCSC=RCS-iXCS %
ZCGmax=ZCSC;
ZCGTM=0; % to draw GTmax for tangential case b) %

fprintf('ZCGmax(%f %f), ZCGmin(%f %f), Zct1(%f %f), Zct2(%f %f)\n',real(ZCGmax),imag(ZCGmax),
real(ZCGmin),imag(ZCGmin),Rct1,Xct1,Rct2,Xct2);
fprintf('rs %f, rt1 %f, rt2 %f\n',rs,rt1,rt2);
fprintf(fid_w,'ZCGmax(%f %f), ZCGmin(%f %f), Zct1(%f %f), Zct2(%f %f)\n',
real(ZCGmax),imag(ZCGmax),real(ZCGmin),imag(ZCGmin),Rct1,Xct1,Rct2,Xct2);
fprintf(fid_w,'rs %f, rt1 %f, rt2 %f\n',rs,rt1,rt2);

if abs(ZCGmin-Zct1) > (rs+rt1) % Concerning Solution %
% ?? eşitlik %
fprintf('abs(ZCGmin-Zct1) > (rs+rt1): Case a) GT=0 is completely in Region-1; No solution\n');
fprintf(fid_w,'abs(ZCGmin-Zct1) > (rs+rt1): Case a) GT=0 is completely in Region-1; No solution\n');

% Case a) GT=0 is completely in Region-1; No solution %

ZS= NaN+i*NaN;
ZL= NaN+i*NaN;

% fid_w will be open in empcal.m
fclose(fid_w);

% Caluclate impedances on T1 and T2 intersection points and other points in Region-3
if (InstersectionExist == 0) & (Vireq == 1) & (Freq == Fmin) % go to claculation in Region-3

[ZLreq,ZSreq]=empcal(ZireqT11,ZireqT12,ZireqT21,ZireqT22,Z11,Z12,Z21,Z22,Rmod,C,Zopt,teta,Rcn,Xcn,rn
,RCGreq,XCGreq,rgreq,Rct2,Xct2,rt2,Rct1,Xct1,rt1,Ri1,Xi1,Ri2,Xi2,step_for_sample_on_circle,switch_for_plo
t)

```

```

elseif (InstersectionExist ~= 0) & (Vireq == 1) & (Freq == Fmin) % T1,T2,Vi,F are a point

% open fid_w for append
fid_w = fopen('out_int.txt','at+'); % write output to a file %

% Zi value %
fprintf('ZireqT11=ZireqT12=ZireqT21=ZireqT22= Value: real and imaginer part =
%f\n',real(ZireqT11)*50,imag(ZireqT11)*50);
fprintf(fid_w,'ZireqT11=ZireqT12=ZireqT21=ZireqT22= Value: real and imaginer part =
%f\n',real(ZireqT11)*50,imag(ZireqT11)*50);

% ZLreq value %
ZLreq1=((Z12*Z21)/(Z11-ZireqT11)-Z22);

% ZLreq value %
fprintf('ZLreq1 Value: real and imaginer part = %f %f\n',real(ZLreq1)*50,imag(ZLreq1)*50);
fprintf(fid_w,'ZLreq1 Value: real and imaginer part = %f %f\n',real(ZLreq1)*50,imag(ZLreq1)*50);

% ZSreq value %
ZSreq=Zopt;

% ZSreq value %
fprintf('ZSreq Value: real and imaginer part = %f %f\n',real(ZSreq)*50,imag(ZSreq)*50);
fprintf(fid_w,'ZSreq Value: real and imaginer part = %f %f\n',real(ZSreq)*50,imag(ZSreq)*50);

% fid_w will be open in empcal.m
fclose(fid_w);

ZLreq=ZLreq1; % print the first one in the intersection %

elseif (InstersectionExist ~= 0) & (Freq == Fmin) % T1 and T1 identical, Zs=Zopt

% open fid_w for append
fid_w = fopen('out_int.txt','at+'); % write output to a file %

% Zi value %
fprintf('ZireqT11=ZireqT21 Value: real and imaginer part = %f %f, ZireqT12=ZireqT22 Value: real
and imaginer part = %f %f\n',real(ZireqT11)*50,imag(ZireqT11)*50,real(ZireqT12)*50,imag(ZireqT12)*50);
fprintf(fid_w,'ZireqT11=ZireqT21 Value: real and imaginer part = %f %f, ZireqT12=ZireqT22
Value: real and imaginer part = %f %f\n',real(ZireqT11)*50,imag(ZireqT11)*50,real(ZireqT12)*50,imag(ZireqT12)*50);

% ZLreq value %
ZLreq1=((Z12*Z21)/(Z11-ZireqT11)-Z22);
ZLreq2=((Z12*Z21)/(Z11-ZireqT12)-Z22);

% ZLreq value %
fprintf('ZLreq1 Value: real and imaginer part = %f %f\n',real(ZLreq1)*50,imag(ZLreq1)*50);
fprintf(fid_w,'ZLreq1 Value: real and imaginer part = %f %f\n',real(ZLreq1)*50,imag(ZLreq1)*50);
fprintf('ZLreq2 Value: real and imaginer part = %f %f\n',real(ZLreq2)*50,imag(ZLreq2)*50);
fprintf(fid_w,'ZLreq2 Value: real and imaginer part = %f %f\n',real(ZLreq2)*50,imag(ZLreq2)*50);

```

```

% ZSreq value %
ZSreq=Zopt;

% ZSreq value %
fprintf('ZSreq Value: real and imaginer part = %f %f\n',real(ZSreq)*50,imag(ZSreq)*50);
fprintf(fid_w,'ZSreq Value: real and imaginer part = %f %f\n',real(ZSreq)*50,imag(ZSreq)*50);

% fid_w will be open in empcal.m
fclose(fid_w);

ZLreq=ZLreq1; % print the first one in the intersection %

elseif (InstersectionExist ~= 0) & (Vireq == 1) % T1 and T1 identical, Zs=conj(Zi)

% open fid_w for append
fid_w = fopen('out_int.txt','at+'); % write output to a file %

% Zi value %
fprintf('ZireqT11=ZireqT21 Value: real and imaginer part = %f %f, ZireqT12=ZireqT22 Value: real
and imaginer part = %f %f\n',real(ZireqT11)*50,imag(ZireqT11)*50,real(ZireqT12)*50,imag(ZireqT12)*50);
fprintf(fid_w,'ZireqT11=ZireqT21 Value: real and imaginer part = %f %f, ZireqT12=ZireqT22
Value: real and imaginer part = %f %f\n',real(ZireqT11)*50,imag(ZireqT11)*50,real(ZireqT12)*50,imag(ZireqT12)*50);

% ZLreq value %
ZLreq1=((Z12*Z21)/(Z11-ZireqT11)-Z22);
ZLreq2=((Z12*Z21)/(Z11-ZireqT12)-Z22);

% ZLreq value %
fprintf('ZLreq1 Value: real and imaginer part = %f %f\n',real(ZLreq1)*50,imag(ZLreq1)*50);
fprintf(fid_w,'ZLreq1 Value: real and imaginer part = %f %f\n',real(ZLreq1)*50,imag(ZLreq1)*50);
fprintf('ZLreq2 Value: real and imaginer part = %f %f\n',real(ZLreq2)*50,imag(ZLreq2)*50);
fprintf(fid_w,'ZLreq2 Value: real and imaginer part = %f %f\n',real(ZLreq2)*50,imag(ZLreq2)*50);

% ZSreq value %
ZSreq1=conj(ZireqT11);
ZSreq2=conj(ZireqT12);

% ZSreq value %
fprintf('ZSreq1 Value: real and imaginer part = %f %f\n',real(ZSreq1)*50,imag(ZSreq1)*50);
fprintf(fid_w,'ZSreq1 Value: real and imaginer part = %f %f\n',real(ZSreq1)*50,imag(ZSreq1)*50);
fprintf('ZSreq2 Value: real and imaginer part = %f %f\n',real(ZSreq2)*50,imag(ZSreq2)*50);
fprintf(fid_w,'ZSreq2 Value: real and imaginer part = %f %f\n',real(ZSreq2)*50,imag(ZSreq2)*50);

% fid_w will be open in empcal.m
fclose(fid_w);

ZLreq=ZLreq1; % print the first one in the intersection %
ZSreq=ZSreq1; % print the first one in the intersection %

else

```

```

% open fid_w for append
fid_w = fopen('out_int.txt','at+'); % write output to a file %

fprintf('No solution in Region-3: (InstersectionExist = 0) | (Vireq = 1) | (Freq = Fmin)\n';
fprintf(fid_w,'No solution in Region-3: (InstersectionExist = 0) | (Vireq = 1) | (Freq = Fmin)\n';

% fid_w will be open in empcal.m
fclose(fid_w);

ZSreq= NaN+i*NaN;
ZLreq= NaN+i*NaN;

end;

%
% fprintf(fid_w_g,%f      %f      %f      %f      %f      %f
% f\n',f,GTMAX,GTMIN,real(ZL)*50,imag(ZL)*50,real(ZS)*50,imag(ZS)*50); %
fprintf(fid_w_g,%f      %f      %f      %f      %f      %f      %f      %f
% f\n',Vireq,FdB,f,GTMAX,real(ZL)*50,imag(ZL)*50,real(ZS)*50,imag(ZS)*50,GTDBreq,real(ZLreq)
*50,imag(ZLreq)*50,real(ZSreq)*50,imag(ZSreq)*50);

% open fid_w for append
fid_w = fopen('out_int.txt','at+'); % write output to a file %

elseif (abs(ZCGmax-Zct1) > (rs+rt1)) & ((rs+rt1) > abs(ZCGmin-Zct1))

    fprintf('(abs(ZCGmax-Zct1) > (rs+rt1)) & ((rs+rt1) > abs(ZCGmin-Zct1)): Case b) GTmax is external
tangential to T1\n';
    fprintf(fid_w,'(abs(ZCGmax-Zct1) > (rs+rt1)) & ((rs+rt1) > abs(ZCGmin-Zct1)): Case b) GTmax is
external tangential to T1\n');

    % Case b) GTmax is external tangential to T1 %
    % GTMAX value; Case b) GTmax is external tangential to T1 %

    if (Vireq == 1) & (Freq == Fmin) % VSWR and Noise match, rn=rv=r1=r2=0, Zs=Zopt=Zcn,Rmod=0
Zi=conj(Zopt), Zcv=conj(Zi)
        GTMC=2*C*Q/(abs(Z12)^2);
    else
        D=(R22*abs(Z11)^2-R*R11*X11)/R22+abs(Zopt)^2;
        E=(D*R22-Rct1*(2*R11*R22-R)-2*Xct1*XCG*R22)/rt1;
        F=Rct1/rt1;

        GTpayn=C*(Q+E*F-sqrt(((Q+E*F)^2-(1-F^2)*(abs(Z)^2-E^2))));;
        GTpayda=(abs(Z12)^2*(1-F^2));
        GTMC=GTpayn/GTpayda;
    end

    S=COEFS*GTMC;

    RCGmax=-(RCS+S);
    XCGmax=-XCS;
    ZCGmax = RCGmax + i*XCGmax;
    rgmax = sqrt(S^2+ 2*S*RCS + rs^2);

```

```

% GTmax Circle %
ZCGTM= ZCGmax+rgmax*exp(i*teta);
RCGTM=real(ZCGTM);
XCGTM=imag(ZCGTM);

% Load and Source impedance calculation; Case b) GTmax is external tangential to T1 %
% Zi value %
if (Vireq == 1) & (Freq == Fmin) % VSWR and Noise match, rn=rv=rt1=rt2=0, Zs=Zopt=Zcn,Rmod=0
Zi=conj(Zopt), Zcv=conj(Zi)
Zi=conj(Zopt);
else
    Zi=(((rgmax/(rt1+rgmax))*Zct1)+((rt1/(rt1+rgmax))*ZCGmax));
end

fprintf('Zi Value: real and imaginer part = %f %f\n',real(Zi)*50,imag(Zi)*50);
fprintf(fid_w,'Zi Value: real and imaginer part = %f %f\n',real(Zi)*50,imag(Zi)*50);

% ZL value %
ZL=((Z12*Z21)/(Z11-Zi)-Z22);

fprintf('ZL Value: real and imaginer part = %f %f\n',real(ZL)*50,imag(ZL)*50);
fprintf(fid_w,'ZL Value: real and imaginer part = %f %f\n',real(ZL)*50,imag(ZL)*50);

% ZS values %
Rcv=(1+Rmod^2)*real(Zi)/C;
Xcv=-imag(Zi);
Zcv=Rcv+i*Xcv;
rv=2*Rmod*real(Zi)/C;

if (Vireq == 1) & (Freq == Fmin) % VSWR and Noise match, rn=rv=rt1=rt2=0, Zs=Zopt=Zcn,Rmod=0
Zi=conj(Zopt), Zcv=conj(Zi)
ZS=Zopt;
else
    ZS=(((rn/(rn+rv))*Zcv)+((rv/(rv+rn))*Zcn));
end

fprintf('ZS Value: real and imaginer part = %f %f\n',real(ZS)*50,imag(ZS)*50);
fprintf(fid_w,'ZS Value: real and imaginer part = %f %f\n',real(ZS)*50,imag(ZS)*50);

% MSG value; Case b) GTmax is external tangential to T1 %
MSGndB=2*(abs(Z21))/(abs(Z12))*ita;
MSG=10*log10(MSGndB); % MSG in dB %

fprintf('MSG Value (dB) = %f\n',MSG);
%fprintf(fid_w,'MSG Value (dB) = %f\n',MSG);

% GTMAX value; Case b) GTmax is external tangential to T1 %
GTMAX=10*log10(GTMC);
GTMIN=0; % in dB %

```

```

% if GTMAX > MSG    % MSG is maximum    stable gain %
% GTMAX=MSG;
% end;

fprintf('GTMAX Value (dB) = %f\n',GTMAX);
fprintf(fid_w,'GTMAX Value (dB) = %f\n',GTMAX);
fprintf('GTMIN Value (dB) = %f\n',GTMIN);
fprintf(fid_w,'GTMIN Value (dB) = %f\n',GTMIN);

% Define values to plot f-GTmax %
x_f(counts)=f;
y_gtmax(counts)=GTMAX;
y_gtreq(counts)=GTDBreq;
z_gtmin(counts)=GTMIN;

% fid_w will be open in empcal.m
fclose(fid_w);

% Caluclate empedances on T1 and T2 intersection points and other points in Region-3
if (InstersectionExist == 0) & (Vireq == 1) & (Freq == Fmin) % go to claculation in Region-3

[ZLreq,ZSreq]=empcal(ZireqT11,ZireqT12,ZireqT21,ZireqT22,Z11,Z12,Z21,Z22,Rmod,C,Zopt,teta,Rcn,Xcn,rn
,RCGreq,XCGreq,rgreq,Rct2,Xct2,rt2,Rct1,Xct1,rt1,Ri1,Xi1,Ri2,Xi2,step_for_sample_on_circle,switch_for_plo
t)

elseif (InstersectionExist == 0) & (Vireq == 1) & (Freq == Fmin) % T1,T2,Vi,F are a point

% open fid_w for append
fid_w = fopen('out_int.txt','at+'); % write output to a file %

% Zi value %
sprintf('ZireqT11=ZireqT12=ZireqT21=ZireqT22= Value: real and imaginer part =
%f\n',real(ZireqT11)*50,imag(ZireqT11)*50);
sprintf(fid_w,'ZireqT11=ZireqT12=ZireqT21=ZireqT22= Value: real and imaginer part =
%f\n',real(ZireqT11)*50,imag(ZireqT11)*50);

% ZLreq value %
ZLreq1=((Z12*Z21)/(Z11-ZireqT11)-Z22);

% ZLreq value %
fprintf('ZLreq1 Value: real and imaginer part = %f %f\n',real(ZLreq1)*50,imag(ZLreq1)*50);
fprintf(fid_w,'ZLreq1 Value: real and imaginer part = %f %f\n',real(ZLreq1)*50,imag(ZLreq1)*50);

% ZSreq value %
ZSreq=Zopt;

% ZSreq value %
fprintf('ZSreq Value: real and imaginer part = %f %f\n',real(ZSreq)*50,imag(ZSreq)*50);
fprintf(fid_w,'ZSreq Value: real and imaginer part = %f %f\n',real(ZSreq)*50,imag(ZSreq)*50);

% fid_w will be open in empcal.m
fclose(fid_w);

```

```

ZLreq=ZLreq1; % print the first one in the intersection %

elseif (InstersectionExist ~= 0) & (Freq == Fmin) % T1 and T1 identical, Zs=Zopt

% open fid_w for append
fid_w = fopen('out_int.txt','at+'); % write output to a file %

% Zi value %
fprintf('ZireqT11=ZireqT21 Value: real and imaginer part = %f %f, ZireqT12=ZireqT22 Value: real
and imaginer part = %f %f\n',real(ZireqT11)*50,imag(ZireqT11)*50,real(ZireqT12)*50,imag(ZireqT12)*50);
fprintf(fid_w,'ZireqT11=ZireqT21 Value: real and imaginer part = %f %f, ZireqT12=ZireqT22
Value: real and imaginer part = %f %f\n',real(ZireqT11)*50,imag(ZireqT11)*50,real(ZireqT12)*50,imag(ZireqT12)*50);

% ZLreq value %
ZLreq1=((Z12*Z21)/(Z11-ZireqT11)-Z22);
ZLreq2=((Z12*Z21)/(Z11-ZireqT12)-Z22);

% ZLreq value %
fprintf('ZLreq1 Value: real and imaginer part = %f %f\n',real(ZLreq1)*50,imag(ZLreq1)*50);
fprintf(fid_w,'ZLreq1 Value: real and imaginer part = %f %f\n',real(ZLreq1)*50,imag(ZLreq1)*50);
fprintf('ZLreq2 Value: real and imaginer part = %f %f\n',real(ZLreq2)*50,imag(ZLreq2)*50);
fprintf(fid_w,'ZLreq2 Value: real and imaginer part = %f %f\n',real(ZLreq2)*50,imag(ZLreq2)*50);

% ZSreq value %
ZSreq=Zopt;

% ZSreq value %
fprintf('ZSreq Value: real and imaginer part = %f %f\n',real(ZSreq)*50,imag(ZSreq)*50);
fprintf(fid_w,'ZSreq Value: real and imaginer part = %f %f\n',real(ZSreq)*50,imag(ZSreq)*50);

% fid_w will be open in empcal.m
fclose(fid_w);

ZLreq=ZLreq1; % print the first one in the intersection %

elseif (InstersectionExist ~= 0) & (Vireq == 1) % T1 and T1 identical, Zs=conj(Zi)

% open fid_w for append
fid_w = fopen('out_int.txt','at+'); % write output to a file %

% Zi value %
fprintf('ZireqT11=ZireqT21 Value: real and imaginer part = %f %f, ZireqT12=ZireqT22 Value: real
and imaginer part = %f %f\n',real(ZireqT11)*50,imag(ZireqT11)*50,real(ZireqT12)*50,imag(ZireqT12)*50);
fprintf(fid_w,'ZireqT11=ZireqT21 Value: real and imaginer part = %f %f, ZireqT12=ZireqT22
Value: real and imaginer part = %f %f\n',real(ZireqT11)*50,imag(ZireqT11)*50,real(ZireqT12)*50,imag(ZireqT12)*50);

% ZLreq value %
ZLreq1=((Z12*Z21)/(Z11-ZireqT11)-Z22);
ZLreq2=((Z12*Z21)/(Z11-ZireqT12)-Z22);

```

```

% ZLreq value %
fprintf('ZLreq1 Value: real and imaginer part = %f %f\n',real(ZLreq1)*50,imag(ZLreq1)*50);
fprintf(fid_w,'ZLreq1 Value: real and imaginer part = %f %f\n',real(ZLreq1)*50,imag(ZLreq1)*50);
fprintf('ZLreq2 Value: real and imaginer part = %f %f\n',real(ZLreq2)*50,imag(ZLreq2)*50);
fprintf(fid_w,'ZLreq2 Value: real and imaginer part = %f %f\n',real(ZLreq2)*50,imag(ZLreq2)*50);

% ZSreq value %
ZSreq1=conj(ZireqT11);
ZSreq2=conj(ZireqT12);

% ZSreq value %
fprintf('ZSreq1 Value: real and imaginer part = %f %f\n',real(ZSreq1)*50,imag(ZSreq1)*50);
fprintf(fid_w,'ZSreq1 Value: real and imaginer part = %f %f\n',real(ZSreq1)*50,imag(ZSreq1)*50);
fprintf('ZSreq2 Value: real and imaginer part = %f %f\n',real(ZSreq2)*50,imag(ZSreq2)*50);
fprintf(fid_w,'ZSreq2 Value: real and imaginer part = %f %f\n',real(ZSreq2)*50,imag(ZSreq2)*50);

% fid_w will be open in empcal.m
fclose(fid_w);

ZLreq=ZLreq1; % print the first one in the intersection %
ZSreq=ZSreq1; % print the first one in the intersection %

else

% open fid_w for append
fid_w = fopen('out_int.txt','at+'); % write output to a file %

fprintf('No solution in Region-3: (InstersectionExist = 0) | (Vireq = 1) | (Freq = Fmin)\n');
fprintf(fid_w,'No solution in Region-3: (InstersectionExist = 0) | (Vireq = 1) | (Freq = Fmin)\n');

% fid_w will be open in empcal.m
fclose(fid_w);

ZSreq=NaN+i*NaN;
ZLreq=NaN+i*NaN;

end;

%      fprintf(fid_w_g,%f      %f      %f      %f      %f
%      %f\n',f,GTMAX,GTMIN,real(ZL)*50,imag(ZL)*50,real(ZS)*50,imag(ZS)*50); %
fprintf(fid_w_g,%f      %f      %f      %f      %f      %f      %f      %f
%      %f\n',Vireq,FdB,f,GTMAX,real(ZL)*50,imag(ZL)*50,real(ZS)*50,imag(ZS)*50,GTDBreq,real(ZLreq)
*50,imag(ZLreq)*50,real(ZSreq)*50,imag(ZSreq)*50);

% open fid_w for append
fid_w = fopen('out_int.txt','at+'); % write output to a file %

elseif (abs(Zct1-ZCGmax) > (rs+rt1)) & (abs(rs-rt1) > abs(Zct1-ZCGmin))

fprintf('abs(ZCGmax-Zct1) > (rs+rt1) & ((rs+rt1) > abs(ZCGmin-Zct1)): Case b) GTmax is internal
tangential to T1\n');

```

```

fprintf(fid_w,'(abs(ZCGmax-Zct1)      >    (rs+rt1)) & ((rs+rt1) > abs(ZCGmin-Zct1)): Case b)
GTmax is internal tangential to T1\n');

% Case b) GTmax is internal tangential to T1 %
% GTMAX value; Case b) GTmax is internal tangential to T1 %

if (Vireq == 1) & (Freq == Fmin) % VSWR and Noise match, rn=rv=rt1=tr2=0,Zs=Zopt=Zcn,Rmod=0
Zi=conj(Zopt), Zcv=conj(Zi)
    GTMC=2*C*Q/(abs(Z12)^2);
else
    D=(R22*abs(Z11)^2-R*R11-X*X11)/R22+abs(Zopt)^2;
    E=(D*R22-Rct1*(2*R11*R22-R)-2*Xct1*XCG*R22)/rt1;
    F=Rct1/rt1;

    GTpayn=C*(Q+E*F-sqrt(((Q+E*F)^2-(1-F^2)*(abs(Z)^2-E^2))));;
    GTpayda=(abs(Z12)^2*(1-F^2));
    GTMCn=GTpayn/GTpayda;
    GTpayp=C*(Q+E*F+sqrt(((Q+E*F)^2-(1-F^2)*(abs(Z)^2-E^2))));;
    GTpayda=(abs(Z12)^2*(1-F^2));
    GTMCp=GTpayp/GTpayda;

if GTMCn > GTMCp
    GTMC=GTMCn;
    GTmC=GTMCp;
else
    GTMC=GTMCp;
    GTmC=GTMCn;
end;

% Checking negative sign for GTmC %
if GTmC < 0
    GT_Negative=1;
    GTmC=abs(GTmC);
end
end

S=COEFS*GTMC;

RCGmax=-(RCS+S);
XCGmax=-XCS;
    ZCGmax = RCGmax + i*XCGmax;
    rgmax = sqrt(S^2+ 2*S*RCS + rs^2);

% GTmax Circle %
ZCGTM= ZCGmax+rgmax*exp(i*teta);
RCGTM=real(ZCGTM);
XCGTM=imag(ZCGTM);

% Load and Source impedance calculation; Case b) GTmax is internal tangential to T1 %
% Zi value %
if (Vireq == 1) & (Freq == Fmin) % VSWR and Noise match, rn=rv=rt1=tr2=0, Zs=Zopt=Zcn,Rmod=0
Zi=conj(Zopt), Zcv=conj(Zi)
    Zi=conj(Zopt);

```

```

else
    Zi=((rgmax/(rt1+rgmax))*Zct1)+((rt1/(rt1+rgmax))*ZCGmax));
end

fprintf('Zi Value: real and imaginer part = %f %f\n',real(Zi)*50,imag(Zi)*50);
fprintf(fid_w,'Zi Value: real and imaginer part = %f %f\n',real(Zi)*50,imag(Zi)*50);

% ZL value %
ZL=((Z12*Z21)/(Z11-Zi)-Z22);

fprintf('ZL Value: real and imaginer part = %f %f\n',real(ZL)*50,imag(ZL)*50);
fprintf(fid_w,'ZL Value: real and imaginer part = %f %f\n',real(ZL)*50,imag(ZL)*50);

% ZS values %
Rcv=(1+Rmod^2)*real(Zi)/C;
Xcv=-imag(Zi);
Zcv=Rcv+i*Xcv;
rv=2*Rmod*real(Zi)/C;

if (Vireq == 1) & (Freq == Fmin) % VSWR and Noise match, rn=rv=rt1=tr2=0,Zs=Zopt=Zcn,Rmod=0
Zi=conj(Zopt), Zcv=conj(Zi)
    ZS=Zopt;
else
    ZS=((rn/(rn+rv))*Zcv)+((rv/(rv+rn))*Zcn));
end

fprintf('ZS Value: real and imaginer part = %f %f\n',real(ZS)*50,imag(ZS)*50);
fprintf(fid_w,'ZS Value: real and imaginer part = %f %f\n',real(ZS)*50,imag(ZS)*50);

% MSG value; Case b) GTmax is internal tangential to T1 %
MSGndB=2*(abs(Z21))/(abs(Z12))*ita;
MSG=10*log10(MSGndB); % MSG in dB %

fprintf('MSG Value (dB) = %f\n',MSG);
%fprintf(fid_w,'MSG Value (dB) = %f\n',MSG);

% GTMAX value; Case b) GTmax is internal tangential to T1 %
GTMAX=10*log10(GTmC);
if GT_Negative == 1 % Negative GT %
    GTMIN=-10*log10(GTmC);
else
    GTMIN=10*log10(GTmC);
end

% if GTMAX > MSG % MSG is maximum stable gain %
%     GTMAX=MSG;
% end;

fprintf('GTMAX Value (dB) = %f\n',GTMAX);
fprintf(fid_w,'GTMAX Value (dB) = %f\n',GTMAX);
fprintf('GTMIN Value (dB) = %f\n',GTMIN);

```

```

fprintf(fid_w,'GTMIN    Value   (dB) =    %f\n',GTMIN);

% Define values to plot f-GTmax %
x_f(counts)=f;
y_gtmax(counts)=GTMAX;
y_gtreq(counts)=GTDBreq;
z_gtmin(counts)=GTMIN;

% fid_w will be open in empcal.m
fclose(fid_w);

% Caluclate impedances on T1 and T2 intersection points and other points in Region-3
if (InstersectionExist ~= 0) & (Vireq ~= 1) & (Freq ~= Fmin) % go to claculation in Region-3

[ZLreq,ZSreq]=empcal(ZireqT11,ZireqT12,ZireqT21,ZireqT22,Z11,Z12,Z21,Z22,Rmod,C,Zopt,teta,Rcn,Xcn,rn
,RCGreq,XCGreq,rgreq,Rct2,Xct2,rt2,Rct1,Xct1,rt1,Ri1,Xi1,Ri2,Xi2,step_for_sample_on_circle,switch_for_plo
t)

elseif (InstersectionExist ~= 0) & (Vireq == 1) & (Freq == Fmin) % T1,T2,Vi,F are a point

% open fid_w for append
fid_w = fopen('out_int.txt','at+'); % write output to a file %

% Zi value %
fprintf('ZireqT11=ZireqT12=ZireqT21=ZireqT22= Value: real and imaginer part = %f\n',real(ZireqT11)*50,imag(ZireqT11)*50);
fprintf(fid_w,'ZireqT11=ZireqT12=ZireqT21=ZireqT22= Value: real and imaginer part = %f\n',real(ZireqT11)*50,imag(ZireqT11)*50);

% ZLreq value %
ZLreq1=((Z12*Z21)/(Z11-ZireqT11)-Z22);

% ZLreq value %
fprintf('ZLreq1 Value: real and imaginer part = %f %f\n',real(ZLreq1)*50,imag(ZLreq1)*50);
fprintf(fid_w,'ZLreq1 Value: real and imaginer part = %f %f\n',real(ZLreq1)*50,imag(ZLreq1)*50);

% ZSreq value %
ZSreq=Zopt;

% ZSreq value %
fprintf('ZSreq Value: real and imaginer part = %f %f\n',real(ZSreq)*50,imag(ZSreq)*50);
fprintf(fid_w,'ZSreq Value: real and imaginer part = %f %f\n',real(ZSreq)*50,imag(ZSreq)*50);

% fid_w will be open in empcal.m
fclose(fid_w);

ZLreq=ZLreq1; % print the first one in the intersection %

elseif (InstersectionExist ~= 0) & (Freq == Fmin) % T1 and T1 identical, Zs=Zopt

% open fid_w for append

```

```

fid_w = fopen('out_int.txt','at+'); % write output to a file %

% Zi value %
sprintf('ZireqT11=ZireqT21 Value: real and imaginer part = %f %f, ZireqT12=ZireqT22 Value: real
and imaginer part = %f %f\n',real(ZireqT11)*50,imag(ZireqT11)*50,real(ZireqT12)*50,imag(ZireqT12)*50);
fprintf(fid_w,'ZireqT11=ZireqT21 Value: real and imaginer part = %f %f, ZireqT12=ZireqT22
Value: real and imaginer part = %f %f\n',real(ZireqT11)*50,imag(ZireqT11)*50,real(ZireqT12)*50,imag(ZireqT12)*50);

% ZLreq value %
ZLreq1=((Z12*Z21)/(Z11-ZireqT11)-Z22);
ZLreq2=((Z12*Z21)/(Z11-ZireqT12)-Z22);

% ZLreq value %
fprintf('ZLreq1 Value: real and imaginer part = %f %f\n',real(ZLreq1)*50,imag(ZLreq1)*50);
fprintf(fid_w,'ZLreq1 Value: real and imaginer part = %f %f\n',real(ZLreq1)*50,imag(ZLreq1)*50);
fprintf('ZLreq2 Value: real and imaginer part = %f %f\n',real(ZLreq2)*50,imag(ZLreq2)*50);
fprintf(fid_w,'ZLreq2 Value: real and imaginer part = %f %f\n',real(ZLreq2)*50,imag(ZLreq2)*50);

% ZSreq value %
ZSreq=Zopt;

% ZSreq value %
sprintf('ZSreq Value: real and imaginer part = %f %f\n',real(ZSreq)*50,imag(ZSreq)*50);
fprintf(fid_w,'ZSreq Value: real and imaginer part = %f %f\n',real(ZSreq)*50,imag(ZSreq)*50);

% fid_w will be open in empca.m
fclose(fid_w);

ZLreq=ZLreq1; % print the first one in the intersection %

elseif (InstersectionExist == 0) & (Vireq == 1) % T1 and T1 identical, Zs=conj(Zi)

% open fid_w for append
fid_w = fopen('out_int.txt','at+'); % write output to a file %

% Zi value %
sprintf('ZireqT11=ZireqT21 Value: real and imaginer part = %f %f, ZireqT12=ZireqT22 Value: real
and imaginer part = %f %f\n',real(ZireqT11)*50,imag(ZireqT11)*50,real(ZireqT12)*50,imag(ZireqT12)*50);
fprintf(fid_w,'ZireqT11=ZireqT21 Value: real and imaginer part = %f %f, ZireqT12=ZireqT22
Value: real and imaginer part = %f %f\n',real(ZireqT11)*50,imag(ZireqT11)*50,real(ZireqT12)*50,imag(ZireqT12)*50);

% ZLreq value %
ZLreq1=((Z12*Z21)/(Z11-ZireqT11)-Z22);
ZLreq2=((Z12*Z21)/(Z11-ZireqT12)-Z22);

% ZLreq value %
fprintf('ZLreq1 Value: real and imaginer part = %f %f\n',real(ZLreq1)*50,imag(ZLreq1)*50);
fprintf(fid_w,'ZLreq1 Value: real and imaginer part = %f %f\n',real(ZLreq1)*50,imag(ZLreq1)*50);
fprintf('ZLreq2 Value: real and imaginer part = %f %f\n',real(ZLreq2)*50,imag(ZLreq2)*50);
fprintf(fid_w,'ZLreq2 Value: real and imaginer part = %f %f\n',real(ZLreq2)*50,imag(ZLreq2)*50);

```

```

% ZSreq value %
ZSreq1=conj(ZireqT11);
ZSreq2=conj(ZireqT12);

% ZSreq value %
fprintf('ZSreq1 Value: real and imaginer part = %f %f\n',real(ZSreq1)*50,imag(ZSreq1)*50);
fprintf(fid_w,'ZSreq1 Value: real and imaginer part = %f %f\n',real(ZSreq1)*50,imag(ZSreq1)*50);
fprintf('ZSreq2 Value: real and imaginer part = %f %f\n',real(ZSreq2)*50,imag(ZSreq2)*50);
fprintf(fid_w,'ZSreq2 Value: real and imaginer part = %f %f\n',real(ZSreq2)*50,imag(ZSreq2)*50);

% fid_w will be open in empcal.m
fclose(fid_w);

ZLreq=ZLreq1; % print the first one in the intersection %
ZSreq=ZSreq1; % print the first one in the intersection %

else

% open fid_w for append
fid_w = fopen('out_int.txt','at+'); % write output to a file %

fprintf('No solution in Region-3: (InstersectionExist = 0) | (Vireq = 1) | (Freq = Fmin)\n');
fprintf(fid_w,'No solution in Region-3: (InstersectionExist = 0) | (Vireq = 1) | (Freq = Fmin)\n');

% fid_w will be open in empcal.m
fclose(fid_w);

ZSreq= NaN+i*NaN;
ZLreq= NaN+i*NaN;

end;

%
fprintf(fid_w_g,%f      %f      %f      %f      %f
%f\n',f,GTMAX,GTMIN,real(ZL)*50,imag(ZL)*50,real(ZS)*50,imag(ZS)*50); %
fprintf(fid_w_g,%f      %f      %f      %f      %f      %f      %f      %f
%f      %f\n',Vireq,FdB,f,GTMAX,real(ZL)*50,imag(ZL)*50,real(ZS)*50,imag(ZS)*50,GTDBreq,real(ZLreq)
*50,imag(ZLreq)*50,real(ZSreq)*50,imag(ZSreq)*50);

% open fid_w for append
fid_w = fopen('out_int.txt','at+'); % write output to a file %

elseif (abs(ZCGmax-Zct2) > (rs+rt2)) & ((rs+rt1) > abs(ZCGmax-Zct1))

fprintf('(abs(ZCGmax-Zct2) > (rs+rt2)) & ((rs+rt1) > abs(ZCGmax-Zct1)): Case c) T1 cuts CSSC\n';
fprintf(fid_w,'(abs(ZCGmax-Zct2) > (rs+rt2)) & ((rs+rt1) > abs(ZCGmax-Zct1)): Case c) T1 cuts CSSC\n');

% Case c) T1 cuts CSSC %
% GTMAX value; Case c) T1 cuts CSSC %
GTMC = 2*C*Q/(abs(Z12)^2);

Zm=abs(ZCSC)^2-rs^2;

```

```

% Zi in intersection of CSSC-T1 points %
A=(RCS-Rct1)/(Xct1+XCS);
B=(abs(Zopt)^2-Zm)/(2*(Xct1+XCS));
K=(Rct1-A*B+A*Xct1)/(1+A^2);
D=(abs(Zopt)^2+B^2-2*B*Xct1)/(1+A^2);
Ri_1=K+sqrt(K^2-D);
Ri_2=K-sqrt(K^2-D);
Xi_1=A*Ri_1+B;
Xi_2=A*Ri_2+B;

% Load and Source impedance calculation; Case c) T1 cuts CSSC %
% Zi values %
Zi_1=Ri_1+i*Xi_1;
Zi_2=Ri_2+i*Xi_2;

Zi=Zi_1;

fprintf('Zi_1 Value: real and imaginer part = %f %f\n',real(Zi_1)*50,imag(Zi_1)*50);
fprintf(fid_w,'Zi_1 Value: real and imaginer part = %f %f\n',real(Zi_1)*50,imag(Zi_1)*50);
fprintf('Zi_2 Value: real and imaginer part = %f %f\n',real(Zi_2)*50,imag(Zi_2)*50);
fprintf(fid_w,'Zi_2 Value: real and imaginer part = %f %f\n',real(Zi_2)*50,imag(Zi_2)*50);

% ZL values %
ZL_1=((Z12*Z21)/(Z11-Zi_1)-Z22);
ZL_2=((Z12*Z21)/(Z11-Zi_2)-Z22);

ZL=ZL_1; % take just one %

fprintf('ZL_1 Value: real and imaginer part = %f %f\n',real(ZL_1)*50,imag(ZL_1)*50);
fprintf(fid_w,'ZL_1 Value: real and imaginer part = %f %f\n',real(ZL_1)*50,imag(ZL_1)*50);
fprintf('ZL_2 Value: real and imaginer part = %f %f\n',real(ZL_2)*50,imag(ZL_2)*50);
fprintf(fid_w,'ZL_2 Value: real and imaginer part = %f %f\n',real(ZL_2)*50,imag(ZL_2)*50);

% ZS values %
Rcv=(1+Rmod^2)*real(Zi_1)/C;
Xcv=-imag(Zi_1);
Zcv=Rcv+i*Xcv;
rv=2*Rmod*real(Zi_1)/C;

if (Vireq == 1) & (Freq == Fmin) % VSWR and Noise match, rn=rv=rt1=tr2=0, Zs=Zopt=Zcn,Rmod=0
Zi=conj(Zopt), Zcv=conj(Zi)
    ZS_1=Zopt;
else
    ZS_1=(((rn/(rn+rv))*Zcv)+((rv/(rv+rn))*Zcn));
end

Rcv=(1+Rmod^2)*real(Zi_2)/C;
Xcv=-imag(Zi_2);
Zcv=Rcv+i*Xcv;
rv=2*Rmod*real(Zi_2)/C;

if (Vireq == 1) & (Freq == Fmin) % VSWR and Noise match, rn=rv=rt1=tr2=0, Zs=Zopt=Zcn,Rmod=0
Zi=conj(Zopt), Zcv=conj(Zi)

```

```

ZS_2=Zopt;
else
    ZS_2=((rn/(rn+rv))*Zcv)+((rv/(rv+rn))*Zcn));
end

ZS=ZS_1; % take just one %

fprintf('ZS_1 Value: real and imaginer part = %f %f\n',real(ZS_1)*50,imag(ZS_1)*50);
fprintf(fid_w,'ZS_1 Value: real and imaginer part = %f %f\n',real(ZS_1)*50,imag(ZS_1)*50);
fprintf('ZS_2 Value: real and imaginer part = %f %f\n',real(ZS_2)*50,imag(ZS_2)*50);
fprintf(fid_w,'ZS_2 Value: real and imaginer part = %f %f\n',real(ZS_2)*50,imag(ZS_2)*50);

% MSG value; Case c) T1 cuts CSSC (Rmod=0--> C=1) %
MSGndB=2*(abs(Z21))/(abs(Z12))*ita;
MSG=10*log10(MSGndB); % MSG in dB %

fprintf('MSG Value (dB) = %f\n',MSG);
%fprintf(fid_w,'MSG Value (dB) = %f\n',MSG);

% GTMAX value; Case c) T1 cuts CSSC %
GTMAX=10*log10(GTMC);
GTMIN=0; % in dB %

% if GTMAX > MSG % MSG is maximum stable gain %
%   GTMAX=MSG;
% end;

fprintf('GTMAX Value (dB) = %f\n',GTMAX);
fprintf(fid_w,'GTMAX Value (dB) = %f\n',GTMAX);
fprintf('GTMIN Value (dB) = %f\n',GTMIN);
fprintf(fid_w,'GTMIN Value (dB) = %f\n',GTMIN);

% Define values to plot f-GTmax %
x_f(counts)=f;
y_gtmax(counts)=GTMAX;
y_gtreq(counts)=GTDBreq;
z_gtmin(counts)=GTMIN;

% fid_w will be open in empcal.m
fclose(fid_w);

% Caluclate empedances on T1 and T2 intersection points and other points in Region-3
if (InstersectionExist ~= 0) & (Vireq ~= 1) & (Freq ~= Fmin) % go to claculation in Region-3

[ZLreq,ZSreq]=empcal(ZireqT11,ZireqT12,ZireqT21,ZireqT22,Z11,Z12,Z21,Z22,Rmod,C,Zopt,teta,Rcn,Xcn,rn
,RCGreq,XCGreq,rgrq,Rct2,Xct2,r2,Rct1,Xct1,rt1,Ri1,Xi1,Ri2,Xi2,step_for_sample_on_circle,switch_for_plo
t)

elseif (InstersectionExist ~= 0) & (Vireq == 1) & (Freq == Fmin) % T1,T2,Vi,F are a point

% open fid_w for append
fid_w = fopen('out_int.txt','at+'); % write output to a file %

```

```

% Zi value %
sprintf('ZireqT11=ZireqT12=ZireqT21=ZireqT22= Value: real and imaginer part =
%f\n',real(ZireqT11)*50,imag(ZireqT11)*50);
sprintf(fid_w,'ZireqT11=ZireqT12=ZireqT21=ZireqT22= Value: real and imaginer part =
%f\n',real(ZireqT11)*50,imag(ZireqT11)*50);

% ZLreq value %
ZLreq1=((Z12*Z21)/(Z11-ZireqT11)-Z22);

% ZLreq value %
fprintf('ZLreq1 Value: real and imaginer part = %f %f\n',real(ZLreq1)*50,imag(ZLreq1)*50);
fprintf(fid_w,'ZLreq1 Value: real and imaginer part = %f %f\n',real(ZLreq1)*50,imag(ZLreq1)*50);

% ZSreq value %
ZSreq=Zopt;

% ZSreq value %
fprintf('ZSreq Value: real and imaginer part = %f %f\n',real(ZSreq)*50,imag(ZSreq)*50);
fprintf(fid_w,'ZSreq Value: real and imaginer part = %f %f\n',real(ZSreq)*50,imag(ZSreq)*50);

% fid_w will be open in empcal.m
fclose(fid_w);

ZLreq=ZLreq1; % print the first one in the intersection %

elseif (InstersectionExist ~= 0) & (Freq == Fmin) % T1 and T1 identical, Zs=Zopt

% open fid_w for append
fid_w = fopen('out_int.txt','at+'); % write output to a file %

% Zi value %
sprintf('ZireqT11=ZireqT21 Value: real and imaginer part = %f %f, ZireqT12=ZireqT22 Value: real
and imaginer part = %f %f\n',real(ZireqT11)*50,imag(ZireqT11)*50,real(ZireqT12)*50,imag(ZireqT12)*50);
sprintf(fid_w,'ZireqT11=ZireqT21 Value: real and imaginer part = %f %f, ZireqT12=ZireqT22
Value: real and imaginer part = %f %f\n',real(ZireqT11)*50,imag(ZireqT11)*50,real(ZireqT12)*50,imag(ZireqT12)*50);

% ZLreq value %
ZLreq1=((Z12*Z21)/(Z11-ZireqT11)-Z22);
ZLreq2=((Z12*Z21)/(Z11-ZireqT12)-Z22);

% ZLreq value %
fprintf('ZLreq1 Value: real and imaginer part = %f %f\n',real(ZLreq1)*50,imag(ZLreq1)*50);
fprintf(fid_w,'ZLreq1 Value: real and imaginer part = %f %f\n',real(ZLreq1)*50,imag(ZLreq1)*50);
fprintf('ZLreq2 Value: real and imaginer part = %f %f\n',real(ZLreq2)*50,imag(ZLreq2)*50);
fprintf(fid_w,'ZLreq2 Value: real and imaginer part = %f %f\n',real(ZLreq2)*50,imag(ZLreq2)*50);

% ZSreq value %
ZSreq=Zopt;

% ZSreq value %

```

```

fprintf('ZSreq Value: real and imaginer part      = %f %f\n',real(ZSreq)*50,imag(ZSreq)*50);
fprintf(fid_w,'ZSreq Value: real and imaginer part = %f %f\n',real(ZSreq)*50,imag(ZSreq)*50);

% fid_w will be open in empcal.m
fclose(fid_w);

ZLreq=ZLreq1; % print the first one in the intersection %

elseif (InstersectionExist ~= 0) & (Vireq == 1) % T1 and T1 identical, Zs=conj(Zi)

% open fid_w for append
fid_w = fopen('out_int.txt','at+'); % write output to a file %

% Zi value %
fprintf('ZireqT11=ZireqT21 Value: real and imaginer part = %f %f, ZireqT12=ZireqT22 Value: real
and imaginer part = %f %f\n',real(ZireqT11)*50,imag(ZireqT11)*50,real(ZireqT12)*50,imag(ZireqT12)*50);
fprintf(fid_w,'ZireqT11=ZireqT21 Value: real and imaginer part = %f %f, ZireqT12=ZireqT22
Value:           real           and           imaginer           part           =           %f
%f\n',real(ZireqT11)*50,imag(ZireqT11)*50,real(ZireqT12)*50,imag(ZireqT12)*50);

% ZLreq value %
ZLreq1=((Z12*Z21)/(Z11-ZireqT11)-Z22);
ZLreq2=((Z12*Z21)/(Z11-ZireqT12)-Z22);

% ZLreq value %
fprintf('ZLreq1 Value: real and imaginer part = %f %f\n',real(ZLreq1)*50,imag(ZLreq1)*50);
fprintf(fid_w,'ZLreq1 Value: real and imaginer part = %f %f\n',real(ZLreq1)*50,imag(ZLreq1)*50);
fprintf('ZLreq2 Value: real and imaginer part = %f %f\n',real(ZLreq2)*50,imag(ZLreq2)*50);
fprintf(fid_w,'ZLreq2 Value: real and imaginer part = %f %f\n',real(ZLreq2)*50,imag(ZLreq2)*50);

% ZSreq value %
ZSreq1=conj(ZireqT11);
ZSreq2=conj(ZireqT12);

% ZSreq value %
fprintf('ZSreq1 Value: real and imaginer part = %f %f\n',real(ZSreq1)*50,imag(ZSreq1)*50);
fprintf(fid_w,'ZSreq1 Value: real and imaginer part = %f %f\n',real(ZSreq1)*50,imag(ZSreq1)*50);
fprintf('ZSreq2 Value: real and imaginer part = %f %f\n',real(ZSreq2)*50,imag(ZSreq2)*50);
fprintf(fid_w,'ZSreq2 Value: real and imaginer part = %f %f\n',real(ZSreq2)*50,imag(ZSreq2)*50);

% fid_w will be open in empcal.m
fclose(fid_w);

ZLreq=ZLreq1; % print the first one in the intersection %
ZSreq=ZSreq1; % print the first one in the intersection %

else

% open fid_w for append
fid_w = fopen('out_int.txt','at+'); % write output to a file %

fprintf('No solution in Region-3: (InstersectionExist = 0) | (Vireq = 1) | (Freq = Fmin)\n');
fprintf(fid_w,'No solution in Region-3: (InstersectionExist = 0) | (Vireq = 1) | (Freq = Fmin)\n');

```

```

% fid_w will be open in empcal.m
fclose(fid_w);

ZSreq= NaN+i*NaN;
ZLreq= NaN+i*NaN;

end;

%
fprintf(fid_w_g,'%f      %f      %f      %f      %f      %f
%fn',f,GTMAX,GTMIN,real(ZL)*50,imag(ZL)*50,real(ZS)*50,imag(ZS)*50); %
fprintf(fid_w_g,'%f      %f      %f      %f      %f      %f      %f      %f
%fn',Vireq,FdB,f,GTMAX,real(ZL)*50,imag(ZL)*50,real(ZS)*50,imag(ZS)*50,GTDBreq,real(ZLreq)
*50,imag(ZLreq)*50,real(ZSreq)*50,imag(ZSreq)*50);

% open fid_w for append
fid_w = fopen('out_int.txt','at+'); % write output to a file %

elseif abs(ZCGmax-Zct2) < (rs+rt2)

    fprintf('abs(ZCGmax-Zct2) < (rs+rt2): Case d) T2 cuts CSSC\n');
    fprintf(fid_w,'abs(ZCGmax-Zct2) < (rs+rt2): Case d) T2 cuts CSSC\n');

% Case d) T2 cuts CSSC %

% GTMAX value; Case d) T2 cuts CSSC %
GTMC = 2*C*Q/(abs(Z12)^2);

Zm=abs(ZCSC)^2-rs^2;

% Zi in intersection of CSSC-T2 points %
A=(RCS-Rct2)/(Xct2+XCS);
B=(abs(Zopt)^2-Zm)/(2*(Xct2+XCS));
K=(Rct2-A*B+A*Xct2)/(1+A^2);
D=(abs(Zopt)^2+B^2-2*B*Xct2)/(1+A^2);
Ri_1=K+sqrt(K^2-D);
Ri_2=K-sqrt(K^2-D);

fprintf('Ri_1,Ri_2: %f %f\n',Ri_1,Ri_2);

Xi_1=A*Ri_1+B;
Xi_2=A*Ri_2+B;

% Load and Source impedance calculation; Case d) T2 cuts CSSC %
% Zi values %
Zi_1=Ri_1+i*Xi_1;
Zi_2=Ri_2+i*Xi_2;

Zi=Zi_1;

fprintf('Zi_1 Value: real and imaginer part = %f %f\n',real(Zi_1)*50,imag(Zi_1)*50);
fprintf(fid_w,'Zi_1 Value: real and imaginer part = %f %f\n',real(Zi_1)*50,imag(Zi_1)*50);

```

```

fprintf('Zi_2 Value: real and imaginer part = %f %f\n',real(Zi_2)*50,imag(Zi_2)*50);
fprintf(fid_w,'Zi_2 Value: real and imaginer part = %f %f\n',real(Zi_2)*50,imag(Zi_2)*50);

% ZL values %
ZL_1=((Z12*Z21)/(Z11-Zi_1)-Z22);
ZL_2=((Z12*Z21)/(Z11-Zi_2)-Z22);

ZL=ZL_2; % take just one %

fprintf('ZL_1 Value: real and imaginer part = %f %f\n',real(ZL_1)*50,imag(ZL_1)*50);
fprintf(fid_w,'ZL_1 Value: real and imaginer part = %f %f\n',real(ZL_1)*50,imag(ZL_1)*50);
fprintf('ZL_2 Value: real and imaginer part = %f %f\n',real(ZL_2)*50,imag(ZL_2)*50);
fprintf(fid_w,'ZL_2 Value: real and imaginer part = %f %f\n',real(ZL_2)*50,imag(ZL_2)*50);

% ZS values %
Rcv=(1+Rmod^2)*real(Zi_1)/C;
Xcv=-imag(Zi_1);
Zcv=Rcv+i*Xcv;
rv=2*Rmod*real(Zi_1)/C;
if (Vireq == 1) & (Freq == Fmin) % VSWR and Noise match, rn=rv=rt1=tr2=0, Zs=Zopt=Zcn,Rmod=0
Zi=conj(Zopt), Zcv=conj(Zi)
    ZS_1=Zopt;
else
    ZS_1=(((rn/(rn+rv))*Zcv)+((rv/(rv+rn))*Zcn));
end

Rcv=(1+Rmod^2)*real(Zi_2)/C;
Xcv=-imag(Zi_2);
Zcv=Rcv+i*Xcv;
rv=2*Rmod*real(Zi_2)/C;
if (Vireq == 1) & (Freq == Fmin) % VSWR and Noise match, rn=rv=rt1=tr2=0, Zs=Zopt=Zcn,Rmod=0
Zi=conj(Zopt), Zcv=conj(Zi)
    ZS_2=Zopt;
else
    ZS_2=(((rn/(rn+rv))*Zcv)+((rv/(rv+rn))*Zcn));
end

ZS=ZS_2; % take just one %

fprintf('ZS_1 Value: real and imaginer part = %f %f\n',real(ZS_1)*50,imag(ZS_1)*50);
fprintf(fid_w,'ZS_1 Value: real and imaginer part = %f %f\n',real(ZS_1)*50,imag(ZS_1)*50);
fprintf('ZS_2 Value: real and imaginer part = %f %f\n',real(ZS_2)*50,imag(ZS_2)*50);
fprintf(fid_w,'ZS_2 Value: real and imaginer part = %f %f\n',real(ZS_2)*50,imag(ZS_2)*50);

% MSG value; Case d) T2 cuts CSSC (Rmod=0--> C=1) %
MSGndB=2*(abs(Z21))/(abs(Z12))*ita;
MSG=10*log10(MSGndB); % MSG in dB %

fprintf('MSG Value (dB) = %f\n',MSG);
%fprintf(fid_w,'MSG Value (dB) = %f\n',MSG);

% GTMAX value; Case d) T2 cuts CSSC %
GTMAX=10*log10(GTMC);

```

```

GTMIN=0; % in dB %

% if GTMAX > MSG    % MSG is maximum stable gain %
%
%   GTMAX=MSG;
%
% end;

fprintf('GTMAX Value (dB) = %f\n',GTMAX);
fprintf(fid_w,'GTMAX Value (dB) = %f\n',GTMAX);
fprintf('GTMIN Value (dB) = %f\n',GTMIN);
fprintf(fid_w,'GTMIN Value (dB) = %f\n',GTMIN);

% Define values to plot f-GTmax %
x_f(counts)=f;
y_gtmax(counts)=GTMAX;
y_gtreq(counts)=GTDBreq;
z_gtmin(counts)=GTMIN;

% fid_w will be open in empcal.m
fclose(fid_w);

% Caluclate impedances on T1 and T2 intersection points and other points in Region-3
if (InstersectionExist == 0) & (Vireq == 1) & (Freq == Fmin) % go to claculation in Region-3

[ZLreq,ZSreq]=empcal(ZireqT11,ZireqT12,ZireqT21,ZireqT22,Z11,Z12,Z21,Z22,Rmod,C,Zopt,teta,Rcn,Xcn,rn
,RCGreq,XCGreq,rgreq,Rct2,Xct2,rct1,Rct1,Xct1,rt1,Ri1,Xi1,Ri2,Xi2,step_for_sample_on_circle,switch_for_plo
t)

elseif (InstersectionExist == 0) & (Vireq == 1) & (Freq == Fmin) % T1,T2,Vi,F are a point

% open fid_w for append
fid_w = fopen('out_int.txt','at+'); % write output to a file %

% Zi value %
fprintf('ZireqT11=ZireqT12=ZireqT21=ZireqT22= Value: real and imaginer part =
%f\n',real(ZireqT11)*50,imag(ZireqT11)*50);
fprintf(fid_w,'ZireqT11=ZireqT12=ZireqT21=ZireqT22= Value: real and imaginer part =
%f\n',real(ZireqT11)*50,imag(ZireqT11)*50);

% ZLreq value %
ZLreq1=((Z12*Z21)/(Z11-ZireqT11)-Z22);

% ZLreq value %
fprintf('ZLreq1 Value: real and imaginer part = %f %f\n',real(ZLreq1)*50,imag(ZLreq1)*50);
fprintf(fid_w,'ZLreq1 Value: real and imaginer part = %f %f\n',real(ZLreq1)*50,imag(ZLreq1)*50);

% ZSreq value %
ZSreq=Zopt;

% ZSreq value %
fprintf('ZSreq Value: real and imaginer part = %f %f\n',real(ZSreq)*50,imag(ZSreq)*50);
fprintf(fid_w,'ZSreq Value: real and imaginer part = %f %f\n',real(ZSreq)*50,imag(ZSreq)*50);

```

```

% fid_w will be open in empcal.m
fclose(fid_w);

ZLreq=ZLreq1; % print the first one in the intersection %

elseif (InstersectionExist ~= 0) & (Freq == Fmin) % T1 and T1 identical, Zs=Zopt

% open fid_w for append
fid_w = fopen('out_int.txt','at+'); % write output to a file %

% Zi value %
fprintf('ZireqT11=ZireqT21 Value: real and imaginer part = %f %f, ZireqT12=ZireqT22 Value: real
and imaginer part = %f %f\n',real(ZireqT11)*50,imag(ZireqT11)*50,real(ZireqT12)*50,imag(ZireqT12)*50);
fprintf(fid_w,'ZireqT11=ZireqT21 Value: real and imaginer part = %f %f, ZireqT12=ZireqT22
Value: real and imaginer part = %f %f\n',real(ZireqT11)*50,imag(ZireqT11)*50,real(ZireqT12)*50,imag(ZireqT12)*50);

% ZLreq value %
ZLreq1=((Z12*Z21)/(Z11-ZireqT11)-Z22);
ZLreq2=((Z12*Z21)/(Z11-ZireqT12)-Z22);

% ZLreq value %
fprintf('ZLreq1 Value: real and imaginer part = %f %f\n',real(ZLreq1)*50,imag(ZLreq1)*50);
fprintf(fid_w,'ZLreq1 Value: real and imaginer part = %f %f\n',real(ZLreq1)*50,imag(ZLreq1)*50);
fprintf('ZLreq2 Value: real and imaginer part = %f %f\n',real(ZLreq2)*50,imag(ZLreq2)*50);
fprintf(fid_w,'ZLreq2 Value: real and imaginer part = %f %f\n',real(ZLreq2)*50,imag(ZLreq2)*50);

% ZSreq value %
ZSreq=Zopt;

% ZSreq value %
fprintf('ZSreq Value: real and imaginer part = %f %f\n',real(ZSreq)*50,imag(ZSreq)*50);
fprintf(fid_w,'ZSreq Value: real and imaginer part = %f %f\n',real(ZSreq)*50,imag(ZSreq)*50);

% fid_w will be open in empcal.m
fclose(fid_w);

ZLreq=ZLreq1; % print the first one in the intersection %

elseif (InstersectionExist ~= 0) & (Vireq == 1) % T1 and T1 identical, Zs=conj(Zi)

% open fid_w for append
fid_w = fopen('out_int.txt','at+'); % write output to a file %

% Zi value %
fprintf('ZireqT11=ZireqT21 Value: real and imaginer part = %f %f, ZireqT12=ZireqT22 Value: real
and imaginer part = %f %f\n',real(ZireqT11)*50,imag(ZireqT11)*50,real(ZireqT12)*50,imag(ZireqT12)*50);
fprintf(fid_w,'ZireqT11=ZireqT21 Value: real and imaginer part = %f %f, ZireqT12=ZireqT22
Value: real and imaginer part = %f %f\n',real(ZireqT11)*50,imag(ZireqT11)*50,real(ZireqT12)*50,imag(ZireqT12)*50);

% ZLreq value %

```

```

ZLreq1=((Z12*Z21)/(Z11-ZireqT11)-Z22);
ZLreq2=((Z12*Z21)/(Z11-ZireqT12)-Z22);

% ZLreq value %
fprintf('ZLreq1 Value: real and imaginer part = %f %fn',real(ZLreq1)*50,imag(ZLreq1)*50);
fprintf(fid_w,'ZLreq1 Value: real and imaginer part = %f %fn',real(ZLreq1)*50,imag(ZLreq1)*50);
fprintf('ZLreq2 Value: real and imaginer part = %f %fn',real(ZLreq2)*50,imag(ZLreq2)*50);
fprintf(fid_w,'ZLreq2 Value: real and imaginer part = %f %fn',real(ZLreq2)*50,imag(ZLreq2)*50);

% ZSreq value %
ZSreq1=conj(ZireqT11);
ZSreq2=conj(ZireqT12);

% ZSreq value %
fprintf('ZSreq1 Value: real and imaginer part = %f %fn',real(ZSreq1)*50,imag(ZSreq1)*50);
fprintf(fid_w,'ZSreq1 Value: real and imaginer part = %f %fn',real(ZSreq1)*50,imag(ZSreq1)*50);
fprintf('ZSreq2 Value: real and imaginer part = %f %fn',real(ZSreq2)*50,imag(ZSreq2)*50);
fprintf(fid_w,'ZSreq2 Value: real and imaginer part = %f %fn',real(ZSreq2)*50,imag(ZSreq2)*50);

% fid_w will be open in empcal.m
fclose(fid_w);

ZLreq=ZLreq1; % print the first one in the intersection %
ZSreq=ZSreq1; % print the first one in the intersection %

else

% open fid_w for append
fid_w = fopen('out_int.txt','at+'); % write output to a file %

fprintf('No solution in Region-3: (InstersectionExist = 0) | (Vireq = 1) | (Freq = Fmin)\n');
fprintf(fid_w,'No solution in Region-3: (InstersectionExist = 0) | (Vireq = 1) | (Freq = Fmin)\n');

% fid_w will be open in empcal.m
fclose(fid_w);

ZSreq= NaN+i*NaN;
ZLreq= NaN+i*NaN;

end;

%     fprintf(fid_w_g,"%f      %f      %f      %f      %f      %f
%fn',f,GTMAX,GTMIN,real(ZL)*50,imag(ZL)*50,real(ZS)*50,imag(ZS)*50); %
%     fprintf(fid_w_g,"%f      %f      %f      %f      %f      %f      %f      %f
%fn',Vireq,FdB,f,GTMAX,real(ZL)*50,imag(ZL)*50,real(ZS)*50,imag(ZS)*50,GTDBreq,real(ZLreq)
*50,imag(ZLreq)*50,real(ZSreq)*50,imag(ZSreq)*50);

% open fid_w for append
fid_w = fopen('out_int.txt','at+'); % write output to a file %

else

```

```

fprintf('Not defined\n');
fprintf(fid_w,'Not defined\n');

end; % Concerning Solution %

if ZCGTM == 0

    % Drawing Circles % % Ri41 --> GTmin, so not drawn %

    if switch_for_plot == 1

        figure,plot(RCGTreq,XCGTreq,'k-',Ri1,Xi1,'m-',Ri2,Xi2,'m-',Ri5,Xi5,'g-',Ri3,Xi3,'c-
        ',Ri42,Xi42,'r:',Ri43,Xi43,'r:',Ri44,Xi44,'r:',Ri45,Xi45,'r:')
        axis([-1 1 -1 1])
        title('Zi-Plane')
        xlabel('real{Zi}'),ylabel('imag{Zi}'),grid
        gtext('GTreq'),gtext('T1'),gtext('T2'),gtext('ISC=GTmin'),gtext('CSSC=GTmax'),gtext('Gain
        Circles'),gtext('Conditional Stability')
        end

    else % to draw GTmax for tangential case b) %

        % Drawing Circles % % Ri41 --> GTmin, so not drawn %

        if switch_for_plot == 1

            figure,plot(RCGTreq,XCGTreq,'k-',Ri1,Xi1,'m-',Ri2,Xi2,'m-',RCGTM,XCGTM,'b-',Ri5,Xi5,'g-
            ',Ri3,Xi3,'c-',Ri42,Xi42,'r:',Ri43,Xi43,'r:',Ri44,Xi44,'r:',Ri45,Xi45,'r:')
            axis([-1 1 -1 1])
            title('Zi-Plane')
            xlabel('real{Zi}'),ylabel('imag{Zi}'),grid
            gtext('GTreq'),gtext('T1'),gtext('T2'),gtext('GTmax'),gtext('ISC=GTmin'),gtext('CSSC'),gtext('Gain
            Circles'),gtext('Conditional Stability')
            end

        end;

    else % Stability: else %

        fprintf('Not Conditional or unconditional stable\n');
        fprintf(fid_w,'Not Conditional or unconditional stable\n');
        fprintf(R11,R22,ita = %f,%f,%f \n ',R11,R22,ita);
        fprintf(fid_w,'R11,R22,ita = %f,%f,%f\n',R11,R22,ita);

    end; % Stability: end %

    end; % loop under main loop %

    % Plots f-GTmax %

    % fprintf('x_f= %f, y_gtmax= %f, y_gtreq=%f\n ',x_f,y_gtmax,y_gtreq);

```

```

if switch_for_plot == 1

    figure,plot(x_f,y_gtmax,'g-','x_f,y_gtreq','c-')
    %axis([0 25 0 18])%
    title('Frequency-GTmax')
    xlabel('f(Hz)'),ylabel('GTmax(dB)'),grid
    gtext('GTmax'),gtext('GTreq');

    figure,plot(x_f,z_gtmin,'g-')
    %axis([0 25 0 18])%
    title('Frequency-GTmin')
    xlabel('f(Hz)'),ylabel('GTmin(dB)'),grid

end

end; % main loop %

% Close files %
fclose(fid_r_s);
fclose(fid_r_n);
fclose(fid_r_p);
fclose(fid_w);
fclose(fid_w_g);

% End of drawing Circles */

function
[ZLreq,ZSreq]=empcal(ZireqT11,ZireqT12,ZireqT21,ZireqT22,Z11,Z12,Z21,Z22,Rmod,C,Zopt,teta,Rcn,Xcn,rn
,RCGreq,XCGreq,rgreq,Rct2,Xct2,r12,Rct1,Xct1,r1,Ri1,Xi1,Ri2,Xi2,step_for_sample_on_circle,switch_for_plo
t)
%***** */
%/*
%/* File:      empca.m
%/*
%/* Compiler: Matlab v5.0
%/*
%/* Description: Caluclate empedances on T1 and T2
%/* intersection points and other points
%/* in Region-3
%/*
%/* Created:   Cemal Tepe 1999 Ph.D. Thesis
%/*
%/* Version:   1.0
%/*
%/* Notes:
%/* Zireq1 --> ZLreq1,Zs11,Zs12,ZsViF11,ZsViF12
%/* Zireq2 --> ZLreq2,Zs21,Zs22,ZsViF21,ZsViF22
%/*
%/* ZLreq and ZSreq is one of the selection in calculated
%/* empedances
%/*

```

```

%/*
%*****
% %
% %

fid_w_int = fopen('out_int.txt','at+'); % append intersections to a file %
fid_w_oth = fopen('out_oth.txt','at+'); % append other points to a file %

% Caluclate empedances on T1 and T2 intersection points and other points in Region-3

if ~isnan(ZreqT11) & ~isnan(ZreqT12) & ~isnan(ZreqT21) & ~isnan(ZreqT22)

    % T1 Intersection
    Zreq1=ZreqT11;
    Zreq2=ZreqT12;

    fprintf('T1 Intersection:\n');
    fprintf(fid_w_int,'T1 Intersection:\n');

    fprintf('Zreq1 Value: real and imaginer part = %f %f\n',real(Zreq1)*50,imag(Zreq1)*50);
    fprintf(fid_w_int,'Zreq1 Value: real and imaginer part = %f %f\n',real(Zreq1)*50,imag(Zreq1)*50);
    fprintf('Zreq2 Value: real and imaginer part = %f %f\n',real(Zreq2)*50,imag(Zreq2)*50);
    fprintf(fid_w_int,'Zreq2 Value: real and imaginer part = %f %f\n',real(Zreq2)*50,imag(Zreq2)*50);

[ZLreq1,ZLreq2,Zs11,Zs12,ZsViF11,ZsViF12,Zs21,Zs22,ZsViF21,ZsViF22,Rcv1,Xcv1,rv1,Rcv2,Xcv2,rv2]=e
mpcali(Zreq1,Zreq2,Z11,Z12,Z21,Z22,Rmod,C,Zopt,teta,Rcn,Xcn,rn,switch_for_plot)

    % ZLreq value %
    fprintf('ZLreq1 Value: real and imaginer part = %f %f\n',real(ZLreq1)*50,imag(ZLreq1)*50);
    fprintf(fid_w_int,'ZLreq1 Value: real and imaginer part = %f %f\n',real(ZLreq1)*50,imag(ZLreq1)*50);
    fprintf('ZLreq2 Value: real and imaginer part = %f %f\n',real(ZLreq2)*50,imag(ZLreq2)*50);
    fprintf(fid_w_int,'ZLreq2 Value: real and imaginer part = %f %f\n',real(ZLreq2)*50,imag(ZLreq2)*50);

    % ZSreq value by formulas
    fprintf('ZSreq11 Value: real and imaginer part = %f %f\n',real(Zs11)*50,imag(Zs11)*50);
    fprintf(fid_w_int,'ZSreq11 Value: real and imaginer part = %f %f\n',real(Zs11)*50,imag(Zs11)*50);
    fprintf('ZSreq12 Value: real and imaginer part = %f %f\n',real(Zs12)*50,imag(Zs12)*50);
    fprintf(fid_w_int,'ZSreq12 Value: real and imaginer part = %f %f\n',real(Zs12)*50,imag(Zs12)*50);

    fprintf('ZSreq21 Value: real and imaginer part = %f %f\n',real(Zs21)*50,imag(Zs21)*50);
    fprintf(fid_w_int,'ZSreq21 Value: real and imaginer part = %f %f\n',real(Zs21)*50,imag(Zs21)*50);
    fprintf('ZSreq22 Value: real and imaginer part = %f %f\n',real(Zs22)*50,imag(Zs22)*50);
    fprintf(fid_w_int,'ZSreq22 Value: real and imaginer part = %f %f\n',real(Zs22)*50,imag(Zs22)*50);

    % ZSreq value by circle Intersection of Vi-F
    if ~isnan(ZsViF11) & ~isnan(ZsViF12) & ~isnan(ZsViF21) & ~isnan(ZsViF22)
        fprintf('Vi-F: Rcv1= %f, Xcv1= %f, rv1= %f, Rcn= %f, Xcn= %f, rn=
        %f\n',Rcv1,Xcv1,rv1,Rcn,Xcn,rn);
    end

```

```

%
fprintf(fid_w_int,'Vi-F: Rcv1= %f, Xcv1= %f, rv1= %f, Rcn= %f, Xcn= %f, rn=
%fn',Rcv1,Xcv1,rv1,Rcn,Xcn,rn);
%
fprintf('1. Intersection point on Vi-F; ZSreq11 Value: real and imaginer part= %f
%fn',real(ZsViF11)*50,imag(ZsViF11)*50);
%
fprintf(fid_w_int,'1. Intersection point on Vi-F; ZSreq11 Value: real and imaginer part= %f
%fn',real(ZsViF11)*50,imag(ZsViF11)*50);
%
fprintf('2. Intersection point on Vi-F; ZSreq12 Value: real and imaginer part= %f
%fn',real(ZsViF12)*50,imag(ZsViF12)*50);
%
fprintf(fid_w_int,'2. Intersection point on Vi-F; ZSreq12 Value: real and imaginer part= %f
%fn',real(ZsViF12)*50,imag(ZsViF12)*50);
%
%
fprintf('Vi-F: Rcv2= %f, Xcv2= %f, rv2= %f, Rcn= %f, Xcn= %f, rn=
%fn',Rcv2,Xcv2,rv2,Rcn,Xcn,rn);
%
fprintf(fid_w_int,'Vi-F: Rcv2= %f, Xcv2= %f, rv2= %f, Rcn= %f, Xcn= %f, rn=
%fn',Rcv2,Xcv2,rv2,Rcn,Xcn,rn);
%
fprintf('1. Intersection point on Vi-F; ZSreq21 Value: real and imaginer part= %f
%fn',real(ZsViF21)*50,imag(ZsViF21)*50);
%
fprintf(fid_w_int,'1. Intersection point on Vi-F; ZSreq21 Value: real and imaginer part= %f
%fn',real(ZsViF21)*50,imag(ZsViF21)*50);
%
fprintf('2. Intersection point on Vi-F; ZSreq22 Value: real and imaginer part= %f
%fn',real(ZsViF22)*50,imag(ZsViF22)*50);
%
fprintf(fid_w_int,'2. Intersection point on Vi-F; ZSreq22 Value: real and imaginer part= %f
%fn',real(ZsViF22)*50,imag(ZsViF22)*50);
%
%
elseif ~isnan(ZsViF11) & ~isnan(ZsViF12)
%
%
fprintf('Vi-F: Rcv1= %f, Xcv1= %f, rv1= %f, Rcn= %f, Xcn= %f, rn=
%fn',Rcv1,Xcv1,rv1,Rcn,Xcn,rn);
%
fprintf(fid_w_int,'Vi-F: Rcv1= %f, Xcv1= %f, rv1= %f, Rcn= %f, Xcn= %f, rn=
%fn',Rcv1,Xcv1,rv1,Rcn,Xcn,rn);
%
fprintf('1. Intersection point on Vi-F; ZSreq11 Value: real and imaginer part= %f
%fn',real(ZsViF11)*50,imag(ZsViF11)*50);
%
fprintf(fid_w_int,'1. Intersection point on Vi-F; ZSreq11 Value: real and imaginer part= %f
%fn',real(ZsViF11)*50,imag(ZsViF11)*50);
%
fprintf('2. Intersection point on Vi-F; ZSreq12 Value: real and imaginer part= %f
%fn',real(ZsViF12)*50,imag(ZsViF12)*50);
%
fprintf(fid_w_int,'2. Intersection point on Vi-F; ZSreq12 Value: real and imaginer part= %f
%fn',real(ZsViF12)*50,imag(ZsViF12)*50);
%
%
elseif ~isnan(ZsViF21) & ~isnan(ZsViF22)
%
%
fprintf('Vi-F: Rcv2= %f, Xcv2= %f, rv2= %f, Rcn= %f, Xcn= %f, rn=
%fn',Rcv2,Xcv2,rv2,Rcn,Xcn,rn);
%
fprintf(fid_w_int,'Vi-F: Rcv2= %f, Xcv2= %f, rv2= %f, Rcn= %f, Xcn= %f, rn=
%fn',Rcv2,Xcv2,rv2,Rcn,Xcn,rn);
%
fprintf('1. Intersection point on Vi-F; ZSreq21 Value: real and imaginer part= %f
%fn',real(ZsViF21)*50,imag(ZsViF21)*50);
%
fprintf(fid_w_int,'1. Intersection point on Vi-F; ZSreq21 Value: real and imaginer part= %f
%fn',real(ZsViF21)*50,imag(ZsViF21)*50);
%
fprintf('2. Intersection point on Vi-F; ZSreq22 Value: real and imaginer part= %f
%fn',real(ZsViF22)*50,imag(ZsViF22)*50);
%
fprintf(fid_w_int,'2. Intersection point on Vi-F; ZSreq22 Value: real and imaginer part= %f
%fn',real(ZsViF22)*50,imag(ZsViF22)*50);
%
%
else
%
fprintf('Vi-F: Rcv1= %f, Xcv1= %f, rv1= %f, Rcn= %f, Xcn= %f, rn=

```

```

%f\n',Rcv1,Xcv1,rv1,Rcn,Xcn,rn);
%           fprintf(fid_w_int,'Vi-F: Rcv1= %f, Xcv1= %f, rv1= %f, Rcn= %f, Xcn= %f, rn=
%f\n',Rcv1,Xcv1,rv1,Rcn,Xcn,rn);
%           fprintf('Vi-F: Rcv2= %f, Xcv2= %f, rv2= %f, Rcn= %f, Xcn= %f, rn=
%f\n',Rcv2,Xcv2,rv2,Rcn,Xcn,rn);
%           fprintf(fid_w_int,'Vi-F: Rcv2= %f, Xcv2= %f, rv2= %f, Rcn= %f, Xcn= %f, rn=
%f\n',Rcv2,Xcv2,rv2,Rcn,Xcn,rn);
%           fprintf('No intersection on Vi-F; ZSreq11,ZSreq12,ZSreq21,ZSreq22= NaN\n');
%           fprintf(fid_w_int,'No intersection on Vi-F; ZSreq11,ZSreq12,ZSreq21,ZSreq22= NaN\n');
%   end

% T2 Intersection
Zreq1=ZreqT21;
Zreq2=ZreqT22;

fprintf('T2 Intersection:\n');
fprintf(fid_w_int,'T2 Intersection:\n');

fprintf('Zreq1 Value: real and imaginer part = %f %f\n',real(Zreq1)*50,imag(Zreq1)*50);
fprintf(fid_w_int,'Zreq1 Value: real and imaginer part = %f %f\n',real(Zreq1)*50,imag(Zreq1)*50);
fprintf('Zreq2 Value: real and imaginer part = %f %f\n',real(Zreq2)*50,imag(Zreq2)*50);
fprintf(fid_w_int,'Zreq2 Value: real and imaginer part = %f %f\n',real(Zreq2)*50,imag(Zreq2)*50);

[ZLreq1,ZLreq2,Zs11,Zs12,ZsViF11,ZsViF12,Zs21,Zs22,ZsViF21,ZsViF22,Rcv1,Xcv1,rv1,Rcv2,Xcv
2,rv2]=empcali(Zreq1,Zreq2,Z11,Z12,Z21,Z22,Rmod,C,Zopt,teta,Rcn,Xcn,rn,switch_for_plot)

% ZLreq value %
fprintf('ZLreq1 Value: real and imaginer part = %f %f\n',real(ZLreq1)*50,imag(ZLreq1)*50);
fprintf(fid_w_int,'ZLreq1 Value: real and imaginer part = %f %f\n',real(ZLreq1)*50,imag(ZLreq1)*50);
fprintf('ZLreq2 Value: real and imaginer part = %f %f\n',real(ZLreq2)*50,imag(ZLreq2)*50);
fprintf(fid_w_int,'ZLreq2 Value: real and imaginer part = %f %f\n',real(ZLreq2)*50,imag(ZLreq2)*50);

% ZSreq value by formulas
fprintf('ZSreq11 Value: real and imaginer part = %f %f\n',real(Zs11)*50,imag(Zs11)*50);
fprintf(fid_w_int,'ZSreq11 Value: real and imaginer part = %f %f\n',real(Zs11)*50,imag(Zs11)*50);
fprintf('ZSreq12 Value: real and imaginer part = %f %f\n',real(Zs12)*50,imag(Zs12)*50);
fprintf(fid_w_int,'ZSreq12 Value: real and imaginer part = %f %f\n',real(Zs12)*50,imag(Zs12)*50);

fprintf('ZSreq21 Value: real and imaginer part = %f %f\n',real(Zs21)*50,imag(Zs21)*50);
fprintf(fid_w_int,'ZSreq21 Value: real and imaginer part = %f %f\n',real(Zs21)*50,imag(Zs21)*50);
fprintf('ZSreq22 Value: real and imaginer part = %f %f\n',real(Zs22)*50,imag(Zs22)*50);
fprintf(fid_w_int,'ZSreq22 Value: real and imaginer part = %f %f\n',real(Zs22)*50,imag(Zs22)*50);

% % ZSreq value by circle Intersection of Vi-F
% if ~isnan(ZsViF11) & ~isnan(ZsViF12) & ~isnan(ZsViF21) & ~isnan(ZsViF22)
%
%           fprintf('Vi-F: Rcv1= %f, Xcv1= %f, rv1= %f, Rcn= %f, Xcn= %f, rn=
%f\n',Rcv1,Xcv1,rv1,Rcn,Xcn,rn);
%           fprintf(fid_w_int,'Vi-F: Rcv1= %f, Xcv1= %f, rv1= %f, Rcn= %f, Xcn= %f, rn=
%f\n',Rcv1,Xcv1,rv1,Rcn,Xcn,rn);

```

```

%           fprintf('1. Intersection point on Vi-F; ZSreq11 Value: real and imaginer part= %f
%<\n',real(ZsViF11)*50,imag(ZsViF11)*50);
%           fprintf(fid_w_int,'1. Intersection point on Vi-F; ZSreq11 Value: real and imaginer part= %f
%<\n',real(ZsViF11)*50,imag(ZsViF11)*50);
%           fprintf('2. Intersection point on Vi-F; ZSreq12 Value: real and imaginer part= %f
%<\n',real(ZsViF12)*50,imag(ZsViF12)*50);
%           fprintf(fid_w_int,'2. Intersection point on Vi-F; ZSreq12 Value: real and imaginer part= %f
%<\n',real(ZsViF12)*50,imag(ZsViF12)*50);
%
%           fprintf('Vi-F: Rcv2= %f, Xcv2= %f, rv2= %f, Rcn= %f, Xcn= %f, rn=
%<\n',Rcv2,Xcv2,rv2,Rcn,Xcn,rn);
%           fprintf(fid_w_int,'Vi-F: Rcv2= %f, Xcv2= %f, rv2= %f, Rcn= %f, Xcn= %f, rn=
%<\n',Rcv2,Xcv2,rv2,Rcn,Xcn,rn);
%           fprintf('1. Intersection point on Vi-F; ZSreq21 Value: real and imaginer part= %f
%<\n',real(ZsViF21)*50,imag(ZsViF21)*50);
%           fprintf(fid_w_int,'1. Intersection point on Vi-F; ZSreq21 Value: real and imaginer part= %f
%<\n',real(ZsViF21)*50,imag(ZsViF21)*50);
%           fprintf('2. Intersection point on Vi-F; ZSreq22 Value: real and imaginer part= %f
%<\n',real(ZsViF22)*50,imag(ZsViF22)*50);
%           fprintf(fid_w_int,'2. Intersection point on Vi-F; ZSreq22 Value: real and imaginer part= %f
%<\n',real(ZsViF22)*50,imag(ZsViF22)*50);
%
%       elseif ~isnan(ZsViF11) & ~isnan(ZsViF12)
%
%           fprintf('Vi-F: Rcv1= %f, Xcv1= %f, rv1= %f, Rcn= %f, Xcn= %f, rn=
%<\n',Rcv1,Xcv1,rv1,Rcn,Xcn,rn);
%           fprintf(fid_w_int,'Vi-F: Rcv1= %f, Xcv1= %f, rv1= %f, Rcn= %f, Xcn= %f, rn=
%<\n',Rcv1,Xcv1,rv1,Rcn,Xcn,rn);
%           fprintf('1. Intersection point on Vi-F; ZSreq11 Value: real and imaginer part= %f
%<\n',real(ZsViF11)*50,imag(ZsViF11)*50);
%           fprintf(fid_w_int,'1. Intersection point on Vi-F; ZSreq11 Value: real and imaginer part= %f
%<\n',real(ZsViF11)*50,imag(ZsViF11)*50);
%           fprintf('2. Intersection point on Vi-F; ZSreq12 Value: real and imaginer part= %f
%<\n',real(ZsViF12)*50,imag(ZsViF12)*50);
%           fprintf(fid_w_int,'2. Intersection point on Vi-F; ZSreq12 Value: real and imaginer part= %f
%<\n',real(ZsViF12)*50,imag(ZsViF12)*50);
%
%       elseif ~isnan(ZsViF21) & ~isnan(ZsViF22)
%
%           fprintf('Vi-F: Rcv2= %f, Xcv2= %f, rv2= %f, Rcn= %f, Xcn= %f, rn=
%<\n',Rcv2,Xcv2,rv2,Rcn,Xcn,rn);
%           fprintf(fid_w_int,'Vi-F: Rcv2= %f, Xcv2= %f, rv2= %f, Rcn= %f, Xcn= %f, rn=
%<\n',Rcv2,Xcv2,rv2,Rcn,Xcn,rn);
%           fprintf('1. Intersection point on Vi-F; ZSreq21 Value: real and imaginer part= %f
%<\n',real(ZsViF21)*50,imag(ZsViF21)*50);
%           fprintf(fid_w_int,'1. Intersection point on Vi-F; ZSreq21 Value: real and imaginer part= %f
%<\n',real(ZsViF21)*50,imag(ZsViF21)*50);
%           fprintf('2. Intersection point on Vi-F; ZSreq22 Value: real and imaginer part= %f
%<\n',real(ZsViF22)*50,imag(ZsViF22)*50);
%           fprintf(fid_w_int,'2. Intersection point on Vi-F; ZSreq22 Value: real and imaginer part= %f
%<\n',real(ZsViF22)*50,imag(ZsViF22)*50);
%
%   else
%
%       fprintf('Vi-F: Rcv1= %f, Xcv1= %f, rv1= %f, Rcn= %f, Xcn= %f, rn=
%<\n',Rcv1,Xcv1,rv1,Rcn,Xcn,rn);
%       fprintf(fid_w_int,'Vi-F: Rcv1= %f, Xcv1= %f, rv1= %f, Rcn= %f, Xcn= %f, rn=

```

```

%f\n',Rcv1,Xcv1,rv1,Rcn,Xcn,rn);
%           fprintf('Vi-F: Rcv2= %f, Xcv2= %f, rv2= %f, Rcn= %f, Xcn= %f, rn=
%f\n',Rcv2,Xcv2,rv2,Rcn,Xcn,rn);
%           fprintf(fid_w_int,'Vi-F: Rcv2= %f, Xcv2= %f, rv2= %f, Rcn= %f, Xcn= %f, rn=
%f\n',Rcv2,Xcv2,rv2,Rcn,Xcn,rn);
%
%           fprintf('No intersection on Vi-F; ZSreq11,ZSreq12,ZSreq21,ZSreq22= NaN\n');
%           fprintf(fid_w_int,'No intersection on Vi-F; ZSreq11,ZSreq12,ZSreq21,ZSreq22= NaN\n');
%
% end

ZLreq=ZLreq1; % print the first one in the intersection %
ZSreq=Zs11; % print the first one in the intersection %

% Calculation of many points of Zi in Region-3

% GTreq cuts T1 and T2; take T1 as starting point and decrease test circle (rt1_step) untill it cuts T2 or
it becomes tangent to GTreq
rt1_step=rt1;

fprintf('Calculation of many other points of Zi in Region-3; GTreq cuts T1 and T2\n');
fprintf(fid_w_oth,'Calculation of many other points of Zi in Region-3; GTreq cuts T1 and T2\n');

loop_count=0;
while 1 == 1 % loop infinity

    rt1_step=rt1_step-step_for_sample_on_circle;

    [RintR,XintR]=circlint(RCGreq,XCGreq,rgreq,Rct1,Xct1,rt1_step);
    ZireqR1=RintR(1)+i*XintR(1);
    ZireqR2=RintR(2)+i*XintR(2);

    [RintTest,XintTest]=circlint(Rct2,Xct2,rt2,Rct1,Xct1,rt1_step);
    ZireqTest1=RintTest(1)+i*XintTest(1);
    ZireqTest2=RintTest(2)+i*XintTest(2);

    if (ZireqR1 == ZireqR2) | (isnan(ZireqR1) & isnan(ZireqR2)) | (~isnan(ZireqTest1) &
~isnan(ZireqTest2)) break; end % tangent case or no intersection

    loop_count=loop_count+2;

    fprintf('Zireq%d Value: real and imaginer part = %f %f\n',loop_count-1,real(ZireqR1)*50,
    imag(ZireqR1)*50);
    fprintf(fid_w_oth,'Zireq%d Value: real and imaginer part = %f %f\n',loop_count-
1,real(ZireqR1)*50, imag(ZireqR1)*50);
    fprintf('Zireq%d Value: real and imaginer part = %f %f\n',loop_count,real(ZireqR2)*50,
    imag(ZireqR2)*50);
    fprintf(fid_w_oth,'Zireq%d Value: real and imaginer part = %f %f\n',loop_count,real(ZireqR2)*50,
    imag(ZireqR2)*50);

    % Test Circle %
    %ZCTest=Rct1+i*Xct1
    %ZCZTest= ZCTest+rt1_step*exp(i*teta);
    %RCZTest=real(ZCZTest);

```

```

%XCZTest=imag(ZCZTest);

if switch_for_plot == 1
    %figure,plot(RCGTreq,XCGTreq,'k-',Ri1,Xi1,'m-',Ri2,Xi2,'m-.',RCZTest,XCZTest,'b-')
    %axis([-1 1 -3 2])
    %title('Zi-Plane (test)')
    % xlabel('real{Zi}'), ylabel('imag{Zi}'), grid
    % gtext('GTreq'), gtext('T1'), gtext('T2'), gtext('Test')
    end
    % call empcli
    Zireq1=ZireqR1;
    Zireq2=ZireqR2;

[ZLreq1,ZLreq2,Zs11,Zs12,ZsViF11,ZsViF12,Zs21,Zs22,ZsViF21,ZsViF22,Rcv1,Xcv1,rv1,Rcv2,Xcv2,rv2]=empcli(Zireq1,Zireq2,Z11,Z12,Z21,Z22,Rmod,C,Zopt,teta,Rcn,Xcn,rn,switch_for_plot)

    % ZLreq value %
    sprintf(' ZLreq1 Value: real and imaginer part = %f %f\n',real(ZLreq1)*50,imag(ZLreq1)*50);
        fprintf(fid_w_oth,' ZLreq1 Value: real and imaginer part = %f %f\n',real(ZLreq1)*50,imag(ZLreq1)*50);
    sprintf(' ZLreq2 Value: real and imaginer part = %f %f\n',real(ZLreq2)*50,imag(ZLreq2)*50);
        fprintf(fid_w_oth,' ZLreq2 Value: real and imaginer part = %f %f\n',real(ZLreq2)*50,imag(ZLreq2)*50);

    % ZSreq value by formulas
    sprintf(' ZSreq11 Value: real and imaginer part = %f %f\n',real(Zs11)*50,imag(Zs11)*50);
        fprintf(fid_w_oth,' ZSreq11 Value: real and imaginer part = %f %f\n',real(Zs11)*50,imag(Zs11)*50);
    sprintf(' ZSreq12 Value: real and imaginer part = %f %f\n',real(Zs12)*50,imag(Zs12)*50);
        fprintf(fid_w_oth,' ZSreq12 Value: real and imaginer part = %f %f\n',real(Zs12)*50,imag(Zs12)*50);

    sprintf(' ZSreq21 Value: real and imaginer part = %f %f\n',real(Zs21)*50,imag(Zs21)*50);
        fprintf(fid_w_oth,' ZSreq21 Value: real and imaginer part = %f %f\n',real(Zs21)*50,imag(Zs21)*50);
    sprintf(' ZSreq22 Value: real and imaginer part = %f %f\n',real(Zs22)*50,imag(Zs22)*50);
        fprintf(fid_w_oth,' ZSreq22 Value: real and imaginer part = %f %f\n',real(Zs22)*50,imag(Zs22)*50);

%     % ZSreq value by circle Intersection of Vi-F
%     if ~isnan(ZsViF11) & ~isnan(ZsViF12) & ~isnan(ZsViF21) & ~isnan(ZsViF22)
%
%         sprintf('Vi-F: Rcv1= %f, Xcv1= %f, rv1= %f, Rcn= %f, Xcn= %f, rn= %f\n',Rcv1,Xcv1,rv1,Rcn,Xcn,rn);
%         fprintf(fid_w_oth,'Vi-F: Rcv1= %f, Xcv1= %f, rv1= %f, Rcn= %f, Xcn= %f, rn= %f\n',Rcv1,Xcv1,rv1,Rcn,Xcn,rn);
%
%         printf('1. Intersection point on Vi-F; ZSreq11 Value: real and imaginer part= %f %f\n',real(ZsViF11)*50,imag(ZsViF11)*50);
%         printf(fid_w_oth,'1. Intersection point on Vi-F; ZSreq11 Value: real and imaginer part= %f %f\n',real(ZsViF11)*50,imag(ZsViF11)*50);
%
%         printf('2. Intersection point on Vi-F; ZSreq12 Value: real and imaginer part= %f %f\n',real(ZsViF12)*50,imag(ZsViF12)*50);
%         printf(fid_w_oth,'2. Intersection point on Vi-F; ZSreq12 Value: real and imaginer part= %f %f\n',real(ZsViF12)*50,imag(ZsViF12)*50);
%
```

```
%fn',real(ZsViF12)*50,imag(ZsViF12)*50);
%
%           fprintf('Vi-F: Rcv2= %f, Xcv2= %f, rv2= %f, Rcn= %f, Xcn= %f, rn=
%fn',Rcv2,Xcv2,rv2,Rcn,Xcn,rn);
%           fprintf(fid_w_oth,'Vi-F: Rcv2= %f, Xcv2= %f, rv2= %f, Rcn= %f, Xcn= %f, rn=
%fn',Rcv2,Xcv2,rv2,Rcn,Xcn,rn);
%           fprintf('1. Intersection point on Vi-F; ZSreq21 Value: real and imaginer part= %f
%fn',real(ZsViF21)*50,imag(ZsViF21)*50);
%           fprintf(fid_w_oth,'1. Intersection point on Vi-F; ZSreq21 Value: real and imaginer part= %f
%fn',real(ZsViF21)*50,imag(ZsViF21)*50);
%           fprintf('2. Intersection point on Vi-F; ZSreq22 Value: real and imaginer part= %f
%fn',real(ZsViF22)*50,imag(ZsViF22)*50);
%           fprintf(fid_w_oth,'2. Intersection point on Vi-F; ZSreq22 Value: real and imaginer part= %f
%fn',real(ZsViF22)*50,imag(ZsViF22)*50);
%
%       elseif ~isnan(ZsViF11) & ~isnan(ZsViF12)
%
%           fprintf('Vi-F: Rcv1= %f, Xcv1= %f, rv1= %f, Rcn= %f, Xcn= %f, rn=
%fn',Rcv1,Xcv1,rv1,Rcn,Xcn,rn);
%           fprintf(fid_w_oth,'Vi-F: Rcv1= %f, Xcv1= %f, rv1= %f, Rcn= %f, Xcn= %f, rn=
%fn',Rcv1,Xcv1,rv1,Rcn,Xcn,rn);
%           fprintf('1. Intersection point on Vi-F; ZSreq11 Value: real and imaginer part= %f
%fn',real(ZsViF11)*50,imag(ZsViF11)*50);
%           fprintf(fid_w_oth,'1. Intersection point on Vi-F; ZSreq11 Value: real and imaginer part= %f
%fn',real(ZsViF11)*50,imag(ZsViF11)*50);
%           fprintf('2. Intersection point on Vi-F; ZSreq12 Value: real and imaginer part= %f
%fn',real(ZsViF12)*50,imag(ZsViF12)*50);
%           fprintf(fid_w_oth,'2. Intersection point on Vi-F; ZSreq12 Value: real and imaginer part= %f
%fn',real(ZsViF12)*50,imag(ZsViF12)*50);
%
%       elseif ~isnan(ZsViF21) & ~isnan(ZsViF22)
%
%           fprintf('Vi-F: Rcv2= %f, Xcv2= %f, rv2= %f, Rcn= %f, Xcn= %f, rn=
%fn',Rcv2,Xcv2,rv2,Rcn,Xcn,rn);
%           fprintf(fid_w_oth,'Vi-F: Rcv2= %f, Xcv2= %f, rv2= %f, Rcn= %f, Xcn= %f, rn=
%fn',Rcv2,Xcv2,rv2,Rcn,Xcn,rn);
%           fprintf('1. Intersection point on Vi-F; ZSreq21 Value: real and imaginer part= %f
%fn',real(ZsViF21)*50,imag(ZsViF21)*50);
%           fprintf(fid_w_oth,'1. Intersection point on Vi-F; ZSreq21 Value: real and imaginer part= %f
%fn',real(ZsViF21)*50,imag(ZsViF21)*50);
%           fprintf('2. Intersection point on Vi-F; ZSreq22 Value: real and imaginer part= %f
%fn',real(ZsViF22)*50,imag(ZsViF22)*50);
%           fprintf(fid_w_oth,'2. Intersection point on Vi-F; ZSreq22 Value: real and imaginer part= %f
%fn',real(ZsViF22)*50,imag(ZsViF22)*50);
%
%   else
%
%           fprintf('Vi-F: Rcv1= %f, Xcv1= %f, rv1= %f, Rcn= %f, Xcn= %f, rn=
%fn',Rcv1,Xcv1,rv1,Rcn,Xcn,rn);
%           fprintf(fid_w_oth,'Vi-F: Rcv1= %f, Xcv1= %f, rv1= %f, Rcn= %f, Xcn= %f, rn=
%fn',Rcv1,Xcv1,rv1,Rcn,Xcn,rn);
%           fprintf('Vi-F: Rcv2= %f, Xcv2= %f, rv2= %f, Rcn= %f, Xcn= %f, rn=
%fn',Rcv2,Xcv2,rv2,Rcn,Xcn,rn);
%           fprintf(fid_w_oth,'Vi-F: Rcv2= %f, Xcv2= %f, rv2= %f, Rcn= %f, Xcn= %f, rn=
%fn',Rcv2,Xcv2,rv2,Rcn,Xcn,rn);
%           fprintf('No intersection on Vi-F; ZSreq11,ZSreq12,ZSreq21,ZSreq22= NaN\n');
%           fprintf(fid_w_oth,'No intersection on Vi-F; ZSreq11,ZSreq12,ZSreq21,ZSreq22= NaN\n');
```

```

%      end

end

elseif ~isnan(ZireqT11) & ~isnan(ZireqT12)

% T1 Intersection
Zireq1=ZireqT11;
Zireq2=ZireqT12;

fprintf('T1 Intersection:\n');
fprintf(fid_w_int,'T1 Intersection:\n');

fprintf('Zireq1 Value: real and imaginer part = %f %f\n',real(Zireq1)*50,imag(Zireq1)*50);
fprintf(fid_w_int,'Zireq1 Value: real and imaginer part = %f %f\n',real(Zireq1)*50,imag(Zireq1)*50);
fprintf('Zireq2 Value: real and imaginer part = %f %f\n',real(Zireq2)*50,imag(Zireq2)*50);
fprintf(fid_w_int,'Zireq2 Value: real and imaginer part = %f %f\n',real(Zireq2)*50,imag(Zireq2)*50);

[ZLreq1,ZLreq2,Zs11,Zs12,ZsViF11,ZsViF12,Zs21,Zs22,ZsViF21,ZsViF22,Rcv1,Xcv1,rv1,Rcv2,Xcv
2,rv2]=empcali(Zireq1,Zireq2,Z11,Z12,Z21,Z22,Rmod,C,Zopt,teta,Rcn,Xcn,rn,switch_for_plot)

% ZLreq value %
fprintf('ZLreq1 Value: real and imaginer part = %f %f\n',real(ZLreq1)*50,imag(ZLreq1)*50);
fprintf(fid_w_int,'ZLreq1 Value: real and imaginer part = %f %f\n',real(ZLreq1)*50,imag(ZLreq1)*50);
fprintf('ZLreq2 Value: real and imaginer part = %f %f\n',real(ZLreq2)*50,imag(ZLreq2)*50);
fprintf(fid_w_int,'ZLreq2 Value: real and imaginer part = %f %f\n',real(ZLreq2)*50,imag(ZLreq2)*50);

% ZSreq value by formulas
fprintf('ZSreq11 Value: real and imaginer part = %f %f\n',real(Zs11)*50,imag(Zs11)*50);
fprintf(fid_w_int,'ZSreq11 Value: real and imaginer part = %f %f\n',real(Zs11)*50,imag(Zs11)*50);
fprintf('ZSreq12 Value: real and imaginer part = %f %f\n',real(Zs12)*50,imag(Zs12)*50);
fprintf(fid_w_int,'ZSreq12 Value: real and imaginer part = %f %f\n',real(Zs12)*50,imag(Zs12)*50);

fprintf('ZSreq21 Value: real and imaginer part = %f %f\n',real(Zs21)*50,imag(Zs21)*50);
fprintf(fid_w_int,'ZSreq21 Value: real and imaginer part = %f %f\n',real(Zs21)*50,imag(Zs21)*50);
fprintf('ZSreq22 Value: real and imaginer part = %f %f\n',real(Zs22)*50,imag(Zs22)*50);
fprintf(fid_w_int,'ZSreq22 Value: real and imaginer part = %f %f\n',real(Zs22)*50,imag(Zs22)*50);

%      % ZSreq value by circle Intersection of Vi-F
%      if ~isnan(ZsViF11) & ~isnan(ZsViF12) & ~isnan(ZsViF21) & ~isnan(ZsViF22)
%
%          fprintf('Vi-F: Rcv1= %f, Xcv1= %f, rv1= %f, Rcn= %f, Xcn= %f, rn=
%          %f\n',Rcv1,Xcv1,rv1,Rcn,Xcn,rn);
%
%          fprintf(fid_w_int,'Vi-F: Rcv1= %f, Xcv1= %f, rv1= %f, Rcn= %f, Xcn= %f, rn=
%          %f\n',Rcv1,Xcv1,rv1,Rcn,Xcn,rn);
%
%          fprintf('1. Intersection point on Vi-F; ZSreq11 Value: real and imaginer part= %f
%          %f\n',real(ZsViF11)*50,imag(ZsViF11)*50);
%
%          fprintf(fid_w_int,'1. Intersection point on Vi-F; ZSreq11 Value: real and imaginer part= %f
%          %f\n',real(ZsViF11)*50,imag(ZsViF11)*50);

```

```

%           fprintf('2. Intersection point on Vi-F; ZSreq12 Value: real and imaginer part= %f
%<\n',real(ZsViF12)*50,imag(ZsViF12)*50);
%           fprintf(fid_w_int,'2. Intersection point on Vi-F; ZSreq12 Value: real and imaginer part= %f
%<\n',real(ZsViF12)*50,imag(ZsViF12)*50);
%
%           fprintf('Vi-F: Rcv2= %f, Xcv2= %f, rv2= %f, Rcn= %f, Xcn= %f, rn=
%<\n',Rcv2,Xcv2,rv2,Rcn,Xcn,rn);
%           fprintf(fid_w_int,'Vi-F: Rcv2= %f, Xcv2= %f, rv2= %f, Rcn= %f, Xcn= %f, rn=
%<\n',Rcv2,Xcv2,rv2,Rcn,Xcn,rn);
%
%           fprintf('1. Intersection point on Vi-F; ZSreq21 Value: real and imaginer part= %f
%<\n',real(ZsViF21)*50,imag(ZsViF21)*50);
%           fprintf(fid_w_int,'1. Intersection point on Vi-F; ZSreq21 Value: real and imaginer part= %f
%<\n',real(ZsViF21)*50,imag(ZsViF21)*50);
%
%           fprintf('2. Intersection point on Vi-F; ZSreq22 Value: real and imaginer part= %f
%<\n',real(ZsViF22)*50,imag(ZsViF22)*50);
%           fprintf(fid_w_int,'2. Intersection point on Vi-F; ZSreq22 Value: real and imaginer part= %f
%<\n',real(ZsViF22)*50,imag(ZsViF22)*50);
%
%           elseif ~isnan(ZsViF11) & ~isnan(ZsViF12)
%
%           fprintf('Vi-F: Rcv1= %f, Xcv1= %f, rv1= %f, Rcn= %f, Xcn= %f, rn=
%<\n',Rcv1,Xcv1,rv1,Rcn,Xcn,rn);
%           fprintf(fid_w_int,'Vi-F: Rcv1= %f, Xcv1= %f, rv1= %f, Rcn= %f, Xcn= %f, rn=
%<\n',Rcv1,Xcv1,rv1,Rcn,Xcn,rn);
%
%           fprintf('1. Intersection point on Vi-F; ZSreq11 Value: real and imaginer part= %f
%<\n',real(ZsViF11)*50,imag(ZsViF11)*50);
%           fprintf(fid_w_int,'1. Intersection point on Vi-F; ZSreq11 Value: real and imaginer part= %f
%<\n',real(ZsViF11)*50,imag(ZsViF11)*50);
%
%           fprintf('2. Intersection point on Vi-F; ZSreq12 Value: real and imaginer part= %f
%<\n',real(ZsViF12)*50,imag(ZsViF12)*50);
%           fprintf(fid_w_int,'2. Intersection point on Vi-F; ZSreq12 Value: real and imaginer part= %f
%<\n',real(ZsViF12)*50,imag(ZsViF12)*50);
%
%           elseif ~isnan(ZsViF21) & ~isnan(ZsViF22)
%
%           fprintf('Vi-F: Rcv2= %f, Xcv2= %f, rv2= %f, Rcn= %f, Xcn= %f, rn=
%<\n',Rcv2,Xcv2,rv2,Rcn,Xcn,rn);
%           fprintf(fid_w_int,'Vi-F: Rcv2= %f, Xcv2= %f, rv2= %f, Rcn= %f, Xcn= %f, rn=
%<\n',Rcv2,Xcv2,rv2,Rcn,Xcn,rn);
%
%           fprintf('1. Intersection point on Vi-F; ZSreq21 Value: real and imaginer part= %f
%<\n',real(ZsViF21)*50,imag(ZsViF21)*50);
%           fprintf(fid_w_int,'1. Intersection point on Vi-F; ZSreq21 Value: real and imaginer part= %f
%<\n',real(ZsViF21)*50,imag(ZsViF21)*50);
%
%           fprintf('2. Intersection point on Vi-F; ZSreq22 Value: real and imaginer part= %f
%<\n',real(ZsViF22)*50,imag(ZsViF22)*50);
%           fprintf(fid_w_int,'2. Intersection point on Vi-F; ZSreq22 Value: real and imaginer part= %f
%<\n',real(ZsViF22)*50,imag(ZsViF22)*50);
%
%           else
%
%           fprintf('Vi-F: Rcv1= %f, Xcv1= %f, rv1= %f, Rcn= %f, Xcn= %f, rn=
%<\n',Rcv1,Xcv1,rv1,Rcn,Xcn,rn);
%           fprintf(fid_w_int,'Vi-F: Rcv1= %f, Xcv1= %f, rv1= %f, Rcn= %f, Xcn= %f, rn=
%<\n',Rcv1,Xcv1,rv1,Rcn,Xcn,rn);
%
%           fprintf('Vi-F: Rcv2= %f, Xcv2= %f, rv2= %f, Rcn= %f, Xcn= %f, rn=
%<\n',Rcv2,Xcv2,rv2,Rcn,Xcn,rn);
%           fprintf(fid_w_int,'Vi-F: Rcv2= %f, Xcv2= %f, rv2= %f, Rcn= %f, Xcn= %f, rn=

```

```

%fn',Rcv2,Xcv2,rv2,Rcn,Xcn,rn);
%           fprintf('No intersection on Vi-F; ZSreq11,ZSreq12,ZSreq21,ZSreq22= NaN\n');
%           fprintf(fid_w_int,'No intersection on Vi-F; ZSreq11,ZSreq12,ZSreq21,ZSreq22= NaN\n');
%       end

ZLreq=ZLreq1; % print the first one in the intersection %
ZSreq=Zs11; % print the first one in the intersection %

% Calculation of many points of Zi in Region-3

% GTreq cuts T1; take T1 as starting point and decrease test circle (rt1_step) until it does not cut or it becomes tangent to GTreq
rt1_step=rt1;

fprintf('Calculation of many other points of Zi in Region-3; GTreq cuts only T1\n');
fprintf(fid_w_oth,'Calculation of many other points of Zi in Region-3; GTreq cuts only T1\n');

loop_count=0;
while 1 == 1 % loop infinity

    rt1_step=rt1_step-step_for_sample_on_circle;

    [RintR,XintR]=circlint(RCGreq,XCGreq,rgreq,Rct1,Xct1,rt1_step);
    ZireqR1=RintR(1)+i*XintR(1);
    ZireqR2=RintR(2)+i*XintR(2);

    if (ZireqR1 == ZireqR2) | (isnan(ZireqR1) & isnan(ZireqR2)) break; end % tangent case or no intersection

    loop_count=loop_count+2;

    fprintf('Zireq%d Value: real and imaginer part = %f %fn',loop_count-1,real(ZireqR1)*50,
    imag(ZireqR1)*50);
    fprintf(fid_w_oth,'Zireq%d Value: real and imaginer part = %f %fn',loop_count-1,real(ZireqR1)*50, imag(ZireqR1)*50);
    fprintf('Zireq%d Value: real and imaginer part = %f %fn',loop_count,real(ZireqR2)*50,
    imag(ZireqR2)*50);
    fprintf(fid_w_oth,'Zireq%d Value: real and imaginer part = %f %fn',loop_count,real(ZireqR2)*50, imag(ZireqR2)*50);

    % Test Circle %
    %ZCTest=Rct1+i*Xct1
    %ZCZTest= ZCTest+rt1_step*exp(i*teta);
    %RCZTest=real(ZCZTest);
    %XCZTest=imag(ZCZTest);
    if switch_for_plot == 1
        %figure,plot(RCGTreq,XCGTreq,'k-',Ri1,Xi1,'m-',Ri2,Xi2,'m-.',RCZTest,XCZTest,'b-')
        %axis([-1 1 -3 2])
        %title('Zi-Plane (test)')
        %xlabel('real{Zi}'),ylabel('imag{Zi}'),grid

```

```

%gtext('GTreq'),gtext('T1'),gtext('T2'),      gtext('Test')
end

% call empcali
Zireq1=ZireqR1;
Zireq2=ZireqR2;

[ZLreq1,ZLreq2,Zs11,Zs12,ZsViF11,ZsViF12,Zs21,Zs22,ZsViF21,ZsViF22,Rcv1,Xcv1,rv1,Rcv2,Xcv2,rv2]=e
mpcali(Zireq1,Zireq2,Z11,Z12,Z21,Z22,Rmod,C,Zopt,teta,Rcn,Xcn,rn,switch_for_plot)

% ZLreq value %
fprintf(' ZLreq1 Value: real and imaginer part = %f %f\n',real(ZLreq1)*50,imag(ZLreq1)*50);
fprintf(fid_w_oth,' ZLreq1 Value: real and imaginer part = %f %f\n',real(ZLreq1)*50,imag(ZLreq1)*50);
fprintf(' ZLreq2 Value: real and imaginer part = %f %f\n',real(ZLreq2)*50,imag(ZLreq2)*50);
fprintf(fid_w_oth,' ZLreq2 Value: real and imaginer part = %f %f\n',real(ZLreq2)*50,imag(ZLreq2)*50);

% ZSreq value by formulas
fprintf(' ZSreq11 Value: real and imaginer part = %f %f\n',real(Zs11)*50,imag(Zs11)*50);
fprintf(fid_w_oth,' ZSreq11 Value: real and imaginer part = %f %f\n',real(Zs11)*50,imag(Zs11)*50);
fprintf(' ZSreq12 Value: real and imaginer part = %f %f\n',real(Zs12)*50,imag(Zs12)*50);
fprintf(fid_w_oth,' ZSreq12 Value: real and imaginer part = %f %f\n',real(Zs12)*50,imag(Zs12)*50);

fprintf(' ZSreq21 Value: real and imaginer part = %f %f\n',real(Zs21)*50,imag(Zs21)*50);
fprintf(fid_w_oth,' ZSreq21 Value: real and imaginer part = %f %f\n',real(Zs21)*50,imag(Zs21)*50);
fprintf(' ZSreq22 Value: real and imaginer part = %f %f\n',real(Zs22)*50,imag(Zs22)*50);
fprintf(fid_w_oth,' ZSreq22 Value: real and imaginer part = %f %f\n',real(Zs22)*50,imag(Zs22)*50);

% ZSreq value by circle Intersection of Vi-F
% if ~isnan(ZsViF11) & ~isnan(ZsViF12) & ~isnan(ZsViF21) & ~isnan(ZsViF22)
%
% fprintf('Vi-F: Rcv1= %f, Xcv1= %f, rv1= %f, Rcn= %f, Xcn= %f, rn=
% %f\n',Rcv1,Xcv1,rv1,Rcn,Xcn,rn);
% fprintf(fid_w_oth,'Vi-F: Rcv1= %f, Xcv1= %f, rv1= %f, Rcn= %f, Xcn= %f, rn=
% %f\n',Rcv1,Xcv1,rv1,Rcn,Xcn,rn);
% fprintf('1. Intersection point on Vi-F; ZSreq11 Value: real and imaginer part= %f
% %f\n',real(ZsViF11)*50,imag(ZsViF11)*50);
% fprintf(fid_w_oth,'1. Intersection point on Vi-F; ZSreq11 Value: real and imaginer part= %f
% %f\n',real(ZsViF11)*50,imag(ZsViF11)*50);
% fprintf('2. Intersection point on Vi-F; ZSreq12 Value: real and imaginer part= %f
% %f\n',real(ZsViF12)*50,imag(ZsViF12)*50);
% fprintf(fid_w_oth,'2. Intersection point on Vi-F; ZSreq12 Value: real and imaginer part= %f
% %f\n',real(ZsViF12)*50,imag(ZsViF12)*50);
%
% fprintf('Vi-F: Rcv2= %f, Xcv2= %f, rv2= %f, Rcn= %f, Xcn= %f, rn=
% %f\n',Rcv2,Xcv2,rv2,Rcn,Xcn,rn);
% fprintf(fid_w_oth,'Vi-F: Rcv2= %f, Xcv2= %f, rv2= %f, Rcn= %f, Xcn= %f, rn=
% %f\n',Rcv2,Xcv2,rv2,Rcn,Xcn,rn);
% fprintf('1. Intersection point on Vi-F; ZSreq21 Value: real and imaginer part= %f

```

```

%f\n',real(ZsViF21)*50,imag(ZsViF21)*50);
%           fprintf(fid_w_oth,'1. Intersection point on Vi-F; ZSreq21 Value: real and imaginer part= %f
%f\n',real(ZsViF21)*50,imag(ZsViF21)*50);
%           fprintf('2. Intersection point on Vi-F; ZSreq22 Value: real and imaginer part= %f
%f\n',real(ZsViF22)*50,imag(ZsViF22)*50);
%           fprintf(fid_w_oth,'2. Intersection point on Vi-F; ZSreq22 Value: real and imaginer part= %f
%f\n',real(ZsViF22)*50,imag(ZsViF22)*50);
%
%       elseif ~isnan(ZsViF11) & ~isnan(ZsViF12)
%
%           fprintf('Vi-F: Rcv1= %f, Xcv1= %f, rv1= %f, Rcn= %f, Xcn= %f, rn=
%f\n',Rcv1,Xcv1,rv1,Rcn,Xcn,rn);
%           fprintf(fid_w_oth,'Vi-F: Rcv1= %f, Xcv1= %f, rv1= %f, Rcn= %f, Xcn= %f, rn=
%f\n',Rcv1,Xcv1,rv1,Rcn,Xcn,rn);
%           fprintf('1. Intersection point on Vi-F; ZSreq11 Value: real and imaginer part= %f
%f\n',real(ZsViF11)*50,imag(ZsViF11)*50);
%           fprintf(fid_w_oth,'1. Intersection point on Vi-F; ZSreq11 Value: real and imaginer part= %f
%f\n',real(ZsViF11)*50,imag(ZsViF11)*50);
%           fprintf('2. Intersection point on Vi-F; ZSreq12 Value: real and imaginer part= %f
%f\n',real(ZsViF12)*50,imag(ZsViF12)*50);
%           fprintf(fid_w_oth,'2. Intersection point on Vi-F; ZSreq12 Value: real and imaginer part= %f
%f\n',real(ZsViF12)*50,imag(ZsViF12)*50);
%
%       elseif ~isnan(ZsViF21) & ~isnan(ZsViF22)
%
%           fprintf('Vi-F: Rcv2= %f, Xcv2= %f, rv2= %f, Rcn= %f, Xcn= %f, rn=
%f\n',Rcv2,Xcv2,rv2,Rcn,Xcn,rn);
%           fprintf(fid_w_oth,'Vi-F: Rcv2= %f, Xcv2= %f, rv2= %f, Rcn= %f, Xcn= %f, rn=
%f\n',Rcv2,Xcv2,rv2,Rcn,Xcn,rn);
%           fprintf('1. Intersection point on Vi-F; ZSreq21 Value: real and imaginer part= %f
%f\n',real(ZsViF21)*50,imag(ZsViF21)*50);
%           fprintf(fid_w_oth,'1. Intersection point on Vi-F; ZSreq21 Value: real and imaginer part= %f
%f\n',real(ZsViF21)*50,imag(ZsViF21)*50);
%           fprintf('2. Intersection point on Vi-F; ZSreq22 Value: real and imaginer part= %f
%f\n',real(ZsViF22)*50,imag(ZsViF22)*50);
%           fprintf(fid_w_oth,'2. Intersection point on Vi-F; ZSreq22 Value: real and imaginer part= %f
%f\n',real(ZsViF22)*50,imag(ZsViF22)*50);
%
%       else
%
%           fprintf('Vi-F: Rcv1= %f, Xcv1= %f, rv1= %f, Rcn= %f, Xcn= %f, rn=
%f\n',Rcv1,Xcv1,rv1,Rcn,Xcn,rn);
%           fprintf(fid_w_oth,'Vi-F: Rcv1= %f, Xcv1= %f, rv1= %f, Rcn= %f, Xcn= %f, rn=
%f\n',Rcv1,Xcv1,rv1,Rcn,Xcn,rn);
%           fprintf('Vi-F: Rcv2= %f, Xcv2= %f, rv2= %f, Rcn= %f, Xcn= %f, rn=
%f\n',Rcv2,Xcv2,rv2,Rcn,Xcn,rn);
%           fprintf(fid_w_oth,'Vi-F: Rcv2= %f, Xcv2= %f, rv2= %f, Rcn= %f, Xcn= %f, rn=
%f\n',Rcv2,Xcv2,rv2,Rcn,Xcn,rn);
%           fprintf('No intersection on Vi-F; ZSreq11,ZSreq12,ZSreq21,ZSreq22= NaN\n');
%           fprintf(fid_w_oth,'No intersection on Vi-F; ZSreq11,ZSreq12,ZSreq21,ZSreq22= NaN\n');
%
%       end
%
end

elseif ~isnan(ZireqT21) & ~isnan(ZireqT22)
```

```

% T2 Intersection
Zireq1=ZireqT21;
Zireq2=ZireqT22;

fprintf('T2 Intersection:\n');
fprintf(fid_w_int,'T2 Intersection:\n');

fprintf('Zireq1 Value: real and imaginer part = %f %f\n',real(Zireq1)*50,imag(Zireq1)*50);
fprintf(fid_w_int,'Zireq1 Value: real and imaginer part = %f %f\n',real(Zireq1)*50,imag(Zireq1)*50);
fprintf('Zireq2 Value: real and imaginer part = %f %f\n',real(Zireq2)*50,imag(Zireq2)*50);
fprintf(fid_w_int,'Zireq2 Value: real and imaginer part = %f %f\n',real(Zireq2)*50,imag(Zireq2)*50);

[ZLreq1,ZLreq2,Zs11,Zs12,ZsViF11,ZsViF12,Zs21,Zs22,ZsViF21,ZsViF22,Rcv1,Xcv1,rv1,Rcv2,Xcv
2,rv2]=empcali(Zireq1,Zireq2,Z11,Z12,Z21,Z22,Rmod,C,Zopt,teta,Rcn,Xcn,rn,switch_for_plot)

% ZLreq value %
fprintf('ZLreq1 Value: real and imaginer part = %f %f\n',real(ZLreq1)*50,imag(ZLreq1)*50);
fprintf(fid_w_int,'ZLreq1 Value: real and imaginer part = %f %f\n',real(ZLreq1)*50,imag(ZLreq1)*50);
fprintf('ZLreq2 Value: real and imaginer part = %f %f\n',real(ZLreq2)*50,imag(ZLreq2)*50);
fprintf(fid_w_int,'ZLreq2 Value: real and imaginer part = %f %f\n',real(ZLreq2)*50,imag(ZLreq2)*50);

% ZSreq value by formulas
fprintf('ZSreq11 Value: real and imaginer part = %f %f\n',real(Zs11)*50,imag(Zs11)*50);
fprintf(fid_w_int,'ZSreq11 Value: real and imaginer part = %f %f\n',real(Zs11)*50,imag(Zs11)*50);
fprintf('ZSreq12 Value: real and imaginer part = %f %f\n',real(Zs12)*50,imag(Zs12)*50);
fprintf(fid_w_int,'ZSreq12 Value: real and imaginer part = %f %f\n',real(Zs12)*50,imag(Zs12)*50);

fprintf('ZSreq21 Value: real and imaginer part = %f %f\n',real(Zs21)*50,imag(Zs21)*50);
fprintf(fid_w_int,'ZSreq21 Value: real and imaginer part = %f %f\n',real(Zs21)*50,imag(Zs21)*50);
fprintf('ZSreq22 Value: real and imaginer part = %f %f\n',real(Zs22)*50,imag(Zs22)*50);
fprintf(fid_w_int,'ZSreq22 Value: real and imaginer part = %f %f\n',real(Zs22)*50,imag(Zs22)*50);

% % ZSreq value by circle Intersection of Vi-F
% if ~isnan(ZsViF11) & ~isnan(ZsViF12) & ~isnan(ZsViF21) & ~isnan(ZsViF22)
%
%         fprintf('Vi-F: Rcv1= %f, Xcv1= %f, rv1= %f, Rcn= %f, Xcn= %f, rn=
% %f\n',Rcv1,Xcv1,rv1,Rcn,Xcn,rn);
%         fprintf(fid_w_int,'Vi-F: Rcv1= %f, Xcv1= %f, rv1= %f, Rcn= %f, Xcn= %f, rn=
% %f\n',Rcv1,Xcv1,rv1,Rcn,Xcn,rn);
%         fprintf('1. Intersection point on Vi-F; ZSreq11 Value: real and imaginer part= %f
% %f\n',real(ZsViF11)*50,imag(ZsViF11)*50);
%         fprintf(fid_w_int,'1. Intersection point on Vi-F; ZSreq11 Value: real and imaginer part= %f
% %f\n',real(ZsViF11)*50,imag(ZsViF11)*50);
%         fprintf('2. Intersection point on Vi-F; ZSreq12 Value: real and imaginer part= %f
% %f\n',real(ZsViF12)*50,imag(ZsViF12)*50);
%         fprintf(fid_w_int,'2. Intersection point on Vi-F; ZSreq12 Value: real and imaginer part= %f
% %f\n',real(ZsViF12)*50,imag(ZsViF12)*50);
%
%         fprintf('Vi-F: Rcv2= %f, Xcv2= %f, rv2= %f, Rcn= %f, Xcn= %f, rn=
% %f\n',Rcv2,Xcv2,rv2,Rcn,Xcn,rn);
%         fprintf(fid_w_int,'Vi-F: Rcv2= %f, Xcv2= %f, rv2= %f, Rcn= %f, Xcn= %f, rn=
% %f\n',Rcv2,Xcv2,rv2,Rcn,Xcn,rn);

```

```

%           fprintf('1. Intersection point on Vi-F;   ZSreq21 Value: real and imaginer part= %f
%fn',real(ZsViF21)*50,imag(ZsViF21)*50);
%           fprintf(fid_w_int,'1. Intersection point on Vi-F; ZSreq21 Value: real and imaginer part= %f
%fn',real(ZsViF21)*50,imag(ZsViF21)*50);
%           fprintf('2. Intersection point on Vi-F; ZSreq22 Value: real and imaginer part= %f
%fn',real(ZsViF22)*50,imag(ZsViF22)*50);
%           fprintf(fid_w_int,'2. Intersection point on Vi-F; ZSreq22 Value: real and imaginer part= %f
%fn',real(ZsViF22)*50,imag(ZsViF22)*50);
%
%       elseif ~isnan(ZsViF11) & ~isnan(ZsViF12)
%
%           fprintf('Vi-F: Rcv1= %f, Xcv1= %f, rv1= %f, Rcn= %f, Xcn= %f, rn=
%fn',Rcv1,Xcv1,rv1,Rcn,Xcn,rn);
%           fprintf(fid_w_int,'Vi-F: Rcv1= %f, Xcv1= %f, rv1= %f, Rcn= %f, Xcn= %f, rn=
%fn',Rcv1,Xcv1,rv1,Rcn,Xcn,rn);
%           fprintf('1. Intersection point on Vi-F; ZSreq11 Value: real and imaginer part= %f
%fn',real(ZsViF11)*50,imag(ZsViF11)*50);
%           fprintf(fid_w_int,'1. Intersection point on Vi-F; ZSreq11 Value: real and imaginer part= %f
%fn',real(ZsViF11)*50,imag(ZsViF11)*50);
%           fprintf('2. Intersection point on Vi-F; ZSreq12 Value: real and imaginer part= %f
%fn',real(ZsViF12)*50,imag(ZsViF12)*50);
%           fprintf(fid_w_int,'2. Intersection point on Vi-F; ZSreq12 Value: real and imaginer part= %f
%fn',real(ZsViF12)*50,imag(ZsViF12)*50);
%
%       elseif ~isnan(ZsViF21) & ~isnan(ZsViF22)
%
%           fprintf('Vi-F: Rcv2= %f, Xcv2= %f, rv2= %f, Rcn= %f, Xcn= %f, rn=
%fn',Rcv2,Xcv2,rv2,Rcn,Xcn,rn);
%           fprintf(fid_w_int,'Vi-F: Rcv2= %f, Xcv2= %f, rv2= %f, Rcn= %f, Xcn= %f, rn=
%fn',Rcv2,Xcv2,rv2,Rcn,Xcn,rn);
%           fprintf('1. Intersection point on Vi-F; ZSreq21 Value: real and imaginer part= %f
%fn',real(ZsViF21)*50,imag(ZsViF21)*50);
%           fprintf(fid_w_int,'1. Intersection point on Vi-F; ZSreq21 Value: real and imaginer part= %f
%fn',real(ZsViF21)*50,imag(ZsViF21)*50);
%           fprintf('2. Intersection point on Vi-F; ZSreq22 Value: real and imaginer part= %f
%fn',real(ZsViF22)*50,imag(ZsViF22)*50);
%           fprintf(fid_w_int,'2. Intersection point on Vi-F; ZSreq22 Value: real and imaginer part= %f
%fn',real(ZsViF22)*50,imag(ZsViF22)*50);
%
%       else
%
%           fprintf('Vi-F: Rcv1= %f, Xcv1= %f, rv1= %f, Rcn= %f, Xcn= %f, rn=
%fn',Rcv1,Xcv1,rv1,Rcn,Xcn,rn);
%           fprintf(fid_w_int,'Vi-F: Rcv1= %f, Xcv1= %f, rv1= %f, Rcn= %f, Xcn= %f, rn=
%fn',Rcv1,Xcv1,rv1,Rcn,Xcn,rn);
%           fprintf('Vi-F: Rcv2= %f, Xcv2= %f, rv2= %f, Rcn= %f, Xcn= %f, rn=
%fn',Rcv2,Xcv2,rv2,Rcn,Xcn,rn);
%           fprintf(fid_w_int,'Vi-F: Rcv2= %f, Xcv2= %f, rv2= %f, Rcn= %f, Xcn= %f, rn=
%fn',Rcv2,Xcv2,rv2,Rcn,Xcn,rn);
%
%           fprintf('No intersection on Vi-F; ZSreq11,ZSreq12,ZSreq21,ZSreq22= NaN\n');
%           fprintf(fid_w_int,'No intersection on Vi-F; ZSreq11,ZSreq12,ZSreq21,ZSreq22= NaN\n');
%
%       end

```

ZLreq=ZLreq1; % print the first one in the intersection %  
ZSreq=Zs11; % print the first one in the intersection %

```

% Calculation of many points of Zi in Region-3

% GTreq cuts T2; take T2 as starting point and increase test circle (rt2_step) untill it does not cut or it
becomes tangent to GTreq
rt2_step=rt2;

fprintf('Calculation of many other points of Zi in Region-3; GTreq cuts only T2\n');
fprintf(fid_w_oth,'Calculation of many other points of Zi in Region-3; GTreq cuts only T2\n');

loop_count=0;
while 1 == 1 % loop infinity

    rt2_step=rt2_step+step_for_sample_on_circle;

    [RintR,XintR]=circlint(RCGreq,XCGreq,rgreq,Rct2,Xct2,rt2_step);
    ZireqR1=RintR(1)+i*XintR(1);
    ZireqR2=RintR(2)+i*XintR(2);

    if (ZireqR1 == ZireqR2) | (isnan(ZireqR1) & isnan(ZireqR2)) break; end % tangent case or no
intersection

    loop_count=loop_count+2;

    fprintf('Zireq%d Value: real and imaginer part = %f %f\n',loop_count-1,real(ZireqR1)*50,
    imag(ZireqR1)*50);
    fprintf(fid_w_oth,'Zireq%d Value: real and imaginer part = %f %f\n',loop_count-1,real(ZireqR1)*50, imag(ZireqR1)*50);
    fprintf('Zireq%d Value: real and imaginer part = %f %f\n',loop_count,real(ZireqR2)*50,
    imag(ZireqR2)*50);
    fprintf(fid_w_oth,'Zireq%d Value: real and imaginer part = %f %f\n',loop_count,real(ZireqR2)*50, imag(ZireqR2)*50);

    % Test Circle %
    %ZCTest=Rct2+i*Xct2
    %ZCZTest= ZCTest+rt2_step*exp(i*teta);
    %RCZTest=real(ZCZTest);
    %XCZTest=imag(ZCZTest);

    if switch_for_plot == 1
        figure,plot(RCGTreq,XCGTreq,'k-',Ri1,Xi1,'m-',Ri2,Xi2,'m-')
        axis([-1 1 -3 2])
        title('Zi-Plane (test)')
        xlabel('real{Zi}'),ylabel('imag{Zi}'),grid
        gtext('GTreq'),gtext('T1'),gtext('T2'), gtext('Test')
    end

    % call empcali
    Zireq1=ZireqR1;
    Zireq2=ZireqR2;

```

```
[ZLreq1,ZLreq2,Zs11,Zs12,ZsViF11,ZsViF12,Zs21,Zs22,ZsViF21,ZsViF22,Rcv1,Xcv1,rv1,Rcv2,Xcv2,rv2]=e
mpcali(Zireq1,Zireq2,Z11,Z12,Z21,Z22,Rmod,C,Zopt,teta,Rcn,Xcn,rn,switch_for_plot)

% ZLreq value %
fprintf(' ZLreq1 Value: real and imaginer part = %f %fn',real(ZLreq1)*50,imag(ZLreq1)*50);
fprintf(fid_w_oth,' ZLreq1 Value: real and imaginer part = %f %fn',real(ZLreq1)*50,imag(ZLreq1)*50);
fprintf(' ZLreq2 Value: real and imaginer part = %f %fn',real(ZLreq2)*50,imag(ZLreq2)*50);
fprintf(fid_w_oth,' ZLreq2 Value: real and imaginer part = %f %fn',real(ZLreq2)*50,imag(ZLreq2)*50);

% ZSreq value by formulas
fprintf(' ZSreq11 Value: real and imaginer part = %f %fn',real(Zs11)*50,imag(Zs11)*50);
fprintf(fid_w_oth,' ZSreq11 Value: real and imaginer part = %f %fn',real(Zs11)*50,imag(Zs11)*50);
fprintf(' ZSreq12 Value: real and imaginer part = %f %fn',real(Zs12)*50,imag(Zs12)*50);
fprintf(fid_w_oth,' ZSreq12 Value: real and imaginer part = %f %fn',real(Zs12)*50,imag(Zs12)*50);

fprintf(' ZSreq21 Value: real and imaginer part = %f %fn',real(Zs21)*50,imag(Zs21)*50);
fprintf(fid_w_oth,' ZSreq21 Value: real and imaginer part = %f %fn',real(Zs21)*50,imag(Zs21)*50);
fprintf(' ZSreq22 Value: real and imaginer part = %f %fn',real(Zs22)*50,imag(Zs22)*50);
fprintf(fid_w_oth,' ZSreq22 Value: real and imaginer part = %f %fn',real(Zs22)*50,imag(Zs22)*50);

% % ZSreq value by circle Intersection of Vi-F
% if ~isnan(ZsViF11) & ~isnan(ZsViF12) & ~isnan(ZsViF21) & ~isnan(ZsViF22)
%
% fprintf('Vi-F: Rcv1= %f, Xcv1= %f, rv1= %f, Rcn= %f, Xcn= %f, rn=
% %fn',Rcv1,Xcv1,rv1,Rcn,Xcn,rn);
% fprintf(fid_w_oth,'Vi-F: Rcv1= %f, Xcv1= %f, rv1= %f, Rcn= %f, Xcn= %f, rn=
% %fn',Rcv1,Xcv1,rv1,Rcn,Xcn,rn);
% fprintf('1. Intersection point on Vi-F; ZSreq11 Value: real and imaginer part= %f
% %fn',real(ZsViF11)*50,imag(ZsViF11)*50);
% fprintf(fid_w_oth,'1. Intersection point on Vi-F; ZSreq11 Value: real and imaginer part= %f
% %fn',real(ZsViF11)*50,imag(ZsViF11)*50);
% fprintf('2. Intersection point on Vi-F; ZSreq12 Value: real and imaginer part= %f
% %fn',real(ZsViF12)*50,imag(ZsViF12)*50);
% fprintf(fid_w_oth,'2. Intersection point on Vi-F; ZSreq12 Value: real and imaginer part= %f
% %fn',real(ZsViF12)*50,imag(ZsViF12)*50);

%
% fprintf('Vi-F: Rcv2= %f, Xcv2= %f, rv2= %f, Rcn= %f, Xcn= %f, rn=
% %fn',Rcv2,Xcv2,rv2,Rcn,Xcn,rn);
% fprintf(fid_w_oth,'Vi-F: Rcv2= %f, Xcv2= %f, rv2= %f, Rcn= %f, Xcn= %f, rn=
% %fn',Rcv2,Xcv2,rv2,Rcn,Xcn,rn);
% fprintf('1. Intersection point on Vi-F; ZSreq21 Value: real and imaginer part= %f
% %fn',real(ZsViF21)*50,imag(ZsViF21)*50);
% fprintf(fid_w_oth,'1. Intersection point on Vi-F; ZSreq21 Value: real and imaginer part= %f
% %fn',real(ZsViF21)*50,imag(ZsViF21)*50);
% fprintf('2. Intersection point on Vi-F; ZSreq22 Value: real and imaginer part= %f
% %fn',real(ZsViF22)*50,imag(ZsViF22)*50);
% fprintf(fid_w_oth,'2. Intersection point on Vi-F; ZSreq22 Value: real and imaginer part= %f
% %fn',real(ZsViF22)*50,imag(ZsViF22)*50);
```

```

%
%      elseif ~isnan(ZsViF11) & ~isnan(ZsViF12)
%
%          fprintf('Vi-F: Rcv1= %f, Xcv1= %f, rv1= %f, Rcn= %f, Xcn= %f, rn=
%          %f\n',Rcv1,Xcv1,rv1,Rcn,Xcn,rn);
%
%          fprintf(fid_w_oth,'Vi-F: Rcv1= %f, Xcv1= %f, rv1= %f, Rcn= %f, Xcn= %f, rn=
%          %f\n',Rcv1,Xcv1,rv1,Rcn,Xcn,rn);
%
%          fprintf('1. Intersection point on Vi-F; ZSreq11 Value: real and imaginer part= %f
%          %f\n',real(ZsViF11)*50,imag(ZsViF11)*50);
%
%          fprintf(fid_w_oth,'1. Intersection point on Vi-F; ZSreq11 Value: real and imaginer part= %f
%          %f\n',real(ZsViF11)*50,imag(ZsViF11)*50);
%
%          fprintf('2. Intersection point on Vi-F; ZSreq12 Value: real and imaginer part= %f
%          %f\n',real(ZsViF12)*50,imag(ZsViF12)*50);
%
%          fprintf(fid_w_oth,'2. Intersection point on Vi-F; ZSreq12 Value: real and imaginer part= %f
%          %f\n',real(ZsViF12)*50,imag(ZsViF12)*50);
%
%
%      elseif ~isnan(ZsViF21) & ~isnan(ZsViF22)
%
%
%          fprintf('Vi-F: Rcv2= %f, Xcv2= %f, rv2= %f, Rcn= %f, Xcn= %f, rn=
%          %f\n',Rcv2,Xcv2,rv2,Rcn,Xcn,rn);
%
%          fprintf(fid_w_oth,'Vi-F: Rcv2= %f, Xcv2= %f, rv2= %f, Rcn= %f, Xcn= %f, rn=
%          %f\n',Rcv2,Xcv2,rv2,Rcn,Xcn,rn);
%
%          fprintf('1. Intersection point on Vi-F; ZSreq21 Value: real and imaginer part= %f
%          %f\n',real(ZsViF21)*50,imag(ZsViF21)*50);
%
%          fprintf(fid_w_oth,'1. Intersection point on Vi-F; ZSreq21 Value: real and imaginer part= %f
%          %f\n',real(ZsViF21)*50,imag(ZsViF21)*50);
%
%          fprintf('2. Intersection point on Vi-F; ZSreq22 Value: real and imaginer part= %f
%          %f\n',real(ZsViF22)*50,imag(ZsViF22)*50);
%
%          fprintf(fid_w_oth,'2. Intersection point on Vi-F; ZSreq22 Value: real and imaginer part= %f
%          %f\n',real(ZsViF22)*50,imag(ZsViF22)*50);
%
%
%      else
%
%          fprintf('Vi-F: Rcv1= %f, Xcv1= %f, rv1= %f, Rcn= %f, Xcn= %f, rn=
%          %f\n',Rcv1,Xcv1,rv1,Rcn,Xcn,rn);
%
%          fprintf(fid_w_oth,'Vi-F: Rcv1= %f, Xcv1= %f, rv1= %f, Rcn= %f, Xcn= %f, rn=
%          %f\n',Rcv1,Xcv1,rv1,Rcn,Xcn,rn);
%
%          fprintf('Vi-F: Rcv2= %f, Xcv2= %f, rv2= %f, Rcn= %f, Xcn= %f, rn=
%          %f\n',Rcv2,Xcv2,rv2,Rcn,Xcn,rn);
%
%          fprintf(fid_w_oth,'Vi-F: Rcv2= %f, Xcv2= %f, rv2= %f, Rcn= %f, Xcn= %f, rn=
%          %f\n',Rcv2,Xcv2,rv2,Rcn,Xcn,rn);
%
%          fprintf('No intersection on Vi-F; ZSreq11,ZSreq12,ZSreq21,ZSreq22= NaN\n');
%
%          fprintf(fid_w_oth,'No intersection on Vi-F; ZSreq11,ZSreq12,ZSreq21,ZSreq22= NaN\n');
%
%      end
%
end
else
    fprintf('GTreq does not cut T1 or T2\n');
    fprintf(fid_w_int,'GTreq does not cut T1 or T2\n');
    fprintf(fid_w_oth,'GTreq does not cut T1 or T2\n');
end

```

```

fclose(fid_w_int);
fclose(fid_w_oth);

function
[ZLreq1,ZLreq2,Zs11,Zs12,ZsViF11,ZsViF12,Zs21,Zs22,ZsViF21,ZsViF22,Rcv1,Xcv1,rv1,Rcv2,Xcv2,rv2]=e
mpcali(Zireq1,Zireq2,Z11,Z12,Z21,Z22,Rmod,C,Zopt,teta,Rcn,Xcn,rn,switch_for_plot)
%*****/*
%/*
%/* File:      empcali.m
%/*
%/* Compiler: Matlab v5.0
%/*
%/* Description:Find the intersections of two circles
%/*      in cartesian space (GTreq,T1,T2)
%/*
%/* Created:    Cemal Tepe 1999 Ph.D. Thesis
%/*
%/* Version:    1.0
%/*
%/* Notes:
%/* Zireq1 --> ZLreq1,Zs11,Zs12,ZsViF11,ZsViF12
%/* Zireq2 --> ZLreq2,Zs21,Zs22,ZsViF21,ZsViF22
%/*
%/* *****/
%%
%%

% ZLreq value %
ZLreq1=((Z12*Z21)/(Z11-Zireq1)-Z22);
ZLreq2=((Z12*Z21)/(Z11-Zireq2)-Z22);

% ZSreq value caluclated by formulas (Zireq1)
Rcv1=(1+Rmod^2)*real(Zireq1)/C;
Xcv1=-imag(Zireq1);
Zcv1=Rcv1+i*Xcv1;
rv1=2*Rmod*real(Zireq1)/C;

A1=(Rcn-Rcv1)/(Xcv1-Xcn);
B1=(abs(Zireq1)^2-abs(Zopt)^2)/(2*(Xcv1-Xcn));
K1=(Rcn+A1*Xcn-A1*B1)/(1+A1^2);
D1=(B1^2+abs(Zopt)^2-2*Xcn*B1)/(1+A1^2);

Rs11=K1+sqrt(K1^2-D1);
Xs11=A1*Rs11+B1;
Rs12=K1-sqrt(K1^2-D1);
Xs12=A1*Rs12+B1;

% VSWR and Noise match, rn=rv=rt1=tr2=0, Zs=Zopt=Zcn, Zcv=conj(Zi)
% Rmod=0 --> Vireq=0, but rn=0 --> Freq=Fmin not always true
if (Rmod == 0) & (rn == 0)
  Zs11=Zopt;

```

```

Zs12=Zopt;
else
    Zs11=Rs11+i*Xs11;
    Zs12=Rs12+i*Xs12;
end

% ZSreq value caluclated by circle Intersection of Vi-F (Zireq1)
[RintViF1,XintViF1]=circlint(Rcv1,Xcv1,rv1,Rcn,Xcn,rn);
ZsViF11=RintViF1(1)+i*XintViF1(1);
ZsViF12=RintViF1(2)+i*XintViF1(2);

% Define VSWR (Vireq) Circles (center and radius)
ZVi= Zcv1+rv1*exp(i*teta);
RVi=real(ZVi);
XVi=imag(ZVi);

% Define Noise (Freq) Circles (center and radius)
Zcn=Rcn+i*Xcn;
ZF=Zcn+rн*exp(i*teta);
RF=real(ZF);
XF=imag(ZF);

if switch_for_plot == 1
    %figure,plot(RVi,XVi,'b-',RF,XF,'c-')
    %axis([-0.5 0.5 -1 3])
    %title('Zs-Plane (Noise and input VSWR) (Zireq1)')
    % xlabel('real{Zs}'), ylabel('imag{Zs}'), grid
    % gtext('Vireq circle'), gtext('Freq circle');
end

% ZSreq value caluclated by formulas (Zireq2)
Rcv2=(1+Rmod^2)*real(Zireq2)/C;
Xcv2=-imag(Zireq2);
Zcv2=Rcv2+i*Xcv2;
rv2=2*Rmod*real(Zireq2)/C;

A2=(Rcn-Rcv2)/(Xcv2-Xcn);
B2=(abs(Zireq2)^2-abs(Zopt)^2)/(2*(Xcv2-Xcn));
K2=(Rcn+A2*Xcn-A2*B2)/(1+A2^2);
D2=(B2^2+abs(Zopt)^2-2*Xcn*B2)/(1+A2^2);

Rs21=K2+sqrt(K2^2-D2);
Xs21=A2*Rs21+B2;
Rs22=K2-sqrt(K2^2-D2);
Xs22=A2*Rs22+B2;

% VSWR and Noise match, rn=rv=rt1=tr2=0, Zs=Zopt=Zcn, Zcv=conj(Zi)
% Rmod=0 --> Vi=0, but rn=0 --> Freq=Fmin not always true
if (Rmod == 0) & (rn == 0)
    Zs21=Zopt;
    Zs22=Zopt;
else

```

```

Zs21=Rs21+i*Xs21;
Zs22=Rs22+i*Xs22;
end

% ZSreq value caluclated by circle Intersection of Vi-F (Zireq2)
[RintViF2,XintViF2]=circlint(Rcv2,Xcv2,rv2,Rcn,Xcn,rn);
ZsViF21=RintViF2(1)+i*XintViF2(1);
ZsViF22=RintViF2(2)+i*XintViF2(2);

% Define VSWR (Vireq) Circles (center and radius)
ZVi= Zcv2+rv2*exp(i*teta);
RVi=real(ZVi);
XVi=imag(ZVi);

% Define Noise (Freq) Circles (center and radius)
Zcn=Rcn+i*Xcn;
ZF=Zcn+rn*exp(i*teta);
RF=real(ZF);
XF=imag(ZF);

if switch_for_plot == 1
    %figure,plot(RVi,XVi,'b-',RF,XF,'c-')
    %axis([-0.5 0.5 -1 3])
    %title('Zs-Plane (Noise and input VSWR) (Zireq2)')
    % xlabel('real{Zs}'), ylabel('imag{Zs}'), grid
    % gtext('Vireq circle'), gtext('Freq circle');
end

function [xout,yout]=circlint(x1,y1,r1,x2,y2,r2)
%*****
%/*
%/* File:      circlint.m
%/*
%/* Compiler: Matlab v5.0
%/*
%/* Description:Find the intersections of two circles in
%/*      cartesian space
%/*
%/* Created:    Cemal Tepe 1999 Ph.D. Thesis
%/*
%/* Version:    1.0
%/*
%/* Notes:
%/*
%/* [xout,yout] = CIRCCIRC(x1,y1,r1,x2,y2,r2) finds the
%/* points of intersection (if any), given two circles,
%/* each defined by center and radius in x-y coordiantes.
%/* In general, two points are returned. When the circles
%/* do not intersect or are identical, NaNs are returned.
%/* When the two circles are tangent, two identical
%/* points are returned. All inputs must be scalars.
%/*

```

```

%/*
%/*
%/***********************************************************************/
%
%
%fprintf('x1 = %f\n',x1);
%fprintf('y1 = %f\n',y1);
%fprintf('r1 = %f\n',r1);
%fprintf('x2 = %f\n',x2);
%fprintf('y2 = %f\n',y2);
%fprintf('r2 = %f\n',r2);
if nargin ~= 6; error('Incorrect number of arguments'); end

% Input consistency test
if ~isequal(size(x1),size(y1),size(r1),size(x2),size(y2),size(r2),[1 1])
    error('Inputs must be scalars')
elseif ~isreal([x1,y1,r1,x2,y2,r2])
    error('inputs must be real')
elseif r1 <=0 | r2 <=0
    error('radius must be positive')
end

% Cartesian separation of the two circle centers
r3=sqrt((x2-x1).^2+(y2-y1).^2);

indx1=find(r3>r1+r2); % too far apart to intersect
indx2=find(r2>r3+r1); % circle one completely inside circle two
indx3=find(r1>r3+r2); % circle two completely inside circle one
indx4=find((r3<10*eps)&(abs(r1-r2)<10*eps)); % circles identical
indx=[indx1(:);indx2(:);indx3(:);indx4(:)];

anought=atan2((y2-y1),(x2-x1));

%Law of cosines

aone=acos(((r2.^2-r1.^2-r3.^2)./(2*r1.*r3)));

alpha1=anought+aone;
alpha2=anought-aone;

xout=[x1 x1]+[r1 r1].*cos([alpha1 alpha2]);
yout=[y1 y1]+[r1 r1].*sin([alpha1 alpha2]);

% Replace complex results (no intersection or identical)
% with NaNs.

if ~isempty(indx)
    xout(indx,:)=NaN; yout(indx,:)=NaN;
end

```

ÖZGEÇMİŞ

Adı/Soyadı	Cemal TEPE
Doğum Tarihi:	20.05.1970
Doğum Yeri:	Sivas
İlkokul:	1976-1981 Günebakan İlkokulu
Ortaokul:	1981-1984 Okmeydanı Ortaokulu
Lise:	1984-1987 Şişli Kaptanpaşa Lisesi (Ortalama: 8.5/10)
Lisans:	1987-1991 İstanbul Teknik Üniversitesi Elektrik-Elektronik Fakültesi Elektronik ve Haberleşme Mühendisliği Bölümü Bitirme Konusu: Bikuadratik Alt Devrelerin Bilgisayar Yardımıyla Parametre ve Duyarlık Analizi (Ortalama: 73.8/100)
Yüksek Lisans:	1991-1994 İstanbul Teknik Üniversitesi Fen Bilimleri Enstitüsü Elektrik-Elektronik Mühendisliği Anabilim Dalı, Elektronik ve Haberleşme Programı Tez Konusu: Nümerik Analiz Yöntemleri ve Programlama (Ortalama: 88.5/100)
Doktora:	1994-2000 Yıldız Teknik Üniversitesi Fen Bilimleri Enstitüsü Elektronik ve Haberleşme Mühendisliği Anabilim Dalı, Haberleşme Programı Tez Konusu: Mikrodalga Transistorunun Yapay Sinir Ağı ile Performans Analizi ve Modelleme (Derslerin ortalaması: 95.5/100)
Çalıştığı Kurumlar:	1993-1994 EKA, Güç Kaynakları ve Motor Kontrol Mühendisi 1994-Devam ALCATEL TELETAŞ, AR-GE Yazılım Geliştirme Mühendisi ve Proje Lideri